

MINISTERUL EDUCATIEI SI INVATAMINTULUI
INSTITUTUL POLITEHNIC " TRAIAN VUIA" DIN TIMISOARA
FACULTATEA DE MECANICA

Ing. LAURENTIU ROLAND CUCURUZ

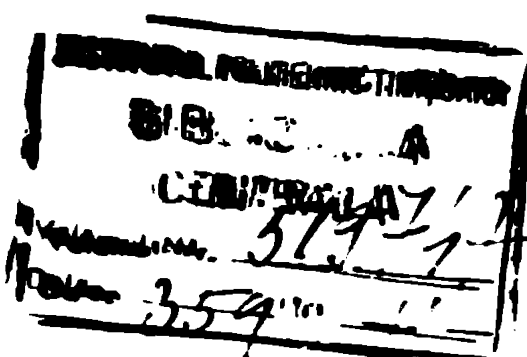
CERCETARI ASUPRA TRANSFORMARILOR STRUCTURALE SI A
PROPRIETATILOR INDUSE BRONZURIILOR DE ALUMINIU
COMPLEX ALIATE

TEZA DE DOCTORAT

Conducător științific :
prof.dr.ing. MARIN TRUSCULESCU

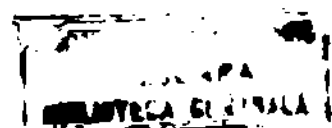
BIBLIOTeca CENTRALĂ
UNIVERSITATEA "POLITEHNICA"
TIMIȘOARA

- 1986 -



C U P R I N S

1. IMPORTANTA CERCETARII BRONZURIILOR DE ALUMINIU IN STADIUL ACTUAL DE DEZVOLTARE A TEHNICII IN TARA NOASTRA.	1
1.1. Introducere.	1
1.2. Scopul și obiectivele lucrării	2
1.3. Date bibliografice inițiale.	2
1.3.1. Definirea noțiunii de bronz de aluminiu.	2
1.3.2. Structura bronzurilor de aluminiu binare	3
1.3.3. Bronzurile de aluminiu complexe.	5
1.3.4. Microstructura și proprietățile bronzurilor de aluminiu.	8
1.4. Utilizarea bronzurilor de aluminiu	11
2. MATERIALUL DE CERCETAT.	13
2.1. Stabilirea rețetei și elaborarea aliajului.	13
2.2. Microstructura aliajului rea lizat.	14
2.3. Analiza dilatometrică.	16
2.4. Concluzii.	19
3. TRATAMENTE TERMICE APLICATE BRONZULUI CuAl₁Fe₄Ni₄Mn₁Ti . . .	20
3.1. Evidențierea statistică a parametrilor tehnologici semnificativi la tratamentul termic de îmbunătățire folosind metoda bilanțului aleator.	20
3.2. Tratamente termice aplicate bronzului studiat.	28
3.2.1. Tratamente termice primare.	28
3.2.2. Tratamente termice aplicate pentru studiul transformărilor structurale care au loc în timpul îmbunătățirii.	29
3.2.3. Tratamente termice aplicate în vederea determinării parametrilor tehnologici optimi în vederea obținerii de caracteristici mecanice, tehnologice și chimice ridicate.	31
4. STUDIUL EFECTULDI TRATAMENTULUI TERMIC PRIMAR DE RECOA- CRE PENDULARA ASUPRA STRUCTURII SI PROPRIETATILOR MECANICE ALR BRONZULUI CuAl₁Fe₄Ni₄Mn₁Ti.	34
4.1. Efectul recoccerii pendulare asupra structurii bronzului cercetat.	34



4.2. Analiza sclerometrică a probelor recoapte pendular.	39
4.3. Influența recoacerii pendulare asupra proprietăților mecanice ale bronzului CuAl ₁₀ Fe ₄ Ni ₄ Mn ₁ Ti.	43
4.4. Concluzii.	50
5. STUDIUL FAZEI T.	51
6. TRANSFORMARI STRUCTURALE INDUSE PRIN TRATAMENT TERMIC	
PINAL BRONZULUI CuAl₁₀Fe₄Ni₄Mn₁Ti.	68
6.1. Metoda călirilor successive.	68
6.2. Transformări structurale induse prin revenirea probelor călitate de la 950°C.	69
6.3. Transformări structurale induse prin revenirea probelor turnate, călitate de la 1000°C.	76
6.4. Transformări structurale induse prin călirea probelor forjate și recoapte RpV4, de la 1000°C urmată de revenire.	81
6.5. Structura bronzului CuAl ₁₀ Fe ₄ Ni ₄ Mn ₁ Ti călit dublu.	85
6.6. Modificări structurale induse prin revenire joasă a probelor călitate dublu.	90
6.7. Studiu variantei C ₄ 950°C + C ₂ + D. Termociclarea.	95
6.8. Metoda călirilor successive aplicată probelor călitate și revenite la 400°C.	99
6.9. Concluzii.	101
7. PROPRIETĂȚILE MECANICE ALE BRONZULUI CuAl₁₀Fe₄Ni₄Mn₁Ti.	106
7.1. Metoda călirilor successive aplicată probelor călitate simplu în intervalul 700...1000°C.	106
7.2. Metoda călirilor successive aplicată probelor călitate dublu.	114
7.3. Metoda călirilor successive aplicată probelor călitate dublu și supuse revenirii joase.	124
7.4. Proprietățile mecanice ale probelor tratate termic în varianta C ₄ 950°C+C ₂ +D sau termociclate.	134
7.5. Concluzii.	147
8. COMPORTAREA BRONZULUI CuAl₁₀Fe₄Ni₄Mn₁Ti LA UZURA ABRAZIVA SI IN MEDII COROZIVE.	149
8.1. Comportarea în condiții de uzură abrazivă.	149
8.1.1. Introducere.	149
8.1.2. Probe și metodica de lucru	149
8.1.3. Rezultate experimentale și interpretări.	149

8.2. Comportarea in medii corozive.	152
8.2.1.Date bibliografice.	152
8.2.2.Cercetări experimentale	153
8.3. Concluzii.	155
9.CONCLUZII FINALE.	157
BIBLIOGRAFIE.	166
CUPRINS.
A N E X A170 a

CAPITOLUL I

Importanța cercetării produselor de aluminiu în standul actual de dezvoltare al tehnicii în țara noastră

1.1. Introducere

In documentele programatice ale Congresului al XIII-lea al Partidului Comunist Român se evidențiază necesitatea ca cercetarea științifică să realizeze noi materiale și noi sortimente superioare de metale. Dezvoltarea impetuosă a diferitelor ramuri industriale, creșterea producției de nave maritime pentru transportat mărfuri cu 34...36 %, a industriei chimice cu 6,5.. .9 % presupune ca dezvoltarea industriei metalurgice în general și a metalurgiei neferoase în particular, să se facă în direcția îmbunătățirii permanente a caracteristicilor materialelor metalice prin elaborarea de noi tehnologii, de noi aliaje cu performanțe superioare, pentru o utilizare cât mai eficientă a bazei de materii prime.

In acest context, bronsurile de aluminiu prezintă un interes deosebit, deoarece îmbină caracteristici de rezistență remarcabile cu o deosebită rezistență la coroziune în cele mai diverse medii și cu o bună rezistență la uzură, proprietăți care nu se schimbă semnificativ în domeniul de -200... + 300°C, /3/.

Datorită proprietăților lor deosebit de complexe, aceste aliaje sunt folosite în construcții aerospațiale, în construcții navale, în industria chimică, în industria hîrtiei, în construcții de mașini, în utilaj petrolier, în instalații complexe de desalinisare a apelor de mare, în criogenie, în industria nucleară, etc.

Prezenta teză de doctorat își propune studiul unui bronz de aluminiu complex aliat cu fier, nichel, mangan, care face parte din familia de bronsuri de aluminiu cu cele mai ridicate proprietăți mecanice, chimice și tehnologice pentru a le mîrî acestor proprietăți și a crea condiții de utilizare ratională a acestora și a extinde utilizarea lor în țara noastră.

Pentru îndrumarea de finală competenții științifică, pentru înțelegerea parinteced, autorul își exprimă profunda recunoaștere și, deosebită prețuire și cele mai sincere mulțumiri, conducătorului științific prof.dr.ing. ANDRIN PRUSCĂNU.

1.2. Obiectivul și obiectivale lucrării

Interesul sporit, atât pe plan mondial cât și din partea unor importante întreprinderi din țară, pentru bronzurile de aluminiu complex aliate, caracterizante prin proprietăți ce reunește rezistență în cale de complexe solicitări mecanice și chimice cu o bună usinabilitate, este reflectat în preocupările multor competitori.

Analizând încol datele bibliografice se constată că actualmente există o diversitate mare de opinii privind tratamentul termic al bronzurilor, iar rezultatele comunicate sunt multe dispuse, anod nu contradictorii. Astfel, sunt indicate tratamente termice de tipul îmbunătățirii dar parametrii tehnologici recomandati diferă de la autor la autor, de asemenea și proprietățile obținute, date care nu au niciun comun și nu permit o extrapolare pentru un caz concret dat. În bibliografia consultată există studii asupra transformărilor structurale care au loc la călirea bronzurilor de aluminiu, date acoperă mecanismul și cinetica transformărilor la revenire sunt însă rare și incomplete.

În consecință cercetările au fost orientate spre a elucida transformările structurale care au loc la călirea și revenirea bronzurilor de aluminiu complex aliate și spre determinarea unor regiuni optime de tratament termic care să conducă la împărtirea spectrului proprietăților mecanice, chimice și tehnologice ale acestora.

1.3. Date bibliografice inițiale

1.3.1. Definirea noțiunii de bronz de aluminiu

Bronzurile de aluminiu sunt aliaje cupru - aluminiu în care aluminiul participă în mod usual cu 5...12 % (de greutate).

Aliajele Cu-Al se clasifică:

- după compoziția chimică în:
 - aliaje binare
 - aliaje pluricomponente (complexe)
- după structură în:

- monofazice
- bifazice
- plurifazice

In stadiul actual al dezvoltirii metallurgiei neferoase se utilizeaza de regulă:

- aliaje binare monofazice
- aliaje pluricomponente monofazice
- aliaje pluricomponente plurifazice

Studiul acestor aliaje poarte de la diagrama de echilibru (D.E.) binară Cu-Al.

1.3.2. Structura bronzurilor de aluminiu binare

Structura de echilibru a bronzurilor de aluminiu se analizează cu ajutorul diagramelor de echilibru Cu-Al. In literatura de specialitate nu există o părere unică asupra transformărilor care au loc în stare solidă și există divergențe în ceea ce privește concentrația și temperatură diferitelor puncte și linii din diagrama de echilibru. Diagrama de echilibru prezentată în figura 1.1. este de dată mai recentă și se desosobesc de cele prezentate în diverse lucrări /14/; /16/; /17/; /25/, etc. printr-o reacție peritectoidă $\alpha + \gamma \xrightarrow{363^\circ} \alpha_2$.

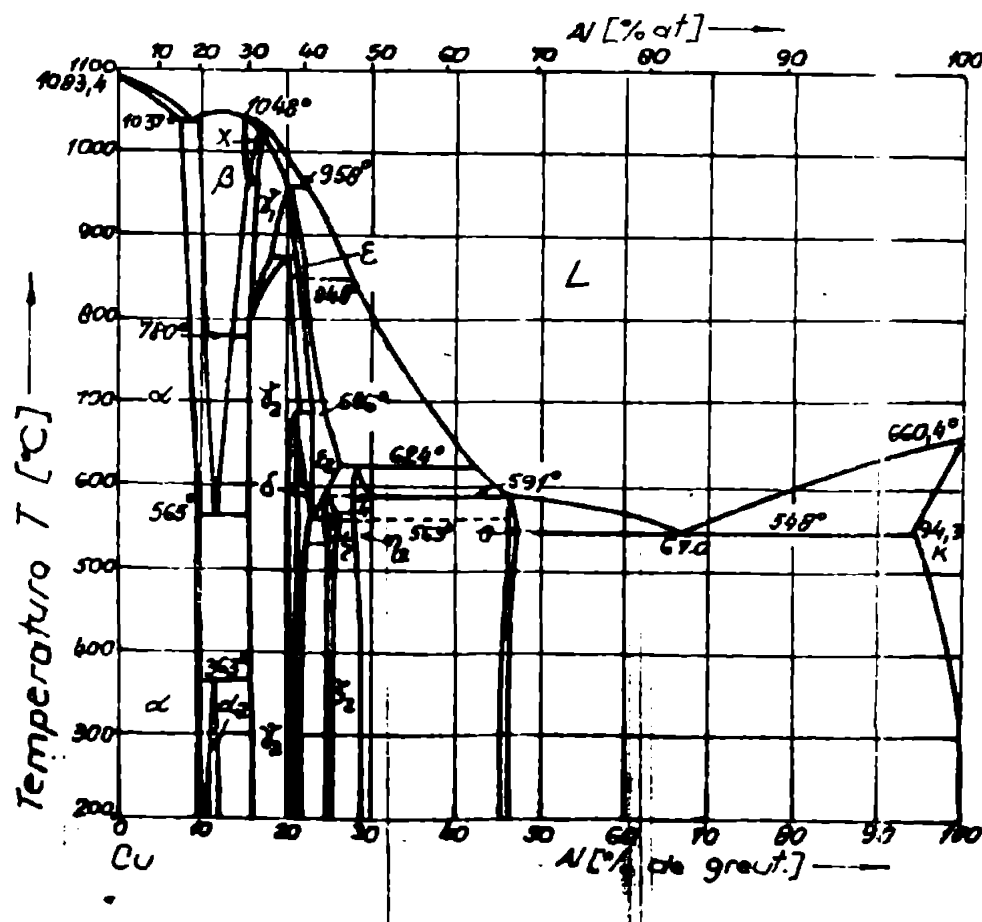


Fig.1.1. Diagrama de echilibru binară Cu-Al /40/

Diversele faze: α , β , γ ... sunt definite în literatură de specialitate /17/, /44/, se precizează însă că date privind faza α_2 o soluție solidă ordonată, asupra transformării ceritectoide și acoperă transformările de ordine-dezordine sunt foarte puține și contradictorii. Date sistematizate privind transformările de ordine-dezordine și influența lor asupra transformării eutectoide $\beta \xrightarrow{\text{răcire}} \alpha + \gamma_2$ sunt prezentate pe larg în /9/.

Important este faptul că, în condiții de răcire în afara de echilibru faza β suferă o transformare complexă $\beta \rightarrow \beta_1 \rightarrow \beta'$ de tip martensitic. Transformarea martensitică nu este încă complet elucidată dar unul din cele mai importante factori de influență este conținutul în aluminiu. Figura 1.2. reprezintă, într-o manieră foarte simplificată dependența temperaturilor de transformare în funcție de conținutul în aluminiu, în care:

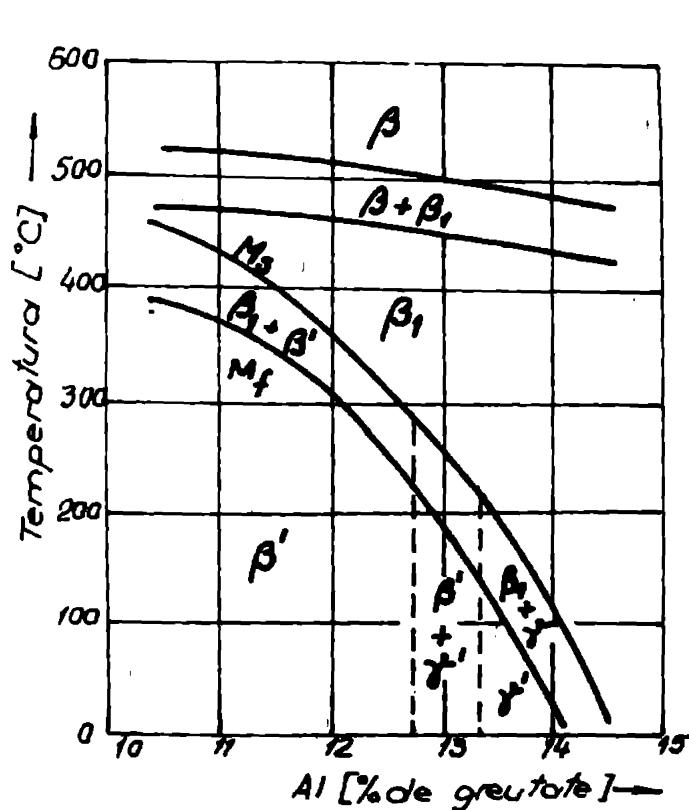


Fig.1.2. Influența conținutului în aluminiu asupra temperaturilor de transformare la răcirea (chilirea în apă) a bronziurilor de aluminiu binare (după /33/)

- β este o soluție solidă dezordonată pe baza conținutului electronic Cu₃Al, cristalizată în rețea C.C. tip A 2;

- β_1 se obține din faza β printr-o reacție de dezordine ordine /5/ și cristalizează într-o rețea cubică compactă (D0₂);

- β' este o martensită dezordonată cu rețea cubică cu fete centrate (tip L2₁);

- γ' este o martensită ordonată cu năele interne cu celulă elementară hexagonală A 3 numită martensită "Kurdiumov";

Se precizează că este semnalată și o martensită β'_1 tetragonală ordonată cu un conținut de 11 % Al.

Interesant pentru aplicații industriale este numai martensita β' , celelalte tipuri de martensită caracterisindu-se printr-o fragilitate foarte mare /7/.

1.3.3. Bronzurile de aluminiu complexe

Încercarea bibliografică a avut în evidență că aliajele industriale se aleag fie monofasice fie la limitele domeniului biaxic $\alpha/(\alpha + \gamma_2)$ a sistemului Cu-Al pentru a evita efectul puternic fragilizant al fazei γ_2 (Cu₃₂Al₁₉ - cristalizată într-o rețea cubică complexă). Concentrării relativ mari de aluminiu (10...11 %) se utilizează în cazul alierii simultane cu fierul și nichelul, în concitații de minim 5% fiercare. Această aliere complexă depășește puternic linia de echilibru $\alpha/(\alpha + \gamma_2)$ spre conținuturi ridicate în aluminiu, de exemplu 5% Fe + 5% Ni și deplasează de la 3,4 % Al la peste 11 %, astfel încât la concentrații ușorile de 10...11% Al nu apare faza fragilizantă γ_2 . În schimb în structura acestor bronzi apar faze χ care cristalizează în sistemul cubic, celulă elementară D 2 izomorfă cu (NiFe) (AlFe) cu formula NiFe₂Al și este imaginată ca fiind formă din două semicilindri una din NiFe și una din AlFe. Influența conținutului de 4...6 % Fe și Ni asupra D. A. Cu-Al este redată în figura 1.3. Precisările asupra structurii bronzurilor de aluminiu complex aliate în zonă conținuturilor acționate de aluminiu rezultă din figura 1.4.

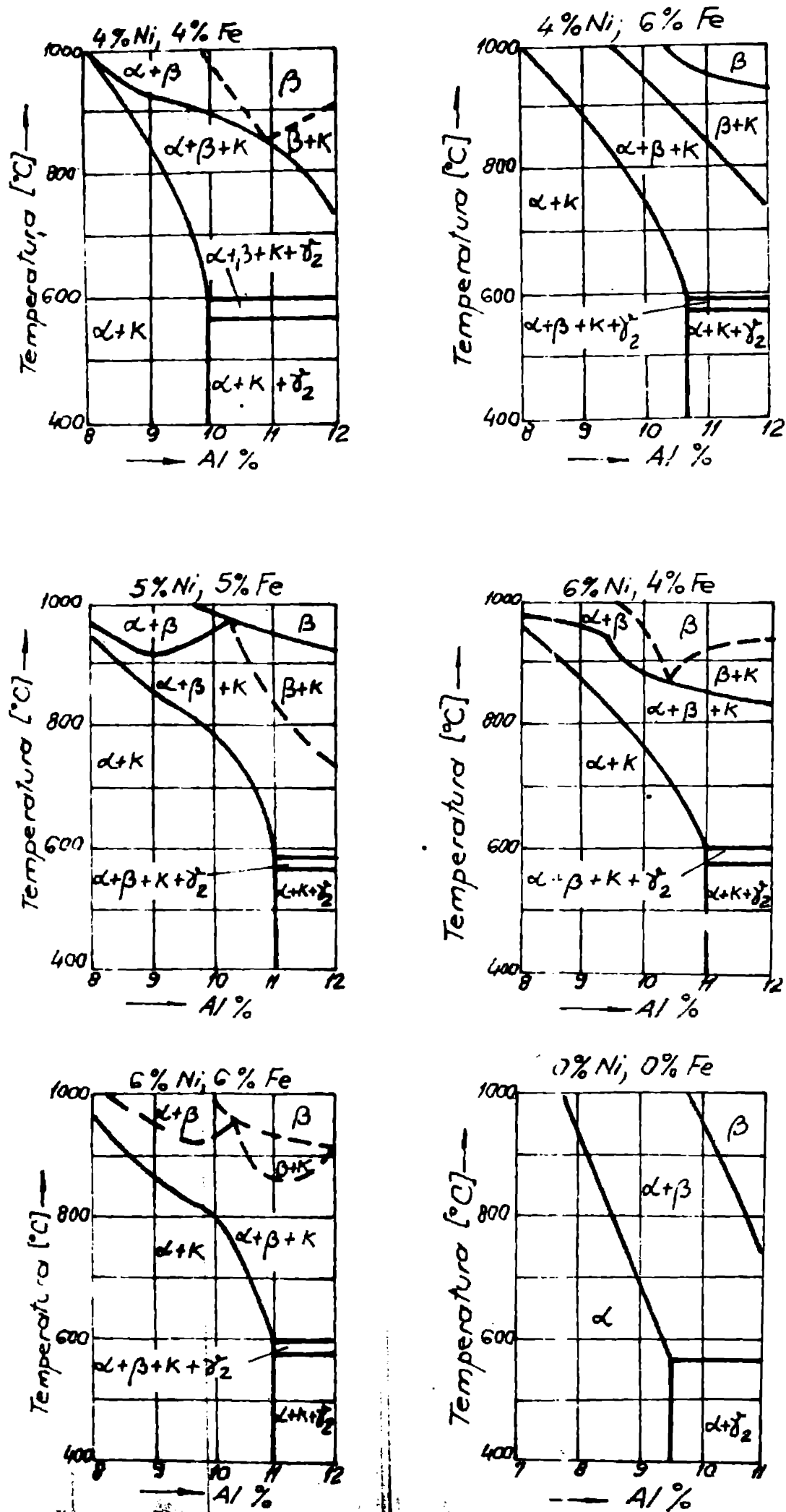


Fig. 1.3. D. 4. a sistemu Cu-Al-Pe-Ni, secțiuni verticale pentru diverse concentrații în Fe și Ni (după /3d/; /41/);

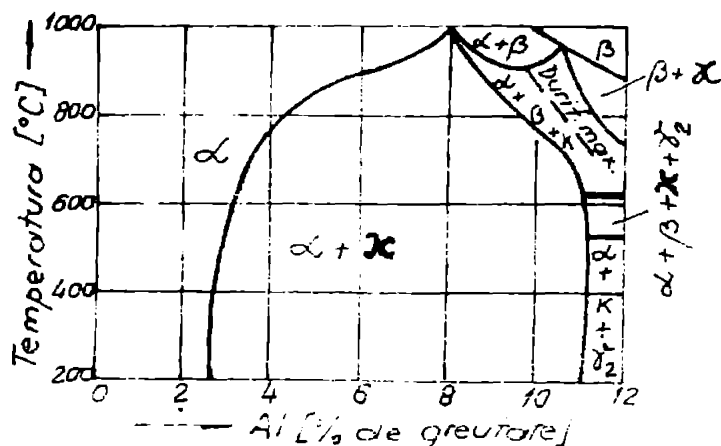


Fig.1.4. Diagrama de echilibru Cu-Al-Fe-Ni. Secțiune verticală pentru 5% Ni și 5% Fe (după /26/)

D.e.s. prezentatîi în figura 1.4. indică posibilitatea de apariție a fazei χ'' prin separare din soluția solidă α , nu diferind semnificativ față de secțiunea similară din figura 1.3., dar în domeniul 0...3% Al ar trebui să apară o fază θ similară fazei θ - Ni₃Al din sistemul Cu-Al-Ni prezentatîi în /34/.

O reprezentare politermă interesantă a domeniilor de existență a diferențelor faze, în condiții de echilibru, din sistemul Cu-Al-Fe-Ni este redată în figura 1.5.

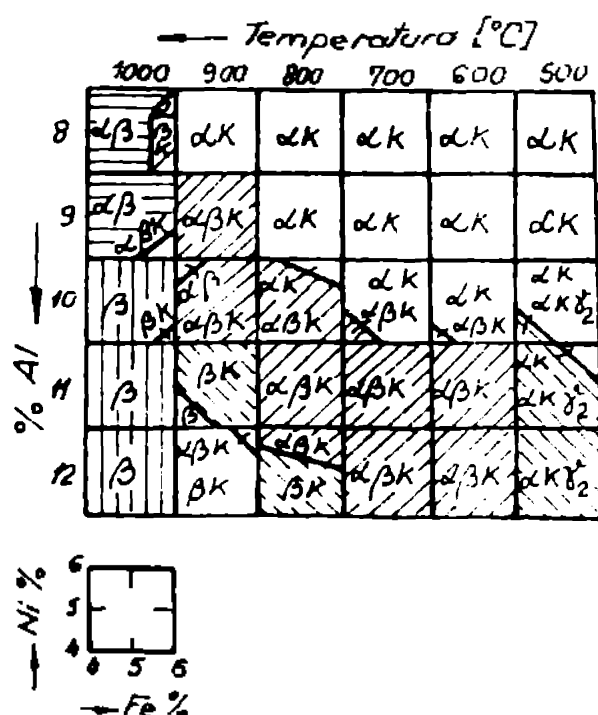


Figura 1.5. Reprezentarea schematică a variației structurii în sistemul Cu-Al-Fe-Ni ca funcție de compozitie chimică și temperatură (după /41/)

Se pare că aliajele cu $10...11\%$ Al și 5% Ni și 5% Fe, tratate termic de la o temperatură indicată cu linie întreruptă în figura 1.4., vor prezenta cele mai ridicate proprietăți mecanice. În STAS 263-75 este cuprins un singur tip de brons de aluminiu complex aliat și numele CuAl₅Fe₅Ni₅ care se încadrează în grupul aliajelor cu cele mai favorabile proprietăți.

Manganul operează, de regulă, ca element de adaus sau de aliere în bronzurile de aluminiu complexe aliate cu fier și nichel. Experiența a arătat că începând de la adăugări de minim $0,3\%$ Mn, el se dovedește să fie cel mai bun dezoxidant al bronzurilor de aluminiu complexe, decorece fosforul care în efectul lui de dezoxidare nu e de loc mai prejos decât manganul, formecă cu fierul, manganul și nichelul fosfuri cu solubilitate foarte scăzută, care contribuie la fragilizarea bronzurilor de aluminiu. În conținuturi uzuale de $0...3\%$ manganul se disolvă în soluția solidă și contribuind la creșterea proprietăților de rezistență a bronzurilor de aluminiu fără o mică orare accentuată a valorilor lungirilor.

1.3.4. Microstructura și proprietățile bronzurilor de aluminiu

Bronzurile de aluminiu se obțin în multe privințe cu oțelurile, nu numai prin transformarea eutecotică sau martensitică, ci și microstructural. Această fapt este evidentiat prin microstructurile prezente în figurile 1.6. și 1.8. (Planșa I). În general structurile de revenire prezентate în literatura de specialitate nu au caracter globular, din cauză că soluția solidă se dezvoltă de-a lungul unor plane cristalografice preferențiale ale martensitei β' . Cu toate acestea structura de revenire a bronzului de aluminiu complex aliat pare de tip troestic-corbitic, structură care ar trebui să confere proprietăți mecanice ridicate acestor aliaje. Se semnalază însă pericolul de durificare și fragilizare a acestor aliaje în timpul revenirii, intensitatea de durificare și temperatura la care apare, fiind dependente de conținutul în aluminiu și elemente de aliare /3/.

Cîteva proprietăți mecanice ale bronzurilor de aluminiu sunt redată în tabelul 1.1.

Valorile prezентate în tabelul 1.1. arată că bronzurile de aluminiu complex aliate se prezintă cu proprietăți de rezistență cu $25...60\%$ ridicate față de cele binare, la proprietăți de plasticitate puțin afectate.

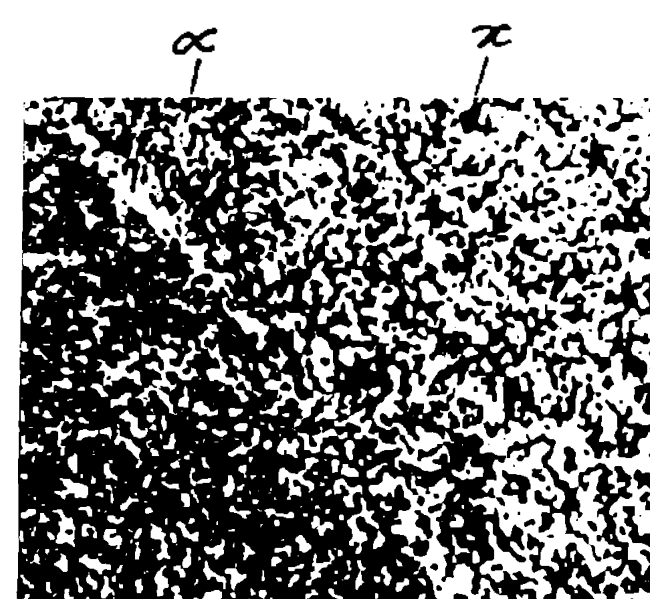
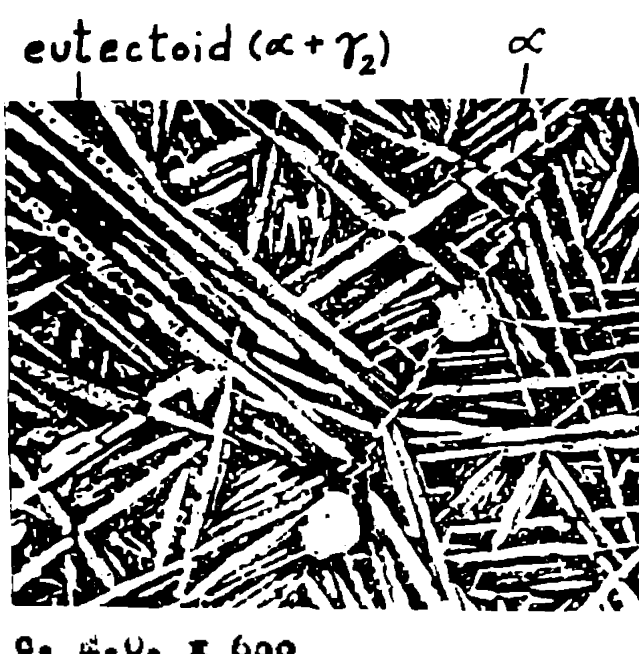
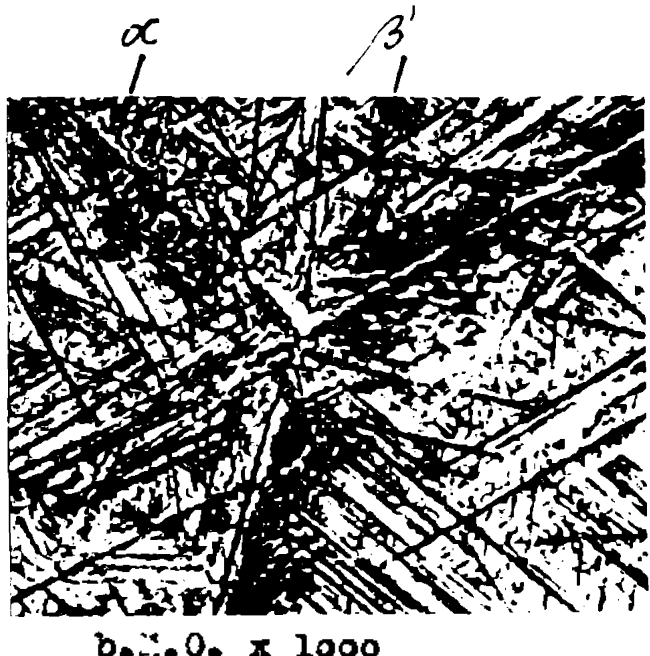
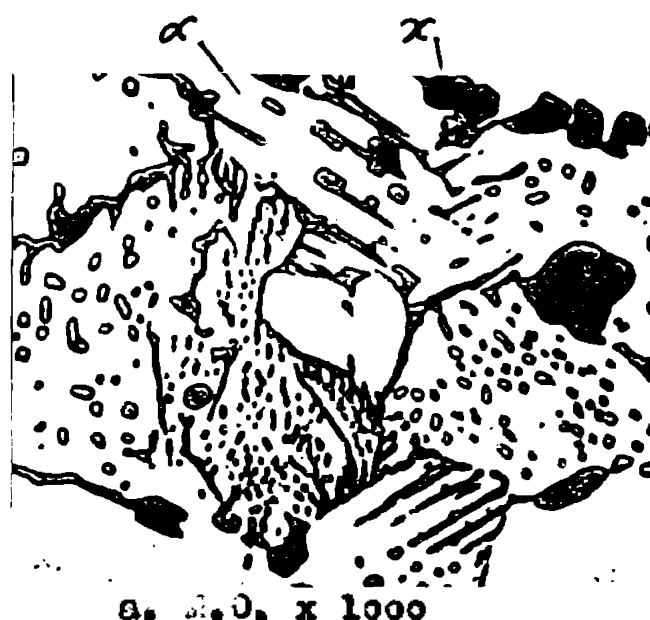
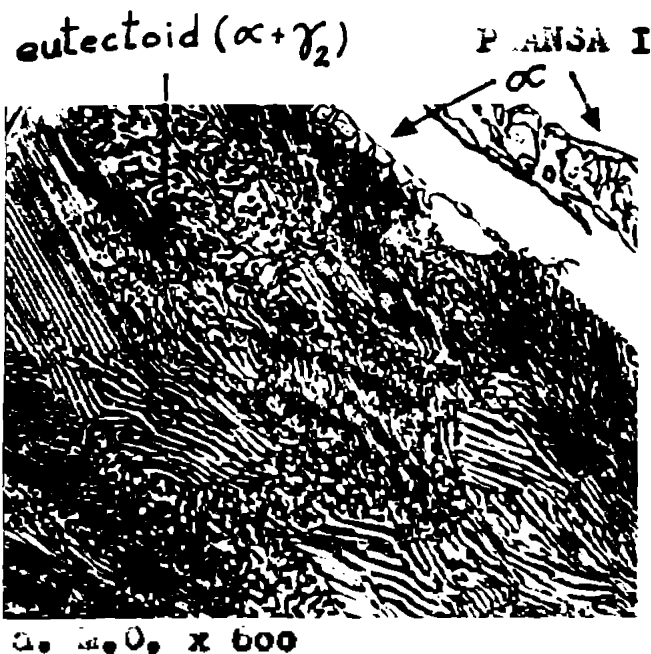


Fig.1.6. brons de aluminiu
CuAllo (după /33/)
a. recupt $300^\circ\text{C}/20$ min, răcire
 $0,6^\circ\text{C}/\text{min}$
b. călire $335^\circ\text{C}/15$ min/ $\text{H}_2\text{O}+10\%$ NaCl
c. călire $335^\circ\text{C}+\text{revenire } 525^\circ\text{C}$

Fig.1.7. brons de aluminiu
CuAlloFeNi5 (după /33/)
a. recupt
b. călire $370^\circ\text{C}/15$ min/ $\text{H}_2\text{O}+$
 10% NaCl
c. călire $370^\circ\text{C}+\text{revenire } 650^\circ\text{C}/$
3 ore

Abdul 1.1. Proprietățile mecanice ale bronzurilor de aluminiu

Simbolul ajutoriu	Tratament termic aplicat	Proprietăți mecanice			
		Rm [daN/mm ²]	R _{p0,2} [daN/mm ²]	A ₅ [%]	HB [daN/mm ²]
Cu Al 9 3TAS 198/2 - 80	turnat - forme temporare - cochile	min. 34 min. 39		min. 15 min. 16	80 90
Cu Al 10 după [38]	Recoacere 900°C răcire lento Călire 900°C / opă revenire 525 °C	56 70	28 40	22 10... 12	100 170
CuAl9Fe5Ni5 3TAS 198/2 - 80	Turnat - forme temporare - cochile	min. 54 min. 59		min. 10 min. 10	110 120
CuAl11Fe6Ni4 după [38]	Turnat, sablat Călire 875°C/ opă + revenire 650°C	70 84	R _{p0,5} : 34 R _{p0,5} : 48	12 10	195 230
Bronzul 7 (81Cu-11Al- 4Fe-4Ni) [59]	Turnat, forme temp rare Turnat + imbunătățit 870... 900 °C / H ₂ O + 600... 650 °C / 1... 4h H ₂ O forjat forjat + imbunătățit	55... 65 60... 70 70... 75 70... 80	28... 32 40... 50 35... 50 40... 50	6... 20 6... 12 10... 25 5... 15	140... 200 200... 220 180... 220 200... 240
Ga-CuAl11 Fe 4 Ni 4 UNI 8275 [62]	Turnat, sablat imbunătățit	63... 70 75... 85	28... 35 42... 54	6... 10 5... 8	160... 240 200... 240

Cu toate că în SAMS 203-75 și 3TAS 198/2-80 nu sunt recomandate tratamente termice pentru bronzurile de aluminiu, se observă că

aplicarea unui tratament termic de eștire și revenire conduce la creșterea proprietăților mecanice cu 20...25 %, fără ca alungirile să fie puternice diminuate.

Aceste două observații au orientat cercetările spre bronzurile complex aliaste cu Fe și Ni, asupra cărora s-a concentrat apoi investigațiile bibliografice și cercetările experimentale.

1.4. Utilizarea bronzurilor de aluminiu

Cu toate că bronzurile de aluminiu complex aliaste cu fier și nichel sunt scumpe și componentele lor sunt elemente strategice, deficitare, sau energointensive, ele găsesc un domeniu de utilizare din ce în ce mai largit, mai ales prin pătrunderea cu succes în remurile de vîrf ale științei și tehnicii mondiale. Competitivitatea lor tehnici și economică este explicată prin faptul că posedă caracteristici mecanice ridicate (depășește caracteristicile oțelurilor carbon de calitate), rezistență la uzură abrazivă excelentă (mai mare decât a bronzurilor de staniu), suportă presiuni de contact pînă la 2500 dall/cm^2 , sunt foarte rezistente la cavitație, rezistente la coroziune în foarte multe medii agresive și suportă aceste solicitări simultan, la temperaturi scăzute și înalte.

Astfel, bronzurile de aluminiu complex aliaste cu fier și nichel sunt utilizate în tehnica aero-spacială, în tehnica nucleară, de exemplu sub forma unor schimbătoare de căldură cu o fiabilitate de pînă la 600 °C mai mare decât cele confectionate din alte aliaje de cupru; în industria chimică, de neînlocuită în industria potasiului; în industria hîrtiei de exemplu pentru confectionarea unor tamburi agabaritice perforați; în construcții navale pentru elice, arbore, cîrmă, ardituri, lanțuri navale, pompe (carcase, piatoane, bieli), părți din turbine (paleta de turbine); în instalații complexe de desalinizare apăi; în industria extractivă a țîțoiului (pompă de noroi); în industria minieră; în tehnica criogenică; în construcția de mașini pentru piese foarte greu solicitate ca relei și roți mîlcate, roți dințate, uscune și ghidaje de cupape pentru motoare, cuzzineti și crăpădine interne solicitate, mai ales cînd apar vîrfuri de solicitări sub formă de lovitură; contrînte pentru deformare plastică a materialelor, plăci de presiune, piotre de culisă, glisiere, becuri de ghidare, ardituri pentru tehnica preciunilor foarte finale.

Din cererile necesității de asigurare a economiei naționale cu materiale și produse realizate în țară, dar de competitivitate internațională, cu deziderate economice legate de utilizarea ratională a materialelor deficitare și energointensive, apără la adesea amplioră importanță cunoașterii comportării în cele mai diverse solicitări ale bronzului de aluminiu complex aliat, dar cu un conținut de nichel majorat față de continente ușoare, și ridicării proprietăților lui mecanice, chimice și tehnologice prin tratamente termice la nivelul bronzurilor mai bogat aliante.

Capitolul 2

Antrenajul obiectat

2.1. Stabilirea rețetei și elaborarea aliajului

Chiar dacă literatura de specialitate este relativ săracă în ceea ce privește influența elementelor de aliere asupra structurii și proprietăților bronzurilor de aluminiu, în special în privința influenței simultane a fierului și nichelului, se găsește suficiente rețete de bronzuri de aluminiu complexe aliante cu Fe, Ni, Mn. Pentru a ilustra mareea varietate a rețetelor utilizate pentru elaborarea bronzurilor de aluminiu cu structură $\alpha + \chi$, respectiv $\alpha + \chi + \gamma_2$ s-au prezentat în tabelul 2.1. (anexă) o selecție din cele 94 de bronzuri de aluminiu analizate în studiul bibliografic. Din datele stipulate în tabel se observă că predilecția rețetelor cu 5 % Fe și 5 % Ni la o concentrație de 10 % Al. Se remarcă însă și unele tendințe de a reduce conținutul în nichel și fier la 4 % fiecare, cu ridicarea conținutului de aluminiu la 11 chiar 12 % contru la xistre caracteristicile mecanice ridicate (aliajele 5; 8). Proprietățile mecanice ale bronzurilor de aluminiu pot fi influențate pozitiv fără din elaborare folosind diferenți modificatori ca B, Ti, Zr, Cu /27/, /50/. S-a reținut observația foarte interesantă că adăugiri concomitente de 0,01 % B și 0,01 % Ti au un puternic efect de finisare a granulației și măresc caracteristicile mecanice ale bronzurilor de aluminiu (cu 10...13 % Rm și cu 40...45 % A) /53/.

Aceste date au condus la stabilirea unei rețete cu următoarea compoziție chimică nominală: Cu 11,0Fe 4Ni 14Mn 1 și cu un conținut mai înalt decât cel prescris la sortimentele acordante în S.S.R. 203-75 și S.S.R. 198/1-80, dar utilizat de diferite firme producătoare /53/ și anume: Cu 78...84 %; Al 9...11,5 %; Fe 3...5%; Ni 3...5%; Mn 0,5...1,5%; Ti_{max} 0,8 %. Oricum, ecartulul ușor permit obținerea bronzurilor cu structură $\alpha + \chi$ multă din sortimente. În sortimentele cu conținut mai redus de Ni, din cauza ecartului mare, pot apărea atât structuri $\alpha + \chi$ cât și $\alpha + \chi + \gamma_2$. Totodată ecartul mare nu permite coborârea sub 4 % a nichelului nominal. Bronzul Cu 11,0Fe 4Ni 14Mn 1 a fost elaborat în condiții industriale la I.C.D. desigur și turnat sub formă de bare. S-a obținut însă obținerea unui aliaj cu un conținut redus

de 3...3,5 % Ni pentru a studia posibilitatea economicirii acestuia.

Barele utilizate pentru investigatii au fost cojite la dimensiunile de \varnothing 85x260 mm. Efectul pozitiv al forjării cuprea proprietăților bronzurilor de aluminiu, cunoscut în literatură de specialitate /93/ a fost cauză pentru care o parte din bare au fost supuse deformării în intervalul 950...750°C cu un grad de deformare de 66 %.

Compoziția chimică a produsului finit, de terminată prin analiză chimică diferențială și confirmată de analiza spectrală este redată în tabelui 2.2.

Tabelul 2.2. Compoziția chimică a broncului de aluminiu
CuAl10Fe4Ni4MnTi //

g%	Al	Fe	Ni	Mn	Ti	Impurități
80,1	10,52	4,7	3,2	0,06	0,6	rest

Această compoziție se încadrează mai bine în simbolul CuAl11 Fe5Ni3,5MnTi, dar datorită ecuației relativ mare admisă, la 3,5 % Ni nominal se riscă să se obțină un aliaj fragil fără fază χ . De aceea s-a păstrat simbolul CuAl10Fe4Ni4MnTi.

Din barele turnate respectiv forjate au fost prelevate conform JFAS 8394-69 probe de tracțiune Na/ \varnothing 5,64x30 mm (JFAS 200-75), probe de rezistență loxloex50mm cu creșătură în V (JFAS 7511-61), probe \varnothing lox25 mm pentru încercări în usucă abraziivă, probe de corozie 3x20x50 mm (JFAS 7114-60), probe 4x4x25 mm pentru analiza dilatometrică, probe \varnothing 18x8 mm pentru analiza metalografică și sclerometrică.

2.2. Microstructura aliajului realizat

Analiza metalografică a fost efectuată pe probe pregătite metalografic și atacate cu $HNO_3 + CrO_3 + H_2O$. Structura inițială a broncului studiat a fost de tipul $\alpha + \chi + \gamma_2$. Aceasta s-a demonstrat pe baza D.E. redată în figurile 1.3., 1.4., 1.5., pe baza analizei dilatometrice și prin etape metalografice speciale:

$NH_3 + H_2O_2 + H_2O$ care evidențiază fază γ_2 . Se precizează că toate micrografiile prezентate în lucrare sunt realizate cu ajutorul atacului $HNO_3 + CrO_3 + H_2O$.



Fig.2.1. CuAl10Fe4Ni4Mn1Ti.
Turnat, M.J. x500

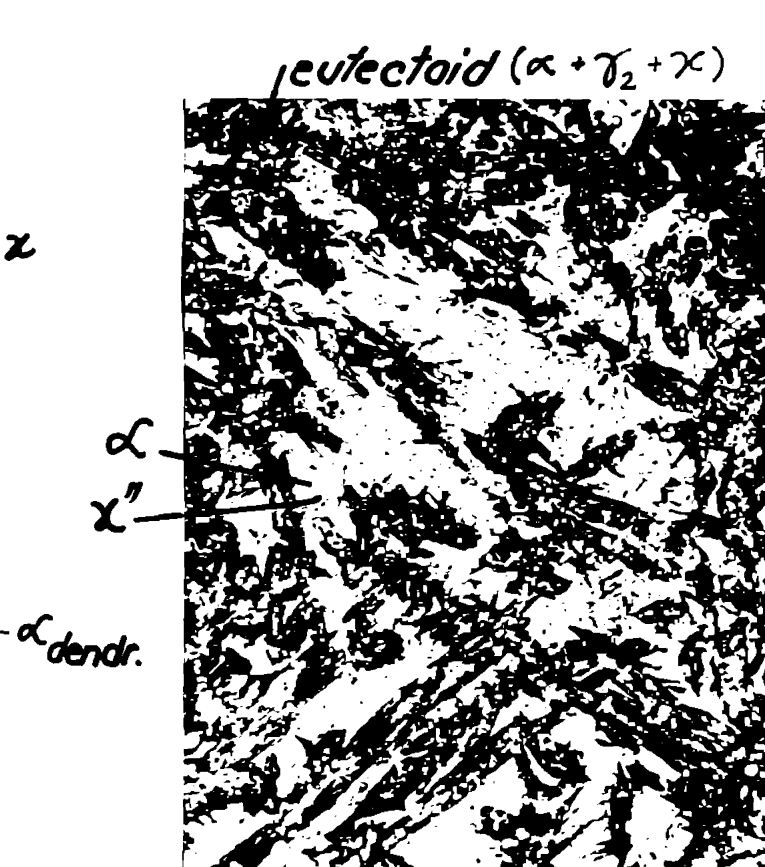


Fig.2.2. CuAl10Fe4Ni4Mn1Ti.
Forjat 660°C. x500

In figura 2.1. este prezentată structura de turnare a bronzului studiat cu cristale (de culoare albă) dendritice ale soluției solide α , grosolane, dendrite ale fazei χ (de culoare specifică gri-gălbui pe imagini color) de dimensiuni mai mici, eutectoid $\alpha + \gamma_2$ (+ χ) de culoare închisă, precipituri de fază χ (probabil χ'' sau dendrite mici). În concluzie este o structură dendritică, nu prea grosolană pentru o structură de turnare, dacă ține cont de datele bibliografice /19/; /41/; /59/; /62/.

In figura 2.2. este prezentată structura materialului forjet. Constituenții strucțurali: α și amestocul mecanic eutectoid cu aspect acicular ca într-o strucțură tip Widmannstätten. Dendritele fazei χ cu foot său mare și curăță disolvate prin încălzire la 350°C și distruse (răfinită) prin forjare. Această lucru se manifestă și în cantitatea sporită de fază χ , care apare de regulă de formă globulară în soluția solidă α , dar și în eutectoidul ($\alpha + \gamma_2$). Strucțura Widmannstätten este o consecință a răciorii și a călăribilității mari a aliajului. Această strucțură aciculară și cantitatea mare de fază χ disolvată în timpul forjării care, în parte, se separă la răcire sub formă de precipituri fine care blochează dislocațiile explică proprietățile mecanice obținute în această stare care sunt multe mai bune decât cele

înregistrate pentru otare turnată /47/ (vezi tabelul 4.4.). Aceste rezultate sunt în contradicție cu datele bibliografice /59/ dar și cu motivatia microstructurală.

2.3. Analiza dilatometrică

Pe un dilatometru Dl.10,2 cm încălzire în vid au fost ridicate dilatogrammele probelor confectionate din semifabricate turnate sau forjate precum și din semifabricate turnate și reccapte 24 de ore la 900°C , prelevante longitudinal și transversal. Viteza de încălzire folosită în dilatometru a fost de $1,5^{\circ}\text{C}/\text{min}$. În figura 2.3. se exemplifică alura curbelor dilatometrică pentru probe turnate, prelevate longitudinal. Alte cazuri semnificative sunt reduse în figurele 2.4... 2.7. (planga II, anexă).

Determinarea punctelor critice de transformare s-a făcut prin metoda tangentei la inflexiune - fie pe curba dilatometrică -

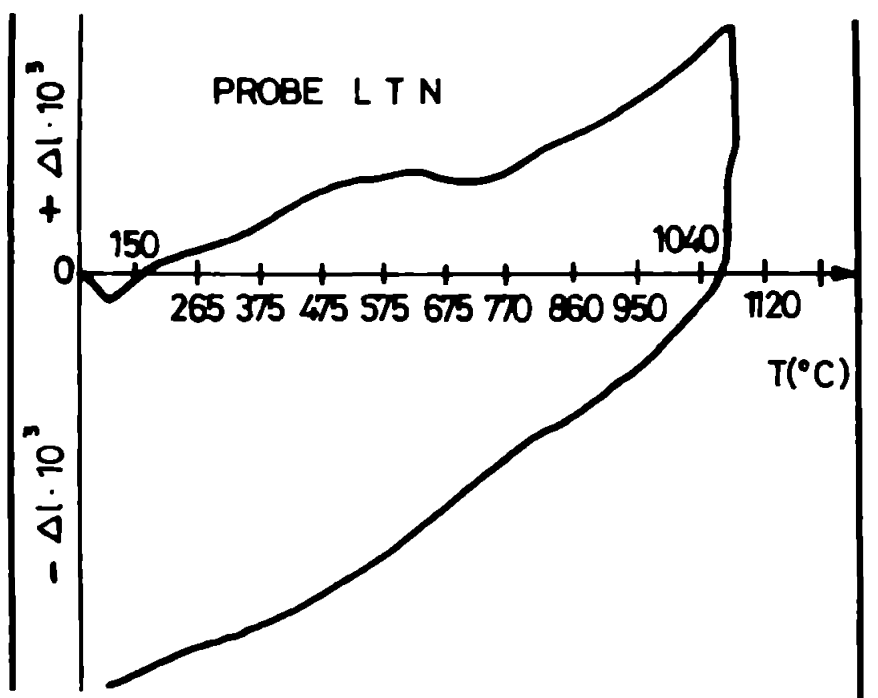


Fig.2.3. Dilatogramă. Probă turnată, prelevată longitudinal

fie pe curba dilatometrică derivată grafic.

Interpretarea rezultatelor a fost dificilă datorită unor aspecte particolare ale dilatogramelor și anume: la încălzirea apără, în toate cazurile, o anomalie în jurul temperaturii de $100...200^{\circ}\text{C}$ care indică o transformare de tipul ordine-desordine, nesemnalată în literatura de specialitate (adică la bronzuri de aluminiu complex aliate, respectiv la temperaturi atît de coborite); apoi la încălzire

în continuare două transformări structurale, pe cind la răcire apar trei puncte critice. Analisând D.E. din figurile 1.3.; 1.4.; 1.5., apar posibile numai următoarele transformări structurale: $(\alpha + \gamma_2) \rightarrow \beta$ (reacție eutectoidă), apoi disolvarea aproape simultană a fazei χ în soluția solidă β cu transformarea $\alpha \rightarrow \beta$. La răcire, separarea fazei χ se produce imediat (chiar dacă se aplică o căldură de la 1000°C /21/), pe cind separarea soluției solide α din β și reacția eutectoidă $\beta \rightarrow (\alpha + \gamma_2)$ sunt afectate de un histerezis relativ mare, apărând ca inflexiuni distincte pe curba de răcire.

Pornind de la aceste considerente și de la faptul că structura de echilibru a aliajului la temperatură ambientă este $\alpha + \chi + \gamma_2$ a fost posibilă interpretarea curbelor dilatometricice obținute și rezultatele sunt prezentate în tabelul 2.3.

Analiza dilatometrică atestă existența următoarelor transformări structurale:

- la încălzire

- o transformare ordine-desordine în intervalul $100\text{--}200^{\circ}\text{C}$;
- o transformare eutectoidă $(\alpha + \gamma_2) \rightarrow \beta$ în intervalul de temperatură de $500\text{--}750^{\circ}\text{C}$;
- transformarea $\alpha \rightarrow \beta$ peste care se suprapune disolvarea fazei χ în β la temperaturi de $813\text{--}1023^{\circ}\text{C}$;

- la răcire

- separarea fazei χ la temperaturi de 1000°C ;
- transformarea $\beta \rightarrow \alpha$ cu histerezis pronunțat la $625\text{--}750^{\circ}\text{C}$ (probe turnate), la $500\text{--}600^{\circ}\text{C}$ (probe forjate) și la $717\text{--}712^{\circ}\text{C}$ (probe recoapte);
- transformarea eutectoidă $\beta \rightarrow \alpha + \gamma_2$, de asemenea cu histerezis mare la $200\text{--}450^{\circ}\text{C}$ (probe turnate și forjate) respectiv la $320\text{--}525^{\circ}\text{C}$ (probe recoapte).

Analisând valorile prezentate în tabelul 2.3. se constată că sunt relativ disperse; cele obținute pe probe recoapte sunt însă ceva mai grupate. Dispersiona rezultatelor este dusă pe seama structurii dendritice în cazul probelor turnate, a structurii Widmanstätten în cazul probelor forjate și a neomogenității structurii în cazul probelor recoapte. În principal, se consideră că dispersiona rezultatelor este efectul orientării spațiale întâmplătoare a constituenților structurali, în toate cazurile analizate.

5.19.11
5.19.11

Tabelul 2.3. Temperaturile punctelor critice de transformare
ale bronzului CuAl10Fe4Ni4Cu11Ni

Felul/ probiei	Transformare eutectoidică	Transform. $\alpha \rightarrow \beta$ și $\alpha \rightarrow \beta$ [°C]	Transform. $\beta \rightarrow \gamma$	Transform. $\beta \rightarrow \delta$
RURNĂ				
a) Prelevată lungitudinal	înc. 495 ... 755 răc. 459 ... 205	905 ... 1025 —	1070* ... 892	766 ... 625
b) Prelevată transversal	înc. 531 ... 690 răc. 530 ... 403	847 ... 982 —	1072 ... 847	728 ... 625
FORJATĂ				
a) Prelevată lungitudinal	înc. 426 ... 692 răc. 409 ... 237	831 ... 1023 —	1011 ... 816	590 ... 511
b) Prelevată transversal	înc. 535 ... 694 răc. 374 ... 219	896 ... 1008 —	970 ... 845	623 ... 495
RECOARTĂ:				
a) Prelevată lungitudinal	înc. 575 ... 637 răc. 525 ... 367	856 ... 950 *	950* ... 848	717 ... 679
b) Prelevată transversal	înc. 558 ... 708 răc. 503 ... 320	813 ... 1000 *	1000* ... 907	812 ... 683

NOTĂ: valoile notate cu * reprezintă temperatură de sfârșit
de încălzire.

Întrucătă oarecum și faptul că valorile determinate nu
sunt dependente de direcția de prelevare a probelor, în schimb s-a
observat accentuarea histeresisului în separarea soluției solide α din
soluția solidă β , în cazul probelor forjate.

După cum era de așteptat, histeresiul minim este înregistrat
în cazul probelor recalcate, adică în cazul structurii care este în
echilibru.

Dacă se compară rezultatele obținute cu diagrama transformărilor în afară de echilibru, figura 1.2., se observă că efigriul transformării eutectoide se plasează în zona temperaturilor transformării martensitice. Astfel, se explică ușurința cu care apar structuri în afară de echilibru, duritatea mare și achiziabilitatea mai redusă a acestui aliaj în stare de livrare.

2.4. Concluzii

Bronzul de aluminiu elaborat se încadrează în grupa bronzurilor complex aliata cu un conținut mediu în nichel și structură $\alpha + \chi + \gamma_2$. Proprietățile mecanice în stare turnată sau forjată sunt modeste (tabelul 4.4. sau /47/). Compoziția chimică și structura sunt în concordanță cu D.E. analizate.

Efectul puternic fragilizant al fazei γ_2 /1/; /17/; /26/, explică proprietățile mecanice modeste obținute pe probe turnate sau forjate ale bronzului studiat, pune însă sub semnul întrebării rezultatele bune ale unor firme producătoare /50/; /62/ (tabelul 1.1.).

Un alt rezultat diametral opus datelor bibliografice /59/ este micșorarea proprietăților mecanice în urma forjării, rezultat care își susține pe deplin justificarea prin transformările structurale care au loc, prin blocarea dislocațiilor de către precipitări ale fazei χ și datorită prezenței fazii γ_2 .

Rezultatele contrare datelor bibliografice au fost verificate de mai multe ori și s-a încercat explicarea lor prin prisma rezultatelor analizei metalografice.

Investigațiile au fost orientate spre identificarea parametrilor tehnologici de tratament termic importanți, de ierarhizarea acestora după influența lor asupra proprietăților mecanice, apoi treptat, de la simplu la complex să studiază efectul diferitelor varianțe tehnologice de tratament termic asupra structurii și proprietăților bronzului analizat urmărindu-se în special ameliorarea proprietăților plastice și proprietăților de temacitate și ridicarea caracteristicilor de rezistență la nivelul datelor bibliografice. Nu au fost neglijate nici aspectele comportării bronzului în medii agresive sau în uzură, proprietăți care pe lângă caracteristicile mecanice, fac competitive bronzurile de aluminiu atât din punct de vedere tehnic cât și economic.

CAPITOLUL 3

TRATAMENTE TERMICE APPLICATE BRONZULUI CuAl₆Fe4Ni4Cu17Ni

3.1. Identificarea statistică a parametrilor tehnologici semnificativi la tratamentul termic de îmbunătățire folosind metoda bilanțului aleator

In tratamentul termic al bronzului studiat in particular și al unui altiaj metalic în general intervin mulți parametri tehnologici și mărimi variabile care caracterizează starea inițială, din care cele mai importante sunt:

- temperatura de încălzire pentru căldire (T_o);
- temperatura de revenire (T_R);
- timpul de menținere la T_o (t_{men});
- modul de căldire;
- durata de revenire (t_y);
- modul de răcire la revenire;
- tratamentul termic primar aplicat (T_{T_p});
- starea de livrare (turnat, forjet, etc.);
- modul de încălzire la căldire;
- modul de încălzire la revenire;

Fiecare din acești parametri, considerind compoziția chimică a materialului și dimensiunile opereveelor constante, va influența proprietățile mecanice obținute după tratamentul termic. În o evaluare modestă se poate presupune că fiecare din acești parametri (variabile în limbaj statistic) poate lua 4 valori distincte, ceea ce conduce la $4^{10} = 1.048.576$ combinații posibile. Ar fi într-oarecare prea mult să se pretindă unui cercetător să cerceteze efectele tuturor acestor combinații pentru a determina care sunt cele mai potrivite cazului practic dat. Parametri tehnologici sunt în general variabile independente și fiecare combinație a variabilelor independente controlabile va avea, în general, un alt efect asupra fiecărui din criteriile de performanță dependente (proprietăți mecanice, de exemplu). Metoda de planificare a încercărilor și de analiză statistică care permite reducerea puternică a numărului de experimente este METODA BIANȚULUI ALEATOR (random) /36/. Volumul mare de calcule, poate fi efectuat actual-

monte în cîteva secunde, folosind un program de calcul original, prezentat în /11/.

Metoda bilanțului aleator permite stabilirea parametrilor tehnologici cu influență puternică asupra criteriilor de performanță cercetate, ierarhizarea lor. Se pot detecta astfel, și parametri cu influență redusă, al căror efect asupra proprietăților cercetate se pierde în "zgomotul de fond".

Cercetările privind stabilirea unui tratament termic optim pentru bronzul CuAlloFe4Ni4Mn și au început cu un experiment planificat după metoda bilanțului aleator și rezultatele obținute au fost comunicate /12/.

Se pare că acest experiment a fost prima încercare de a utiliza metoda bilanțului aleator în rezolvarea unor probleme metalurgice. De aceea, în cale ce urmecă se precizează unele particularități ale acestei metode și elementele originale din interpretarea rezultatelor.

Pentru experiment au fost luate în considerare primii 8 parametri tehnologici enumerați mai sus, mediu de fizibilitate fiind constant: aer. Acești parametri, cu nivalele lor de variație sunt prezentate în tabelul 3.1.

Tabelul 3.1. Parametri tehnologici ale experimentului

Nr crt.	Variabile independente	Nr. de nivele în variabile	Valori efective ale nivelelor de variație						Numărul fiecărui nivel		
1	Starea de livrare	2	turnat (a)		forjat (b)					24	
2	Tratament termic primar	3	nerezat (a)	recupt (b)		recupt ciclic (c)				16	
3	Temperatura de căldură T_c [°C]	6	700 (a) 750 (b) 800 (c) 850 (d) 900 (e) 950 (f)							8	
4	Durată de menținere la T_c [min]	3	5 (a)		10 (b)		15 (c)				16
5	Mediu de răcire la căldură	3	ulei (a)		apă (b)		apă+NOC (c)				16
6	Temperatura de revenire T_R [°C]	4	450 (a)	500 (b)	550 (c)	650 (d)				12	
7	Durată de menținere la T_R [min]	3	30 (a)		90 (b)		180 (c)				16
8	Mediu de răcire la revenire	4	ulei (a)	apă (b)	apă+NOC (c)	aer (d)				12	

Numărul necesar de probe se alege convenabil, condiția este ca acest număr să fie un multiplu comun al nivelelor de variație ale variabilelor. S-a ales ca multiplu comun 48.

Distribuirea întâmplătoare (randonizarea) a valorilor mivelelor de variație s-a făcut cu ajutorul unui generator de numere aleatoare. Fluxul complet al încercărilor este prezentat în tabelul 3.2.

Analizind tabelele 3.1. și 3.2. se constată că au fost utilizate probe provenite din semifabricate turnate și din bare forjate. Ca nivele de variație ale coloii de a două variabile, tratamentul termic primar, au fost stabilită: a care corespund probele netratate

Taboulul 3.2. Antrenorii implicate în experimentul lui

termice, docareea în ANS 203-75 și SNS 190-80 nu sănt urmărite tratamente termice primare pentru bronzurile de aluminiu; nivelul **b** care înseamnă proba recopărt conform ciclogramei prezentate în figura 3.1., și nivelul **c** care reprezintă o reconcere pondulară conform ciclogramei redată în figura 3.2.

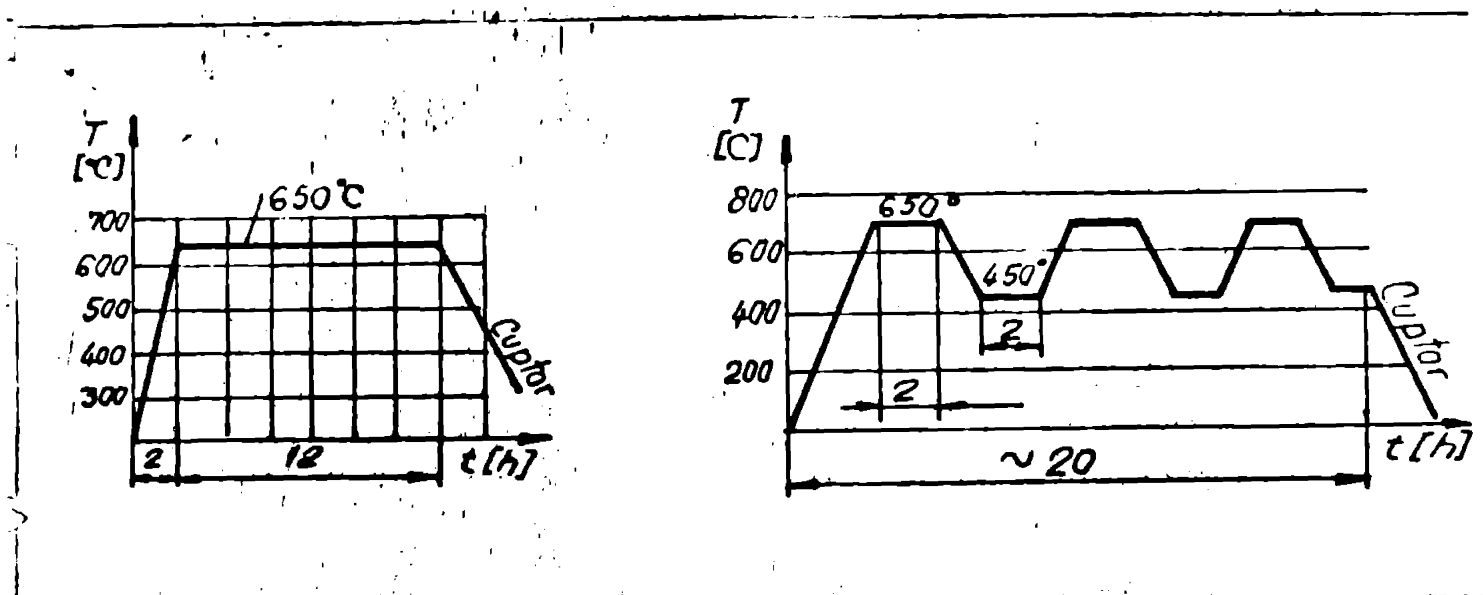


Fig.3.1. Ciclograma recoacerii simple

Fig.3.2. Ciclograma reconcerii pendulare

Temperatura de încălzire pentru călire a fost luată între 700 și 950°C iar durata de menținere între 5 și 15 minute, pe considerentul că eșantioanele sunt de dimensiuni mici și dureate similare au fost recomandate în unele lucrări /38/; medii de călire: apă, ulei și apă + 10% NaCl, ultimul fiind recomandat de mai mulți cercetători /7/, /21/.

Cu temperaturi de revenire s-au utilizat cele recomandate în literatura de specialitate, dar și o temperatură mai joasă (350°C) pentru a sesiza o eventuală fragilizare la revenire. De asemenea s-au experimentat 3 dureta de revenire și 4 medii de răcire.

Pe baza planului de experimentare au fost tratate cele 48 probe de tractiune și supuse apoi încercărilor la tractiune, sclerometrică și metalografie.

Încercările la tractiune au scos în evidență fragilitatea probelor, cu valori ale alungirilor și gătuirilor la rupe sub 2% și care au fost, pentru început, considerate insignificante. De aceea din proprietățile mecanice au fost reținute numai rezistența la rupe și și duritatea ca funcție de răspuns. Valorile obținute în urma acestor încercări sunt redate în tabelul 3.3. Se precizează că s-a renunțat la reprezentarea grafică a rezultatelor după sistemul prezentat în /38/, deoarece aceste grafice indică numai dispersia funcției de răspuns pentru fiecare variabilă considerată și au putere de exprimare redusă. În schimb s-au construit graficele din figurile 3.6. și 3.7. după interpretarea rezultatelor.

Etapile de calcul în vedere ordonării variabililor semnificative în funcție de mărimea efectului lor asupra funcției de răspuns sunt cunoscute din literatura de specialitate /11/, /56/.

Tabelul 3.3. Matricea funcțiilor de răspuns

Nr. crt.	τ_m [N/mm ²]	$HB_{5/250/15}$ [daN/mm ²]	Nr. crt.	R_m [N/mm ²]	$HB_{5/250/15}$ [daN/mm ²]
1	552	205	25	337	219,3
2	510	201,6	26	644,6	220
3	518	218	27	517	284
4	340	333	28	355,5	303
5	450	309	29	239	280,3
6	362,5	199,3	30	345,5	212,3
7	366,7	376	31	468	361
8	408,6	352	32	298	342
9	356	322	33	507	197,6
10	371	220	34	596,4	219
11	292	246	35	577,4	203,6
12	517	199,6	36	348	237,3
13	323	209,6	37	293	345
14	348,3	207,6	38	351	178,3
15	513	309	39	210	309
16	513	213,3	40	338	291,3
17	362	240,3	41	336,6	324
18	597	217,3	42	500,4	197
19	509	185	43	463	301
20	459	234,6	44	333	355
21	578	227,6	45	312	278,3
22	410,4	206	46	364	191
23	302	355	47	304	339
24	552	246,3	48	334	219,6

Jaculul coasta fiind foarte laborios s-a scris un program în limbaj BASIC pe baza celui prezentat în /11/ și a rulat pe o unitate Hewlett-Packard 2000.

Se precizează că particularitățile metodei constă în posibilitatea aplicării unei "corecții" după ordonarea variabilelor după influența lor asupra funcțiilor de răspuns. Corecția are ca scop eliminarea efectului variabilei de prim ordin și poate să conducă la răsturnări de poziții în ierarhia inițială a parametrilor (figura 3.3.; valorile care-și modifică rangul sunt subliniate).

PROBLEMA	
8	1
MEDIA F	
414.637	6069
415.240	1172
<u>421.547</u>	3.0830
422.050	1172
422.553	6069
423.056	1172
423.559	3.0830
424.062	6069
424.565	1172
425.068	3.0830
425.571	6069
426.074	1172
426.577	3.0830
427.080	6069
427.583	1172
428.086	3.0830
428.589	6069
429.092	1172
429.595	3.0830
430.098	6069
430.598	1172
431.098	3.0830
431.598	6069
432.098	1172
432.598	3.0830
433.098	6069
433.598	1172
434.098	3.0830
434.598	6069
435.098	1172
435.598	3.0830
436.098	6069
436.598	1172
437.098	3.0830
437.598	6069
438.098	1172
438.598	3.0830
439.098	6069
439.598	1172
440.098	3.0830
440.598	6069
441.098	1172
441.598	3.0830
442.098	6069
442.598	1172
443.098	3.0830
443.598	6069
444.098	1172
444.598	3.0830
445.098	6069
445.598	1172
446.098	3.0830
446.598	6069
447.098	1172
447.598	3.0830
448.098	6069
448.598	1172
449.098	3.0830
449.598	6069
450.098	1172
450.598	3.0830
451.098	6069
451.598	1172
452.098	3.0830
452.598	6069
453.098	1172
453.598	3.0830
454.098	6069
454.598	1172
455.098	3.0830
455.598	6069
456.098	1172
456.598	3.0830
457.098	6069
457.598	1172
458.098	3.0830
458.598	6069
459.098	1172
459.598	3.0830
460.098	6069
460.598	1172
461.098	3.0830
461.598	6069
462.098	1172
462.598	3.0830
463.098	6069
463.598	1172
464.098	3.0830
464.598	6069
465.098	1172
465.598	3.0830
466.098	6069
466.598	1172
467.098	3.0830
467.598	6069
468.098	1172
468.598	3.0830
469.098	6069
469.598	1172
470.098	3.0830
470.598	6069
471.098	1172
471.598	3.0830
472.098	6069
472.598	1172
473.098	3.0830
473.598	6069
474.098	1172
474.598	3.0830
475.098	6069
475.598	1172
476.098	3.0830
476.598	6069
477.098	1172
477.598	3.0830
478.098	6069
478.598	1172
479.098	3.0830
479.598	6069
480.098	1172
480.598	3.0830
481.098	6069
481.598	1172
482.098	3.0830
482.598	6069
483.098	1172
483.598	3.0830
484.098	6069
484.598	1172
485.098	3.0830
485.598	6069
486.098	1172
486.598	3.0830
487.098	6069
487.598	1172
488.098	3.0830
488.598	6069
489.098	1172
489.598	3.0830
490.098	6069
490.598	1172
491.098	3.0830
491.598	6069
492.098	1172
492.598	3.0830
493.098	6069
493.598	1172
494.098	3.0830
494.598	6069
495.098	1172
495.598	3.0830
496.098	6069
496.598	1172
497.098	3.0830
497.598	6069
498.098	1172
498.598	3.0830
499.098	6069
499.598	1172
500.098	3.0830
500.598	6069
501.098	1172
501.598	3.0830
502.098	6069
502.598	1172
503.098	3.0830
503.598	6069
504.098	1172
504.598	3.0830
505.098	6069
505.598	1172
506.098	3.0830
506.598	6069
507.098	1172
507.598	3.0830
508.098	6069
508.598	1172
509.098	3.0830
509.598	6069
510.098	1172
510.598	3.0830
511.098	6069
511.598	1172
512.098	3.0830
512.598	6069
513.098	1172
513.598	3.0830
514.098	6069
514.598	1172
515.098	3.0830
515.598	6069
516.098	1172
516.598	3.0830
517.098	6069
517.598	1172
518.098	3.0830
518.598	6069
519.098	1172
519.598	3.0830
520.098	6069
520.598	1172
521.098	3.0830
521.598	6069
522.098	1172
522.598	3.0830
523.098	6069
523.598	1172
524.098	3.0830
524.598	6069
525.098	1172
525.598	3.0830
526.098	6069
526.598	1172
527.098	3.0830
527.598	6069
528.098	1172
528.598	3.0830
529.098	6069
529.598	1172
530.098	3.0830
530.598	6069
531.098	1172
531.598	3.0830
532.098	6069
532.598	1172
533.098	3.0830
533.598	6069
534.098	1172
534.598	3.0830
535.098	6069
535.598	1172
536.098	3.0830
536.598	6069
537.098	1172
537.598	3.0830
538.098	6069
538.598	1172
539.098	3.0830
539.598	6069
540.098	1172
540.598	3.0830
541.098	6069
541.598	1172
542.098	3.0830
542.598	6069
543.098	1172
543.598	3.0830
544.098	6069
544.598	1172
545.098	3.0830
545.598	6069
546.098	1172
546.598	3.0830
547.098	6069
547.598	1172
548.098	3.0830
548.598	6069
549.098	1172
549.598	3.0830
550.098	6069
550.598	1172
551.098	3.0830
551.598	6069
552.098	1172
552.598	3.0830
553.098	6069
553.598	1172
554.098	3.0830
554.598	6069
555.098	1172
555.598	3.0830
556.098	6069
556.598	1172
557.098	3.0830
557.598	6069
558.098	1172
558.598	3.0830
559.098	6069
559.598	1172
560.098	3.0830
560.598	6069
561.098	1172
561.598	3.0830
562.098	6069
562.598	1172
563.098	3.0830
563.598	6069
564.098	1172
564.598	3.0830
565.098	6069
565.598	1172
566.098	3.0830
566.598	6069
567.098	1172
567.598	3.0830
568.098	6069
568.598	1172
569.098	3.0830
569.598	6069
570.098	1172
570.598	3.0830
571.098	6069
571.598	1172
572.098	3.0830
572.598	6069
573.098	1172
573.598	3.0830
574.098	6069
574.598	1172
575.098	3.0830
575.598	6069
576.098	1172
576.598	3.0830
577.098	6069
577.598	1172
578.098	3.0830
578.598	6069
579.098	1172
579.598	3.0830
580.098	6069
580.598	1172
581.098	3.0830
581.598	6069
582.098	1172
582.598	3.0830
583.098	6069
583.598	1172
584.098	3.0830
584.598	6069
585.098	1172
585.598	3.0830
586.098	6069
586.598	1172
587.098	3.0830
587.598	6069
588.098	1172
588.598	3.0830
589.098	6069
589.598	1172
590.098	3

funcția de răspuns R_m - în figura 3.7. pentru funcția de răspuns HB. Această mod de reprezentare grafică evidențiază clar variațiilele cu influență mare asupra funcției de răspuns și se evidențiază ușor parametrii a căror influență se pierde în "zgomotul de fond".



Fig.3.4. Ordinea de importanță a variabilelor pentru funcția de răspuns R_m



Fig.3.5. Ordinea de importanță a variabilelor pentru funcția de răspuns HB

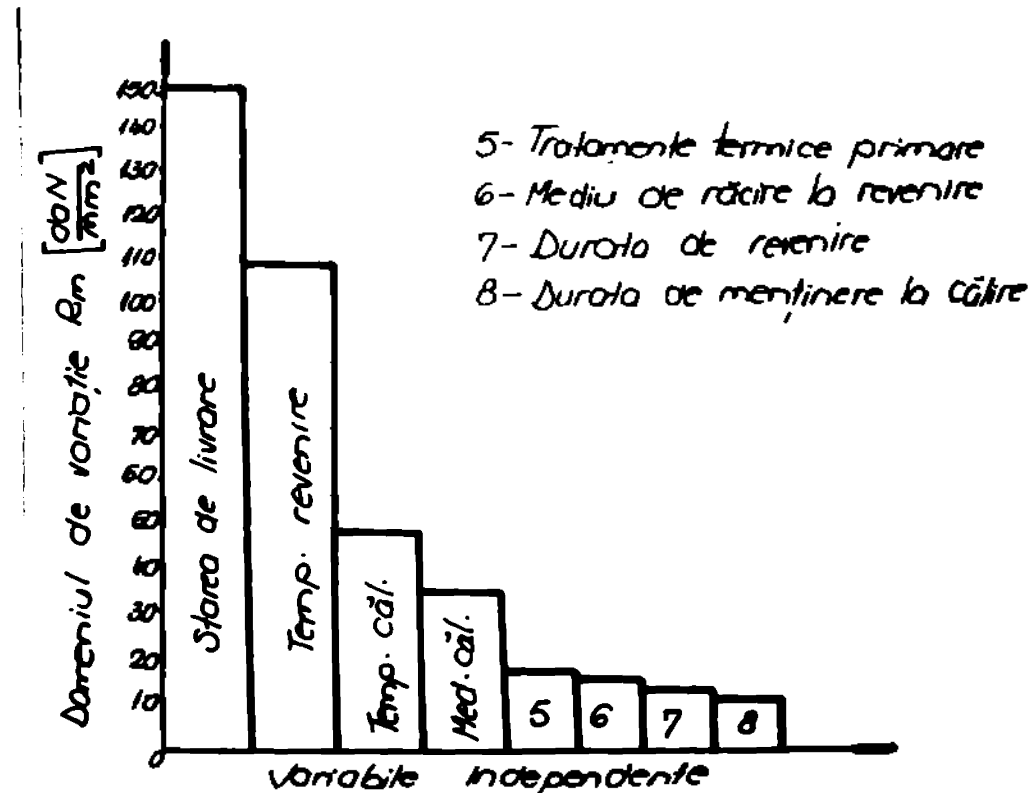


Fig. 3.6. Ierarhizarea parametrilor tehnologici pentru funcția de răspuns R1

Concluzii

Se remarcă, ca rezultat diametrul opus datelor bibliografice, diminuirea proprietăților mecanice în urma forjării, dimineu care nu a fost ameliorat în urma tratamentelor termice aplicate (tabelul 3.3. cu tabelul 3.2.). Din această cauză variabila cu cea mai mare influență asupra rezistenței la rupere este "starea de livrare" (turnat, forjat).

Acest rezultat a condus la investigații privind cauzele acestor diminuiri ale caracteristicilor mecanice în urma forjării și a modalităților de îmbunătățire a acestora prin tratamente termice.

Surprinzător este că din punctul de vedere al duratăi, starea de livrare este un parametru nesemnificativ.

Rezultatele relevă că temperatura de revenire și de căldire au o influență mare asupra proprietăților mecanice luate în considerare, fapt care era de așteptat, cunoșindu-se că acestea sunt parametri tehnologici de bază la orice tratament termic.

Faptul că durata de încălziere pentru căldire și durata de revenire au un efect redus, care se pierde în "zgomotul de fond", ridică întrebarea dacă explicația rezidă în faptul că difuzia depinde exponențial de temperatură și numai de radicalul timpului

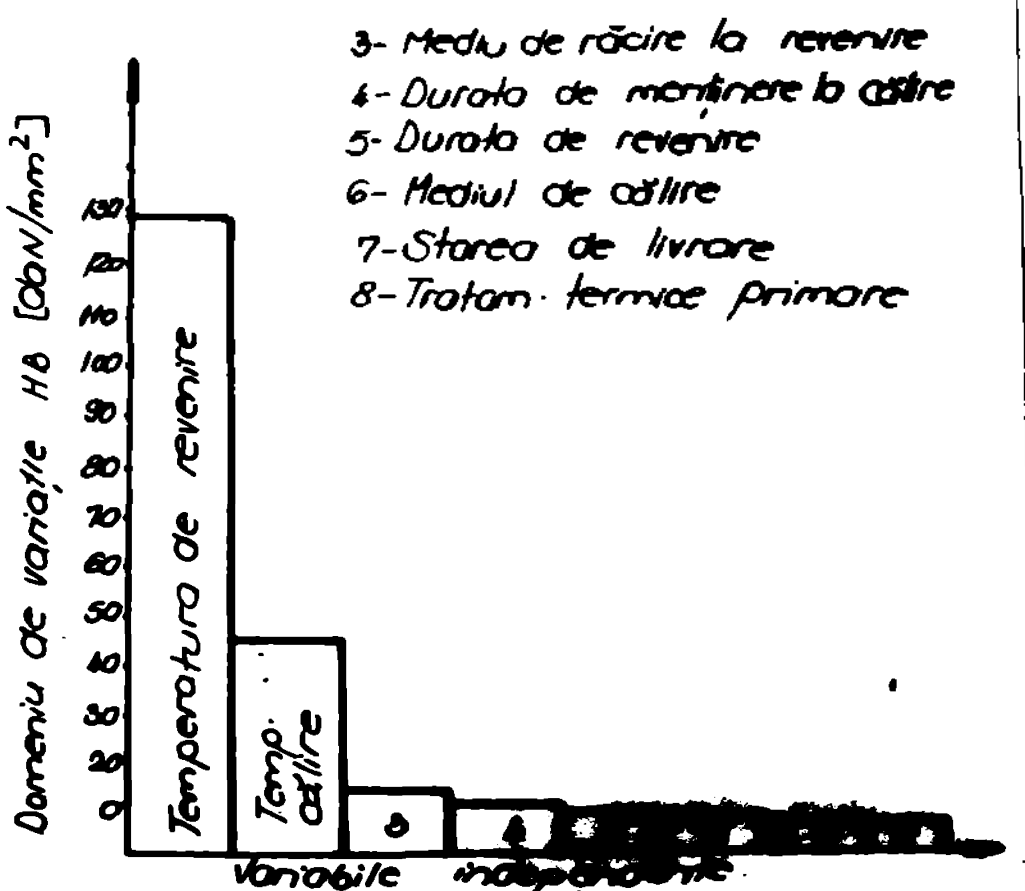


Fig.3.71 Ierarhizarea parametrilor tehnologici pentru funcția de răspuns HB

sau au fost considerate valori ale timpilor mult diferite (mici) față de cele optime.

Se conchide că datele obținute prin acest experiment planificat au orientat cercetările ulterioare mai întâi asupra posibilităților de redodiere ale proprietăților semifabricatelor forjate, cu reliefat că pentru a obține caracteristici mecanice bune este vital de a găsi temperaturile optime de căldură și revenire. Rezultatele acestor investigații vor confirma că duratele de menținere optime sunt mult mai mari decât cele utilizate în experimentul prezentat.

3.2. Tratamente termice aplicate bronzului studiat

3.2.1. Tratamenta termică primară

Investigațiile preliminare (cap.3.1.) au demonstrat ineficiența recoacărilor aplicate. În cadrul acestui rezultat vine și faptul că numai în /24/ s-a găsit recomandări pentru o recoacere, dar și aci fără a se justifica alegerea parametrilor tehnologici (T, t). Totuși rezultatele deosebite obținute cu recoaceri pendulare la bronzul CuNi4T /45/ nu au permis abandonarea ideii eficienței unui tratament termic primar, ci, din contră, au condus la experimentarea a 5 variante noi de recoacere pendulară.

Ciclogramele recăcerilor pendulare aplicate sunt redăte în figura 3.3. Aceste ciclograve difere între ele prin nivelul temperaturilor de menținere și prin viteză de răcire între paleale. Se constată că temperaturile superioare de menținere se află deasupra temperaturilor de sfârșit de transformare eutectoidă la încălzire, iar temperaturile inferioare de menținere se află în domeniul transformării eutectoide la răcire.

3.2.2. Elemente termodinamice aplicante pentru studiul transformărilor structurale care au loc în cîmpul îmbalătării

Pentru a urmări transformările structurale care au loc în cîmpul și revenirea bronzului studiat s-au aplicat următoarele tratamente termice:

1. cîrlire de la 350°C /60 min/ $\text{H}_2\text{O}+10\%$ NaCl urmată de reveniri în domeniul $350...650^{\circ}\text{C}/30...180$ min/ H_2O , aplicate probelor turante;

2. cîrlire de la $1000^{\circ}\text{C}/120$ min/ $\text{H}_2\text{O}+10\%$ NaCl și reveniri în domeniul $450...650^{\circ}\text{C}/45$ min/aer, aplicate probelor turante;

3. cîrlire de la $1000^{\circ}\text{C}/120$ min/ $\text{H}_2\text{O}+10\%$ NaCl și reveniri în domeniul $450...650^{\circ}\text{C}/45$ min/ H_2O , aplicate probelor forjate și recopate după /47/.

Temperaturile de încălzire pentru cîrlire de 1000°C au fost luate după /21/, c.cz de 350°C , după /47/.

Jurîurile mari de menținere sunt consecința rezultatelor experimentale preliminare (cap.3.1. și /12/), a faptului că, exceptând /34/, în literatură de specialitate se recomandă dure de menținere mari /21/, /26/, /59/, /61/ și se justifică prin valoarea redusă a coeficientului de difuzie al aluminiului în cupru /23/. Temperatura de revenire de 350°C și răcire la revenire în apă sau aer au fost efectuate cu scopul de a eluciida fragilitatea la revenire comună în cercetări anterioare /47/ respectiv în literatură de specialitate /3/.

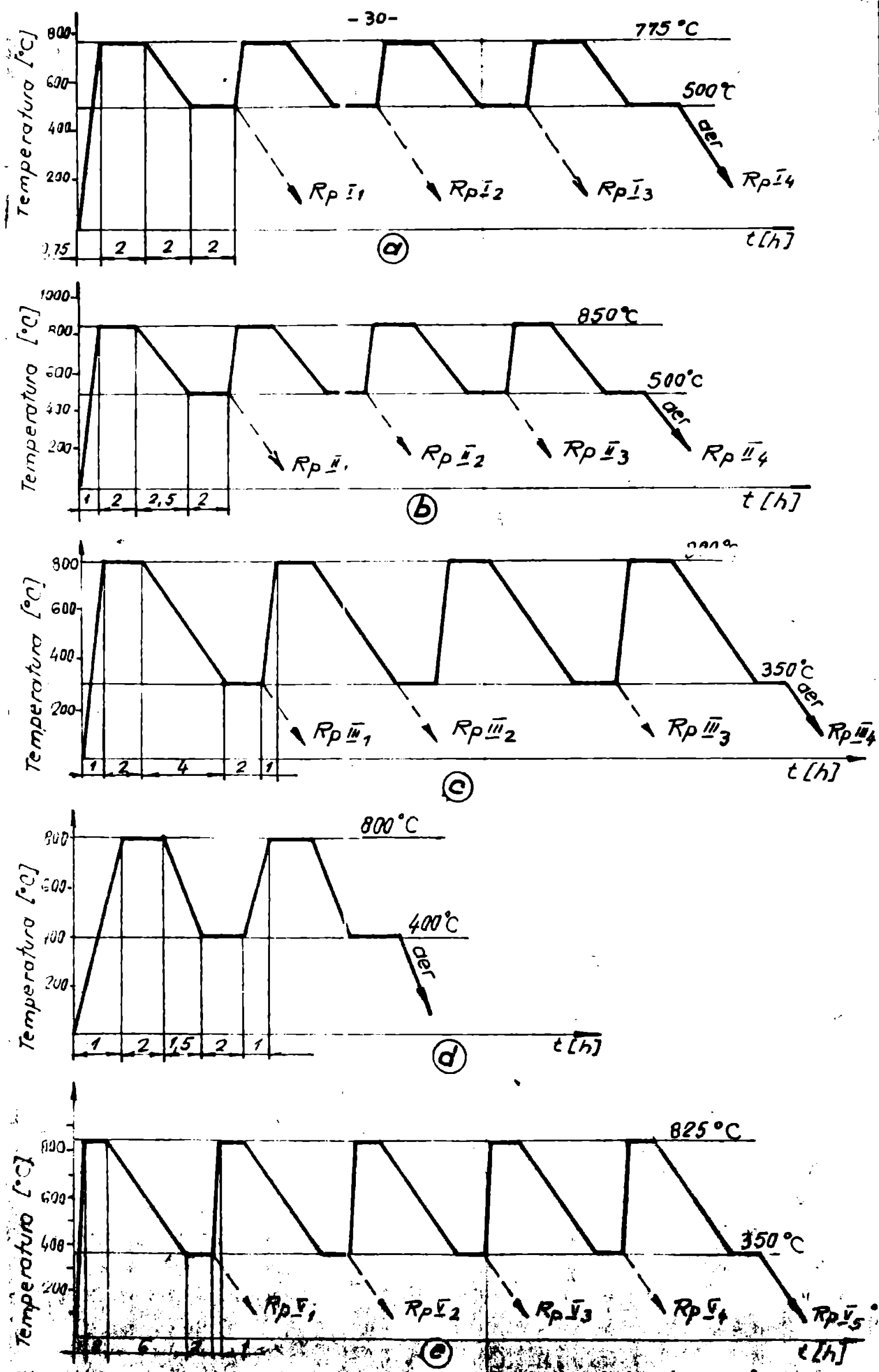


Fig. 3.8 Ciclogramme recocaceri perpendiculare aplicate

Fig. 3.8. Ciclogramme recocacerilor pendulare aplicate

3.2.3. Tratamente termice aplicate pentru determinarea parametrilor tehnologici optimi în vederea obținerii de caracteristici mecanice, tehnologice și chimice ridicate.

Studiind datele bibliografice privind recomandările pentru tratamentul termic final, din care sunt spuse cele mai reprezentative în tabelul 3.4. (anexă) se constată că se recomandă "îmbunătățirea" care conține într-o călăre de la temperaturi situate în domeniul $830\ldots 1000^{\circ}\text{C}$, urmată de o "revenire" în domeniul $600\ldots 650^{\circ}\text{C}$. Pentru aceste regimuri de tratament termic sunt date și caracteristicile mecanice obținute de firmele producătoare /53/, /62/. Cu toate că se precizează ca posibile și temperaturi de revenire de $400\ldots 550^{\circ}\text{C}$, pentru aceste regimuri însă, nu se indică caracteristicile mecanice. Se remarcă că faptul că în cazul temperaturilor de "revenire" de $600\ldots 650^{\circ}\text{C}$ se prescrie răcirea în apă sau $\text{H}_2\text{O}+10\% \text{NaCl}$ pe cind pentru revenirile în domeniul $400\ldots 550^{\circ}\text{C}$ mediu de răcire este aerul. Comparând aceste regimuri cu D.S. posădător (fig.1.3. și 1.4.) precum și cu datele analizei dilatometrică (tabelul 2.3.) se constată:

- temperaturile de călăre se situează în domeniul $\alpha+\beta+\gamma$ ($830\ldots 950^{\circ}\text{C}$), eventual $\beta+\gamma$ (950°C) și β (1000°C). În /33/ se recomandă atât călăre din domeniul $\alpha+\beta+\gamma$ cît și do la 1000°C , lăsând pericolul de creștere a granulației în domeniul monofasic prin durată de menținere scurtă: 1j... 30 minute.

- surprinzătoare sunt temperaturile de revenire de $600\ldots 650^{\circ}\text{C}$, care situează căiajul în domeniul $\alpha+\beta+\gamma_2$ sau chiar $\alpha+\beta+\gamma$, asociate cu o răcire bruscă în apă. De fapt "revenirea" finală este o călăre incompletă. Din acest motiv, în lucrarea de față, nu s-a mai folosit termenul de "îmbunătățire" ci de "călăre dublă".

Înăind cont de aceste observații, care pun sub semnul întrebării teoriile existente privind transformările structurale, la "îmbunătățirea" bronzurilor de aluminiu, cum încearcă, din aproape în aproape, multe regimuri de călăre-revenire, folosind metoda călărilor succesive, scopul fiind, în special, ridicarea caracteristicilor de plasticitate, decarece caracteristicile de rezistență și usuzul obținute în traiul coroanelor preliminare /47/, /48/ au fost întotdeauna bune.

Autfel, s-a tratat termic probe de tractiune și de rezistență în felul următor:

- călire de la temperaturi de 700, 750, 800, 850, 900, 950, 1000°C în apă + 10% NaCl;

- călire de la temperaturile menționate urmate de reveniri în domeniul 350...550°C;

- călire de la temperaturi de 700...1000°C urmate de o călire incompletă la 650°C (căliri duble);

- căliri de la 700...1000°C urmate de o călire de la 650°C și de o revenire joasă (detensionare) la 150°C. Pe principiul acestui tratament termic complex au fost concordate o serie de tratamente termice constând din căliri de la 350°C, căliri de la 650°C și reveniri joase la 150°C, denumite generic "termociclace". Ciclogramele variantelor de termociclace sunt redate în figurile 3.9., 3.10., și 3.11.

- căliri - reveniri complexe, a căror ciclograme sunt prezentate în anexă - fig. 3.12. ... 3.17.

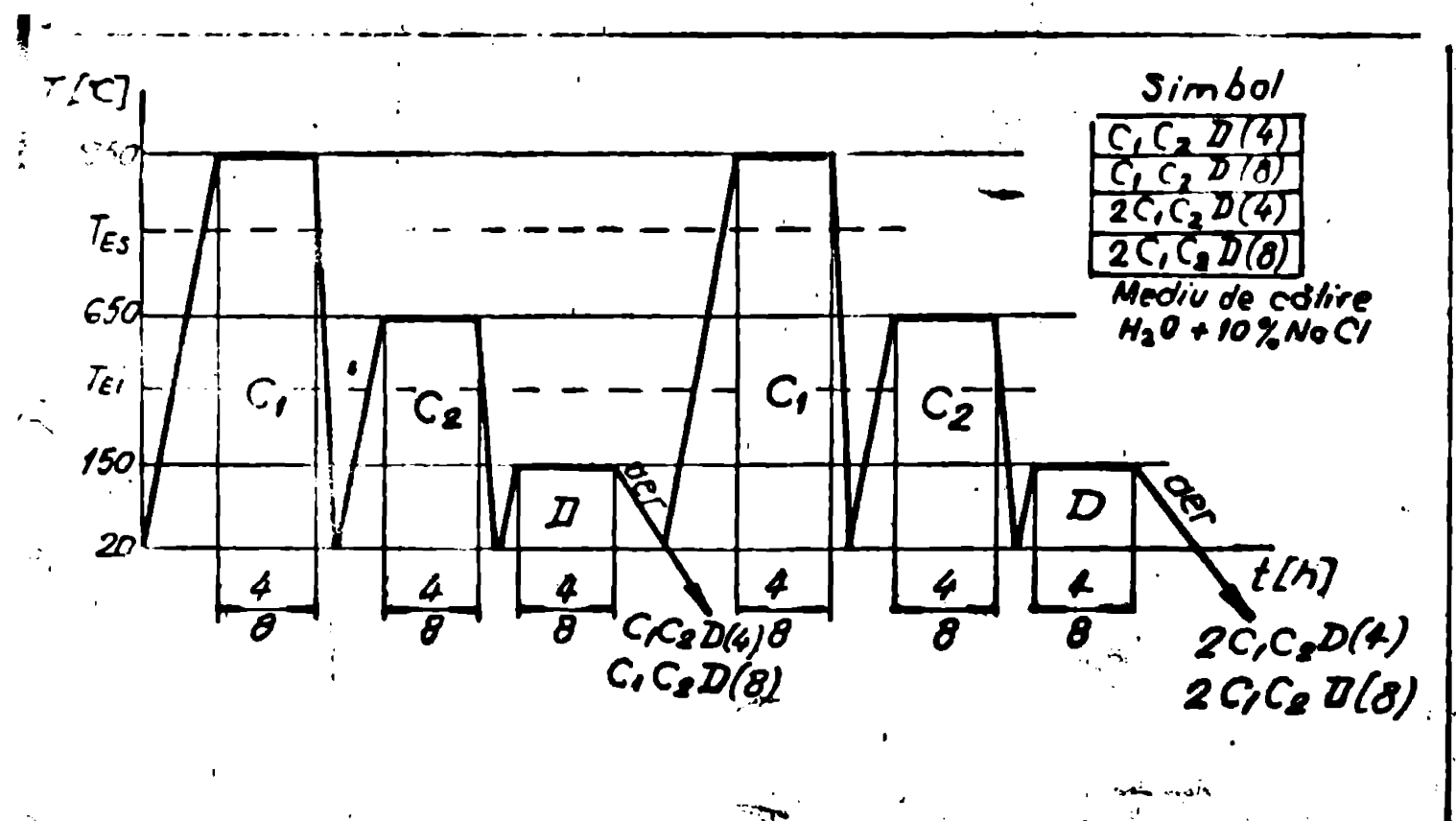


Fig. 3.9. Ciclograma trutamentelor de termociclace $C_1C_2D(4)$
 $2C_1C_2D(4)$ și respectiv $C_1C_2D(8)$ și $2C_1C_2D(8)$ aplicat probelor turante

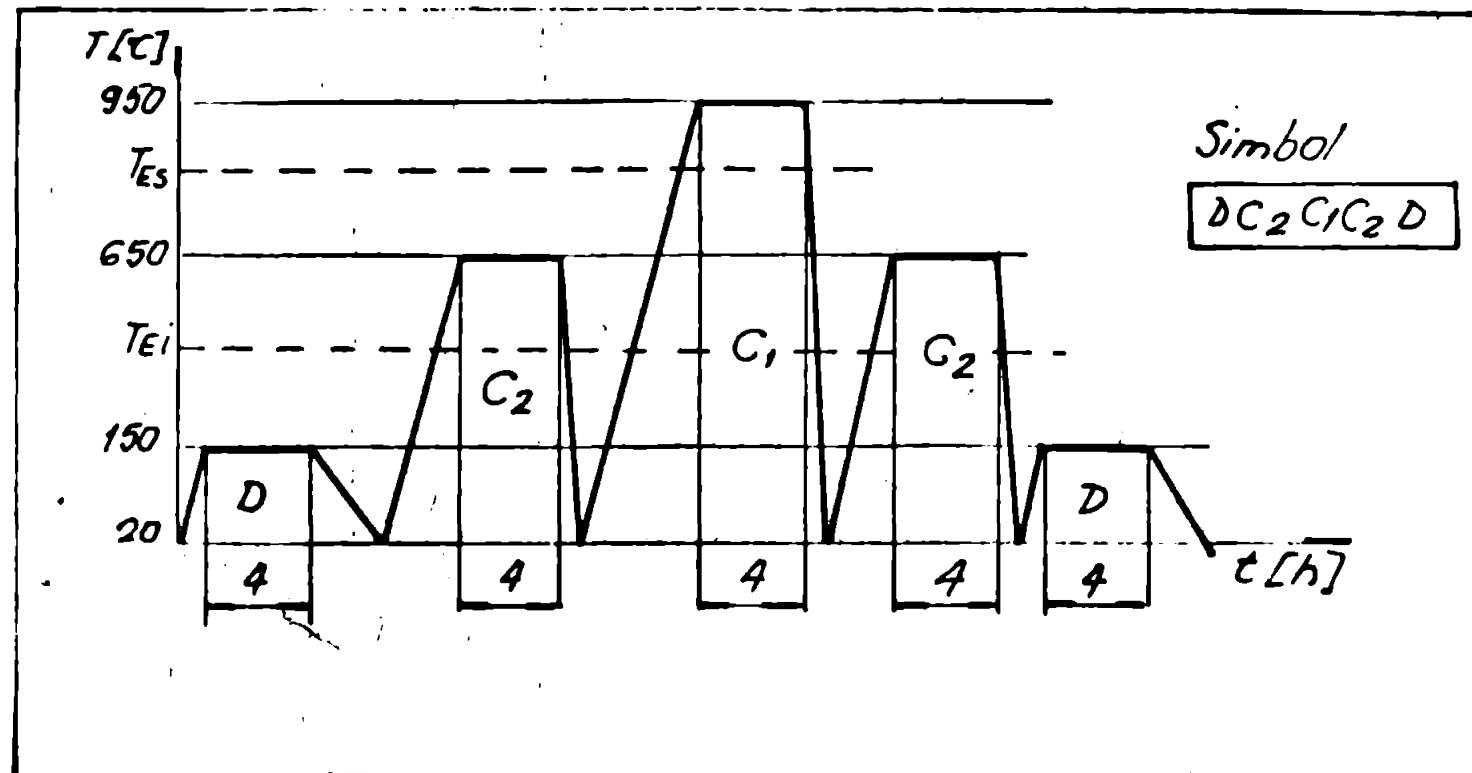


Fig.3.10. Ciclograma termociclodrii $DC_2C_1C_2D$ aplicat probelor turnate

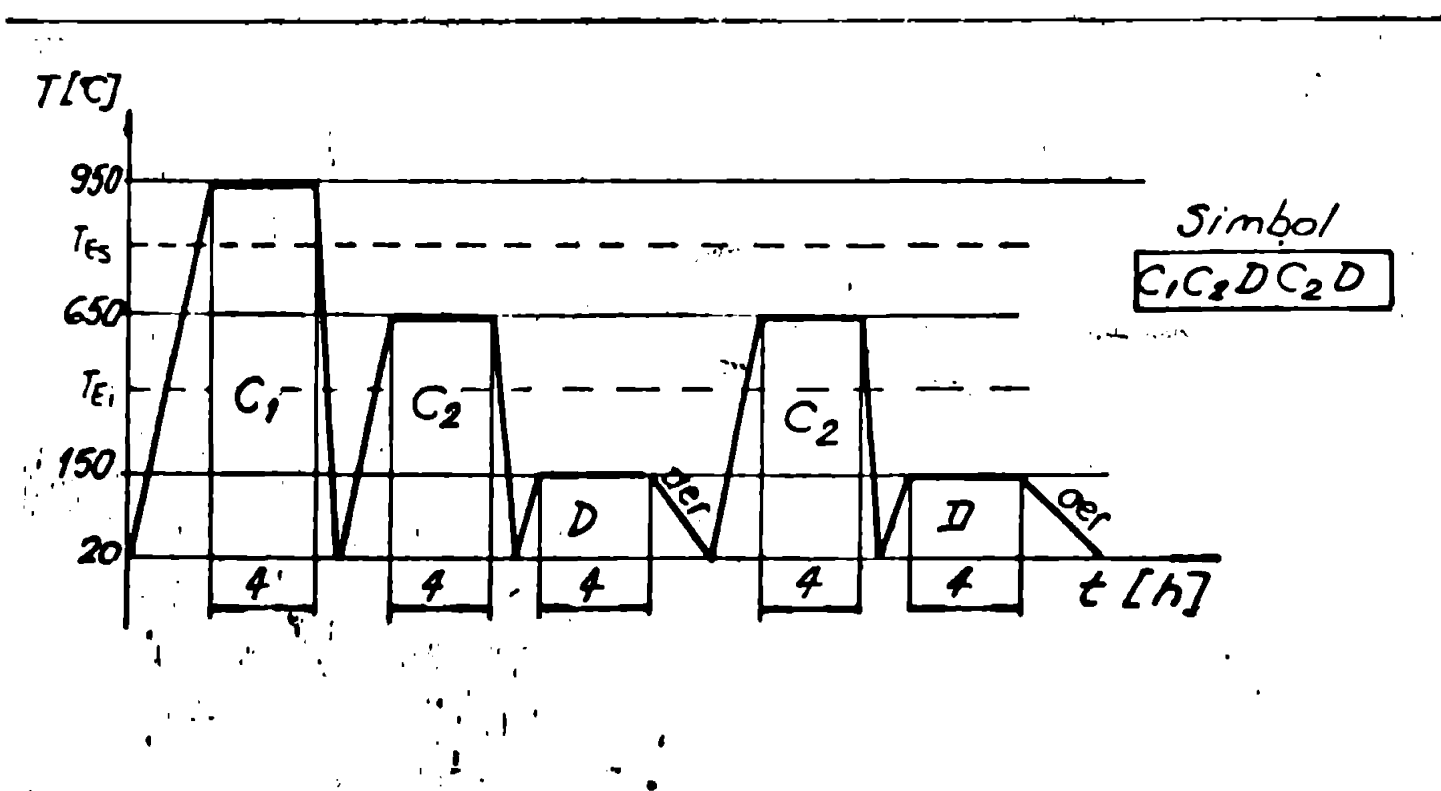


Fig.3.11. Ciclograma variantei $C_1C_2DC_2D$ de termociclare aplicat probelor turnate

CAPITOLUL 4

STUDIUL AFFECTUUII TRATAMENTULUI TERMIC PRIMAR DE RECOACERE PENDULARĂ ASUPRA STRUCTURII SI PROPRIETATILOR MECANICE ALE BRONZULUI CuAl6Fe4Ni4Mn17A

4.1. Efectul recocacerii pendulară asupra structurii bronzului cernetat.

Prin tratamentele termice primare de recocere pendulară s-a urmărit îmbunătățirea caracteristicilor mecanice ale semifabricatelor forjate fără a neglijă însă efectul acestora asupra probelor tinate.

Analiza metalografică a fost efectuată cu ajutorul unui microscop optic metalografic EPITYP-200 și rezultatele importante au fost comunicate /50/.

Variantele I...IV de recocere pendulară (figura 3.8.) au fost aplicate probelor forjate iar variante EpV probelor forjate și celor tinate.

Recocerea pendulară varianta I (fig.3.8.a) are efect de recocere simplă (figura 4.1., planșa IV), se constată doar poliedrizarea soluției solide α , creșterea numărului și mărimea precipitărilor fazei X în soluția solidă α și creșterea ușoară a granulației. Se pare că menținerea la 500°C nu a inițiat transformarea $\beta \rightarrow \alpha + \gamma_2$.

Recocerea pendulară varianta II (fig.3.8.b.) conduce la transformări similare (fig.4.2., planșa IV), mai intense însă datorită temperaturii mai înalte la palierul superior (850°C). Față de varianta I, temperatura de 850°C produce la globulizarea fazei γ_2 în amestecul mecanic eutectoid și separări intense de fază X' în cristalele de soluție solidă α cea ce conduce la formarea unui amestec $\alpha + X'$ denumit generic "eutectoid nou", decarece această temperatură asiguri inițierea transformărilor $\alpha \rightarrow \beta$ și $X' \rightarrow \beta$.

Recocerea pendulară varianta III (figura 3.8.c) se face ca palierul superior deasupra punctelor critice de transformare eutectoidală și ca palierul inferior la effrigățial domeniului transformării eutectoide și conduce la o redistribuire a fazelor dure X și γ_2 în soluția solidă α , la separări de X' și formarea "eutectoidului nou" ($\alpha + X'$) (fig.4.4. planșa IV). Ridarea între palieri, efectuată în 4 ore este suficient de rapidă pentru a favoriza apariția unor zone de "bainită superioară" (fig.4.3. planșa IV). Varianta a III-a de re-

- 35 -



Fig.4.1. Forjat+RpI4;
H.O. x1000



Fig.4.2. Forjat+RpII3
H.O. x1000

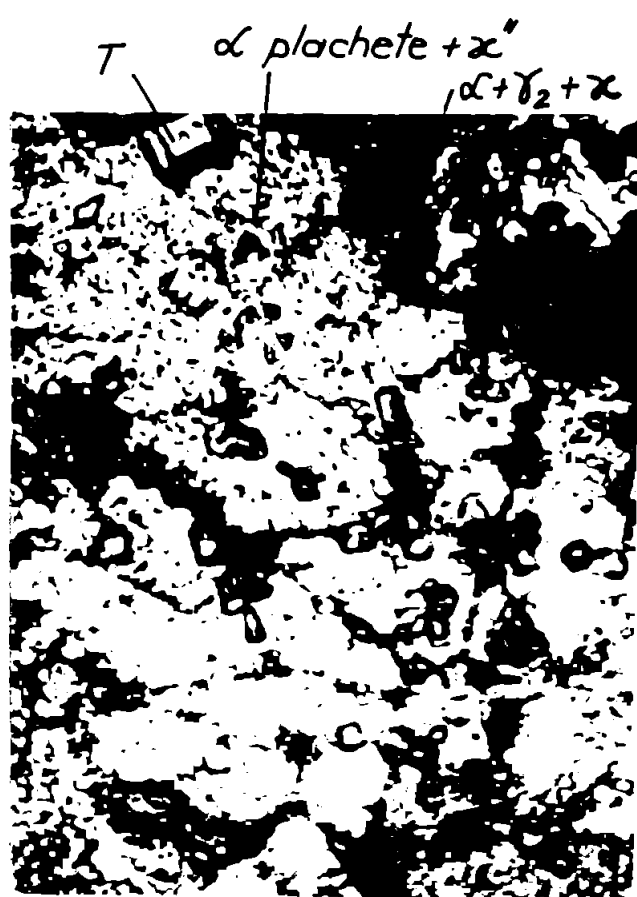


Fig.4.3. Forjat+RpIII2;
H.O. x 1000



Fig.4.4. Forjat+RpIII4;
H.O. x 500

concerne pendulară este de fapt un prim succes prin apariția unei distribuții noi, mai uniforme a fazelor dure χ și γ_2 în soluția solidă α .

Varianta a IV-a de recoacere pendulară (figura 3.8.d) a fost o încercare de scădere a duratei de recoacere prin creșterea vitezei de răcire. Rezultatul a fost o structură fină de tip "bainită aciculară" (figura 4.5.).

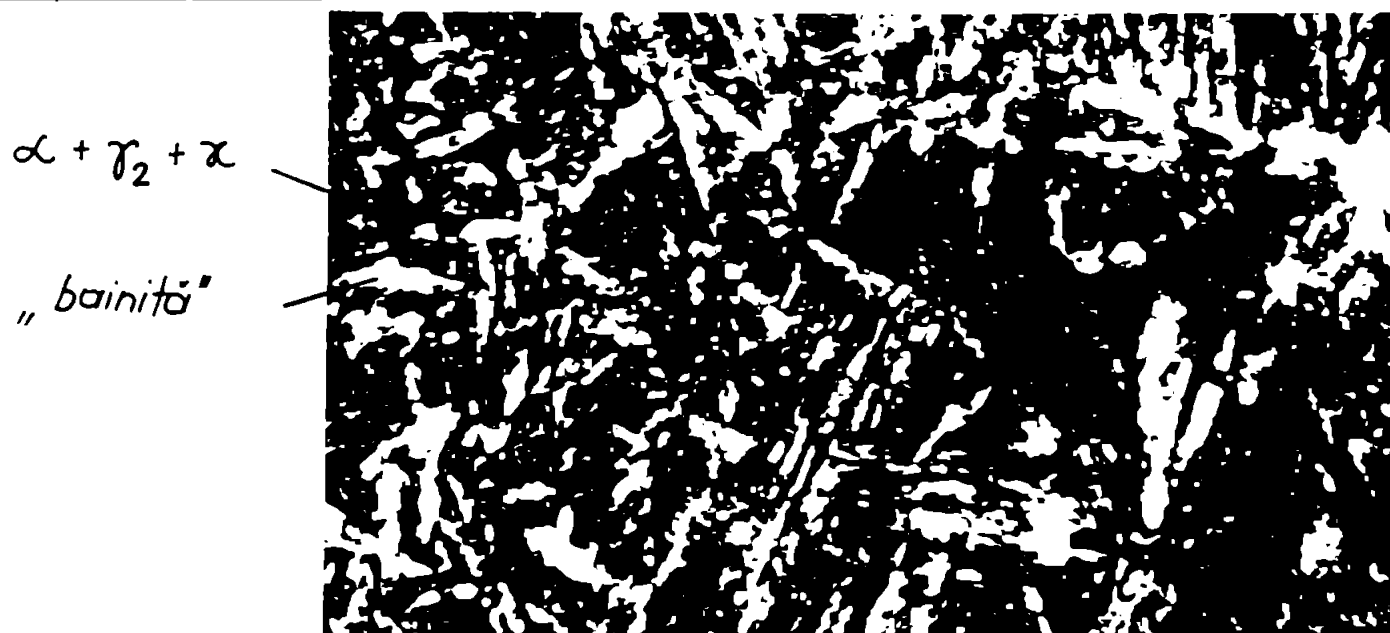


Fig.4.5. Forjat+RpIV2
M.O.x1000

Analizând efectele variantelor I...IV asupra structurii probelor forjate a fost concepută varianta V de recoacere pendulară pentru a obține o structură de echilibru dar și o distribuție nouă a fazelor dure (fig.3.8.e).

Evoluția structurii funcție de numărul de cicluri de recoacere pendulară RpV s-a analizat pe robe forjate și turmate. Microstructurile sunt prezentate comparativ în figurile 4.6....4.14. (planga V).

Efectul variantei V de recoacere pendulară asupra structurii probelor forjate este mare. Deja după un ciclu de recoacere, structura Widmannstätten a dispărut (fig.4.6. planșa V), soluția solidă α s-a poliedrizat, a crescut cantitatea și mărimea precipitărilor χ , iar în amestecul mecanic eutectoid se constată globulizarea fazei γ_2 . Cu numărul de cicluri de recoacere RpV aplicate, se amplifică aceste fenomene, se formează "eutectoidul nou" ($\alpha + \chi$) și pînă la urmă apare o structură omogenă cu fazele dure χ și γ_2 uniform disperse în soluția solidă α (fig.4.12. planșa V), deosebirile dintre "eutectoidul vechi" și "eutectoidul nou" devenind din ce în ce mai mici.

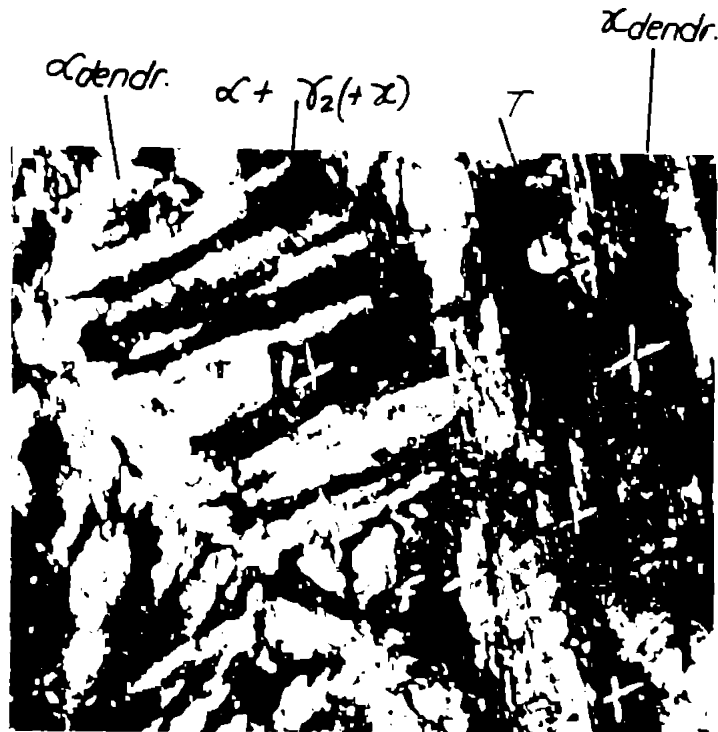
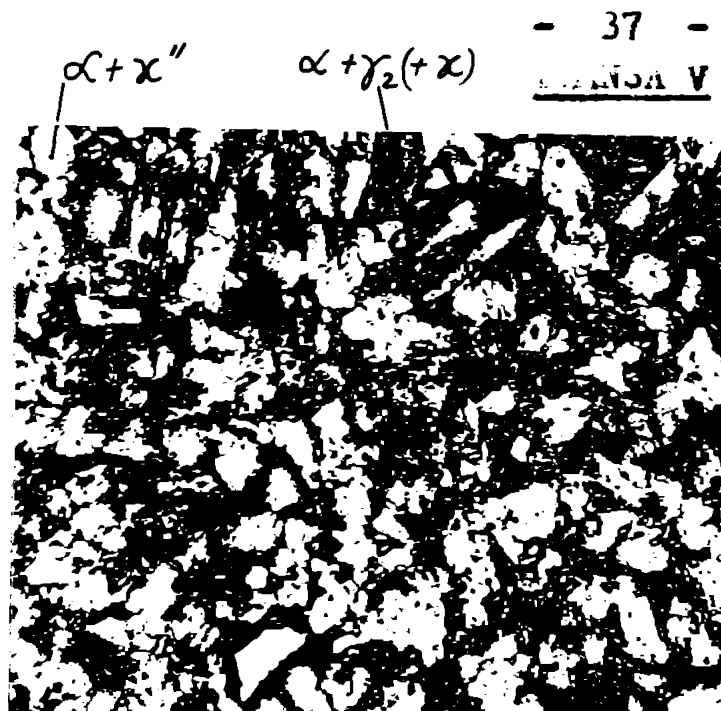


Fig. 4.6. Forjat+RpV1; M.O. x500 Fig. 4.7. Turnat+RpV1; M.O. x500

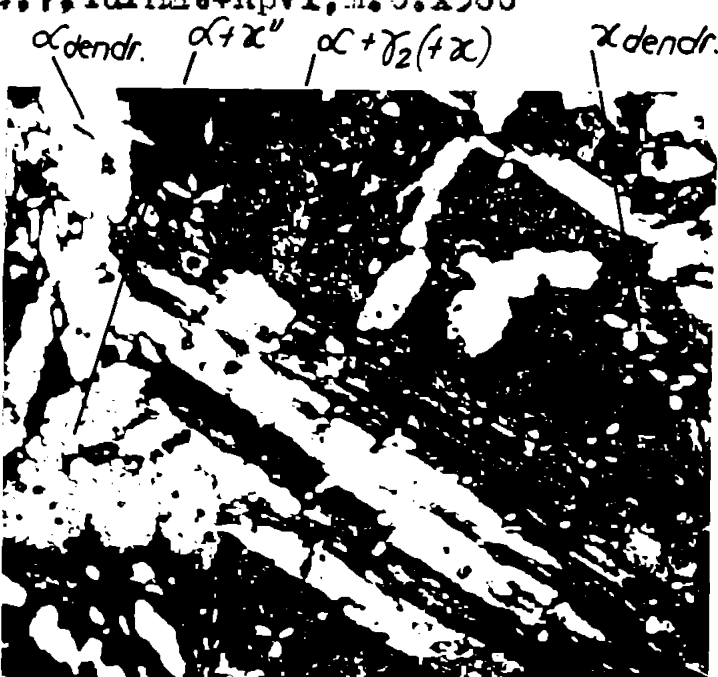
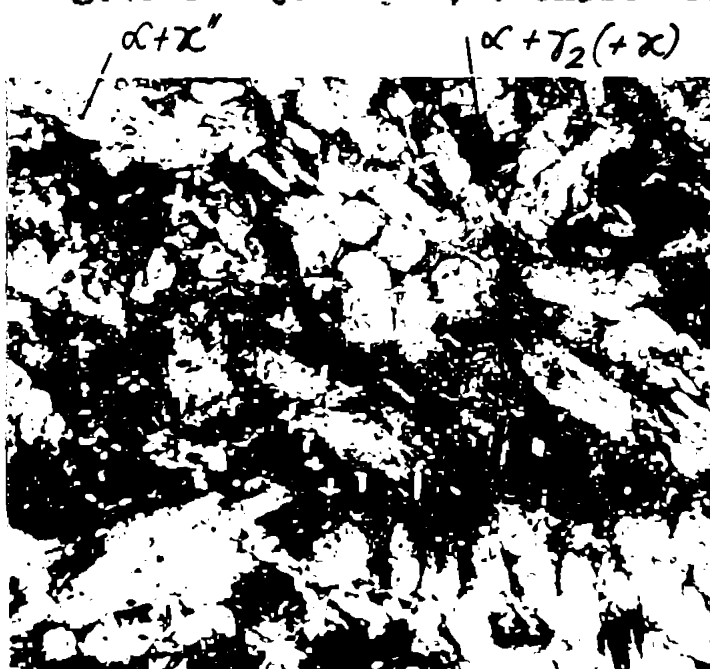


Fig. 4.8. Forjat+RpV2; M.O. x500 Fig. 4.9. Turnat+RpV2; M.O. x500

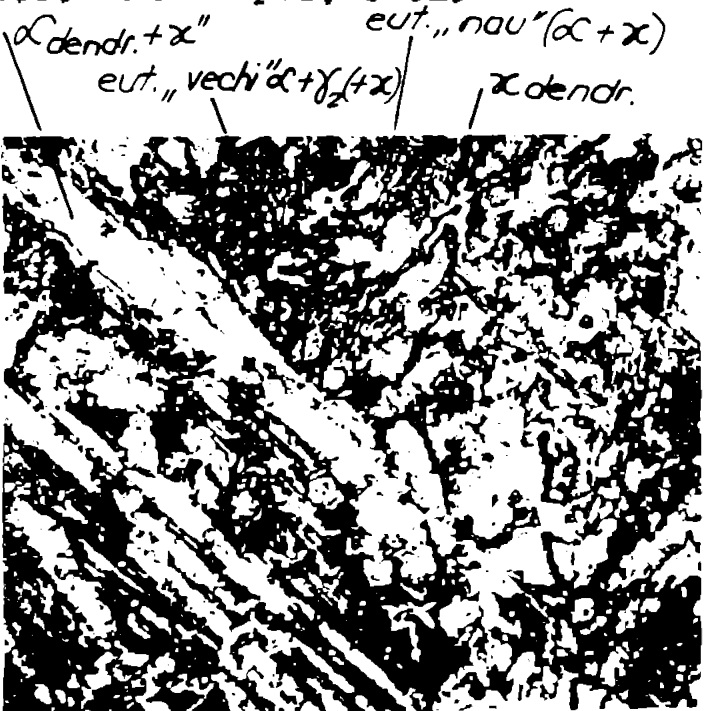
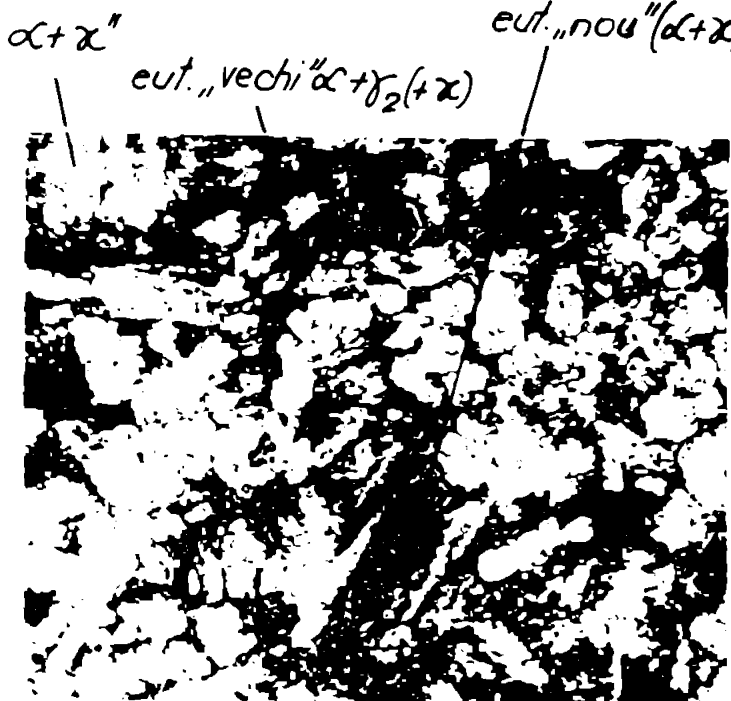


Fig. 4.10. Forjat+RpV3; M.O. x500 Fig. 4.11. Turnat+RpV3; M.O. x500

PLANO A V (CONTINUARE)



Fig.4.12. Forjat + RpV4; H. 0. x500

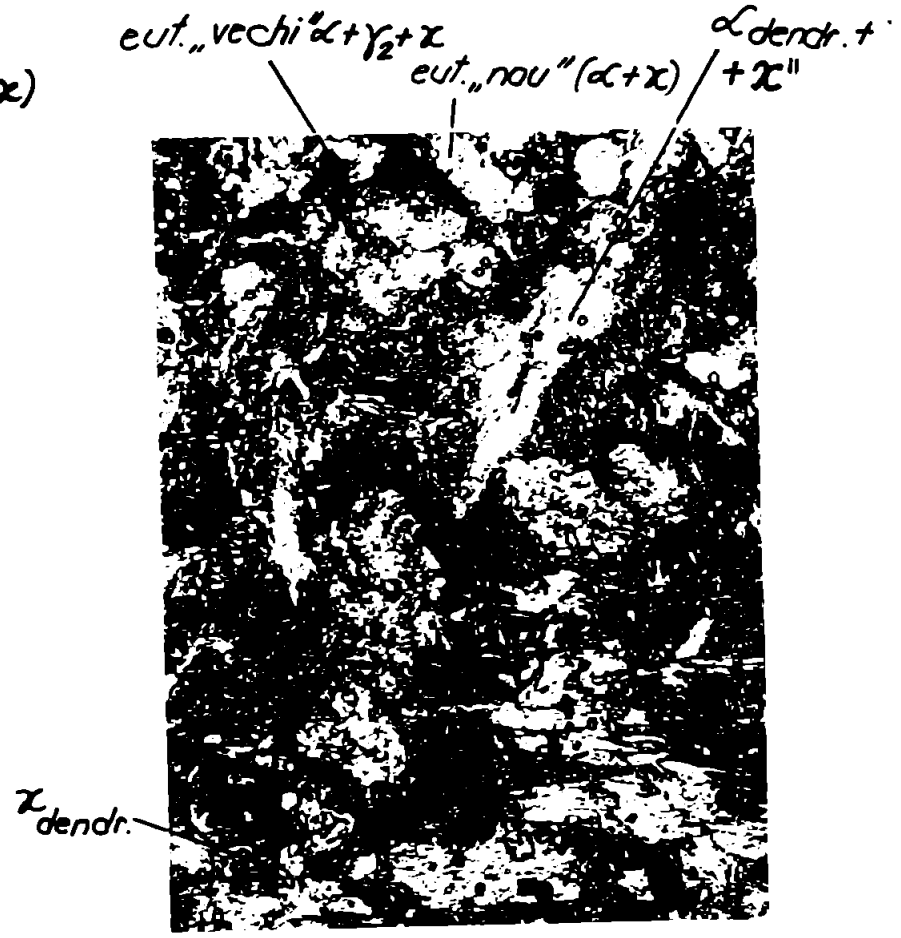


Fig.4.13. Turnat + RpV4; H. 0. x500

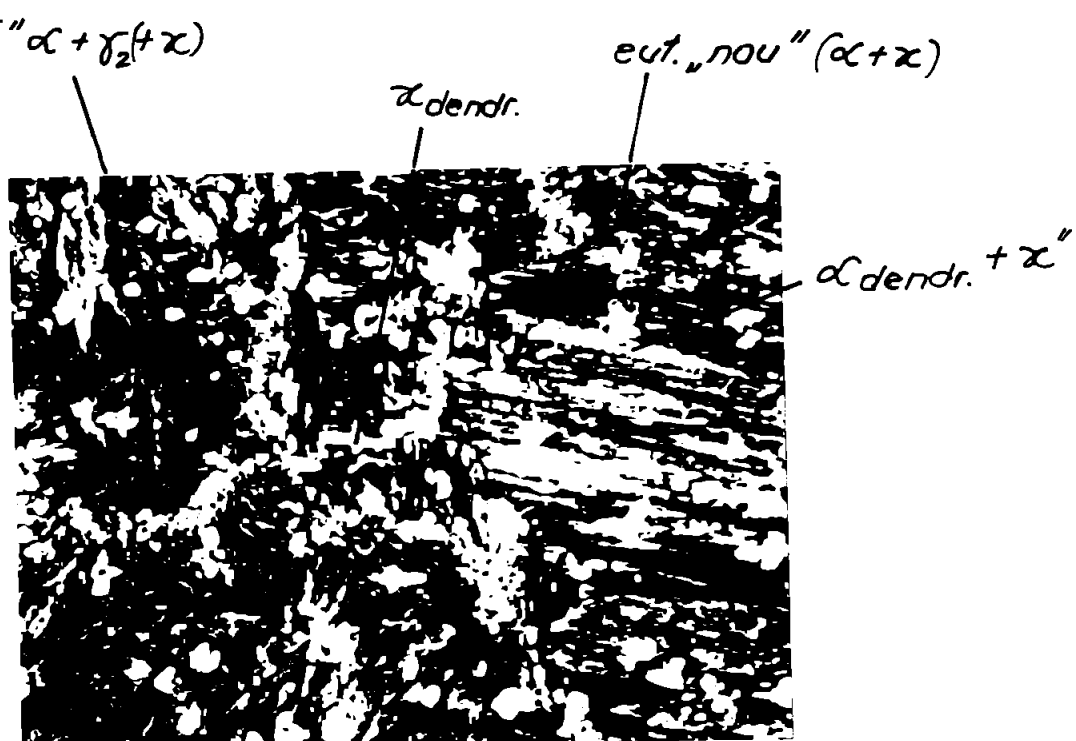


Fig.4.14. Turnat + RpV5; H. 0. x500

Se conchide că varianta RpV de reconcere pendulară conduce la transformări structurale avantajoase pentru probele forjate.

Efectul reconacerii pendulare RpV asupra probelor turnate este mai redus. După aplicarea primului ciclu (fig.4.7. planșa V) numai o parte din soluția solidă α prezintă tendințe de poliedrizare și creșterea conituității și dimensiunilor precipitărilor fazei χ este nesemnificativă. Abia după două cicluri RpV (figura 4.9. planșa V) apar precipitații noi, foarte fine de χ în soluția solidă α . Abia după trei cicluri de reconcere pendulară RpV (fig.4.11. planșa V) se constată fenomene de coalescență ale fazei χ . Această evoluție lentă este explicată prin faptul că temperaturile utilizate nu conduc la dizolvarea dendritelor fazei χ . Cu toate acestea, dacă se aplică un număr mai mare de cicluri de reconcere pendulară (patru sau cinci), se formează "eutectoidul nou", apare o distribuire uniformă a fazelor dure χ și γ_2 în 60...75 % din secțiunea probei (figura 4.13. planșa V). Fenomenele de poliedrizare a soluției solide α se petrec însă foarte lent în dendritele mari și chiar după 5 cicluri RpV se găsesc zone în care acestea nu s-au poliedrat și contin foarte puține precipitații χ (figura 4.14. planșa V).

Se conchide că efectul reconacerii pendulare varianta V asupra probelor turnate este redus, dendritele fazei χ nu suferă modificări în urma acestui tratament termic primar și pe deasupra transformările de poliedrizare și de trecere spre "eutectoidul nou" ale dendritelor mari ale soluției solide α decurg foarte lent și nu sunt decăvăriți niciodată după 5 cicluri RpV. Totuși poliedrizarea soluției solide α și formarea "eutectoidului nou" reprezintă tendințele principale ale transformărilor în material.

4.2. Analiza colorometrică a probelor reconcate pendular

Transformările structurale care au loc în timpul reconacerii pendulare se manifestă și prin modificarea microurității constituenților strucuturali și prin modificarea durității aliajului. Microuritatea a fost măsurată cu ajutorul microdurimetrului MT-3 pe zone "albe" adică soluția solidă α cu puține precipitații și pe zone "negre" adică acestea mecanice eutectoid $\alpha + \gamma_2 (+\chi)$. Nu s-a putut face o distincție clară între eutectoidul "vechi" și "nou" ceea ce justifică diferența mai mare a valorilor experimentale la acest conituent structural.

Duritatea fazei χ a fost măsurată pe probe turnate, pe dendrite suficient de mari. Au fost găsite valori între 723 și 1136 HV_{0,015}.

Resultatele experimentale sunt prezentate în tabelul 4.1. și figurile 4.15. și 4.16. Se precizează că, pe baza experienței acumulate, au fost corectate unele dintre medii exclusind din sirul de valori extremele. Aceste valori sunt subliniate în tabelul 4.1. Pentru amestecul mecanic au fost excluse valorile de peste 400 daN/mm², care pledează pentru faptul că sub stratul superficial se găsește un constituant dur (χ , T).

Variatia microdurității soluției solide χ este redusă (figura 4.15.) atât pentru varianta I cît și V de recocere pendulară. Valorile sunt mai puțin plădează pentru structuri de echilibru. Pentru varianta EpIII se constată însă o creștere puternică a durității și reflectă apariția structurii "beinitice" (figura 4.3, planșa IV).

Variatia microdurității amestecului mecanic este mai mare (fig.4.16.). Ea este cauzată de finisarea amestecului mecanic, de globulizarea fazei γ_2 și de formarea "eutectoidului nou".

Microduritatea probelor recopate pendular după variante I rămâne practic constantă după 2 cicluri și pledează pentru absența unor transformări structurale semnificative. Într-adevăr, analiza metalografică a evidențiat efectul de recocere simplă a acestei variante (fig.4.1, planșa IV).

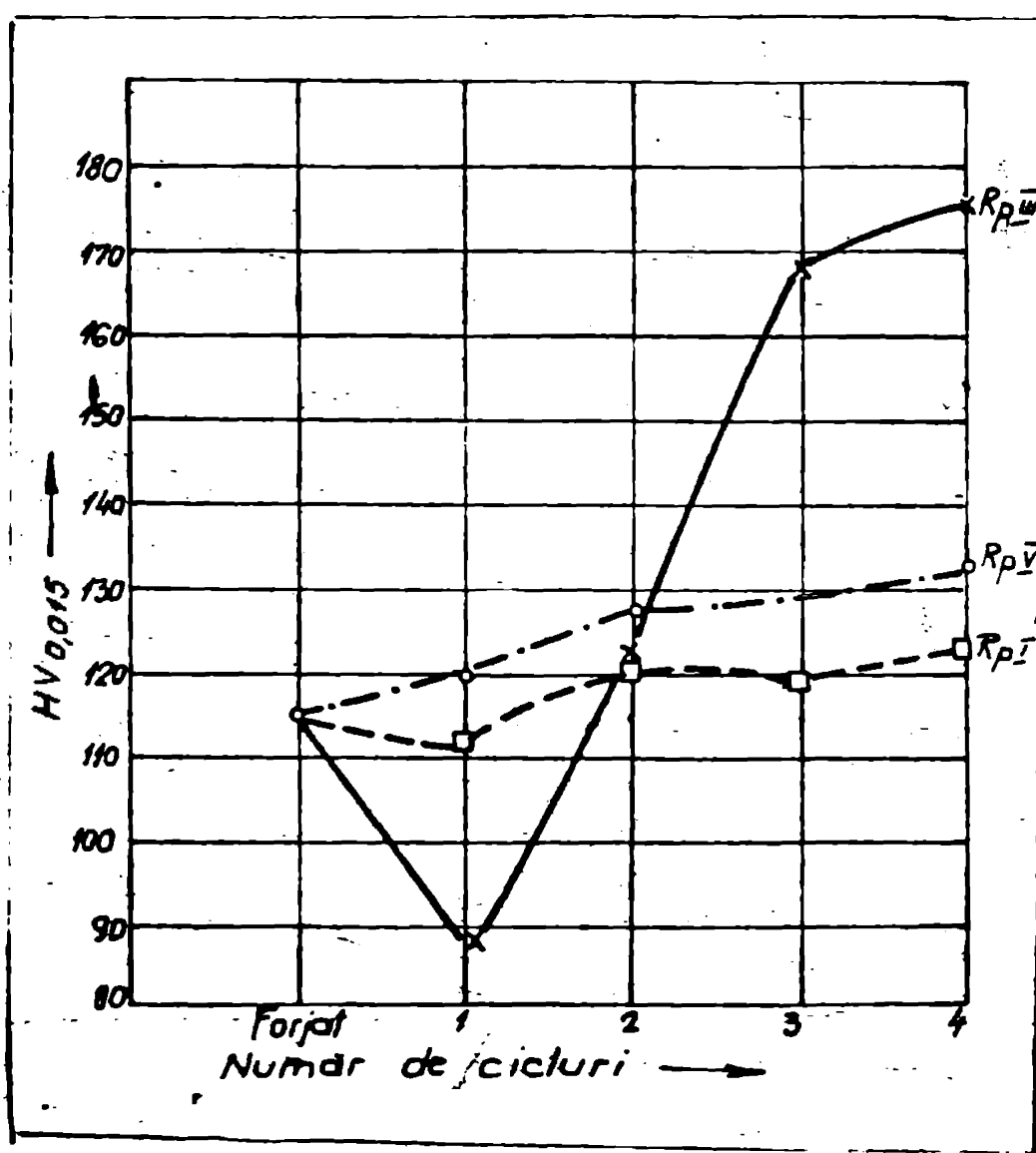


Fig.4.15. Variatia microduritatii solutiei colide
ca functie de numarul de cicluri de
recocere

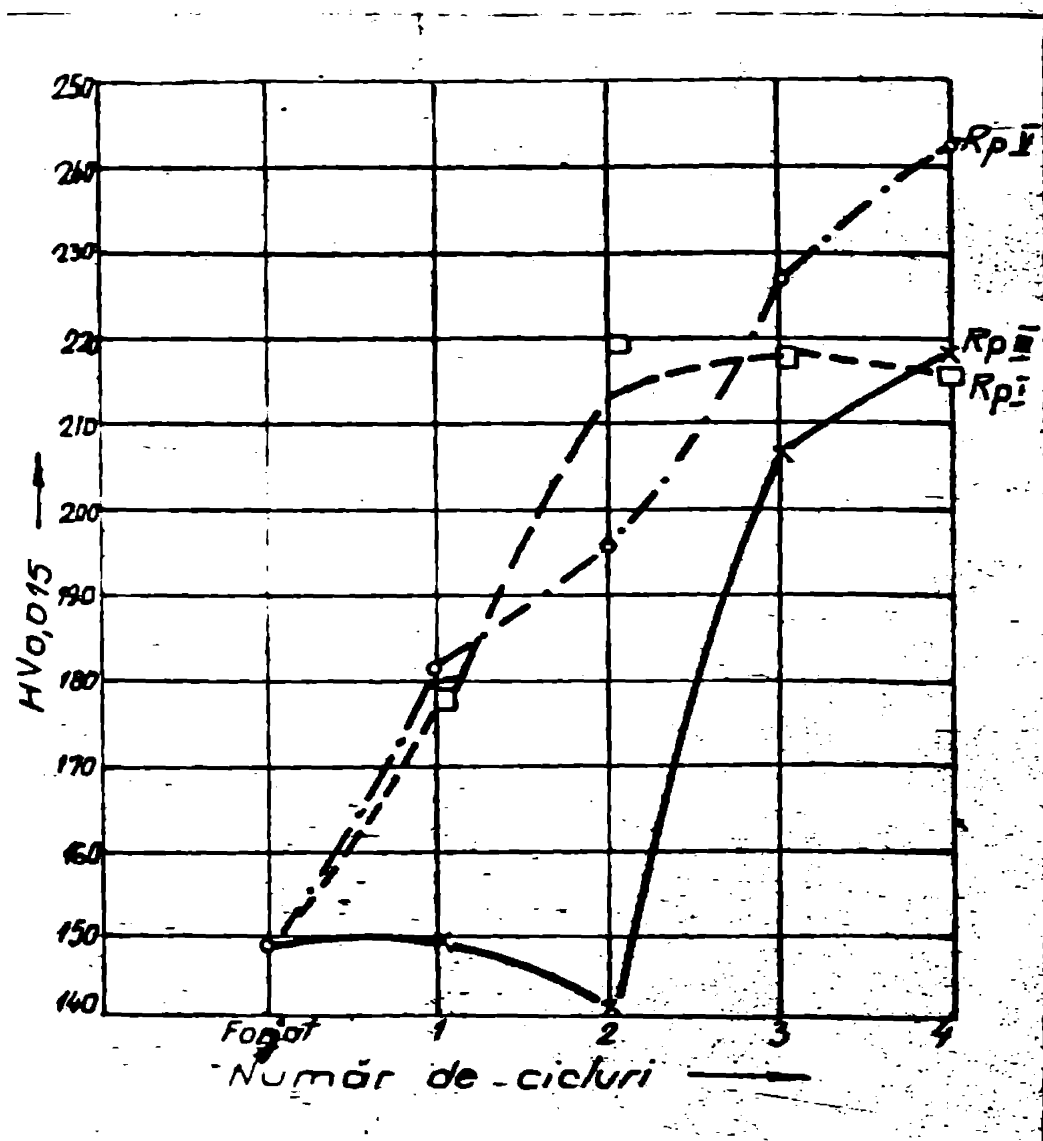


Fig.4.16. Variatia microduritatii amestecului mecanic eutecticid functie de numarul de cicluri de recocere

Tabelul 4.1. microcuritatea componenilor structurii ale proceselor
lorjate și supuse recocitorului pendular

Stare	Constituent structural	Valori experimentale $HV_{0,015}$ [daN/mm ²]	\bar{HV}	\bar{HV}_{cor}
For-jat	alb (α)	88,7; 95,8; 128,8; 113,9 131,2; 131,2	114,93	—
	negră (eutectoid)	276; 141,2; 145,8; 146,2 156,2; 104,2	161,6	147,35
$F+$	alb (α)	90,4; 102,4; 52,2; 87,8; 95,5; 74,3	83,78	87
	negră (eutectoid)	185; 90,6; 171; 134; 153	148,32	—
$Rp_{\text{II}}^{\text{I}}$	alb (α)	119,6; 109,9; 123,8; 124,9 113,9	120,98	—
	negră (eutectoid)	132,2; 136,8; 111,8; 84,4; 91,0 117,2; 107,8; 76; 109,1; 326,9 181,6; 208,2	140,31	—
$F+$	alb (α)	133,8; 213,6; 148,8; 152,7; 242,5; 113,9	167,55	—
	negră (eutectoid)	344; 150,3; 192,7; 179,2; 301,4; 166,8; 181,6; 536; 431,7; 147,2; 182,7;	256,69	206,21
$Rp_{\text{III}}^{\text{I}}$	alb (α)	132,2; 176,8; 208,2; 170,8 202,7; 166,8	176,25	—
	negră (eutectoid)	367,1; 231,6; 166,8; 245; 159,7; 177,1; 344; 188,2; 219,6; 172,3; 142,8; 213,6	218,98	—
$Rp_{\text{II}}^{\text{II}}$	alb (α)	85,7; 133,8; 120,8; 113,9; 113,9; 96,7	110,8	—
	negră (eutectoid)	275; 166,8; 166,8; 136,8 142,8; 171; 184	177,6	—
Rp_{I}^{I}	alb (α)	118,8; 123,8; 136,8; 109,9 113,8; 120,8	120,65	—
	negră (eutectoid)	321,3; 174,7; 190,6; 208,2 166,8; 159,7; 306,5	218,25	—
$Rp_{\text{I}}^{\text{II}}$	alb (α)	118,8; 117,2; 123,8 116,8; 120,8	119,48	—
	negră (eutectoid)	145,8; 233,8; 237,6; 259 259; 166,8	217	—

Taboulul 4.1. Continuare

Stare	Constituent structural	Valori experimentale $HV_{0,015}$ [daN/mm ²]	\bar{HV}	\bar{HV}_{car}
$F +$	$\alpha/b(\alpha)$	113,9; 125,8; 139,8; 109,8; 123,2; 126,8	123,23	—
	negră (eutectoid)	245; 179,8; 219,6; 283,4 148,8	215,32	—
$Rp\bar{\gamma}_4$	$\alpha/b(\alpha)$	127,2; 95; 136,8; 112,7; 102,6; 100,2; 163,2	119,67	—
	negră (eutectoid)	188,8; 255,5; 161,3; 202,7 174,7; 135,2; 145,8	180,57	—
$F +$	$\alpha/b(\alpha)$	132,2; 100,3; 251,6; 133,8; 145,8; 109,9; 141,6	145,028	127,26
	negră (eutectoid)	198,8; 228,8; 202,7; 138,4; 125,6; 231,6; 246,2;	195,07	—
$Rp\bar{\gamma}_2$	$\alpha/b(\alpha)$	122,2; 141,2; 156,8; 95; 136,8; 145,8; 91,8	127,08	—
	negră (eutectoid)	107,7; 217,25; 331,07; 262,9; 136,8; 275; 259	227,21	—
$F +$	$\alpha/b(\alpha)$	213,6; 155,8; 90,13; 113,85; 148,8; 113,85; 142,8; 100,3	134,85	—
	negră (eutectoid)	321,35; 216,56; 139,8; 306,2; 205,8; 337,6; 174,7	243,14	—

Variatia cea mai importantă a microdurității amestecului mecanic este semnalată în varianta RpV de reconcere pendulară ca urmare a distribuției uniforme a fazelor dure χ și γ_2 , a formării "eutecticului nou" (fig. 4.12. planșa V).

Dacă variația microdurității soluției solide α (figura 4.13.) a fost deosebită și corelată cu microstructura în cazul variantei RpIII, în cazul varianteelor I dar și ale II ea nu a putut fi exact urmărită, deoarece s-a găsit doar zone cu multe sau mai puține precipitări χ' care denaturează rezultatul. Prin separarea fazei χ' ar trebui să scăde duritatea soluției solide α . În sprijinul acestei idei vin și rezultatele măsurătorilor de duritate ale aliajului efectuate prin metoda Brinell și Rockwell scara B care sunt prezentate în tabelul 4.2. Se precizează că aceste valori au fost interpretate statistic folosind testul Grubbs și testul Student.

Valorile suspectate a fi erori aberante au fost subliniate.

Să constată că duritatea HB și HRB a bronzului studiat este practic neinfluențată de reconcerea RpV existând doar o mică tendință de înnalțare. Această constantă a valorilor durităților Brinell și Rockwell este rezultatul compensării creșterii microdurității a amestecului mecanic prin înnalțarea soluției solide α .

Să conchidă că rezultatele analizei solarometricice sunt în concordanță cu rezultatele analizei metalografice și că transformările structurale induse prin reconcere pendulară, având efecte contradictorii, nu se evidențiază prin incercări solarometricice decât la nivel de microduritate.

4.3. Influența reconcerii pendulare asupra proprietăților mecanice ale bronzurilor CuAl₆Fe4Mn1Ti

Analiza metalografică a arătat că o dispersie uniformă a fazelor dure χ și γ_2 se obține numai în urma variantei V de reconcere pendulară. De aceea s-a studiat numai influența variantei RpV asupra proprietăților mecanice și chimice.

Proprietățile mecanice au fost determinate prin incercări statice la tracțiune.

Rezultatele incercărilor la tracțiune sunt prezentate în tabelul 4.3. Cu toate că fiecare incercare s-a efectuat numai de 3 ori, rezultatele au fost interpretate statistic. Pentru a putea elimina eventualele erori aberante s-a aplicat testul Grubbs, folosind notațiile și tabelele din literatura de specialitate /22/.

Tabloul 4.2. Duritatea bronzului de aluminiu cu Al_2O_3 și Mg respectiv pendular

Număr de probă	Stare	DURITATE $\text{HB} 5/250/15$ [daN/mm ²]			DURITATE HRB			
		Valeuri experim. ordonate	$\overline{\text{HB}}$	A	V	Valeuri experim. ordonate	$\overline{\text{HRB}}$	A
1	Turnat	204; 225; 229; 237;	-1,734	1,94	P	69,2; 75,5; 76,1	74,72	3,107
	netratat	251 (2)	1,583 (2)			76,4; 76,4		-1,414
2	Turnat	222; 225; 225; 229;	-1,11	1,02	P	72,2; 73; 74	73,74	1,24
	netratat	229; 229; 237 (2)	5,23	1,75 (2)	P	74; 75,5		
3	Turnat	211; 214; 218	219,4	7,5	P	74,1; 74,6; 75	74,76	0,415
	netratat	225; 229		1,119	P	75; 75,1		-1,586
13	Turnat + $R_p V_5$	204; 207; 214; 218	209,4	6,308	1,363	1,61	P	1,61
						70,5; 70,5; 71,1	71,2	0,728
14	Turnat + $R_p V_5$	191; 194; 194; 200; 211	198	7,968	1,631	E	71,9; 72	P
				(1,39)	(1,46)	194,75	72,5; 72,5;	1,687
15	Turnat + $R_p V_5$	182; 185; 185; 188; 191	186,2	3,42	-1,227	1,61	P	1,61
				1,403	P	74,0; 74,1; 74,1	74,2; 74,5	(1,46)

E - se elimină valoarea co eroare obențio

P - se menține valoarea co fiind semnificativă

Stare	Nr. probó	Rm [N/mm ²]	A5 [%]	Z [%]	Observații
Turnot	1	477	2,0	3	
	2	434	1,5	2	
	3	450	1,6	2	
Forjat	1	327 (1)	0,7	1	
	2	345 (2)	1	1	
	3	333	0,8	1	
Turnot + Rp V ₁	1	438	2,2	2 (1)	
	2	401	1,4	1,7	
	3	416	1,7	1,5 (2)	
Forjat + Rp V ₁	1	356	1	1,3	
	2	374	0,8	1	
	3	381	1,3	1,5	
Turnot + Rp V ₂	1	382 (1)	0,7	2	
	2	423 (2)	—	—	Rupt in record
	3	406	1,3	2	
Forjat + Rp V ₂	1	488	1,3	2	
	2	476	1	1,5	
	3	471	1,7	1,6	
Turnot + Rp V ₃	1	444	2,0	2	
	2	412	2,0	2	
	3	440	2,2	3	
Forjat + Rp V ₃	1	502	1,7	2	
	2	536	2,0	1,8	
	3	487	1,8	2	
Turnot + Rp V ₄	1	463	1,7	2	
	2	474	2,0	3	
	3	478	2,1	2,4	
Forjat + Rp V ₄	1	558	2,3	3	
	2	544	2,0	2,8	
	3	571	2,5	3	
Turnot + Rp V ₅	1	461	2,0	3	
	2	418	1,7	2,5	
	3	465	2,3	3	
Forjat + Rp V ₅	1	594	2,7	3	
	2	603	3,0	3,2	
	3	578	2,5	2,7	

Tabelul 4.4. Interpretarea statistică a rezultatelor incertitărilor în tracțiune

Stare	\bar{R}_m	A	$s = \frac{x_i - \bar{x}}{\sqrt{3;095}}$	\bar{x}	A_5	\bar{A}_5	Δ	v	\bar{Z}	A	v	\bar{Z}	A	v	valori corectate
Turnoț	453,66	21,73	1,07	1,15	P	1,7	0,264	1,13	P	2,33	0,577	1,154	E	2,96	$\bar{Z}_{cor} = 2$
Forjot	335	9,165	-0,871(1) 1,09(2)	1,15	P	0,83	0,152	1,09	P	1	—	—	—	—	Decizie $\bar{Z}_{cor} = 2$
Turnoț + $R_p v_1$	418,33	18,61	-0,93	1,15	P	1,76	0,404	-0,907	P	1,73	0,251	1,059	P	1,927	$\bar{Z}_{cor} = 2$
Forjot + $R_p v_1$	370,33	12,89	-1,11	1,15	P	1,033	0,251	1,059	P	1,266	0,251	-1,059	P	1,927	$\bar{Z}_{cor} = 2$
Turnoț + $R_p v_2$	403,66	20,59	-1,05 0,93(2)	1,15	P	1	—	—	2	—	—	—	—	—	Decizie $\bar{Z}_{cor} = 2$
Forjot + $R_p v_2$	478,33	8,736	1,106	1,15	P	1,33	0,351	1,044	P	1,7	0,264	1,133	P	1,927	$\bar{Z}_{cor} = 2$
Turnoț + $R_p v_3$	432	17,43	-1,147	1,15	P	2,006	0,115	1,154	E	2,33	0,577	1,154	E	2,96	$\bar{Z}_{cor} = 2$
Forjot + $R_p v_3$	508,33	25,106	1,10	1,15	P	1,833	0,152	1,09	P	1,933	0,115	-1,154	E	2,96	$\bar{Z}_{cor} = 2$
Turnoț + $R_p v_4$	471	7,76	-1,115	1,15	P	1,933	0,208	-1,12	P	2,466	0,503	1,059	P	1,927	$\bar{Z}_{cor} = 2$
Forjot + $R_p v_4$	557,66	13,5	-1,012	1,15	P	2,266	0,251	-1,059	P	2,933	0,115	1,154	E	2,96	$\bar{Z}_{cor} = 3$
Turnoț + $R_p v_5$	448	26,05	-1,151	1,15	E	2	0,3	-1	P	2,83	0,288	-1,154	E	2,96	$\bar{Z}_{cor} = 3$
Forjot + $R_p v_5$	591,66	12,66	-1,079	1,15	P	2,73	0,251	1,059	P	2,96	0,251	-1,059	P	1,927	$\bar{Z}_{cor} = 3$

E - se elimină valoarea suspectată ca eroare obiectivă
 P - se păstrează valoarea ca fiind semnificativă

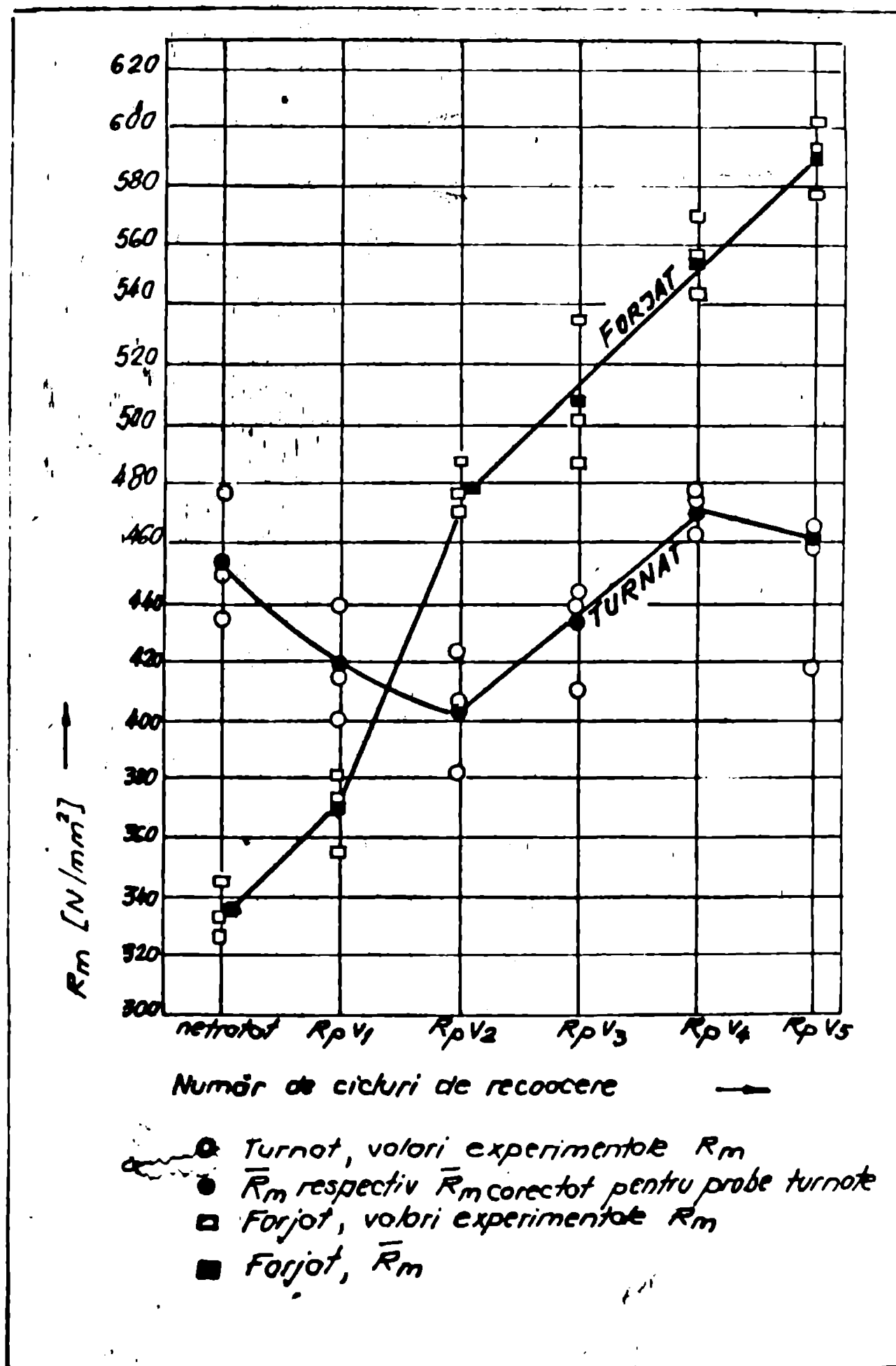


Fig. 4.17. Variatia rezistenței la supere a bronzului CuAl6Pc4Ni4 înălții cu numărul de cicluri de recocere ponduralui $R_p V$ aplicante

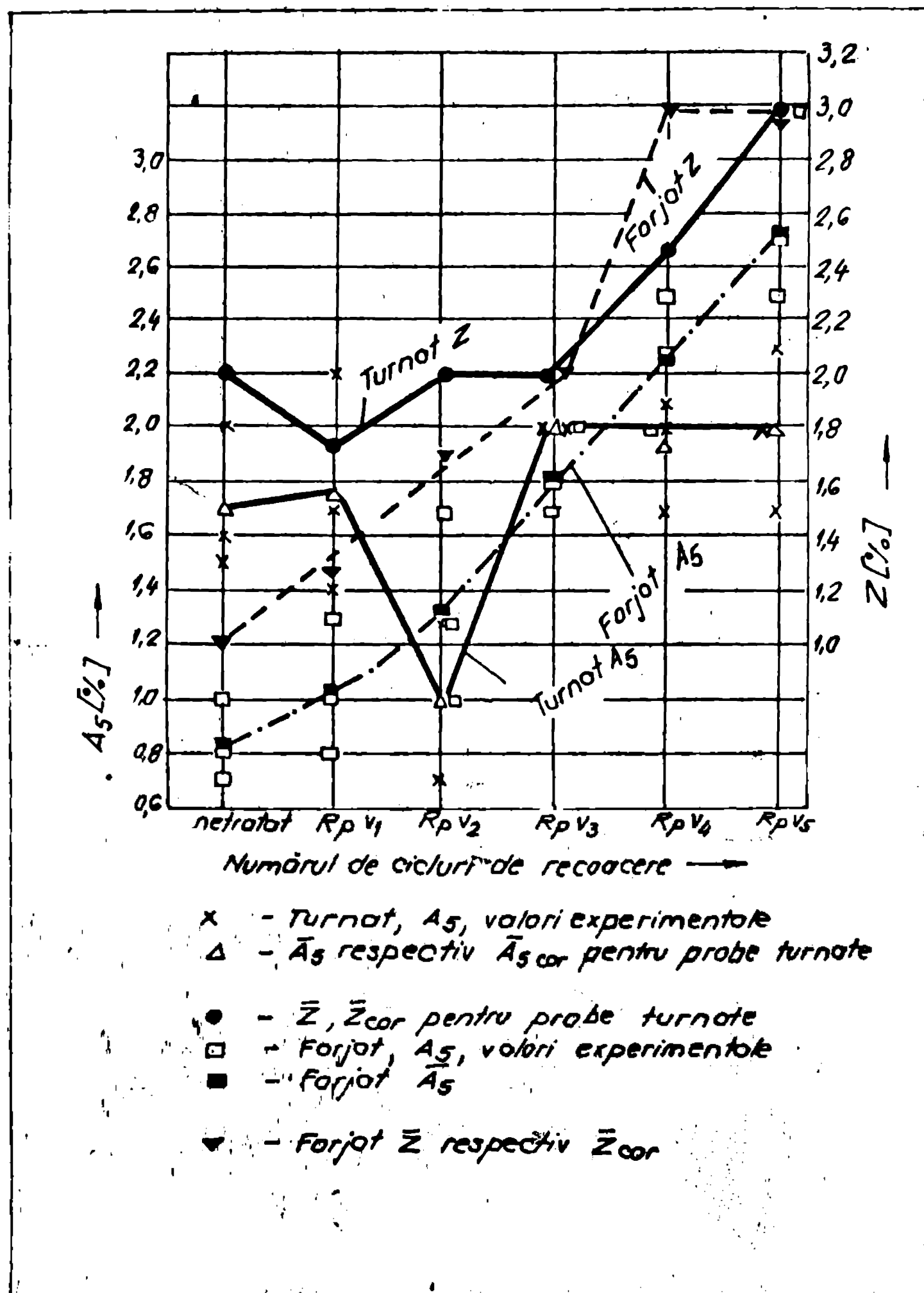


Fig.4.26. Variatia caracteristicilor de plasticitate ale bronzului CuAlloFe4Ni14MnTi cu numarul de cicluri de recocere pendulare RpV aplicate

Valorile suspectate a fi aberante sunt subliniate in tabelul 4.3., iar mărimile calculate sunt trecute in tabelul 4.4. (In general, valorile care au fost considerate erori grossiere au fost obtinute pe probe rupte in afara reperelor cu care au avut inclusiuni sau porositati macroscopice.).

Grafic, variația caracteristicilor de tractiune au fost prezentate in figurile 4.17. (Rm) și 4.18.(A5 și Z).

Variata rezistenței la rupere a probelor forjate cu numărul de cicluri de recoacere RpV de la 335 la 591,66 N/mm², adică cu 76,6 % este remarcabilă și confirmă eficiența acestei recoaceri pendulare, oportunitatea acestui tratament termic care conduce la valori ale rezistenței la rupere mai ridicate cu cca 30% in comparație cu starea turnată. Creșterea continuă a rezistenței la rupere (figura 4.17.) este cuplată cu pierderea treptată a fragilității (figura 4.18.). Creșterea proprietăților plastice, sub aspect valoare, nu este însemnată (A5 crește de la 0,83 la 2,73%); dar sub aspect relativ este însemnată. Aceste creșteri se explică prin faptul că structura Widmannstätten a probelor forjate (figura 2.2.) dispare deja după primul ciclu de recoacere RpV (figura 4.6. planșa V) lăsând loc unei structuri cu soluție solidă poliedrizată în care apar separări de fază χ și cu un eutectoid în curs de globulizare. Deschiderea acestor procese, apariția și dezvoltarea separărilor de χ sub formă de "eutectoid nou", în final, dispersia uniformă a fazelor dure χ și γ_2 în structură (figura 4.12. planșa V) permit materialului o comportare mai puțin fragilă cu toate proprietățile treptat ameliorate cu creșterea numărului de cicluri aplicate.

Afluința recoacerii pendulare RpV asupra caracteristicilor de tractiune este marcată de faptul că dendritele fazei χ nu sunt afectate de acest tratament termic. Contraș comportării probelor forjate, rezistența la rupere trece printr-un minim la două cicluri RpV (figura 4.17.). Înăderea rezistenței la rupere este cuplată cu un minim al valorilor alungirilor la rupere (fig.4.18.). Explicația comportării total diferite poarte de la faptul că dendritele fazei χ nu sunt afectate de recoacerea pendulară (figura 4.11.; 4.14.; planșa V) ceea ce nu permite creșterea semnificativă a rezistenței la rupere. Apoi spre deosebire de starea forjată unde faza χ este parțial disolvată, parțial sărăcinită, separarea fazei χ va decurge lant și atât după două cicluri RpV va apărea în cantitate mare dar de dimensiuni foarte mici (figura 4.9. planșa V), blocând deplasarea dislocațiilor. După trei cicluri RpV începe coalescența

precipitărilor χ' (figura 4.11, planșa V) și proprietățile mecanice revin la valori similare stării netratate. Creșterea în continuare a proprietăților mecanice este mică deoarece sînt afectate în mare măsură, de prezența dendritelor fazei χ și doar în mică măsură de transformările din matrice.

4.4. Concluzii

Analiza metalografică a demonstrat că variantele de recoacere pendulară ($RpI \dots RpV$) provoacă transformări structurale importante în material, care pot fi influențate prin modificarea temperaturilor de menținere și a vitezei de rulare. Varianta RpV conduce la cele mai avanțăjoste transformări structurale: o redistribuire uniformă ca fazelor dure χ și γ_2 în soluția solidă α .

Încercările mecanice au reliefat că transformările structurele induse prin recoacerea RpV au ca urmare o creștere cu cca 76 % ale rezistenței la rupere ale probelor forjate la cca $590 N/mm^2$ și totodată ameliorarea proprietăților plasticice.

Cu toate că transformările din matricea probelor turnate sunt esențiale, aplicarea variantei V de recoacere pendulară nu contribuie la creșterea semnificativă a proprietăților mecanice și nici la pregătirea structurii pentru tratamentul termic final, deoarece dendritelile fazei χ nu sînt afectate de acest tratament termic.

Se conclude că pentru usul industrial se recomandă aplicarea recoacerii RpV pieselor și semifabricatelor forjate, deoarece acest tratament termic primar va asigura creșterea însemnată a caracteristicilor de rezistență, ameliorarea caracteristicilor de plasticitate și pregătirea structurii pentru tratamentul termic final.

Resultatele positive obținute își potențiază însemnatatea dacă se ține cont de absența datelor bibliografice privind tratamentele termice primare aplicate bronsurilor de aluminiu complex aliate.

CAPITOLUL 5

STUDIUL FAZENI T

In structura probelor turnate si forjate s-a glisat in unele zone un constituent de formă geometrică regulată si anume paramide cu băsi hexagonale, pătrată, trapezoidală, dreptunghiulară, rombică etc. S-a considerat util si interesant cunoașterea naturii acestuia. De la bun început, s-a apreciat că noul constituent structural, nesemnalat in literatura de specialitate este o fază pe băsi de titan, deoarece in compoziția chimică a bronzului studiat apare o cantitate relativ mare de titan (0,6%).

Titanul prezintă o solubilitate neglijabilă in celelalte elemente de aliiere /2/, din contră, formează compuși intermetalici în general foarte fragili. In /40/ se semnalează posibilitatea apariției fazei Ni_2TiAl , care cristalizează în rețecun CFC și care este fragilă ca și fazele Laves și faza γ din aliajele Fe-Cr. O fază mai convenabilă este Ni_3TiAl , similară fazei γ_{Ni} și deci tenace. Pernind de la aceste considerante au fost efectuate analize metalografice pe microscopul optic metalografic EPITYP-200 și cu ajutorul microscopului electronic cu balieaj și microonde cu raze X JEOL CX 50 A.

Informații utile au fost obținute din microfractografiile efectuate cu ajutorul microscopelor electronice prin transmisie și cu balieaj. Analiza calitativă cu raze X s-a realizat cu ajutorul aparatului KUB-M-61, înregistrator VAD și goniometru orizontal KGZ folosind următorul regim de lucru:

- radiatie $Cu_K\alpha_1$, $\lambda = 1,5405 \text{ \AA}$
- filtru de Ni
- regim: 17 m A la 35 kV
- montaj: Bragg - Brentano

Microstructura tipică a acestui constituent structural este prezentată în figurile 5.1. și 5.2.

Vâsperala acestui constituent este foarte variabilă, în general apare în grupuri (figura 5.2.). În multe cozuri s-a observat că acest constituent structural este mai mare în probele forjate, fără să se poată trage concluzia certă că forjarea contribuie la creșterea acestui constituent. Din contră, se crează impresia că prin forjare se stirbează uneori muchiile acestui constituent, iar prin recocere (pendulară) defectele se repară. Dite fiind și aci

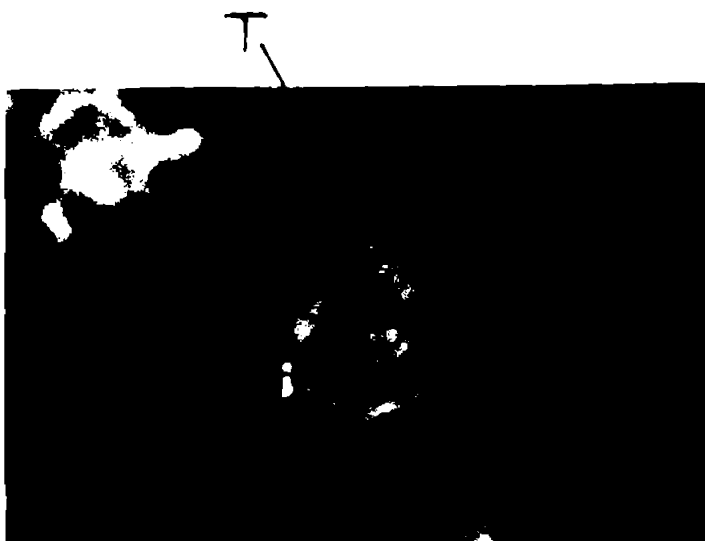


Fig.5.1. Probă turnată, Faza T.M.O. x 1000



Fig.5.2. Forjat + RPI4, M.O. x 1000

excepții nu s-a putut trage o concluzie definitivă. Ponderea în structură a acestui constituent este mică, de la practic zero la 4 %.

În microscopul electronic cu baleinaj și microsonda cu raze X s-a făcut în primul rînd o analiză calitativă a acestui constituent pe o probă turnată și pe o probă forjată, supusă recoacerii pendulară RpV2 (figura 5.3. și 5.4.)

Noul constituent structural conține deci Ni; Si; S; Mo; P; Al; Cu; Ni; Fe; Mn; Cr; V. Apoi s-a efectuată analiza cantitativă a compoziției chimice a constituentului structural pe o probă turnată, pe 4 probe forjate și supuse respectiv recoacerilor RpV1,

ELEMENT LIF/CPS			
ELEMENT	RAPOCPS	ELEMENT	PETOCPS
** ()	1014	LA(57)	1094
Y(39)	781	TI(22)	26597
Fr(38)	534	BA(56)	1403
** ()	454	CS(55)	630
S(14)	5423	I(53)	420
Re(37)	355	TE(521)	350
** ()	201	CA(20)	276
A(13)	1389	SB(51)	261
B(35)	200	SN(50)	185
** ()	1	K(19)	164
Se(34)	81	IN(49)	155
AgH33	164	UH92	110
Mg(12)	59	CD(48)	99
** ()	30	TH(90)	87
Mg(11)	26	AG(47)	84
** ()	27	PD(46)	61
** ()	27	RH(45)	54
** ()	21	CLC(17)	47
** ()	21	CLC(17)	47
** ()	25	BI(83)	33
** ()	22	PB(82)	30
** ()	22	Sc(16)	39
** ()	23	MO(42)	105
** ()	22	PB(82)	30
** ()	25	HG(80)	24
** ()	17	NB(41)	21
** ()	17	AlH79	24
** ()	20	ZRH40	14
VH23)	27	PH15)	39

Fig.5.3. Probe turnate. Analiza calitativă a compoziției fazei T

RpV2, RpV3 și RpV4 precum și pe 4 probe turnate și supuse recocerilor pendulare RpV1...RpV4, pentru a urmări influența forjării, respectiv a tratamentului termic asupra compoziției chimice a acestui constituent. Rezultatele obținute s-au caracterizat prin dispersie mică astfel încât s-a concluzionat că forjarea și tratamentele termice nu influențează semnificativ compoziția chimică a noului constituent structural. De aceea din multimea de listinguri au fost spicuite numai cîteva reprezentative, redate în figurile 5.3.(determinarea conținutului în M, Mn, Fe, Ni, Al și și) și 5.6.(determinarea conținutului în M, Mn, Fe, Ni, Al și și)

HIGH SPEED QUALITATIVE

CRYSTAL CH(1F RAPN•NO STEW•111)

CH(1F PET•..0 LIFAN•1);1

SPECTROMETER POSIN CH ((1&2);199600 199500
SPECTROMETER POSIN CH ((1&2);100000 1160000

MARCAJ PROBA:2

ELEMENT LIF/CPS

ELEMENT	RAPOCPS	ELEMENT	PETOCPS	A
* ()	758	LAH57)	859	U(791
YH391	591	TH221	52489	FTH78)
BR(381	399	BA(56)	1074	G(31)
* H)	381	CS(55)	603	OS(76)
SH(14)	6997	I(531	354	FE(75)ZN
RB(37)	279	TE(521	275	ZN(30)RE
* H)	174	CA(201	230	W(74I
A(13)	675	SB(511	229	Fe(721
IR(35)	150	SN(501	187	N(28)
* (1	110	K(191	149	1084
SH341	73	IN(491	126	137
As(331	191	UH921	84	133
MG(121	47	CD(48)	74	137
* H)	32	THH901	59	85
MA(11)	30	AG(47)	64	171
* ()	20	PD(46)	45	171
* ()	24	RH(45)	45	137
* ()	23	CL(17)	41	137
* ()	23	BI(831	32	20150
* ()	24	PB(821	26	82
* ()	21	S(16)	42	216
* ()	21	MO(421	210	69
* ()	21	HG(801	21	148
* ()	23	ND(411	21	46
* ()	19	AUH79)	23	73*
ZRM40)	29			
PR(15)	21			
	19			
	44			

Fig.5.4. Probă forjată + RdV2. Analiza calitativă a compoziției fazei T

narea conținutului în Mo).

Valeurile astfel obținute sunt supuse unei corecții, pentru aceasta s-a folosit programele și sistemul de calcul anexat microondei electronice. O secvență din listingul cu valorile corectate este prezentată în figura 5.7.

Rezultatele astfel obținute sunt sintetic prezentate în tabelul 5.1. Se precizează că valoarea extremă de 0,36 % pentru molibden este singură, celelalte valori se grupează strîns în jurul valorii de 0,08 %. De asemenea se precizează că suma conținutului în cele 7 elemente stipulate în tabelul 5.1. (și figura 5.7.) nu este 100% ci în jur de 89,5...94,7 %. Restul este format în

UNK ANALYSIS 1 Probă folosită + RP \bar{Y} 3

F.C.:Y 9010 (PN CURRI
UNK POSITION ?;Y

QUANTY STD
NO. OF ELEMENTS 10
MEAS TIME 1P:150
1P:1EF
NO. OF MEAS 10,1,
1D,1
PRESENT POSITION
OK 10,8937P
OK 20,111136P
OK 30,1P

SEC EL CH POSI. *MBC F.C/STD PEAK P.C/TP [PPM] UNK ANALYSIS 3
1 AL 12 191120 14 INFRAR 1Y 1Y 191190 6998 18190
2 IR 12 146150 14 INFRAR 1Y 1Y 146270 9618 25483
3 1A4P 12 134620 14 INFRAP 1Y 1Y 134690 9638 28275
4 IR 12 115280 14 INFRAR 1Y 1Y 115340 6998 23105
5 1AL 11 189390 14 INFRAR 1Y 1Y 189400 9610 166228
6 1E1 11 176190 14 INFRAP 1Y 1Y 176430 8998 92861
UNK MBC NO. OF UNK POINTS 100
MEAS TIME 1P:150
1P:1EF
NO. OF MBCS 10,1

UNK ANALYSIS 3

F.C.:Y 9010 (PN CURRI Probă folosită + RP \bar{Y} 3
UNK POSITION ?;Y

EL E IPHSTD) IPIUNIKI STD.C K-VAL
1 18190 4701.040 1N000 25.84010
2 25483 114N8600 0N987 0N444910
3 28275 13582N10 1.000 48.03620
4 25105 434N7040 1.000 1.731530
5 106228 576N3430 1N000 0N542554
6 92861 3608N350 1.000 3.885740
TOTAL 80N48490 X

UNK ANALYSIS 3

F.C.:Y 9010 (PN CURRI Probă folosită + RP \bar{Y} 3
UNK POSITION ?;Y

EL E IPHSTD) IPIUNIKI STD.C K-VAL
1 18190 4479.700 1N000 24N62730
2 25483 107.9660 0.987 0N419177
3 28275 13146.30 1N000 46.49490
4 25105 486.9450 1N000 1.939630
5 106228 503N25R0 1.000 0.473754
6 92861 4171.970 1.000 4N492720
TOTAL NN.....

UNK ANALYSIS 3

F.C.:Y 9020 HP.CURRI
UNK POSITION ?;Y

EL E IPHSTD) IPIUNIKI STD.C K-VAL
1 18190 4286N460 1N000 23.57590
2 25483 105N4060 0.987 0.408573
3 28275 12918N10 1.000 45.68790
4 25105 473.9550 1.000 1.887880
5 106228 584N1210 1.000 0.549877
6 92861 3512N880 1.000 3N782930
TOTAL N.N.....

UNK ANALYSIS 3

Fig.5.2. Analiza conititativă a noului constituent numit convențional faza T

QUANTJ STD
NO. OF ELEM:2
MEAS TIME IP:150
IB:100
NO. OF MEAS IP:2
IB:1
PRESENT POSITION
Q(1):0
Q(2):170420
Q(3):0

SEC	EL	CH	POSI	KMBG	STD.C	F.COSTD	PEAK	P.CUR	IP(CPSI)
1 :MO	:2	:173170	:4	:IN000	:Y :Y		173180	9090	8121
2 :MO	:2	:173170	:4	:IN000	:Y :Y		173200	9040	7723

UNK MEAS
NO. OF UNK POINTS:80
MEAS TIME IP:150
IB:100
NO. OF MEAS IP:2
IB:1

UNK ANALYSIS 1 Probă forjată + Rp_{v2}

F.C:Y 9010 (PNCUR)
UNK POSITION ?;Y

ELE	IPHSTD	IPHUNK	STDUNC	K-VAL
1	8121	0N000000	1.000	0.000000
2	7723	2N641600	1.000	0N036798
.....				
TOTAL				0N036798 *

Fig.5.6. Secvență din listingul analizei conținutului de molibden al fazei 1

CORRECTION (METAL)			
NO. OF ELEM:15			
EL	K	EL	EL
13	1000062	125	125
14	00.0446	125	125
122	10.2216	125	125
126	10.4469	125	125
128	10.0176	125	125

SPECIMEN COMPOSITION				Probă turnată			
EL STD.F	ABNF	AM.F	FL.F	UNK.F	MEASC	CONC	
13 0.7342	0N2411	0N9007	IN0026	0.2663	0.006200	0.016963	
14 0.7689	0.3347	0N8783	IN0007	0N3813	0.044600	0.089947	
22 0.9174	0.8718	IN0164	IN0469	0N8979	0.221600	0.226405	
26 0.9491	0.8915	1N0033	IN0033	0N8708	0.446900	0.467083	
28 0.9597	0.8204	1.0124	IN0000	0N8164	0.017600	0.020843	
SUM = 0N736900 0.841240							

CORRECTION IMMETALL			
NO. OF ELEM:15			
EL	K	EL	EL
13	10.0004	125	125
14	10.0450	125	125
122	10.2513	125	125
126	10.5024	125	125
128	10.0204	125	125

SPECIMEN COMPOSITION				Probă forjată + Rp _{v1}			
EL STD.F	ABNF	AM.F	FL.F	UNK.F	MEASC	CONC	
13 0.7342	0N2382	0N8984	1.0024	0.2657	0.004400	0.012196	
14 0.7689	0N3341	0.8760	1.0007	0.3817	0.045000	0.089663	
22 0.9174	0.8731	1N0137	IN0477	0N9003	0.251000	0.255381	
26 0.9491	0.8908	1.0042	1.0034	0N8727	0.500000	0.506417	
28 0.9597	0.8106	1.0003	1.0000	0N8164	0.000000	0.000444	

SUM = 0.823300 0.908883

Fig.5.7. Secvență din listingul corecției valorilor experimentale

Tabelul 5.1. Compoziția chimică a fazei T

Element	Conținut %
Ti	21,61...25,55
Mn	0,41... 0,62
Fe	48,70...54,64
Cr	2,08... 2,44
Al	1,20... 1,69
Si	8,34... 9,30
Mo	0,36... 0,30

Principal de Cu cu urme de Cr, V, S, P. Se subliniază că dispersia valorilor compozitiei chimice a fost atât de mare încât nu s-a putut surprinde o corelație între compozitia chimică și starea de tratament termic.

În cadrul diversificării și detalierea rezultatelor s-au fotografiat și imagini de compozitie, poste care în parte au fost suprapuse variațiile diferențelor elemente analizate precum și imagini de fluorescentă cu raze X. Aceste imagini sunt prezentate în figurile 5.3., 5.4., 5.17.

Se precizează că noul constituent este surprins greu pe imagini de compozitie: fie numai conturul luminos (figurile 5.3., 5.9., 5.10.) fie ca o zonă întunecată (figura 5.11.) funcție de diafragmă utilizată.

In figura 5.3. se observă că constituantul hexagonal conține mai mult și decât matricea, în schimb variația cromului nu este semnificativă, probabil în cazul cromului este vorba de urme care înconjoară celelalte elemente.

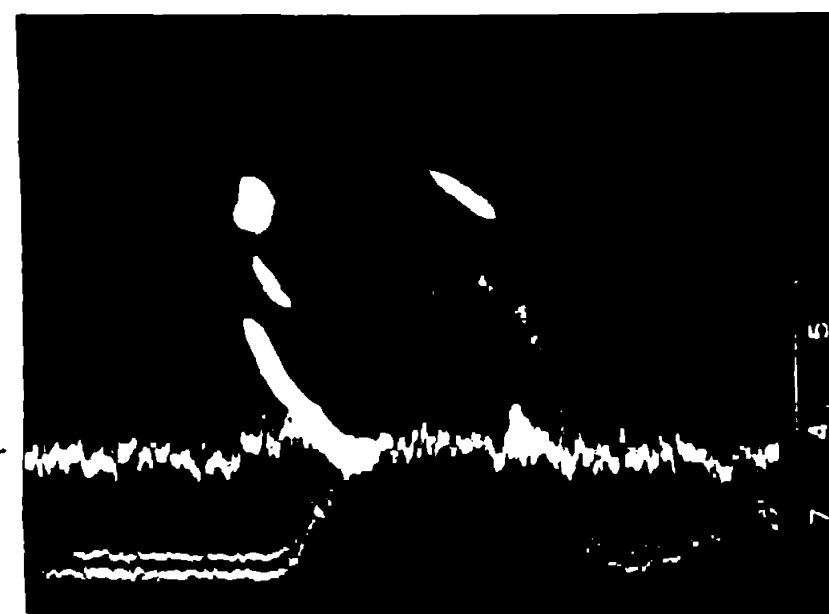


Fig.5.3. Faza T. Emanation din material turnat. Imagine de compozitie + variația cromului și titanicului.

T.A. = 25 kV,
S.E.L. x 2000



Fig.5.9. Faza T. Sjantion din material turnat. Imagine de compozitie + variație elementelor Ti,Ni,Cu, Si, Fe. T.A. = 25 kV; M.E.B. x 1400

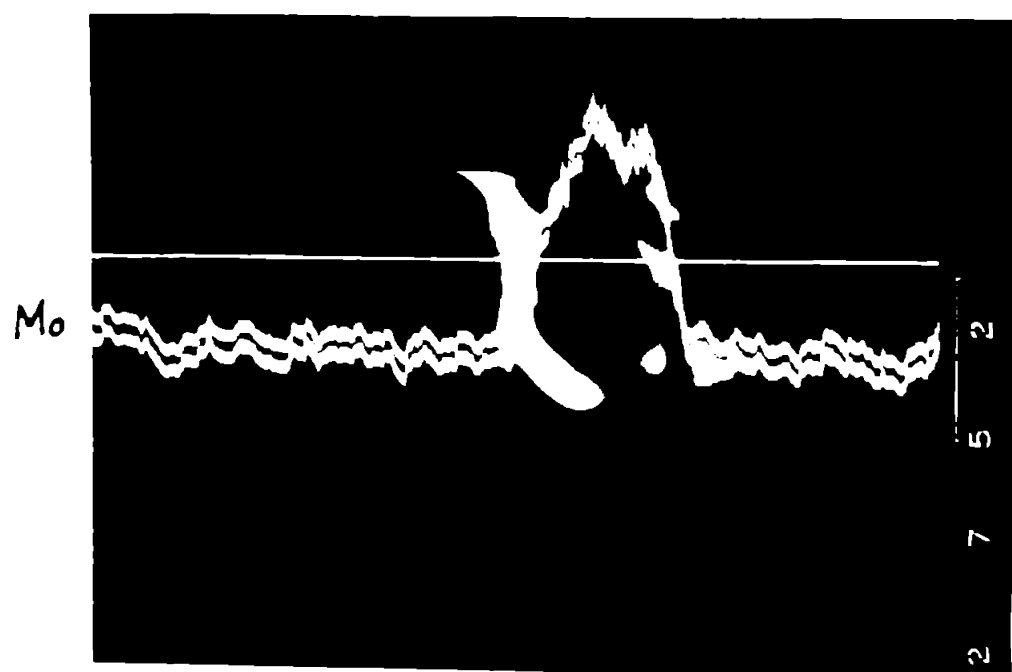


Fig.5.10. Faza T. Sjantion din material turnat. Imagine de compozitie + variație. $\text{Mo} \in \alpha$. T.A.=25 kV; M.E.B. x 1400

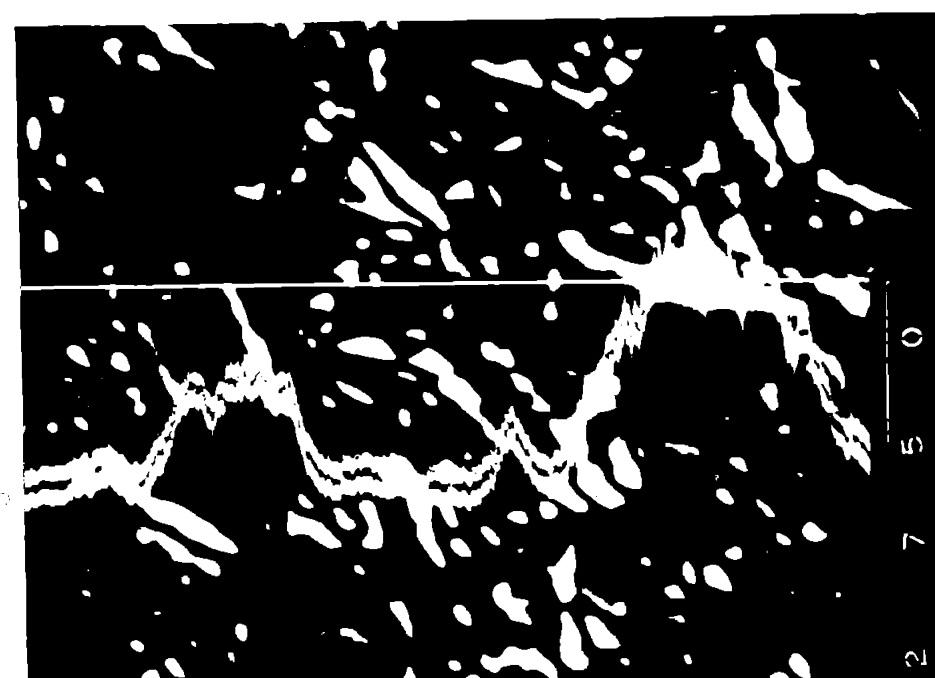


Fig.5.11. Faza T Probă forjată și recoaptă pendular RpV2. Imagine de compoziție + variația molibdenului, radiatie La^{∞} . T.A. = 25 kV; M.E.B. $\times 1000$

In figura 5.9. este analizat un constituent similar și nu înregistrat și variatiile fierului, siliciului, cuprului, nichelului și titanolui. Se constată că constituentul structural analizat conține mai mult fier și titan decât matricea, în schimb conține foarte puțin cupru. Conține mai mult siliciu, dar silicium se concentrează mai ales la marginea constituentului. Variatia nichelului este deosebit de interesantă. Constituentul analizat conține cova săi puțin nichel decât matricea însă se formează o barieră de nichel în jurul lui. Cele două maxime din matrice sunt probabil două precipituri de fază α .

In figurile 5.10. și 5.11. se observă variația molibdenului care apare practic numai în constituentul hexagonal (figura 5.10.) respectiv dreptunghiular (figura 5.11.).

Imaginiile de fluorescentă cu raze X sunt în concordanță cu cele observate la imagini de compoziție. Ele sunt redate în figurele 5.12. ... 5.16.

Figurile 5.12. și 5.13. confirmă că noul constituent este bogat în titan și fier, pe cind imaginea din figura 5.15. indică un conținut foarte redus de cupru în acesta. Figura 5.14. indică o repartiție omogenă a manganiului în material, dar se poate observa că conținutul în mangan scade treptat spre centrul constituentului analizat. Distribuția uniformă se explică prin ujurișădă cu care se substituie atomii de Al și Fe.

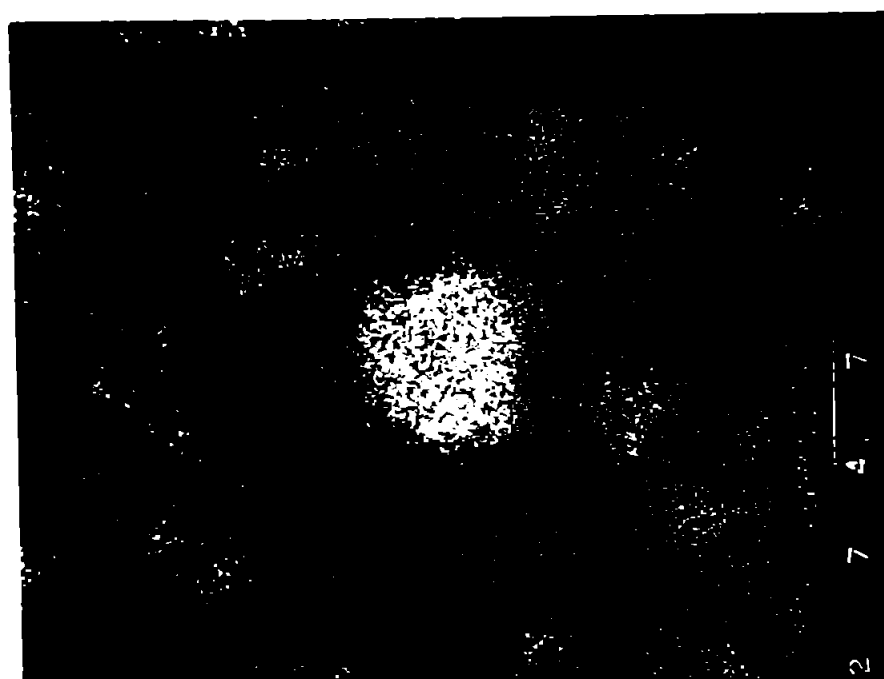


Fig.5.12. Faza T. Eşantion din material turnat.
Imagine de fluorescentă RX Ti K α .
P.A. = 25 kV; M.E.B. \times 1400

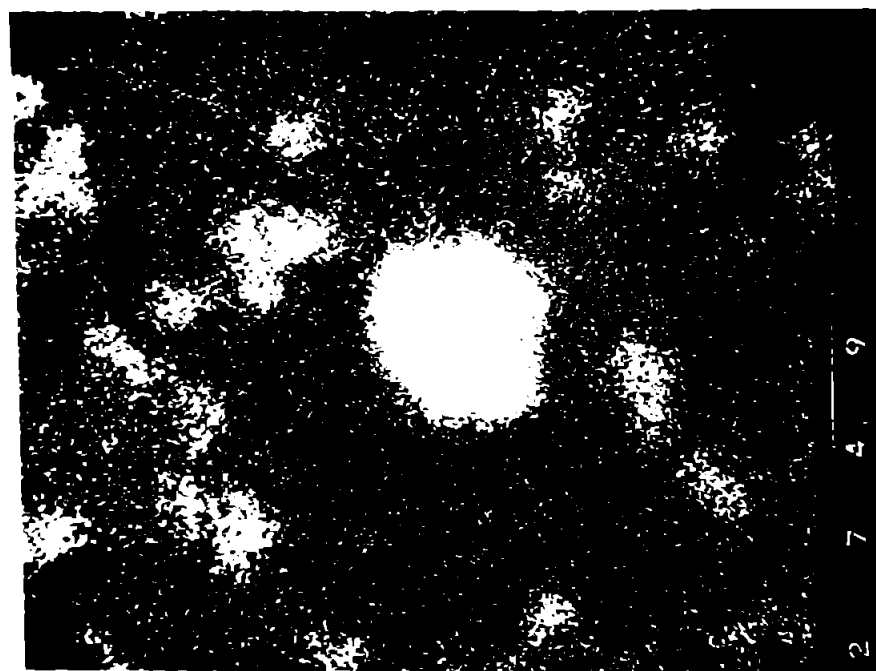


Fig.5.13. Faza T. Eşantion din material turnat.
Imagine de fluorescentă RX Fe K α .
P.A. = 25 kV; M.E.B. \times 1400

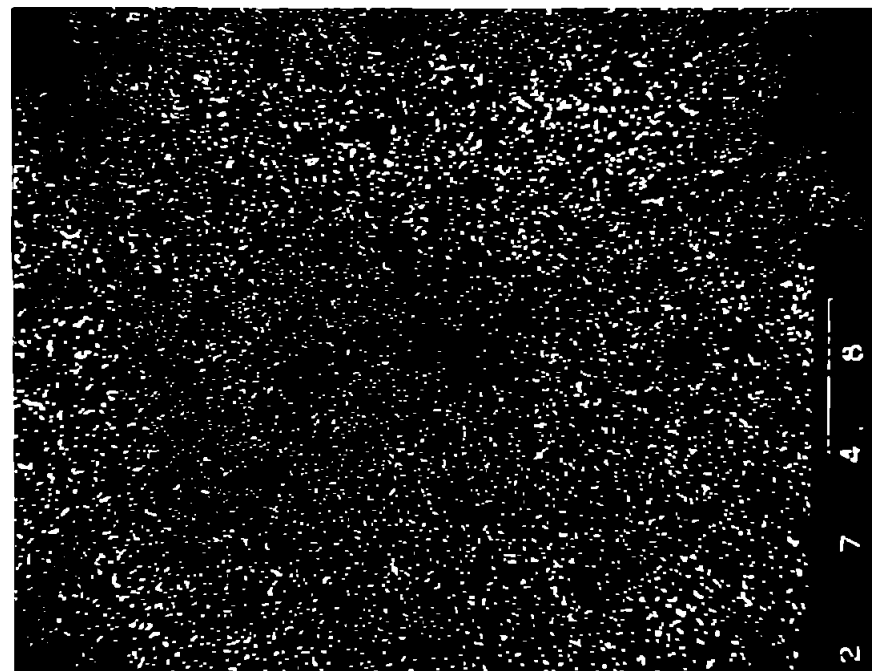


Fig. 5.14. Faza T. Ejantion din material turnat.
Imagine de fluorescență RX Mn K $\alpha\gamma$.
T.A. = 25 kV; M.E.B. x 1400

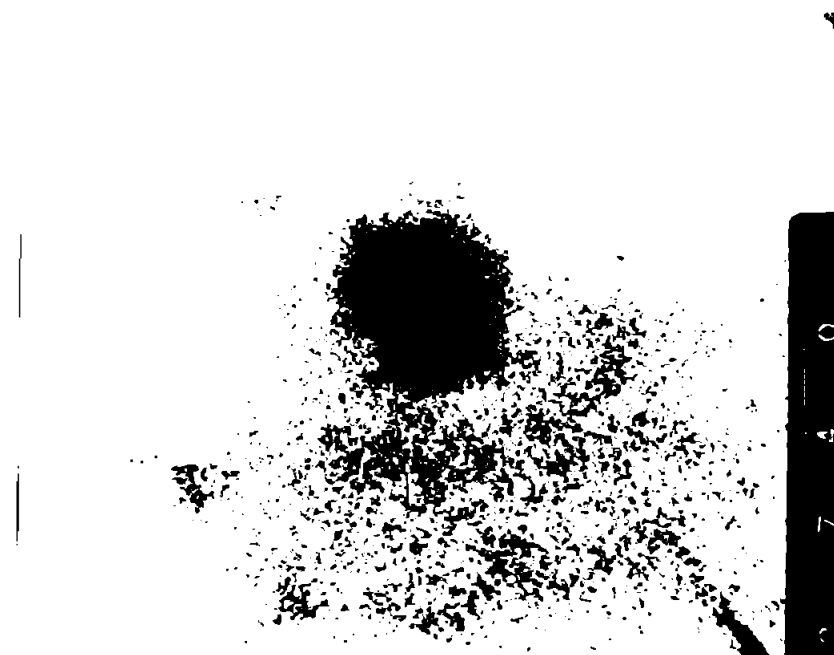


Fig. 5.15. Faza T. Ejantion din material turnat.
Imagine de fluorescență RX Cu K $\alpha\gamma$.
T.A. = 25 kV; M.E.B. x 1400

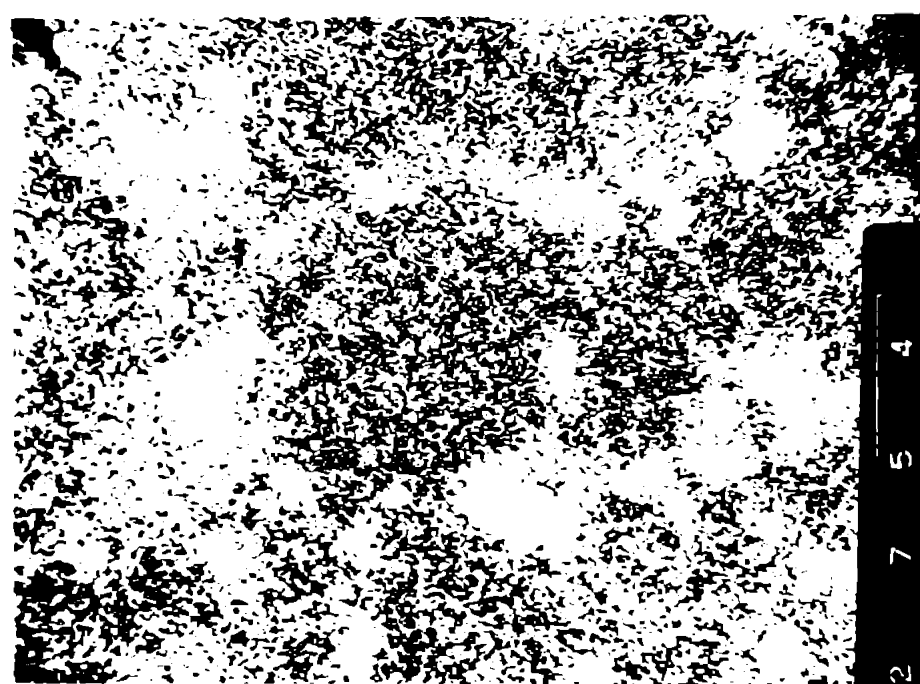


Fig. 5.16. Faza T. Probă forjată și recoaptă parțială RpV2. Imagine de fluorescentă RX Ni K α . T.A. = 25 KV; H.E.B. 1000

In figura 5.16. s-a prezentat imaginea de fluorescentă cu raze X pentru nichel, radiatice K α . Această imagine confirmă că constituentul studiat conține mai puțin nichel decât matricea și ipoteza formării unei bariere de nichel în jurul lui.

Distribuția fierului și nichelului în matrice sunt accentuate (figurile 5.13. și 5.16.) ceea ce întărește convingerile că precipitațiile mici sunt faza χ (NiFe_2Al). Distribuția titanolui în matrice (figura 5.13.) indică său un conținut sporit de titan, dar nu de concentrație core apără în constituentul structural analizat. Această distribuție subliniază posibilitatea apariției și a altor faze pe bază de titan ca cele semnalate în /4a/: M_2TiAl ; M_3TiAl sau în /3/: Cr_3Ti , fazi mai puțin probabile datorită activității chimice reduse a cuprului.

Pe baza compoziției chimice determinate prin analiză cantitativă (tabelul 5.1.) și pe baza variației elementelor la trecerea de la matrice la constituentul structural analizat, variație care indică acumularea majorității elementelor în straturile marginale ale constituentului (cu excepția fierului și titanolui) se trage concluzia că constituentul structural analizat este o fază complexă formată pe baza compozului Fe_2Ti , în care, prin difuzie, au pătruns, substituind atomi de Fe și Ti, celelalte componente ale aliajului. Apariția acestui constituant a fost posibilă datorită elaborării broasului titan și

fost adăugat în topitură sub formă de ferotitan, prealăj care a conținut impurități de Mo și Si și care nu s-a dissolvat complet, temperaturile finale permitând însă difuzia aluminiului, nichelui, cuprului și manganului. Această ipoteză este întărิตă de faptul că faza Fe_2Ti se poate abia la temperaturi de $1428^{\circ}C$.

Noul constituent structural, care nu este descrisă în literatură de specialitate, a fost numit "faza T".

Pentru a fundamenta ipotezele privind natura fazei T au fost făcute analize prin difracția razelor Roentgen.

Din multimea de diagrame obtinute, se prezintă în anexă figurile 5.17., 5.18. și 5.19. ca fiind reprezentative. Constituentii strucțurali au fost identificați folosind fișe ASTM. Au fost luate în considerare, ca rezultate certe, numai acei constituenți, la care au fost identificați minim trei picuri în ordinea crescătoare a intensității.

Identificarea constituentilor, pentru diagramele din figurele 5.17., 5.18., și 5.19. sunt prezentate în anexă sub formă tabelară (tabelele 5.2., 5.3. și 5.4.).

Analiza datelor obținute prin difracția razelor X a condus la următoarele concluzii:

- în structura tuturor probelor analizate au fost identificați constituenții: soluția solidă α , Fe_2Ti , γ , χ și în probe termociclate faza β' ;

- în structura probei turnate, tratată termic și a probei termociclate a fost identificat constituentul Fe_7Mo_6 (în cantitate mică);

- existența fazei Al_3Fe a fost cert identificată în structura probei termociclate, la celelalte probe existența acestei faze precum și a fazelor Al_3Ni și Al_3Ti fiind greu de stabilit cu exactitate, datorită prezenței fazei χ ($NiFe_2Al$);

- nu s-a găsit picuri corespunzătoare unor compuși cu conținut de Si, Mn, Cu.

În consecință, se apreciază că faza T este o soluție solidă pe baza compusului Fe_2Ti .

Pentru a largi cunoștințele despre faza T s-a analizat variația microdurății acesteia funcție de tipul de recocere pendular aplicat și funcție de numărul de cicluri. Măsurările s-au efectuat în condițiile prezentate în capitolul 4.2. Rezultatele experimentale sunt stipulate în tabelul 5.5. și reprezentate grafic în figura 5.20.

Tabelul 5.5. Micorduritatea fazei T la probe forjate si supuse recocacerilor pendulare

Stare de tratament	Valori experimentale HV 0,015 [daN/mm ²]	HV
Forjat	213,2; 188,2; 213,6; 226; 210,8	210,36
F+Rp _T I ^{II} 1	268; 367; 322; 246; 256	291,8
F+Rp _T I ^{II} 2	241,5; 292,4; 525; 547,5; 392; 393	388,56
F+Rp _T I ^{II} 3	556; 370; 349; 652; 668,5; 416	568,33
F+Rp _T I ^{II} 4	503; 790,5; 877,7; 1099,8; 936; 596,6	800,73
F+Rp _T I ^I	494; 525; 576; 463; 572	526,8
F+Rp _T I ²	625,8; 408; 812,5; 753; 574,5; 515	610,3
F+Rp _T I ³	763; 503,8; 494; 503,8; 515	535,92
F+Rp _T I ⁴	912,5; 457; 515; 398,1; 773; 1009	659,93
F+Rp _T I ⁵ 1	302,78; 596,42; 596,42; 1168,898; 651,8; 596,24; 1007,	702,69
F+Rp _T I ⁵ 2	1007,1; 484,16; 936	809
F+Rp _T I ⁵ 3	408,2; 832,8; 854,347; 790,5	721,48
F+Rp _T I ⁵ 4	547,2; 1133,74; 1575,08; 1986,6; 1284,75	1305,47

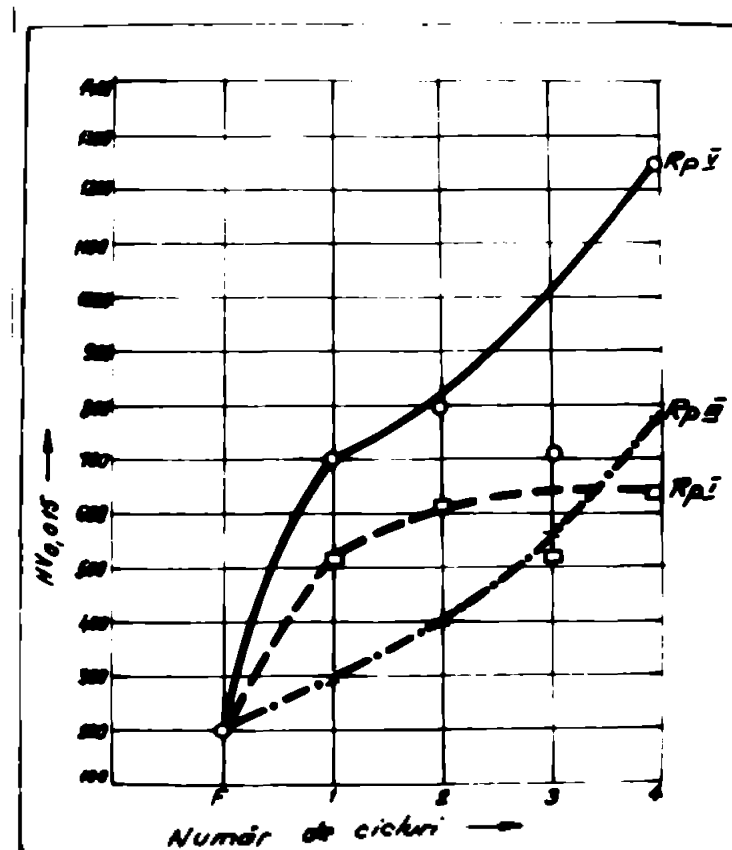


Fig.5.20. Variatia microduritatii fazei T functie de numarul de cicluri de recocere

Rezultatele obtinute sunt foarte interesante. Deoarece analiza metalografică și analize cu microscopie cu raze X nu au putut stabili o dependență între morfologia sau compoziția chimică a fazei T și tratamentul termic aplicat, în schimb microduritatea înregistrată, în mod surprinsitor, o creștere de peste 6 ori prin recocere pendulară șiPI.

Variatia microduritatii fazei T (figura 5.18.) în cazul recoccerii pendulare șiPI confirmă din nou efectul de recocere simplă a acesteia.

De precizat că în literatura de specialitate nu este menționată o variație a microduritatii fazei TiFe₂.

În ceea ce privește înălțimea fazei T asupra proprietăților bronzurilor de aluminiu complex aliate au fost efectuate analize microfractografice pe probe de reziliență tratate termic în diverse variante. Analiza microfractografică a fost efectuată cu ajutorul microscopului electronic yvin transmitem (TE31A 3613) folosind replici duble de carbon și cu microscopul electronic cu balanță (JEOL JSM-3).

Aproape indiferent de tratamentul termic aplicat, suprafața de rupere a prezentat atît zone cu caracter fragil, mai ales în jurul fazei T (fig.5.21. și 5.22.), cît și zone cu caracter mixt (fig.5.23.), dar și zone cu caracter concupșu (figura 5.24.).



Fig. 5.21. Furnat + C₁ 950°C +
C₂ 675°C. E.E.T. x4700



Fig. 5.22. Furnat + C₁ 950°C +
C₂ 675°C. Z.B.B. x1000
(T.A. = 25 kV)



Fig. 5.23. Furnat + C₁ 950°C +
+ C₂ 650°C + D150°C. E.E.T. x4700



Fig. 5.24. Furnat + C₁ 950°C +
+ C₂ 650°C. Z.B.B. x14640

Din microfractografia prezentată în figura 5.21. reiese clar rupearea fragilă provocată de scurgerea unor faze T dreptunghiulare. În consecință, fragilitatea bronzului studiat nu este cauzată numai de prezența fazei fragilizante γ_2 ci și de prezența fazei T.

În concluzie, analiza fazei T, care nu este descrisă în literatura de specialitate, a reliefat că aceasta este o soluție solidă pe baza compusului Fe_2Ti în care, prin difuzie au fost substituți atomii de Fe și Ti cu atomii componentelor. Ea conține 21,61...25,55 % Ti; 48,7...54,64 % Fe; 8,84...9,30 % Si; 2,08...2,44% Ni; 1,20...1,69 % Al; 0,36...0,90 % Mo; 0,41...0,62 % Mn, rest Cu.

Variatia cantității elementelor la trecerea de la matrice la faza T și analiza prin fluorescentă cu raze X au reliefat o disperzie neuniformă a elementelor pe secțiunea fazei T, acumularea Si în straturile ei marginale și formarea unei "bariere" de Ni în jurul ei.

Faza T este dură, duritatea ei fiind dependentă de tratamentul termic aplicat. Experimentele efectuate nu au permis depășirea nivelului ipotetic de explicare a dependenței durității fazei T de tratamentul termic aplicat.

Prezența fazei T în structura bronzului studiat, frumoasă pentru un metalograf, are însă un efect negativ asupra proprietăților mecanice. Analiza microfractografică a reliefat contribuția semnificativă a fazei T la fragilitatea materialului.

Se conchide că faza T este o inclusiune diluuitoare și se impune limitarea conținutului de titan la nivel de modificator (cca 0,01%).

CAPITOLUL 6

TRANSFORMARILE STRUCTURALE INDUSE PRIN TRATAMENT TERNIC ELASTO-MARTENSITIC CHALCOFEDELELUI.

Probele studiate, au fost pregătite metalografic după efectuarea tratamentului termic apoi atacate metalografic, uneori și electrolytic. Analiza metalografică a fost efectuată cu ajutorul microscopului optic metalografic MFTYP-200 și a microscopului electronic prin transmisie TESLA B613.

6.1. Metoda călărilor successive

În această etapă de experiment au fost investigate transformările structurale apărute în probe turnate în urma călării de la temperaturi cuprinse între 700°C și 1000°C ($t_{\text{mec}} = 60$ min; mediu răcire: $\text{H}_2\text{O}+10\%$ NaCl).

Trebuie precizat că reacțivul folosit în general pentru ataçul metalografic al bronzurilor de aluminiu (acid azotic + anhidridul cromic + apă distilată) nu a dat cele mai bune rezultate pe probele călărite. De fapt și în literatura de specialitate /21/ se precizează faptul că martensita β' a bronzurilor de aluminiu complex aliați se distinge greu pentru că acele nu sunt bine delimitate.

Temperatura de călărire de 700°C se află la limita superioară a domeniului $\alpha + \chi + \gamma_2 + \beta'$ (tabelul 2.3.), astfel încât prezenta unor urme de eutectoid $\alpha + \gamma_2 (+ \chi)$ este în concordanță cu rezultatele analizei dilatometrică (tabelul 2.3.). Acele de martensită β' nu sunt clar delimitate, din contră ale se observă datorită finelor precipitări χ din interiorul lor. Separarea fazei χ în timpul călării în acele martensită β' este cunoscută în literatura de specialitate /21/. Microstructura probei călărite de la 700°C , în care se observă și zone de soluție solidă α proeutectoidă este prezentată în figura 6.1 planșa VI.

Temperatura de călărire de 750°C s-a aflat cu puțin deasupra punctului de afişaj de transformare eutectoidă. Microstructura este caracterizată prin dispariția practic totală a zonelor de eutectoid ($\alpha + \gamma_2 + \chi$), prin existența unor poliedri de soluție solidă α proeutectoidă cu precipitări de fază χ , dendrite de fază χ neafectate de tratamentul termic, matricea fiind însă formată de o martensită β' foarte fină (figura 6.2, planșa VI) evidențială tocmai prin fine precipitări de fază χ .

Microstructura probelor călărite de la $800, 850$ și 900°C sunt prezentate în figurile 6.3...6.5. planșa VI și permit următoarele constatări:

- creșterea temperaturii de călărire la $800...850^{\circ}\text{C}$ conduce la diminuarea cantității de soluție solidă și proeutectoidă (figurile 6.3., 6.4. planșa VI);

- creșterea caracterului acicular al structurii cu creșterea temperaturii de călărire.

Nu au fost găsite însă argumente metalografice care să pledeze pentru începerea disoluției fazei χ în β . Abia la temperaturi de călărire de 900°C (figura 6.2. planșa VI) apare o diminuare a dimensiunilor dendritelor fazei χ concomitent cu creșterea cantității și mărimei precipitațiilor acestei faze în acela de martensită β' .

În toate că temperatura de călărire de 950°C este situată în pragul domeniului monofuzic β , în probele analizate s-au evidențiat urme de dendrite ale fazei χ , în special la limita graniților, disolvate numai parțial (figura 6.6. a planșa VI). Concomitent cu creșterea cantității de fază χ dizolvată în β cresc cantitativ și dimensional precipitațiile acestei faze în acela de martensită β' . Normal, creșterea temperaturii, este insotită de o ușoară creștere a granulației.

Cu toate că și după călăirea de la 1000°C se găsesc zone cu denarite ale fazei χ nedisolvate, acestea nu au mai putut ființa creșterea puternică a granulației, la o menținere de 60 de minute. Pericolul de creștere a granulației în domeniul monofuzic β este sesizat în literatura de specialitate /7/; /21/. Cu toate acestea numai în /38/ se recomandă durete scurte de menținere la acelă temperatură, în rest fiind recomandate dure de menținere de minim 60 de minute. Structura grozâiană obținută după călăirea de la 1000°C este prezentată în figura 6.7. (planșa VI).

În concluzie călăirea de la temperaturi cuprinse în domeniul $700...1000^{\circ}\text{C}$ conduce la apariția unei structuri martenitico.

6.2. Transformări strukturele induse prin revenirea probelor călărite de la 950°C .

Probale prelevante din semifabricate turnate au fost cu ușoare lării și revenirii cu regimurile precizate în capitolul 3.2.2., apoi investigate metalografic.



Fig. 6.1. Ternat+câlire
700°C. M.O.x500



Fig. 6.2. Ternat + câlire
750°C. M.O.x500

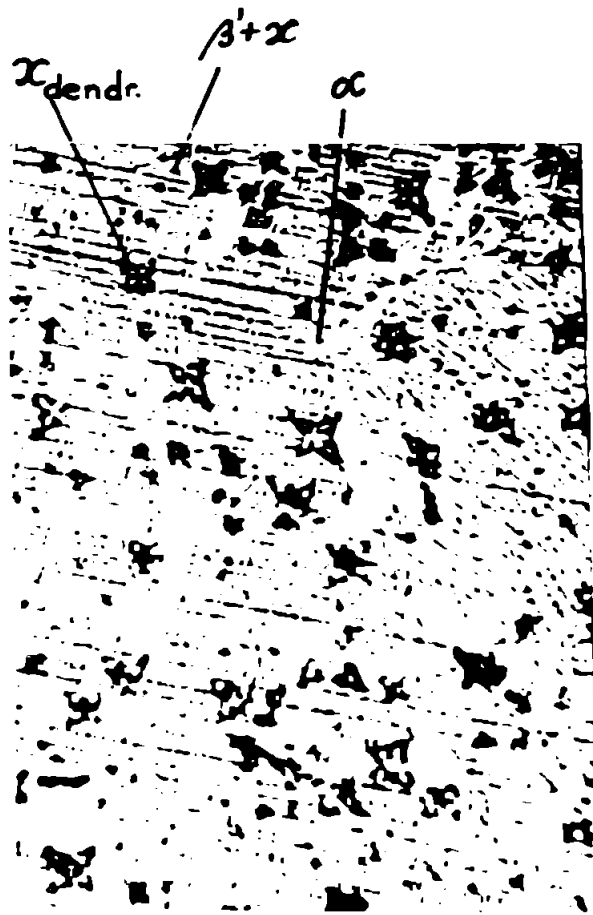


Fig. 6.3. Ternat + câlire
800°C. M.O.x 500

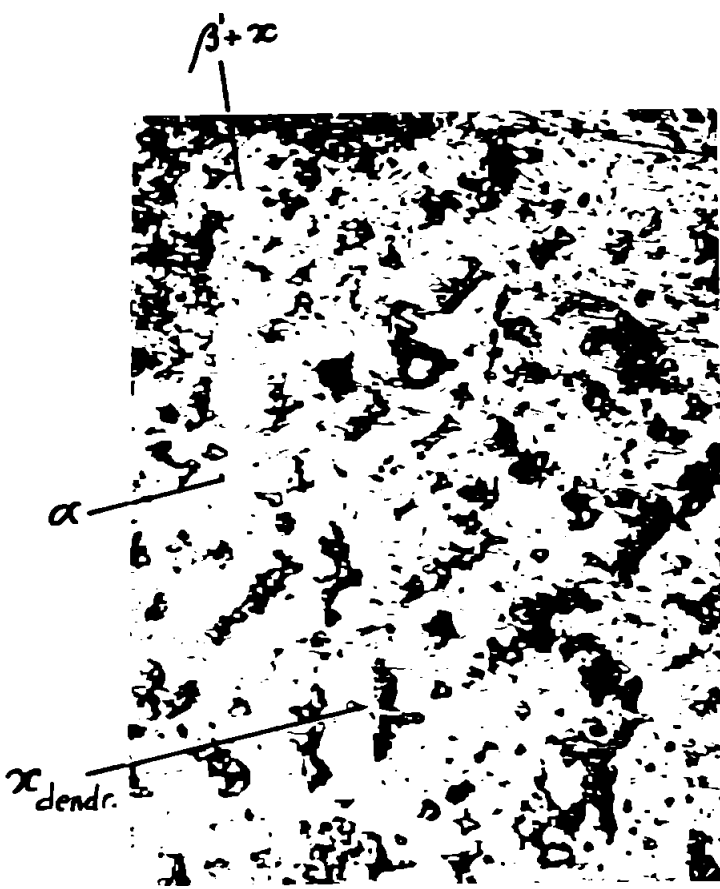


Fig. 6.4. Ternat + câlire
850°C. M.O.x500

- 72 -
PLANSA VI (CONTINUED)

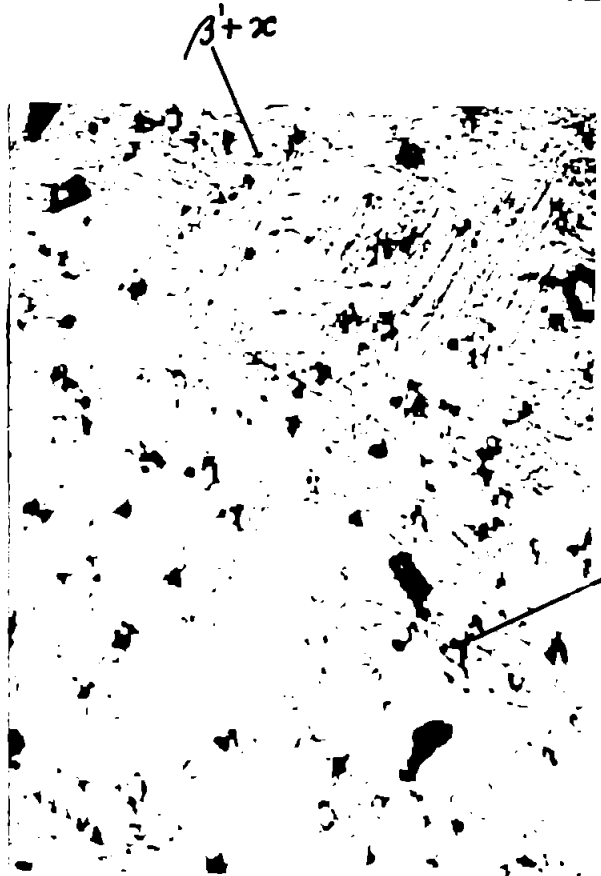


Fig.6.5. Turnat+ calire
 $300^{\circ}\text{C}.$.M.O.x500



Fig.6.6. Turnat+ calire
 950°C a).M.O.x1000



Fig.6.6. Turnat+ calire
 950°C b).M.O.P.x9300

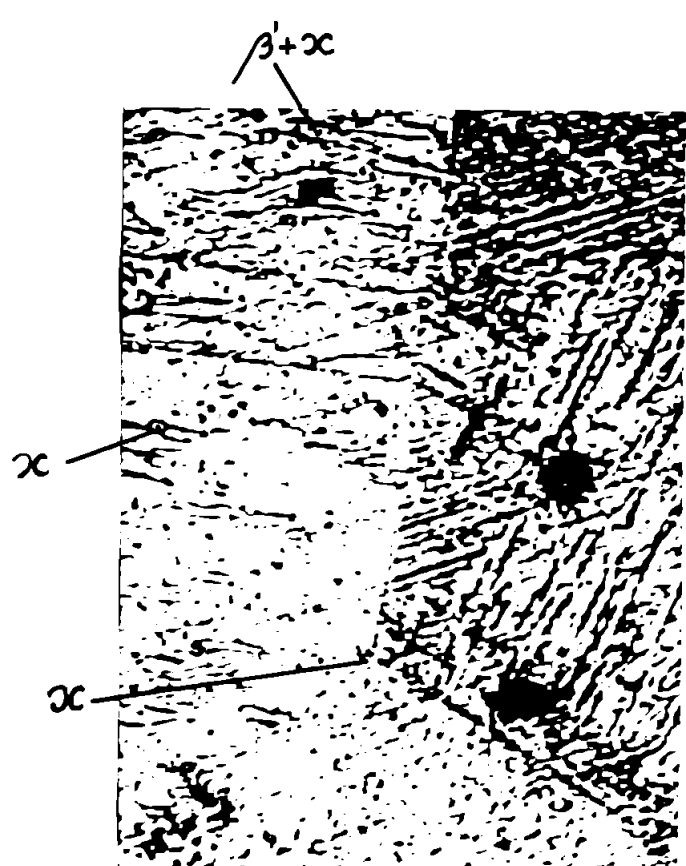


Fig.6.7. Turnat+ calire
 1000°C .M.O.x500

Structura de călire a fost evidențiată în figura 6.6., planșa VI și constă din ace de martensită β' , gros de delimitat, în care, în timpul ricirii, au apărut fine precipitații ale fazei χ .

În reveniri joase, la 350°C structura microscopică este similară (figura 6.8.a), dar la limita acelor se observă fine precipitații. După culoare, o parte importantă din aceste precipitații este faza χ , mai puțin probabil faza γ_2 . În mărimi mari delimitarea

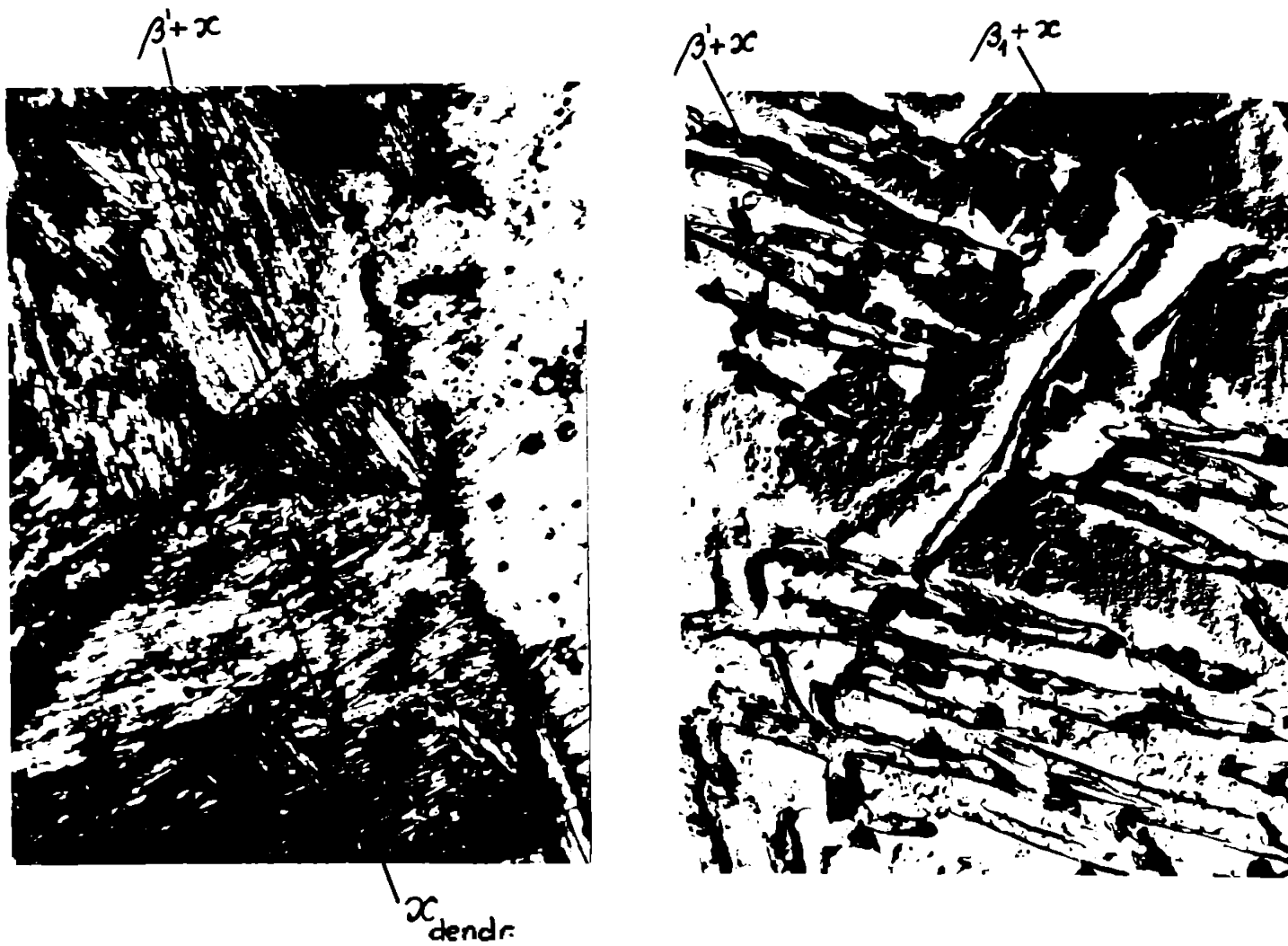


Fig.6.8. Turnat+călire 950°C + Revenire $350^{\circ}\text{C}/90$ min/ H_2O

a.m.o. $\times 1000$

b.m.e.t. $\times 4700$ (atac electro-litic)

acelor de β' este mai bună, ceea ce indică o accentuare a diferenței de compoziție și/sau structură dintre acele martensiți β' și fondul format de faza β_1 /34/, cu toate că denivelarea dintre constituente a fost favorizată prin atac electrolytic (figura 6.8.b). Faza β_1 apare în timpul călirii în urma reacției $\beta \rightarrow \beta_1 \rightarrow \beta'$. β_1 este o fază care se obține printr-o reacție de desordine-ordine din faza β . Conform datelor bibliografice nu se obține faza β metastabilă. Considerind această informație adevărată, fondul este format din faza β_1 cu rol de "austenit rezidual". Oricum, în acele "martensiți" β' din figura 6.8. se observă mai multe preci-



Fig.6.9. Turnat+călire $950^{\circ}\text{C}+$
revenire $500^{\circ}\text{C}/90\text{ min}/\text{H}_2\text{O}.$
M.O.x1000



Fig.6.10. Turnat+călire $950^{\circ}\text{C}+$
revenire $500^{\circ}\text{C}/30\text{ min}/\text{H}_2\text{O}$ (atac
electrolytic) M.E.T.x4700

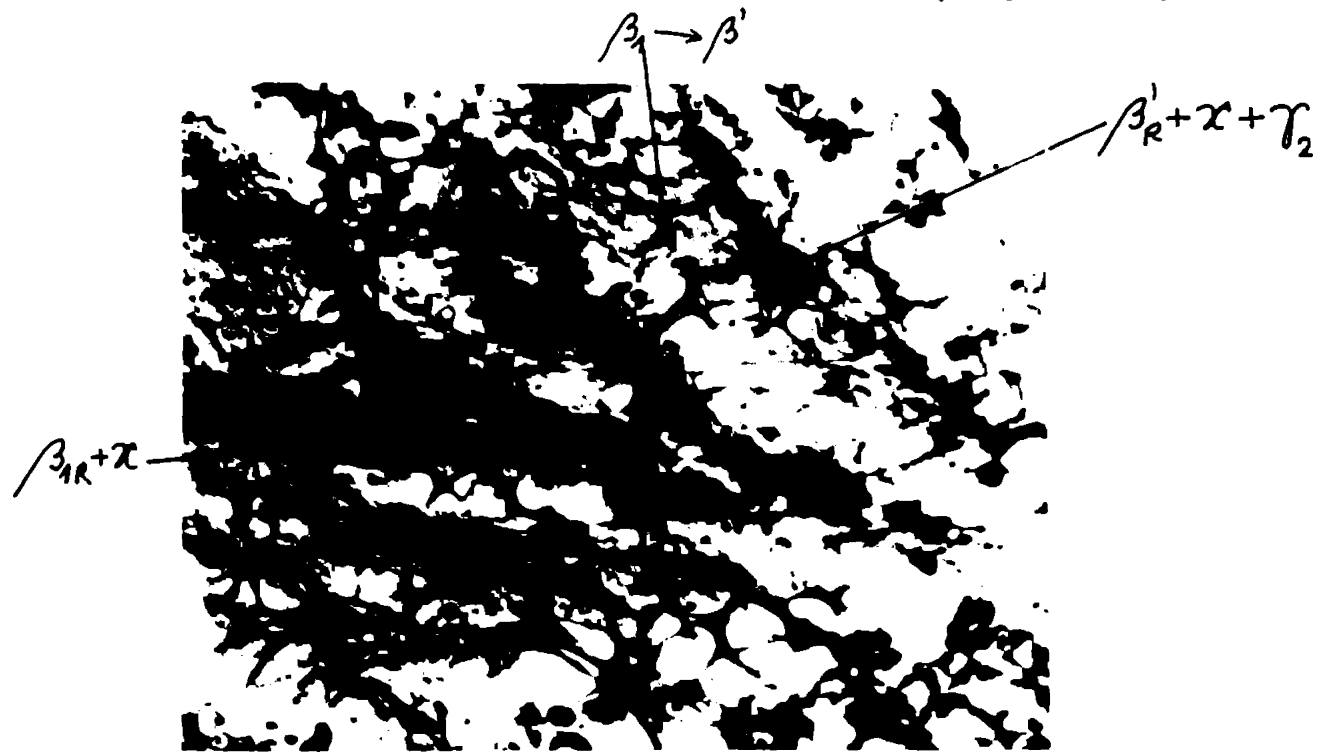


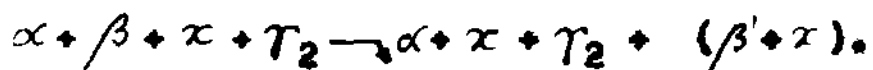
Fig.6.11. Turnat+călire $950^{\circ}\text{C}+\text{revenire}$
 $500^{\circ}\text{C}/30\text{ min}/\text{H}_2\text{O}, \text{Z.I.}, \text{x}14640$

pătră decât după călărire (figura 6.6, planșa VI). Dar și în faza β_1 există tendință să apară foarte fine precipitații, fapt care ar explica fragilitatea la revenire, reliefatul prin încercări mecanice /12/, /47/, efectuate pe probe în această stare, prin blocarea deplasării dislocațiilor.

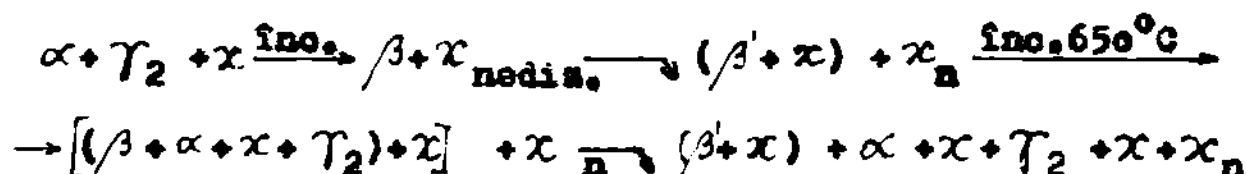
Temperaturi de reveniri mai mari conduc la transformări structurale mai importante. După o revenire la 500°C structura începe să capete caracter globular de tip "troostită de revenire". În figura 6.9. însă, s-a surprins o structură intermediară între cea aciculată și cea globulară, care ilustrează trecerea treptată, liniștită între cele două structuri. Investigațiile cu microscopul electronic au surprins și ele două etape de transformare: în figura 6.10. se observă apariția sporită de precipitații în acele martensitei β' dar și în β_1 . La durete de menținere mai mari la 500°C (figura 6.11.), aceste fenomene sunt amplificate, în plus, apare o tendință de transformare a fazei β_1 , probabil în β' , ascundând transformările austenitei reziduale la încălzire.

Cu toate că temperatura de 550°C este apropiată de cea precedată, conduce la o structură uniformă cu caracter globular (figura 6.12. a) cu aspect "troostic-corbitic de revenire", la o mărire mare (figura 6.12.b) a acestei structuri s-a surprins momentul desprinderii precipitaților de fază γ_2 din soluția solidă deja puțin suprasaturată β' , care se transformă în soluția solidă α .

"Revenirea" la 650°C reprezintă de fapt o nouă călărire, așa cum s-a precizat în capitolul 3.2.3. În microscopul optic (figura 6.13.a) se observă reapariția unei structuri aciculare într-o matrice α cu fine precipitații χ . Acele au aspect neogen și judecății conform D.E., a avut loc reacția:



Efectul călăririi de la 650°C este deci reducerea cantității fazei γ_2 din structură și apariția unei martensite β' puțin suprasaturată cu foarte multe precipitații χ (figura 6.13.b). Această observație nu e în concordanță cu reacția presentată, deoarece nu are loc o dizolvare defasă χ care să asigure o abundență de precipitații. Lucrurile devin însă clare, dacă se scrie reacția întregului tratament termic:



Cu alte cuvinte acele de martensită β' formate la cîlirea a două, provin de fapt din acele martensite obtinute la cîlirea de la 950°C . Viteza relativ mare de încălzire, nu permite parcurgerea transformărilor sesizate la revenirile pînă la 550°C . Încălzirea la 650°C conduce doar la reapariția fazei β' , din care se separă α , χ și γ_2 conform condițiilor termodinamice. Constituentul structural dintre acelede β' este soluția solidă α , verificată prin atac metalografic. Faza γ_2 nu poate să apară decât în jurul martensitei. Structurile prezентate în figura 6.13, pledează însă pentru faptul că dubla cîlire dirijează transformările spre separări de fază χ și nu γ_2 . Acest lucru este favorabil, deoarece faza γ_2 este mult mai fragilizantă decât faza χ .

Se conchide că tratamentul termic de cîlire dublă conferă bronzului studiat caracteristici structurale mai avantajoase decât cîlirea-revenirea obișnuită.



$\alpha + \gamma_2 + \chi$



$\beta_1 + \chi$ β'_R

Fig.6.12. furnat+cîlire 950°C +revenire $550^{\circ}\text{C}/30\text{ min}/\text{H}_2\text{O}$

a). M.J.x 1000

b). Z.E.T.x14640

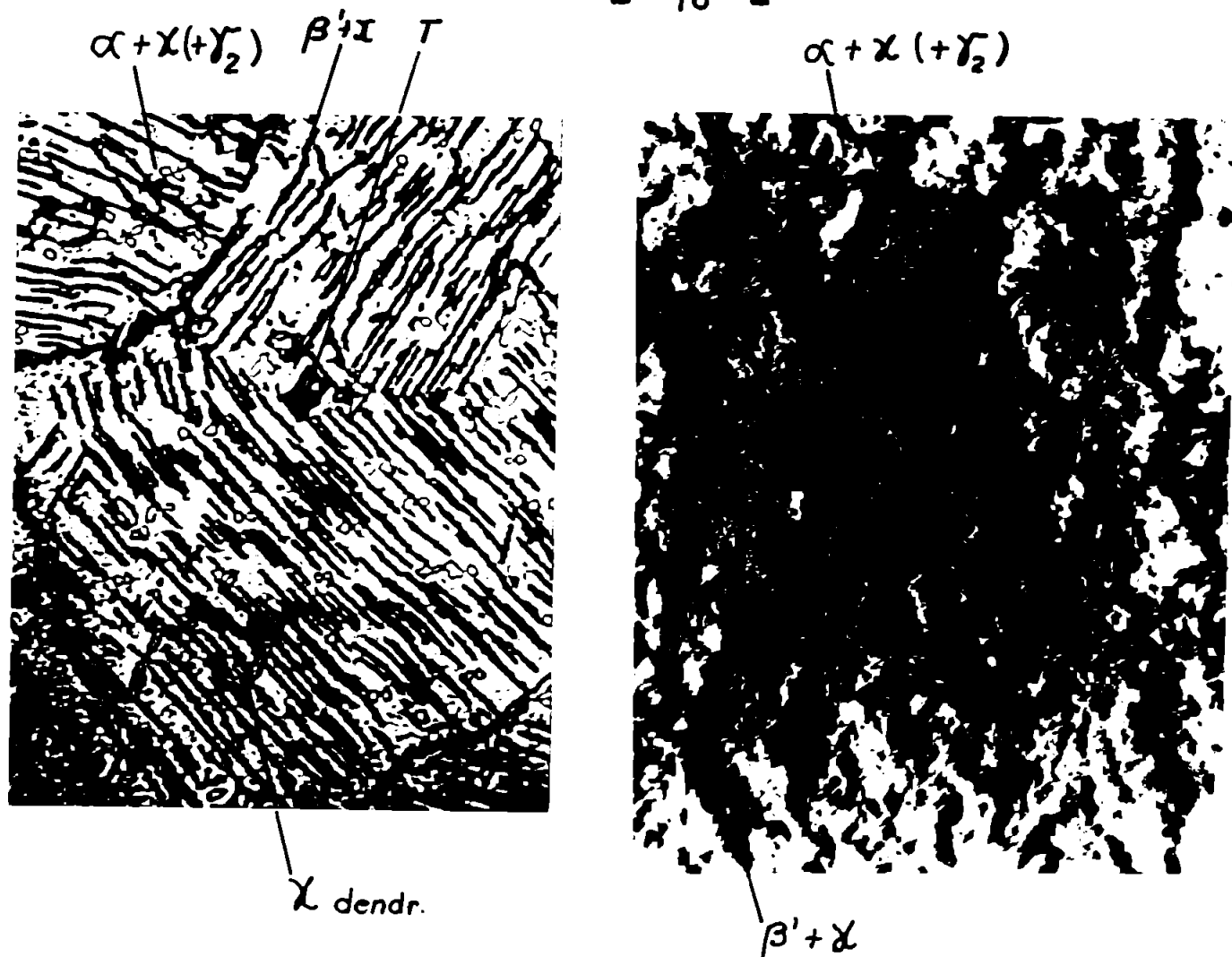


Fig.6.13. turnat+ călire 350°C + călire $650^{\circ}\text{C}/60\text{ min}/\text{H}_2\text{O}$

a). M.O.x500

b). M.E.T.x4700

6.3. Transformările structurale induse prin revenirea probei la temperatură călită de la 1000°C

Regimurile de călire-revenire aplicate, au fost precizate în capitolul 3.2.2. și se deosebesc de experimentul precedent prin temperatură de călire mai mare, dar și prin durată de menținere mai îndelungată la călire. Mediul de răcire la revenire a fost aerul.

În întimplător se recomandă în literatura de specialitate temperatură de călire de 1000°C , în special pentru cercetări: temperatura se află în domeniul monofazic β , ceea ce simplifică interpretările structurilor. Bronzul studiat însă, se prezintă și după 2 ore de menținere cu urme de dendrite ale fazei α nedisolvate (figura 6.14.).

Temperatura ridicată, aproape de temperatura solidus, asociață cu o menținere relativ ridicată, a favorizat creșterea puternică a granulației (figura 6.14. a), dar și disolvarea într-o măsură mai mare a dendritelor de fază α , fapt care se reflectă și în precipitări mai multe în cantitatea β' (figura 6.14.b).

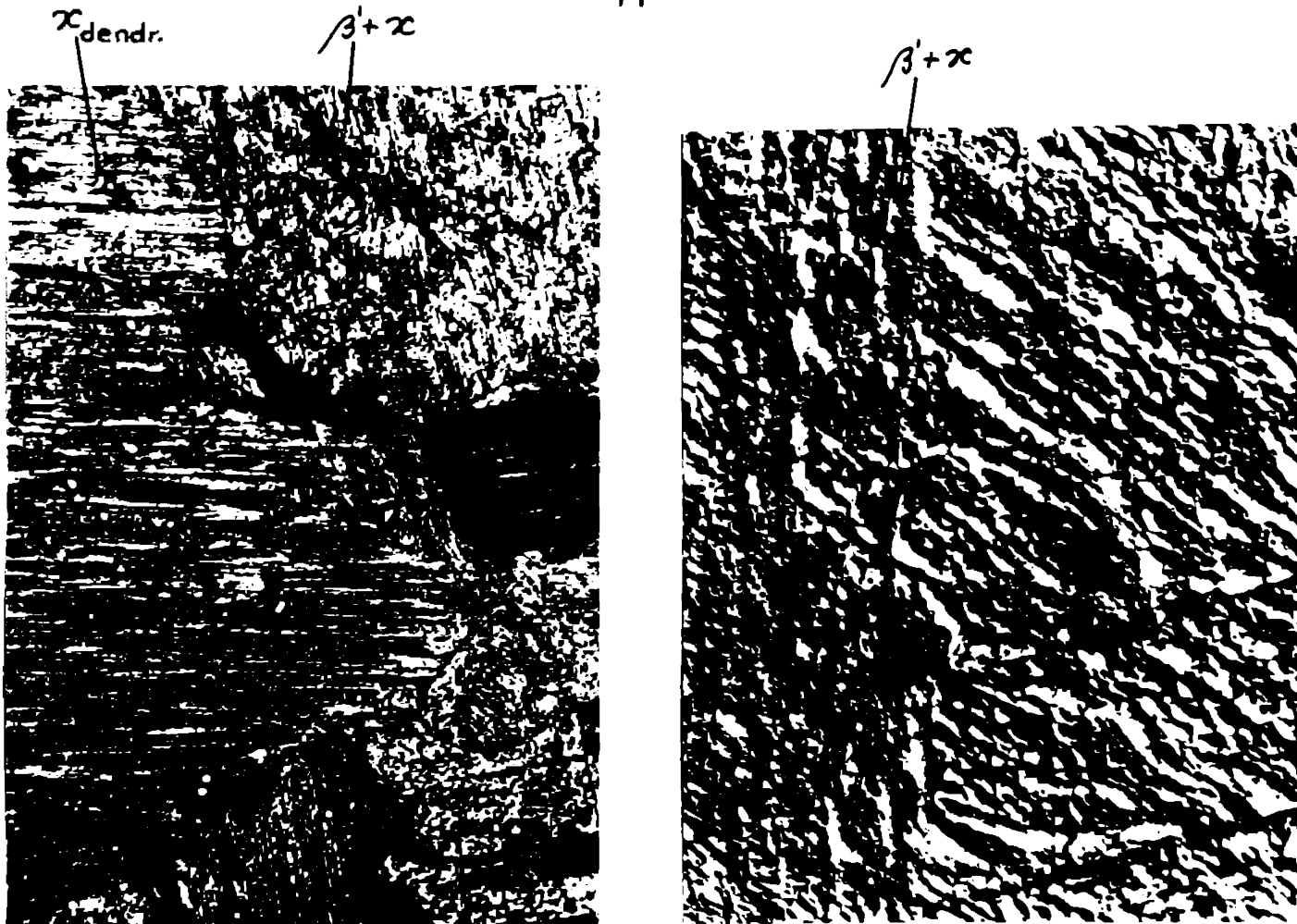


Fig.6.14. furnat+ c lire $1000^{\circ}\text{C}/120$ min/ $\text{H}_2\text{O} + 10\%$ NaCl
a). M.O.x500 ; b). M.E.I.x4700

După o revenire la 400°C structura are un slab caracter acicular (figura 6.15.a) și prezintă o abundență mare de precipitări foarte fine ($x + \gamma_2$). Investigațiile cu microscopul electronic (figura 6.15.b) arată că constituentul structural acicular este cel corodat, adică este soluția solidă α , precipitată de-alungul unor plane cristalografice preferențiale din martensite β' .

Constituentul structural predominant, care prezintă multe precipitări fine pare să fie β' și β'_1 cu separări de x și γ_2 .

Aceste observații indică faptul că față de călăra de la 450°C și revenire, s-a modificat mecanismul separărilor și anume:

$$\beta' \rightarrow \alpha_{\text{se}} + \beta'_1; \quad \beta' + \beta'_1 \rightarrow (\beta'_1 + \beta')_{\text{R}} + \gamma_2 + x$$

Revenirea la 450°C conduce, în mod surprinzător, la separări de soluție solidă α la limite foților griunți de β (figura 6.16. a), în plus matricea cu aspect troostitic sau sorbitic este brădată de ace mari (mai bine evidențiate decât fostele α și β') formate din soluția solidă α . Investigațiile cu microscopul electronic au scos în evidență ace mari de soluție solidă α , cu foarte puține precipitări în ole și o matrice troostitică $\alpha + x + \gamma_2$.



Fig. 6.15. Turnat + călire 1000°C + revenire $450^{\circ}\text{C}/45$ min/aer

a). M.O. $\times 500$;

b). M.S.T. $\times 4700$



Fig. 6.16. Turnat + călire 1000°C + revenire $550^{\circ}\text{C}/45$ min/aer

a). M.O. $\times 500$;

b). M.S.T. $\times 14640$

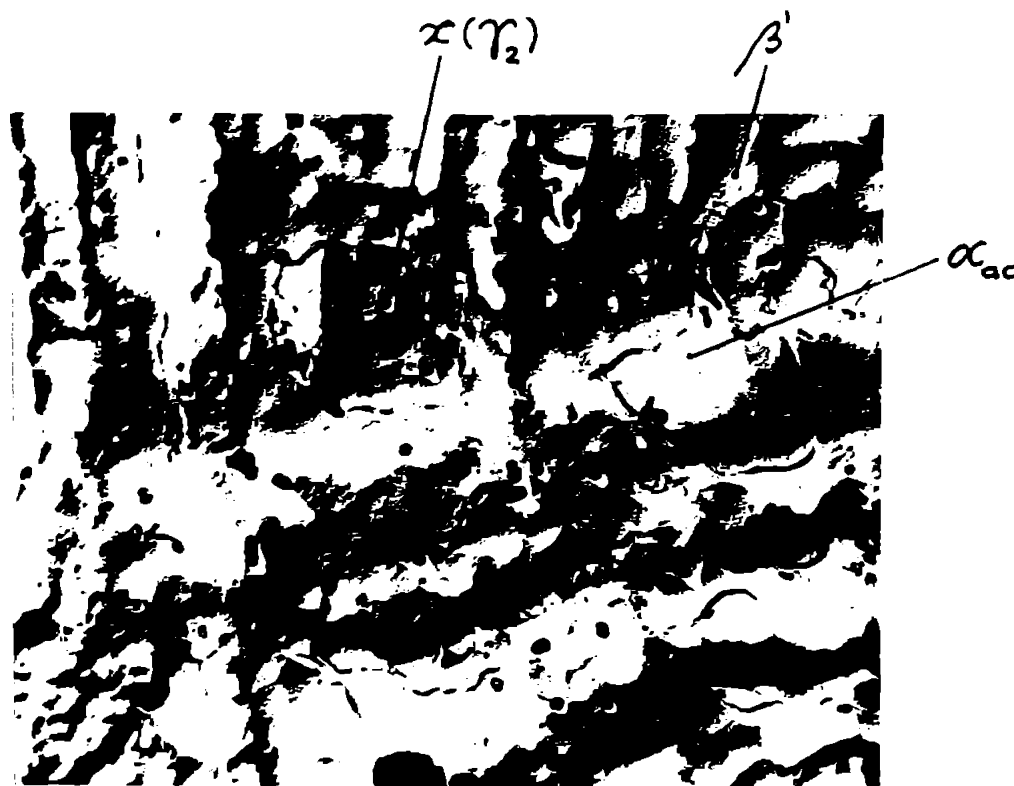


Fig.6.16. Turnat+călire 1000°C +revenire $550^{\circ}\text{C}/45\text{ min/nor}$
c). M.E.T. x 14640

fazele dure avind o formă globulară (figura 6.16. b). S-a surprins însă că o soină care arată că 45 de minute sunt insuficiente pentru deschiderea transformărilor structurale. Astfel în figura 6.16.c se observă ace de soluție solidă α și ace de β' în diverse etape de descompunere în α , γ_2 , χ .

Probele călite dublu, adică călite de la o temperatură T_1 și apoi de la $T_2 = 650^{\circ}\text{C}$ au prezentat în general caracteristici de rezistență și de plasticitate superioare celor călite și revenite în intervalul $350...550^{\circ}\text{C}$ dar și față de probele răcite în aer de la 650°C . S-a precizat că producătorii de bronzuri de aluminiu recomandă răcirea în apă sau $\text{H}_2\text{O}+10\text{ NaCl}$ de la 650°C . Explicația reașa în faptul că prin călire dublă se reduce cantitatea fazei γ_2 , puternic fragilisantă. Fragilitatea materialului în cazul răcirii în aer de la 650°C poate fi explicată pe baza microstructurilor obținute și redate în figura 6.17.

În figurile 6.17. a și b se observă că și încălzirea la 650°C urmată de o răcire în aer conduce la separarea soluției solide α la limita grăunților, dar în cantitate mai redusă și la o structură cu caracter acicular. Acele au în general o culoare mai închisă decât cele după revenirea la 550°C (figura 6.16. a). Natură acelor nu este pe deplin lămurită.

Analiza efectuată cu microscopul electronic (figuri 6.17.c și d) a evidențiat atît zone în care acele sunt constituente puter-



Fig. 4.17. Furnat+chir 1000°C+"revenire" 650°C/45min/aer
 a).M.O.x250; b).M.O.x500; c).M.E.T.x4700 d).M.E.T.x3900

nic atenții (coroanți) adică soluție solidă α , cît și zone proeminente de tip $\beta' + X$, chiar dacă martensita pare în descompunere: $\beta' \rightarrow -\beta'_R + X + \alpha + Y_2$. Această decompunere este mai vizibilă în matrice, a cărei structură este orientată, aciculară, dar cu acele mai mult sau mai puțin descompuse. Aceste observații conduc la ideea unei cîilibilități mari a materialului și transformările nu decurg simplu: $\alpha + X + Y_2 \xrightarrow{\text{în } 1000^\circ C} \beta + X_{d_R}^{\text{călărit}} \beta' + X + X_{d_R} \xrightarrow{\text{în } 650^\circ C} \beta + \alpha + X + X_{d_R} + Y_2 \xrightarrow{\text{der}} \alpha + Y_2 + X + X_{d_R}$, cît $\beta + \alpha + X + X_{d_R} + Y_2 \xrightarrow{\text{der}} \beta' + \alpha + Y_2 + X + X_{d_R}^{\text{der}} \sqrt{\beta'_R + \alpha + X + Y_2 + X + X_{d_R} + Y_2}$; (X_{d_R} = X dendritic nedisolvat)

Cu alte cuvinte prin răcirea în aer nu se induce o transformare eutectoidă, ștructurile obținute pleind pentru transformări care includ formarea și descompunerea fazei β' . Oricum, structura finală este mai apropiată de echilibru decit după o răcire în apă și separările în cantitate mare și sub formă de precipitații fine ale fazei Y_2 , care blochează dislocațiile, explică fragilitatea mai mare a probelor răcite în aer.

6.4. Transformări strururale induse prin călărea probelor forjate și revenirea la $1000^\circ C$, urmărată de revenire

Probale au fost tratate analog celor analizate în capitolul 6.3. cu regimul indicat în capitolul 3.2.2. Se precizează: mecanism de răcire la revenire: H_2O .

Structura de călăre este formată din martensita β' care apare sub forma unor ace mai lungi, dar mai ordonate decit în cazul probelor turnate (figura 6.14.). Granulația este și ea mai mare (figura 6.15.a) și mecanismul de separare a fazei X din β' în timpul răcirii este în fel ca în cazul probelor turnate (figura 6.15.b). Perioată și în acest caz urme de faza X nedisolvată, dar nu cu formă dendritică și cantitatea lor este mult mai mică decit în cazul probelor turnate.

Revenirea la $450^\circ C$ și $550^\circ C$ conduce la structuri similare probelor turnate și călărite de la $1000^\circ C$. Dacă se compară figurile 6.15. și 6.20. cu figurile 6.15. și 6.16. se observă că reconacerea pendulară și forjarea au provocat intensificarea separării soluției solide α la limite de grunți, creșterea dimensională a separărilor de α acicular. Forjarea și reconacerea pendulară conducând la o structură apropiată de echilibru, au modificat cinetica transforma-

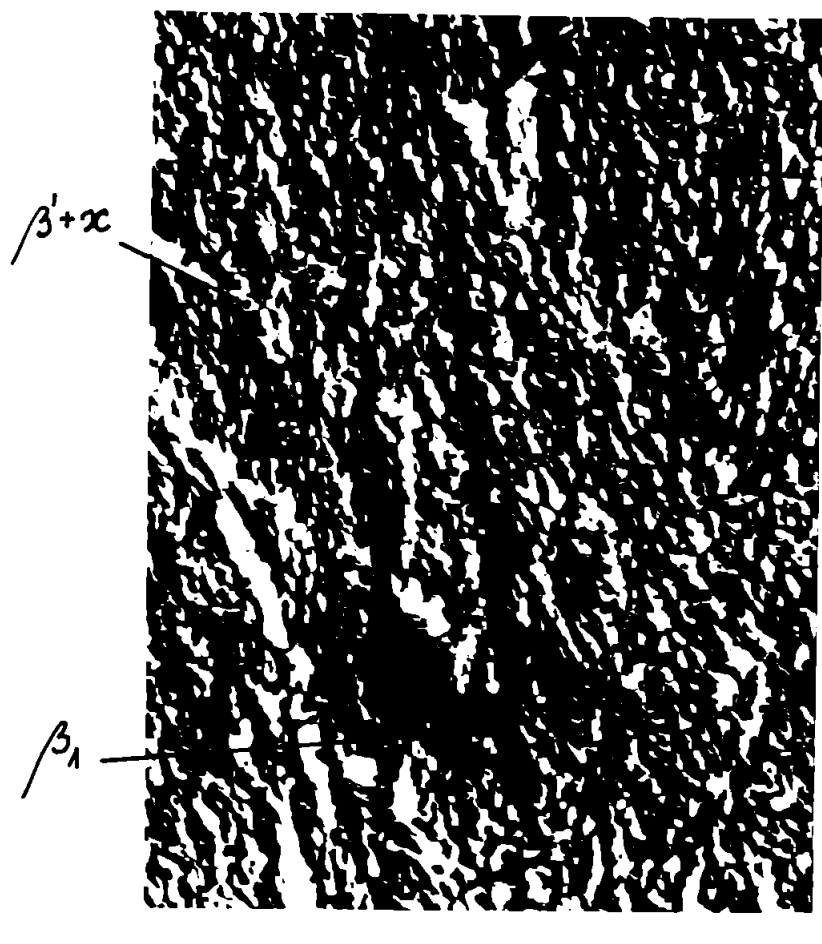


Fig. 6.10. Forjat+RpV4+cüllire $1000^{\circ}\text{C}/120$ min/ $\text{H}_2\text{O}+10\%$ NaCl
a). M.O. x500; b). M.E.T. x4700;

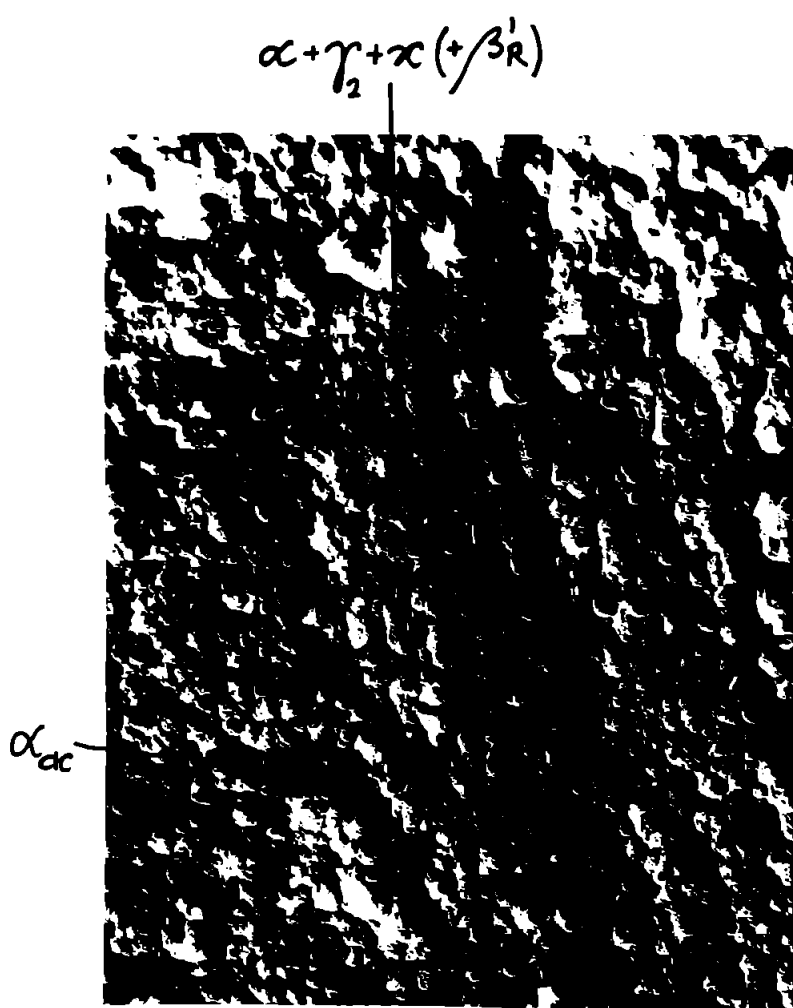


Fig. 6.11. Forjat+RpV4+cüllire 1000°C +rovenire $450^{\circ}\text{C}/45$ min/ H_2O
a). M.O. x500; b). M.E.T. x9300

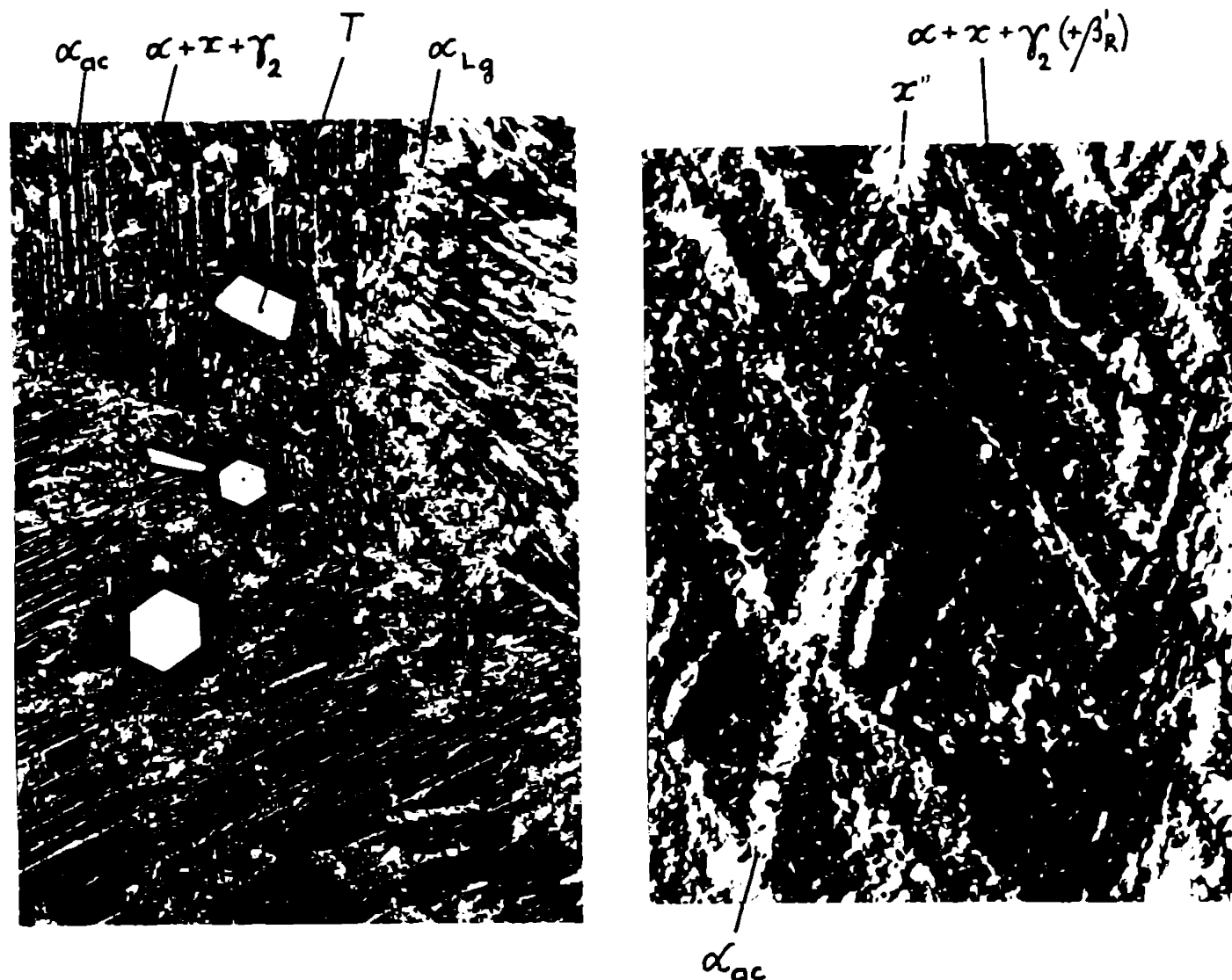


Fig.6.20. Forjat + Rv4 + călire 1000°C + revenire $550^{\circ}\text{C}/45\text{ min}/\text{H}_2\text{O}$
a). M.O.x500; b). A.S.T.x4700

rilor la revenire. Față de figurile 6.15. și 6.16., imaginile prezentate în figurile 6.19. și 6.20. au permis constatarea că în probele forjate și recopate, transformările structurale sunt amplificate, și dezvoltări. Inclusiv precipitările de fază χ'' se înmulțesc și cresc în acele de soluție solidă α .

În fine călirea dublă ($C_1 1000^{\circ}\text{C} + C_2 650^{\circ}\text{C}$) conduce din nou la o structură cu caracter acicular. Se pare că, în anumite situații, temperatura finală de călire de 1000°C , favorizează separări ale soluției solide α la limita foștilor graniță de β . Comparând figurile 6.13. (călire 950°C +călire 650°C) și 6.21. ($C_1 1000^{\circ}\text{C} + C_2 650^{\circ}\text{C}$) se evidențiază cauză apariției soluției solide aciculare, și anume solubilitatea diforită a componențelor în soluția solidă β la 1000 respectiv 650°C . În timpul transformărilor: $\beta 1000 \rightarrow \chi_{d_R} \rightarrow \alpha$

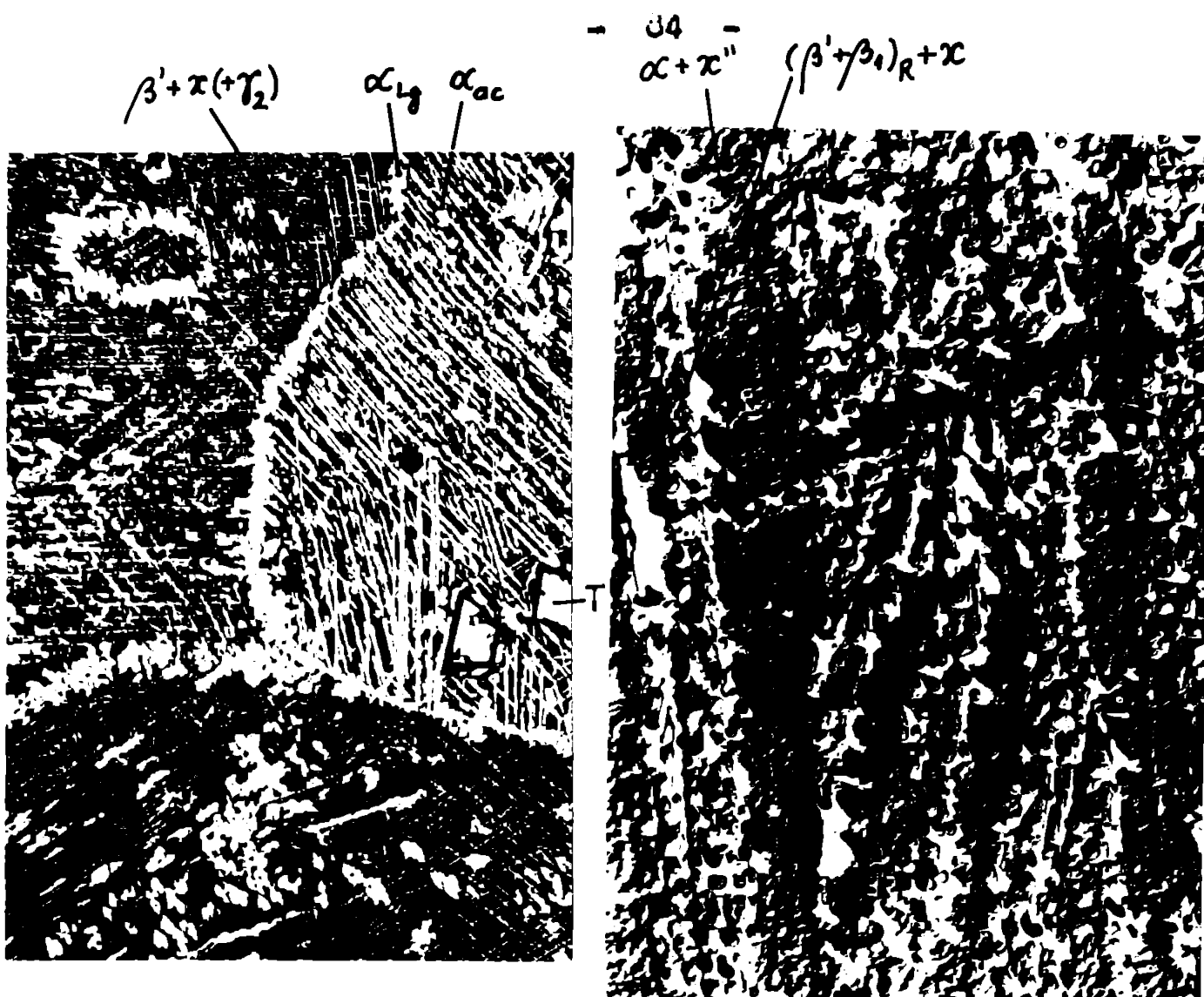


Fig. 6.21. Forjat+RpV4+călire 1000°C+călire 650°C/45 min/
H₂O; a).M.O.x500; b).M.S.T.x4700



+ X_{d_R}. Cu alte cuvinte soluția solidă α este separată de acele de martenoită, deci nu poate fi decât aciculară. Imaginele la mărimi mari indică precipitații ale fazei X în β crescute în timpul celor două căliri. Se ajunge din nou la concluzia că tratamentul termic de călire dublă (C₁+C₂) dirijează transformările spre separarea de fază X și impiedică separarea fazei γ₂ în ceea cea mai mare măsură.

De regulă structurile bronzurilor de aluminiu publicate în literatura de specialitate au caracter acicular (figura 1.6.). Acest lucru este în deplină concordanță cu cele sesizate: la revenire, soluția solidă α, cristalizează de-a lungul unor plane cristalografice preferențiale ale martenozitei β', iar la călirea dublă, este separată la marginea acelor de martenoită. Se remarcă, că în anumite situații este totuși posibilă apariția unei structuri globulare, prin călire și revenire (figura 6.12.a).

6.5. Structura bronsului Cu₆₀Fe₄₀Ni₄ înfi călit dublu

In casul călirii duble s-a aplicat de asemenea metoda călirilor succeseive, parametrul fiind temperatura T_1 a primei căliri C_1 . Călirea a doua, C_2 , s-a efectuat de la 650°C , după o mantinere de 60 de minute, mediul de călire: $\text{H}_2\text{O} + 10\% \text{NaCl}$.

Se remintează că temperatura $T_2 = 650^\circ\text{C}$ se află în domeniul $\alpha + \beta + \gamma_2$.

Analiza metalografică a fost efectuată pe probe de reziliență rupte.

Pentru a întârzi mai bine efectul călirii " C_2 " de la 650°C s-au invocat și probe călite numai do la această temperatură. In figura 6.22. se prezintă micrografia unei asemenea probe.

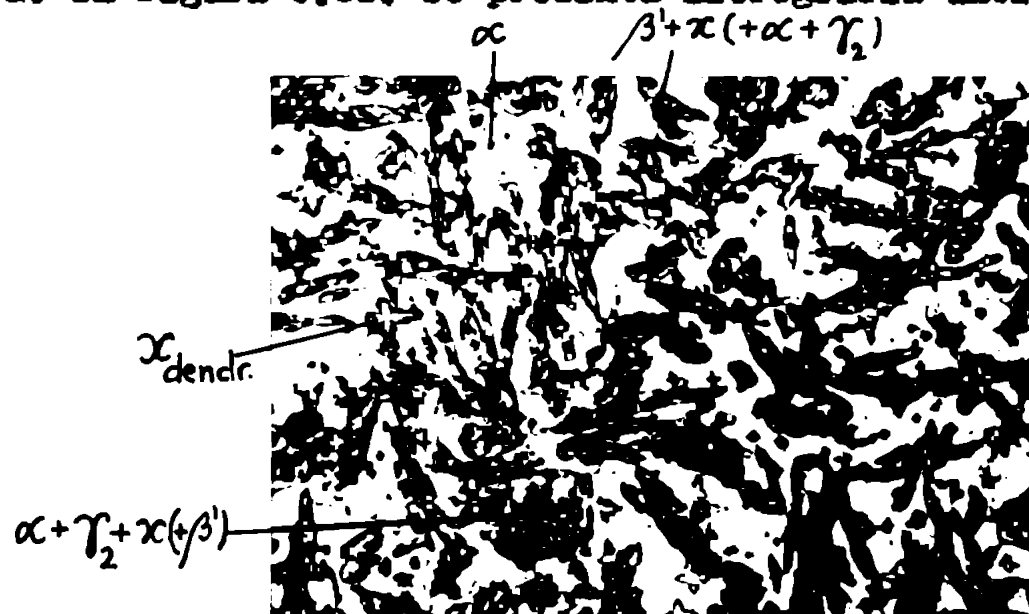


Fig. 6.22. Furnat+C₂ 650°C; L.O. x500

Temperatura de 650° se află în mijlocul intervalului transformării eutectoide $\alpha + \gamma_2 \rightarrow \beta$. In imaginea prezentată se relevă o lar soluția solidă α precumtoare, dendrite de fază X .

Zonile mai închise în culoare cu caracter slab acicular și conțin atât eutectoid $\alpha + \gamma_2$ cît și martensita β' . Existența martensitei β' , în această stare, a fost confirmată și de alți cercetători prin analiză cu raze penetrante /1/.

In urma călirii duble $C_1 700^\circ\text{C} + C_2 650^\circ$ se obține o structură fină, după aspect, pare mai degrabă a fi rezultatul unei recocieri pondulare și nu a unei căliri. In figura 6.23. se observă soluția solidă α , de culoare deschisă în care există o disperzie fină de faze $X + \gamma_2$ și β' . Pată de călirea simplă C_2 (figura 6.22.)

se semnează totuși prezența unor formațiuni aciculare foarte fine.



Fig.6.23, furnat C_1 700°C + C_2 650°C, R. 0, x500

Separarea fazei χ din β' în timpul călărilor C_1 și C_2 se produce, dar în cantitate nesemnificativă. Se subliniază prezența unor urme de fază γ_2 sub formă de amestec mecanic eutectoid în structură. În probele călărite de la 700°C (figura 6.1, planșa VI), călărea C_2 nu mai induce transformări semnificative (figura 6.23.), dat fiind nivelul apropiat al temperaturilor de încălzire. Se observă doar o ușoară accentuare a acelor de martensită și dimensiunilor lor ceva mai reduse.

Temperatura T_1 de călărire de 750°C se află la limita domeniilor $\alpha + \beta + \gamma_2 / \alpha + \beta + \chi$ (figura 1.3.). De aceea structura călărită respectiv călăreță dublu $\text{C}_1 + \text{C}_2$ 650°C se caracterizează prin zone de soluție solidă și proeutectoidală, dendrite de fază χ neafectate de tratamentul termic.

Făță de călărea simplă (figura 6.2, planșa VI) structura este mai fină, cu constituenții structurali relativ uniform disperzați. Constituentul acicular este însă mai clar delimitat și precipitațiile de fază χ , în cantitate mai mare decât în cazul precedent (figura 6.24.). Se pare că structura este lipsită de amestec mecanic eutectoid ($\alpha + \gamma_2$) și concluziile capitolelor 6.2...6.4. conduc la ideea că încălzirea la $T_2 = 650^\circ\text{C}$ stimulează mai mult separările fazei χ decât ale fazei γ_2 . Absența fazei γ_2 corroborată cu o martensită slab aliată, asigură o fragilitate mai redusă materialului.

După călirea dublă $C_1 300^\circ C + C_2 650^\circ C$ structura se prezintă cu un caracter acicular mai pregnant, acele fiind martensita β' care a separat în jurul ei soluție solidă α și conține precipitări de fază χ și eventual precipitări de fază γ_2 .

Comparând structura de călire C_1 (figura 6.3.) cu structura obținută prin călire dublă $C_1 C_2$ (figura 6.25.), se observă modificarea dimensională a acelor de martensită β' , evidențiarea lor

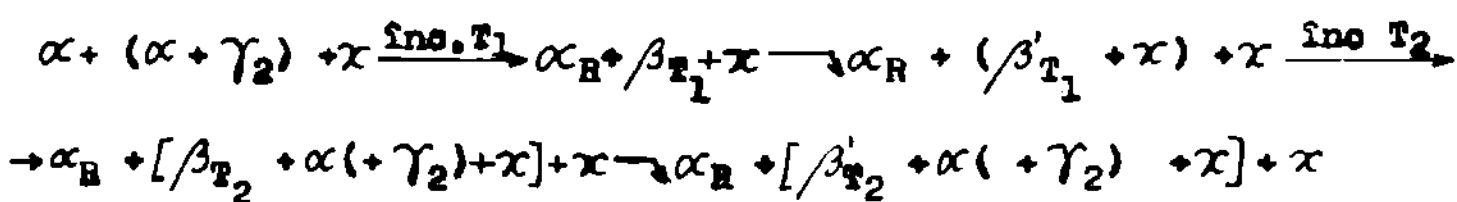


Fig.6.24. Turnat + $C_1 750^\circ C + C_2 650^\circ C$. M.O. x500



Fig.6.25. Turnat + $C_1 300^\circ C + C_2 650^\circ C$. M.O. x 500

mai clară, datorită separărilor de soluție solidă α în jurul lor. Se pare că mecanismul transformărilor este următorul:



De fapt, în ultima reacție ar trebui să se scrie:

$[\beta'_{T_2} + \chi + \alpha (+ \gamma_2) + \chi]$, dar la investigațiile cu microscopul optic nu se poate evidenția o separare a fazei χ din fază β_{T_2} în timpul călirii C_2 . De asemenea, se poate constata o diminuare a cantității de soluție solidă α , ceea ce pledează că durata de menținere de o ordine de $300^\circ C$ induce începerea transformării $\alpha \rightarrow \beta$.

La căldirea dublă $C_1 850^\circ C + C_2 650^\circ C$ se reduc și mai mult zonele de soluție solidă α pre-eutectoide decarece se continuă transformarea $\alpha \rightarrow \beta'$ (la încălzirea la T_1). În consecință, în timpul încălzirii la $650^\circ C$ se va separa o cantitate sporită de soluție solidă α la limita acelor de martensită β' . Se precizează că prin aceea de martensită se înțelege aici o structură complexă formată din martensită β' , precipitați χ și eventuale tendințe de separare a fazei γ_2 sub formă de precipitați foarte fine (figura 6.26.).



Fig.6.26. Turnat + $C_1 850^\circ C + C_2 650^\circ C$. M.O. x500



Fig.6.27. Turnat + $C_1 900^\circ C + C_2 650^\circ C$. M.O. x500 crește

Dacă temperatura T_1 a primei căldiri în continuare, se pare că se modifică ponderea transformărilor la încălzirea la T_2 . Astfel de la varianta $C_1 900^\circ C + C_2$ începând (figura 6.27.) se obțin structuri cu acea oară reliefate. La încălzirea la T_1 se transformă practic complet α în β' , ca la refăncălzirea la $T_2 = 650^\circ C$, ea să se separe la limita acelor β' , ceea ce permite evidențierea ușoară a acelor în urma unui atac metalografic de coroziune. Din contră, se pare că reacția $\beta' \rightarrow \alpha + \gamma_2$ se realizează într-o măsură din ce în ce mai mică, fapt care se explică și prin histeresisul transformării eutectoide sesizat prin analiza dilatometrică. În schimb transformările sunt dirijate spre separări de fază χ . Începând cu $T_1 = 900^\circ C$ crește ponderea și disolvarea fazei χ în β'_{T_1} , ceea ce în final conduce la separări mai multe și de dimensiuni mai mari ale fazei χ în β'_{T_1} respectiv β'_{T_2} , dar și la separări ale fazei χ în

soluția solidă α .

După cîrlirea dublă de la 950°C , tratată și în capitolele 6.2. și 6.4. structura se prezintă cu ace de martensită cu precipitații de χ în β' dar și în soluție solidă α precum și cu urme de dendrite nedizolvate ale fazei χ (figurile 6.28. și 6.13.) și cu granulație a rîrită. Se repetă că marea cantitate de precipitații este rezultatul modificării compoziției chimice ale fazei β , și implică ale fazei β'_p . Dizolvarea, într-o măsură mai mare a dendrilor fazei χ străge după sine îmbogățirea fazei β în Ni, Fe și al.

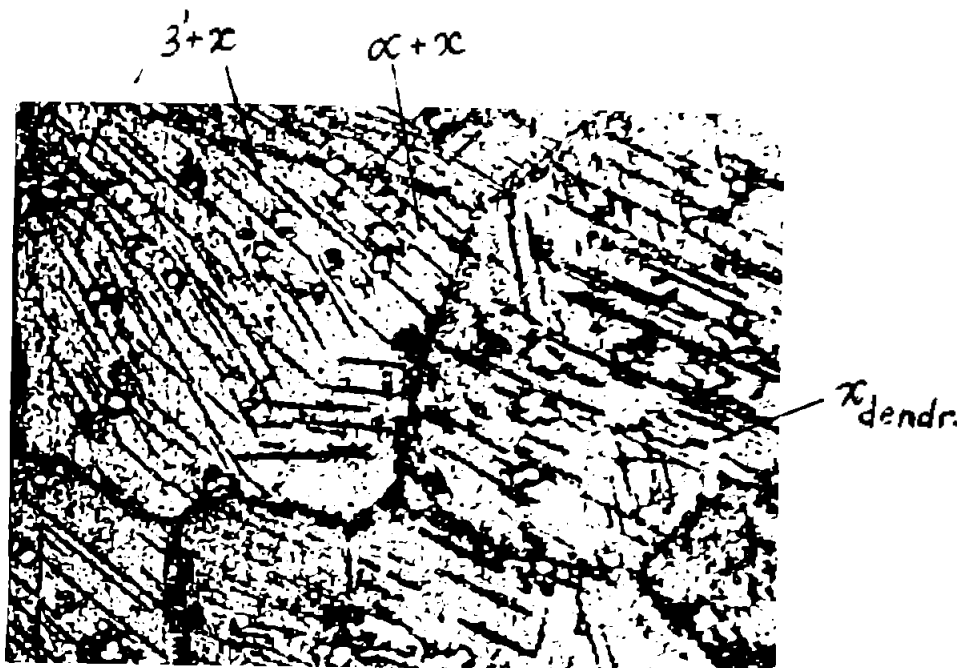


Fig.6.28. Turnat + C₁950°C + C₂650°C. M. D.x500



Fig.6.29. Turnat + C₁1000°C + C₂ 650°C. M. D.x500

În varianta $C_1 1000^\circ C + C_2 650^\circ C$ structura se prezintă cu granulație mai mare (figura 6.29.) cu fază χ aproape complet disolvată. Evident că la probele turnate s-au găsit zone în care fază χ a fost complet disolvată dar și zone cu dendrite mai grosișoare care nu s-au disolvat, durata de menținere folosită fiind numai de 60 de minute.

O cantitate mai mare de dendrite χ disolvute conduce la separări de χ în cantitate mai mare atât în timpul călirii de la $1000^\circ C$ cît și în timpul reîncălzirii și menținerii la $650^\circ C$. Totodată acest ciclu termic crează condiții pentru producerea coniacșenței precipitărilor fazei χ .

6.6. Modificări structurale induse prin revenire joasă a probelor călite dublu

APLICIND metoda călirilor succesive au fost călite dublu $C_1 T_1 + C_2 650^\circ C$ iar apoi supuse revenirii joase D $150^\circ C / 1,5h / \text{aer}$ probe de fractiune și de reziliență. Ultimale au fost investigate metalografic. Investigațiile microstructurale au început pe o probă călită incomplet de la $650^\circ C$, care a supusă revenirii joase la $150^\circ C$, pentru a studia influența revenirii joase asupra structurii de cădere incompletă.

În comparație cu microstructura probei călite incomplet de la $650^\circ C$ (figura 6.22.), transformările induse prin revenire joasă sunt minime și constau în principal în accentuarea caracterului de cmetec eutectoid, în zonele de culoare închisă (figura 6.30.).

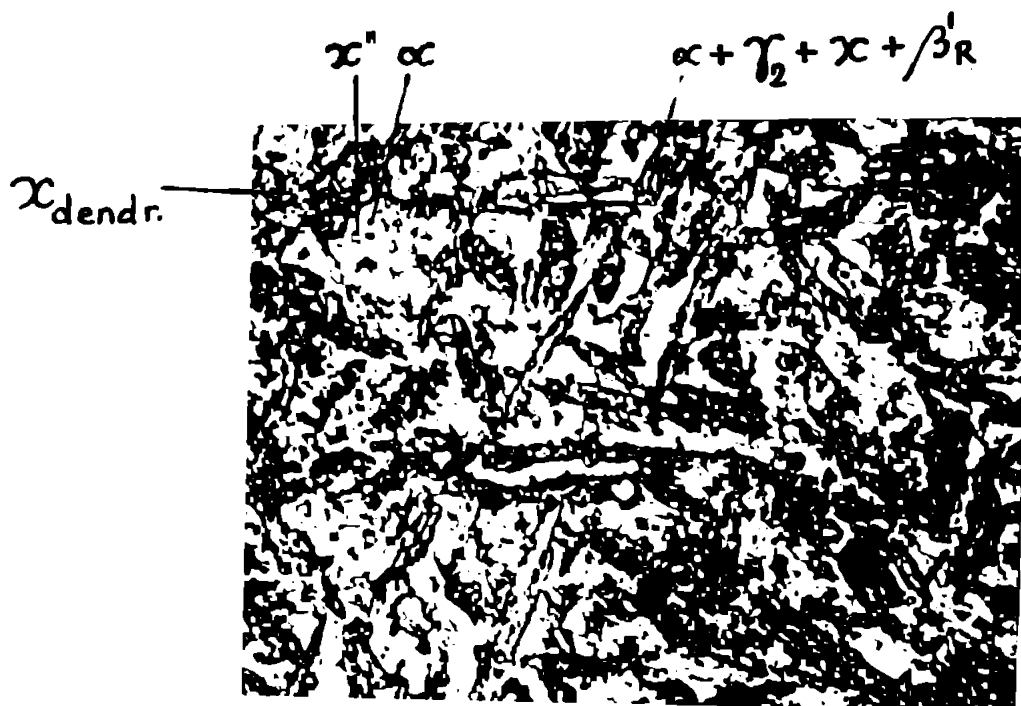


Fig.6.30. Turnat + $C_2 650^\circ C + D 150^\circ C$, N.O. x 500

Proba tratată termic $C_1700^\circ C + C_2650^\circ C + D 150^\circ C$ prezintă o structură fină (figura 6.31.), în care caracterul veicular al ceruzurii este mai pronunțat decât după ebulirea dublă $C_1700^\circ C + C_2650^\circ C$ (figura 6.23.). În figura 6.31. se observă trei zone de soluție solidă α prezentă împreună cu creșteri de fază χ'' . La un rîmen de 1000 de ori e același ca cele ilive-soluție solida α se trătu din β' și co-ocorre subziri, de către cădere fără încălzire și este stereogen, e rea să fie într-două faze de α , aceste formări sunt $\beta'_R + \chi + \gamma_2$. Faza de amorfică nu este afectată de tratamentul termic.

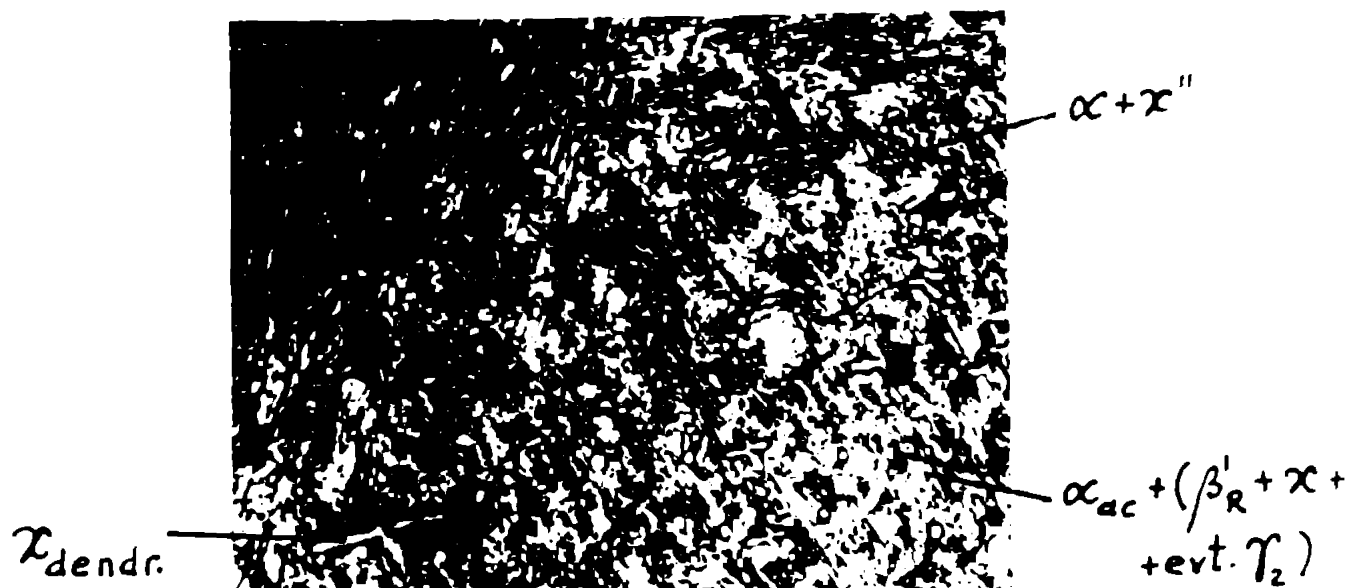


Fig.6.31. Furnat + $C_1700^\circ C + C_2650^\circ C + D 150^\circ C$. M. x1000
 $\alpha + \chi''$ $\alpha_{ac} + [\beta'_R + \chi (+ \gamma_2)]$

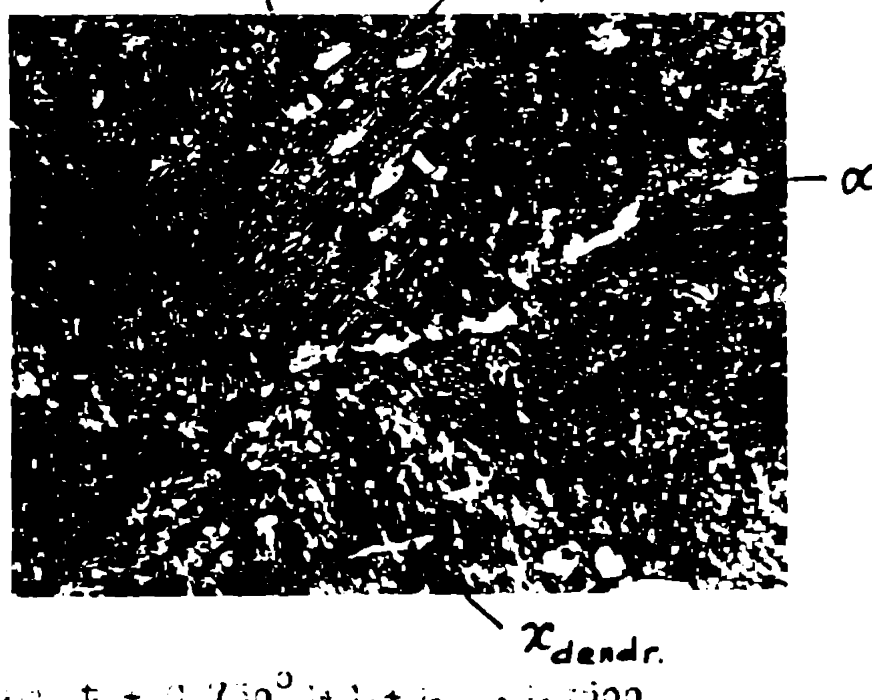


Fig.6.32. Furnat + $C_1700^\circ C + C_2650^\circ C + D 150^\circ C$. M. x1000

Varianta $C_1750^{\circ}C + C_2 + D$ conduce la o structură cu caracter acicular și mai pronunțat (figura 6.32.) structură care se similară cu cea a probei călițe dublu $C_1800^{\circ}C + C_2$ (figura 6.25.).

Se apreciază că revenirea joasă la $150^{\circ}C$ conduce la o separare cova mai pronunțată a soluției solide α din acele de β' , ceea ce permite o mai clară evidențiere a lor prin atac metalografic. Revenirea joasă contribuie și la creșterea precipitărilor, fie prin fenomene de coalescență, fie prin cristalizare eterogenă a fazei X'' separate din soluția solidă α .

Aceste fenomene se observă și la proba tratată termic după ciclul $C_1800^{\circ}C + C_2650^{\circ}C + D150^{\circ}C$ (figura 6.33.)

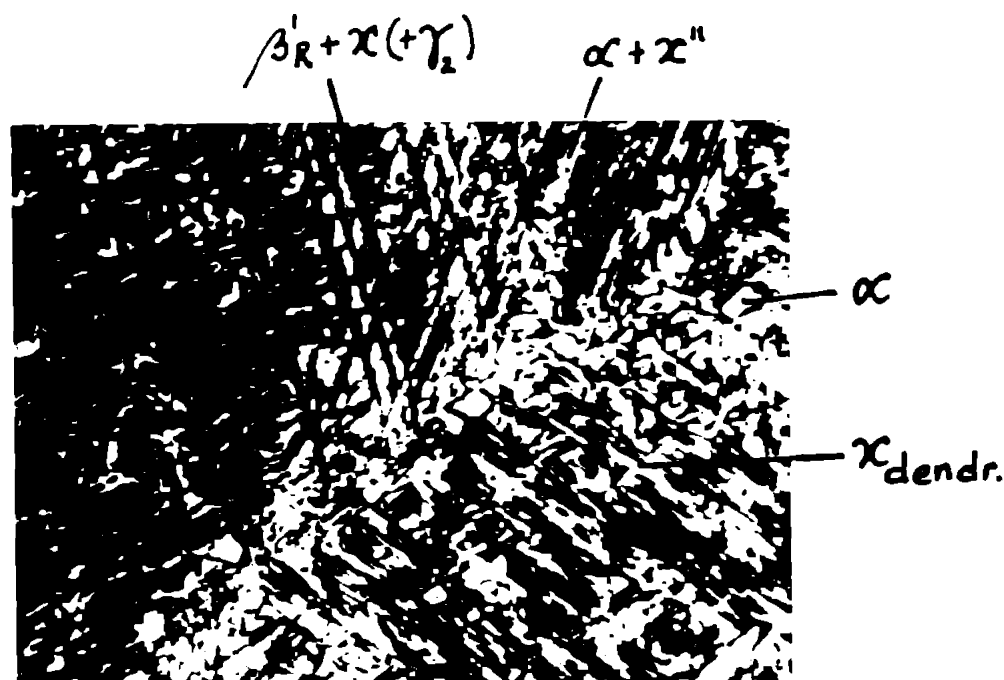


Fig.6.33. Furnat + $C_1800^{\circ}C + C_2 + D$. N.O.x500

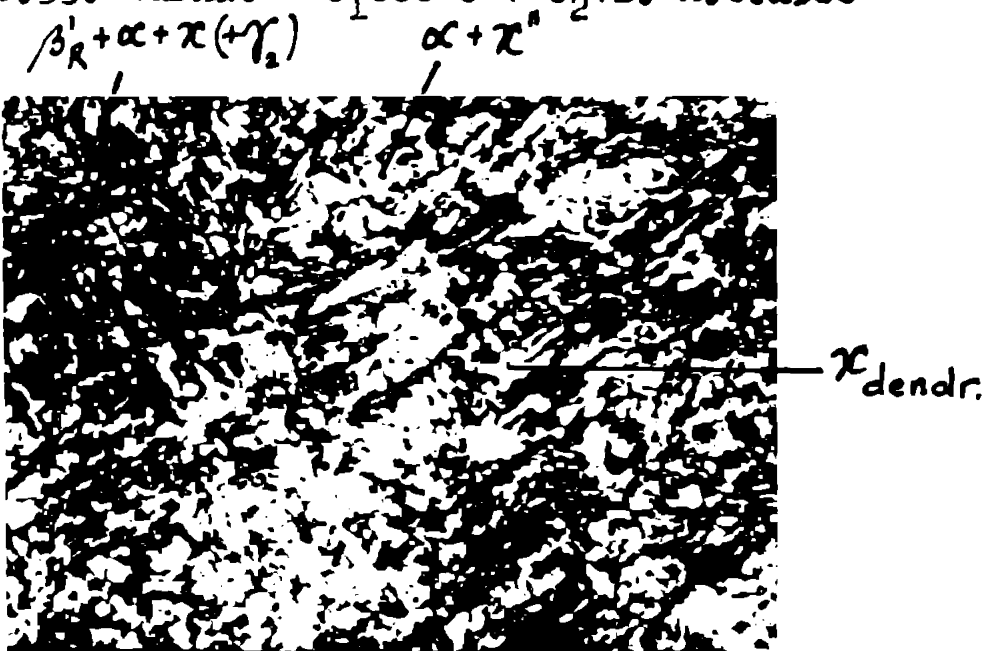


Fig.6.34. Furnat + $C_1850^{\circ}C + C_2 + D$. N.O.x500

Incepînd cu varianta $C_1 850^\circ C + C_2 + D$ se observă ujer înfluenta revenirii joase asupra structurii.

Dacă proba tratată termic $C_1 850^\circ C + C_2 + D$ (figura 6.34.) secompară cu proba tratată $C_1 850^\circ C + C_2$ (figura 6.26.) avind doar o cantitate mai mare de precipitații χ' , la probele tratate termic cu variantele $C_1 900^\circ C + C_2 + D$, $C_1 950^\circ C + C_2 + D$ și respectiv prin $C_1 1000^\circ C + C_2 + D$ (figurile 6.35., 6.36., 6.37., 6.38.,) se constată estomparea caracterului acicular în comparație cu probele tratate $C_1 900^\circ C + C_2$; $C_1 950^\circ C + C_2$ respectiv $C_1 1000^\circ C + C_2$ (figurile 6.27., 6.28. și 6.29.).

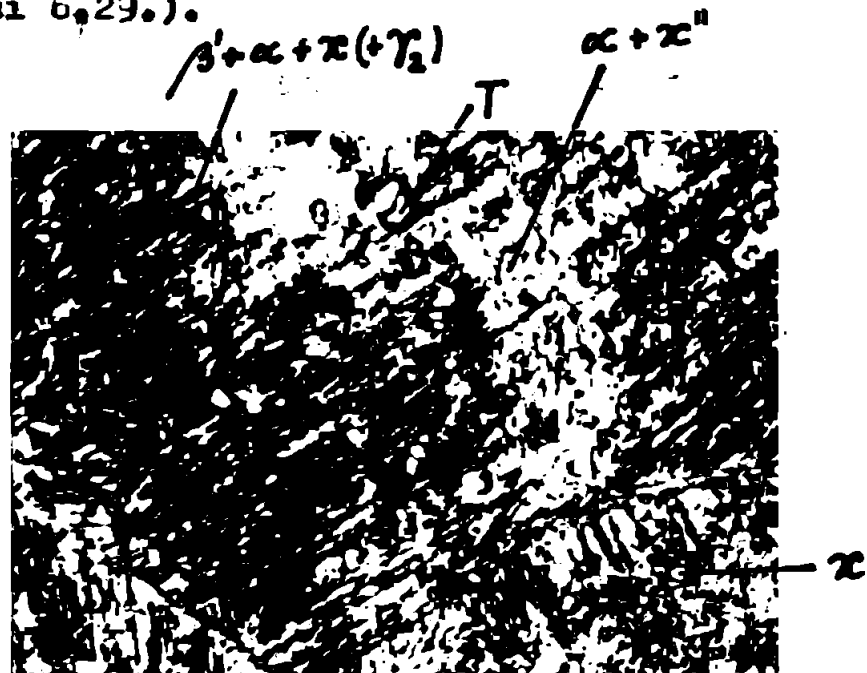


Fig.6.35. Furnat + $C_1 900^\circ C + C_2 + D$. $H_2O, \times 500$

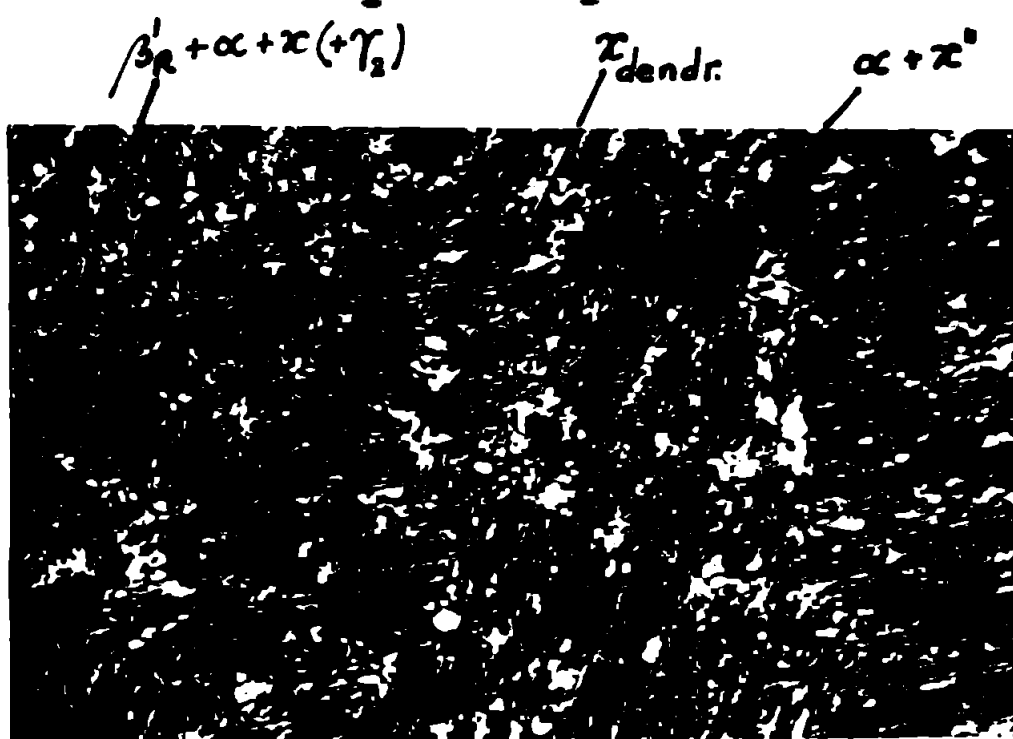


Fig.6.36. Furnat + $C_1 950^\circ C + C_2 + D$. $H_2O, \times 500$

Analizând figurile 6.35. ... 6.38 se constată creșterea lungimii formațiunilor aciculare, ceea ce se datorează creșterii granulației și dimensiunilor acelor de martensită β' adăugat cu creșterea temperaturii T_1 de cîlire. De asemenea se constată creșterea numărului și dimensiunilor precipitațiilor de fază χ , mai ales în variantele $C_1950^{\circ}C + C_2 + D$ și $C_11000^{\circ}C + C_2 + D$, deoarece în β_{T_1}

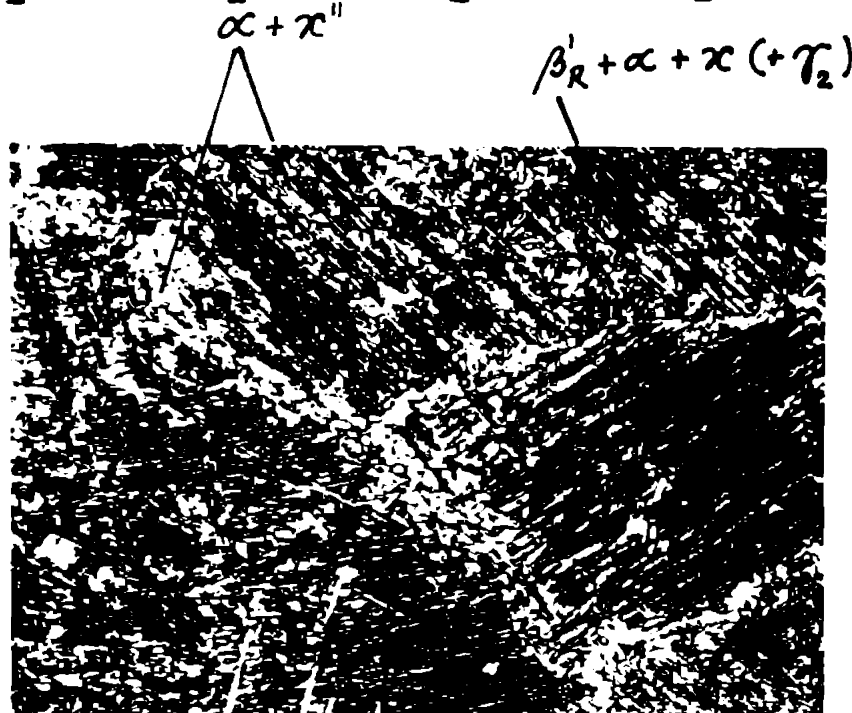


Fig.6.37. Turnat + $C_11000^{\circ}C + C_2 + D$. M.O.x500

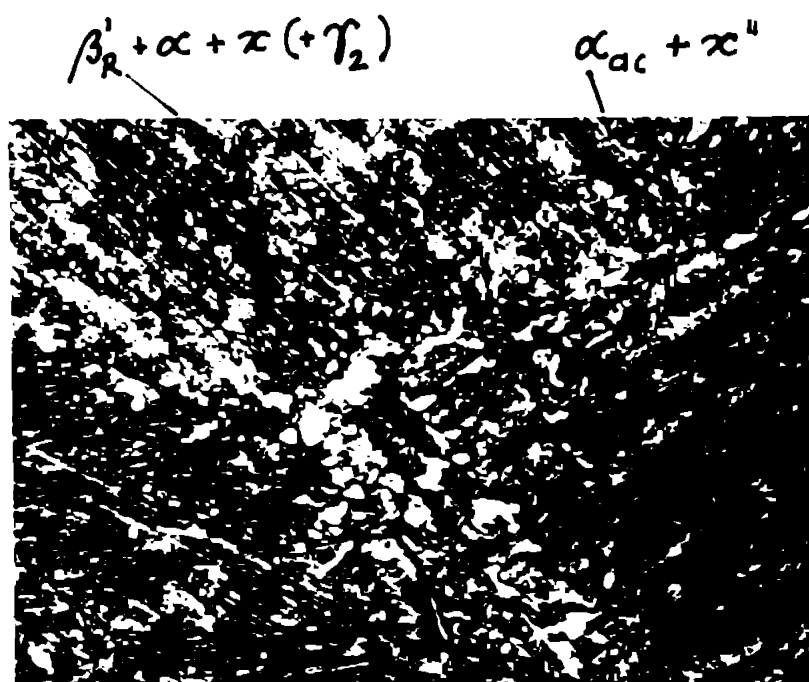


Fig.6.38. Turnat + $C_11000^{\circ}C + C_2 + D$. M.O.x1000

s-a dissolvat faza χ , și într-o măsură mai mare sau mai mică dendritele acestei faze. Este ceea ce caracterul acicular și intensificarea separărilor de fază χ pledează pentru o transformare $\beta'_{650^\circ\text{C}} \rightarrow \beta'_A + \alpha + \chi$. Desigur nu poate fi exclusă transformarea $\beta' \rightarrow \alpha + \gamma_2$, dar atât aspectul structurii (culoarea) cât și proprietățile mecanice obținute întăresc ipoteza că într-adevăr se stabilește separarea fazei χ și nu ale fazei γ_2 care este puternic fragilizantă. Acest mecanism este cel mai clar evidențiat în figura 6.3c., în care se observă apariția unei结构uri fine $\alpha + \chi$ (+ γ_2) între ace.

Se poate conchide că revenirea joasă accentuează transformările induse prin călărea a două C_2 prin avansarea separărilor de α și χ .

6.7. Studiul variantei $C_1950^\circ\text{C} + C_2 + D$. Termocicloare

Proprietățile mecanice bune, obținute prin varianta $C_1950^\circ\text{C} + C_2 + D$ au condus la studiul mai amănuntit al acesteia prin analiza efectului creșterii duratălor de menținere respectiv a repetării acestui ciclu conform variantelor prezentate în figurile 3.9., 3.10 și 3.11.

In figura 6.39. se prezintă microstructura bronzului studiat tratat termic în varianta $C_1950^\circ\text{C}/60\text{min}/\text{H}_2\text{O} + 10\% \text{NaCl} + C_2650^\circ\text{C}/60\text{ min}/\text{H}_2\text{O} + 10\% \text{NaCl} + D 150^\circ\text{C}/90\text{ min}/\text{aer}$, similară celei din figura 6.36., dar la o mărire mai mare.

Cicul $C_1C_2D(4)$, conform figurii 3.9. se caracterizează prin aceleasi temperaturi $T_1 = 950^\circ\text{C}$; $T_2 = 650^\circ\text{C}$; $TD = 150^\circ$ dar prin durată de menținere de 4 ore. Se constată că varianta $C_1C_2D(4)$ conduce la o structură cu caracter acicular, mai grosolan și chiar decât structura obținută prin varianta $C_11000^\circ\text{C} + C_2 + D$ (figura 6.38.). Spre deosebire de variante $C_11000^\circ\text{C} + C_2 + D$ structura probi tratate în varianta $C_1C_2D(4)$ este practic lipsită de fază χ dendritică, ca toate că pentru figura 6.40. s-a ales o zonă care demonstrează că nici după 4 ore de menținere nu se dizolvă complet dendritele de dimensiuni mari ale acestei faze. De asemenea se constată că precipitațiile de fază χ sunt de dimensiuni mai mari și cu o formă globulară. Totodată în soluție solidă α se dezvoltă mai puține precipitații, dar de dimensiuni mai mari, ceea ce indică fenomene de coalescență mai intense și o descompunere a coacăzului β' , care capătă aspectul unei martensite de revenire din oțeluri.

Durata de menținere de 8 ore, efectuate în varianta $C_1C_2D(3)$ conform figurii 3.9., conduce la dizolvarea completă a fazei χ dendritice (figura 6.41.) dar în consecință apar precipitări în cantitate mare ale acestei faze în soluția solidă α care capătă aspect de amestec mecanic. Se observază trecerea parțială a formațiunilor aciculare, formate din ace subțiri de β' înconjurate de ace de soluție solidă α mai lâte, spre un amestec $\alpha + \chi (+ \gamma_2')$ în care se sesizează creșterea și globulizarea fazei χ .

Varianta $C_1C_2D(4)$ totalizează încăși durată totală de menținere ca și varianta $C_1C_2D(3)$, dar repetarea ciclurilor conduce la o structură în care transformările structurale se observă în special la nivelul acelor β' care se descompun în amestec mecanic și aspectul lor devine tip "troostită" (figura 6.42.).

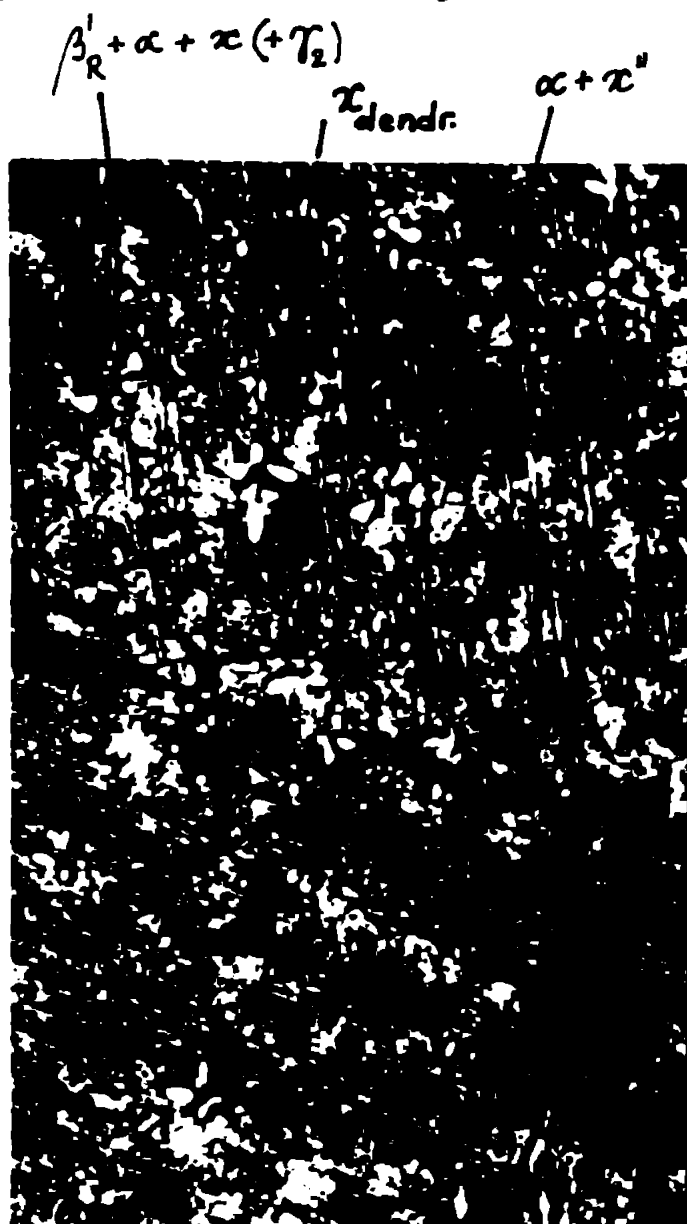


Fig.6.39. Turnat+C₁950°C/60min+C₂650°C/60min+D 150°/30 min
M.O. x 1000



Fig.6.40. Turnat+C₁C₂D(4).
M.O. x 500



Fig.6.41. Furnat+C₁C₂D(5).
4.0. x500

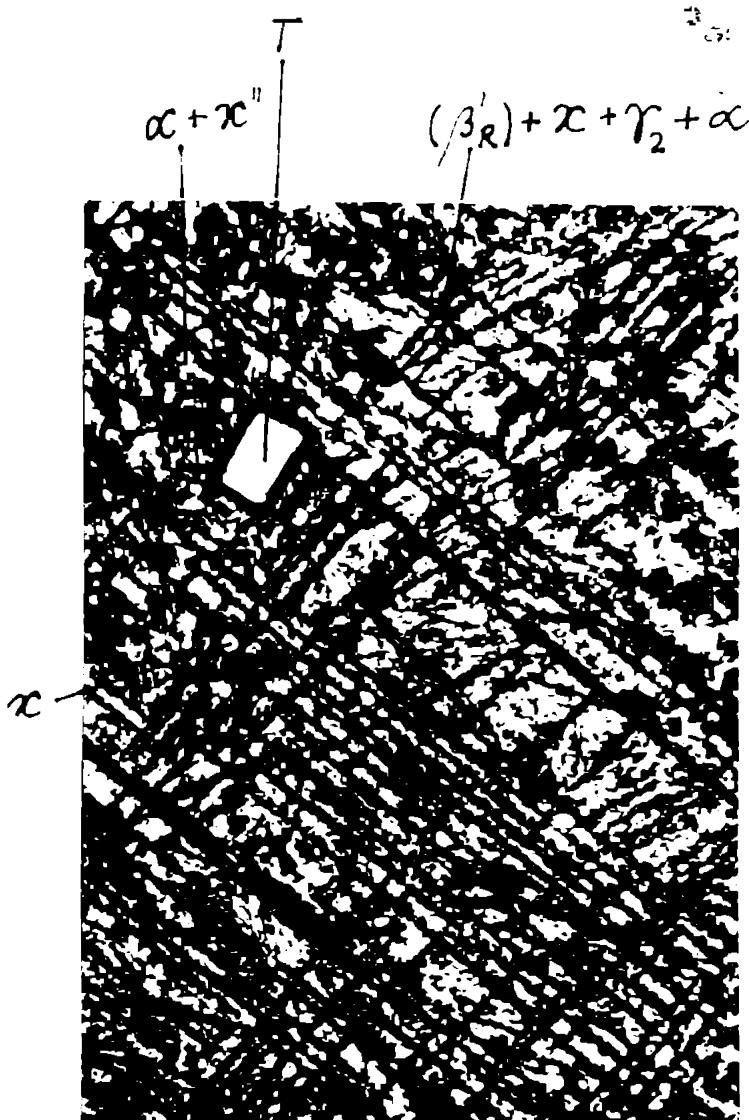


Fig.6.42. Furnat+2C₁C₂D(4).
4.0. x500

Intre aceste structuri este formată din soluția solidă α cu precipitări de fază χ . Dendritele fazei χ nu mai apar decât izolat.

• structuri interesante oferă varianta 2C₁C₂D(8) efectuată conform ciclogramei din figura 3.9., prin faptul că soluția solidă α separată din acele de β' și păstrează caracterul acicular poind acele de martensită se descompun într-un amestec mecanic cu faze globulare, (figura 6.43.). Aceste transformări sunt vizibile în special în acele de dimensiuni mari. Se remintește ipoteza că la varianta de tratament termic C₁C₂D cu temperaturi T_1 ridicate, se stimulează separările de fază χ , mai puțin transformarea cu octoidă $\beta \rightarrow \alpha + \gamma_2$. Caracteristicile mecanice bune obținute în aceste stări pledează pentru o cantitate mică a constituantului γ_2 care este puternic fragilisant. Se observă că precipitările din soluția solidă α dar și din aceea cu o tendință sărită de coalescență. Dimensiunea mare a acelor se explică prin durata mare de menținere (3-5 ore) la

950°C . Se precizează că odată cu creșterea duratălor de menținere se dizolvă tot mai mult dendritele de fază χ . Urmele nedisolvate ale dendritelor grosolană pot fi întâlnite chiar și la varianta $2\text{C}_1\text{C}_2\text{D}(3)$.



Fig. 6.43. Turnat+ $2\text{C}_1\text{C}_2\text{D}(3)$.
M.O. x 500



Fig. 6.44. Turnat+ $\text{DC}_2\text{C}_1\text{C}_2\text{D}(4)$.
M.O. x 500

Varianta $\text{DC}_2\text{C}_1\text{C}_2\text{D}(4)$, efectuată conform ciclogramei din figura 3.10., conduce la o structură ceeașnătoare cu cele presentate mai sus, dar cu caracterul aciular estompă și zone cu aspect de amestec mecanic (ceașnătoare cu "eutectoidul nou" obținut la recocere pendulară alpV). Ea este prezentată în figura 6.44.

Varianta $\text{C}_1\text{C}_2\text{DC}_2\text{D}(4)$, efectuată conform ciclogramei din figura 3.11., conduce la o structură similară celei obținute prin varianta $\text{J}_1\text{J}_2\text{D}(4)$ (figura 6.40.) și este prezentată în figura 6.45. Împre deosebire de figura 6.40., se constată mai multe precipitații de fază χ în soluția solidă α , ca efect al repetării ciclului C_2+D .

Se poate conchide că durările mari de menținere la $T_1=950^{\circ}\text{C}$

conduc,

în dizolvarea practic completă a dendritelor de fază χ , iar duretele mari de menținere la celelalte nivele ($T_2; D$) conduce la coalescența precipitărilor de fază χ . Repetarea ciclurilor de tratament termic conduce la accentuarea acestor transformări.

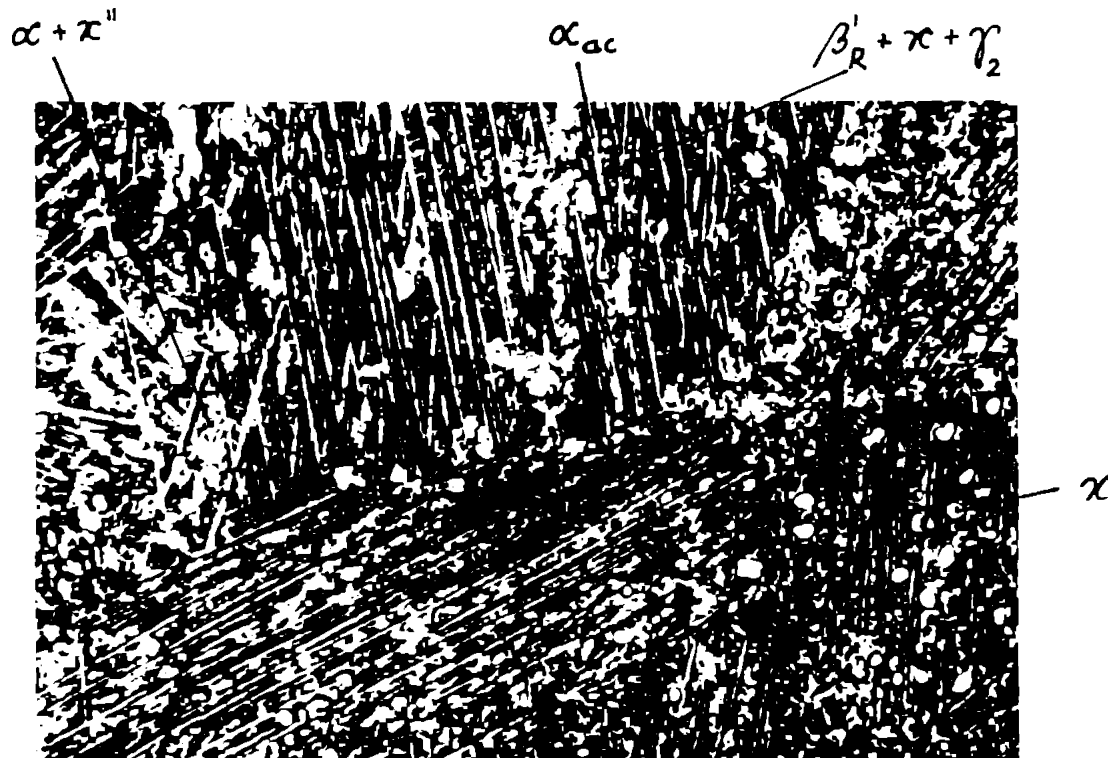


Fig.6.45. Turnat+ $C_1C_2DC_2D(4)$. H.O.x500

Se conchide că variantele de termociclare conduce la separări de soluție solidă χ la limita acelor de martencită, la stimularea separărilor fazei χ , la frinarea apariției fazei γ_2 și la tendințe de descompunere a martensitei β' în $\alpha + \chi$.

6.6. Metoda călirilor succesiive aplicată probelor călite și revenite la $400^{\circ}C$

Pentru a rotunji imaginea formată despre transformările structurale care au loc la călirea simplă urmată de revenirea bronsurilor de aluminiu, mai ales în privința posibilității de dispariție a fragilității mari asociată intr-o ocazională etare s-a aplicat metoda călirilor succesiive. Parametrul experimentului a fost temperatură T_1 de călire ($700, 750, 800, 850, 900, 950^{\circ}C$) la o durată de menținere de 60 de minute, mediu de călire $H_2O + 10\% NaCl$. Reveniriile au fost efectuate la $400^{\circ}C/4$ ore / aer. O parte din probele de reziliență au fost expuse și investigațiilor metalografice. Astfel, s-a aplicat probe călite de la $700, 750$ și $950^{\circ}C$ și revenite. Micro-

structurile adeoptor probe sunt redate in figurile 6.46...,6.48.



Fig.6.46. Furnat + 0700°C/60min/
H₂O+10%NaCl+revenire 400°C/
4 ore/aer. M.O.x500



Fig.6.47. Furnat + 0750°C +
revenire 400°C. M.O.x500

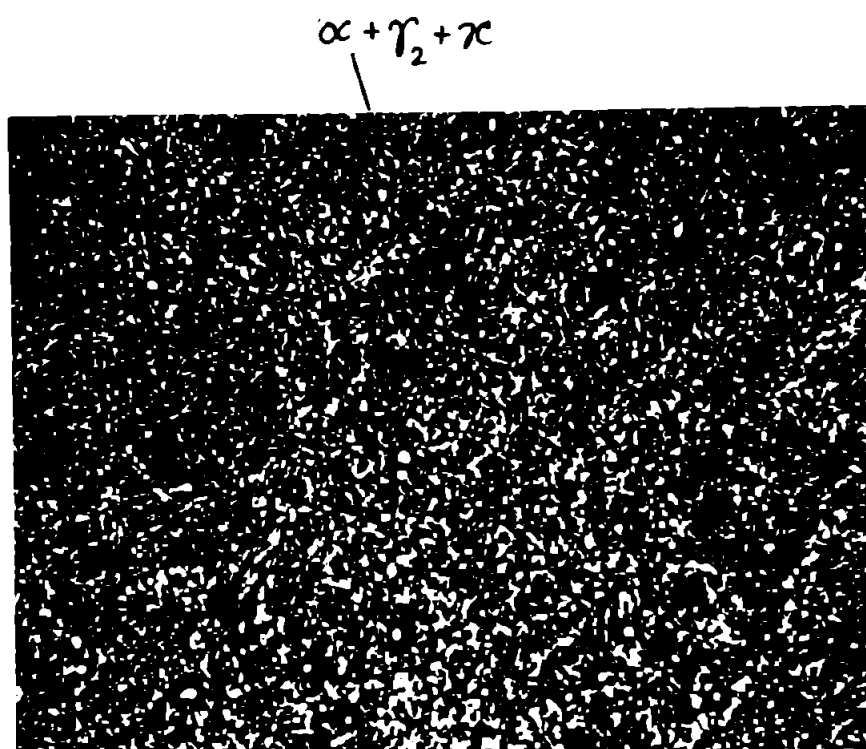


Fig.6.48. Furnat + 0950°C + revenire 400°C/
4 ore. M.O.x1000

Analizând microstructurile prezентate se constată existența unei abundențe de precipitări foarte fine $\alpha + \gamma_2 + \chi$ mai închise la culoare și zone de soluție solidă α cu fine precipitări de χ'' (figurile 6.46. și 6.47.). Microstructura probei călitate de la 350°C nu mai prezintă zone de soluție solidă α proeutectoidă ci o structură cu fazele χ și γ_2 uniform distribuită în soluția solidă α . După cum era de așteptat cu creșterea temperaturii de călire se înregistrează micșorarea pînă la dispariție a soluției solide α proeutectoide. Fragilitatea mare a materialului în această stare este pusă pe seamă precipitărilor fine ale fazei χ , dar mai ales pe seamă prezenței fazei γ_2 .

6.9. Concluzii

Se consideră că analiza metalografică efectuată a condus la precizarea transformărilor structurale care apar în timpul tratamentelor termice aplicate bronsului CuAlloFe4Ni4MnTi.

In parte, rezultatele confirmă sumarile date bibliografice, iar mecanismele transformărilor structurale evidențiate la revenirea bronsurilor călitate sunt mult mai complexe decît cele prezентate în literatura de specialitate. Totodată, transformările la călire și "revenirea" la 650°C sunt privite dintr-un punct de vedere original.

Transformările structurale observate în timpul tratamentelor de termociclare sunt contribuții originale.

Astfel, s-a demonstrat obținerea unei structuri martensitice prin călire, prin microscopie electronică au fost confirmate datele bibliografice privind separarea fazei χ în interiorul acelor martensitei β' în timpul călirii. Prin metoda călirilor succeseive s-a evidențiat mecanismul transformării la călire, natura și cantitatea constituenților strucurali fiind în dependență de nivelul temperaturii de încălzire. Reacțiile de transformare induse prin călire sunt prezентate în figura 6.49. Se precizează că investigațiile cu microscopul electronic au arătat existența fazei β_1 cu rol de "austenită residuală" între acele de β' . Prezența ei se va subînțelege în reacțiile prezентate în figura 6.49.

Cu creșterea temperaturii de încălzire s-a constatat:

- dispariția amestecului mecanic eutectoid, la 750°C ;
- reducerea soluției solide α proeutectoide pînă la 850°C ;
- disolvarea fazei χ și drept consecință creșterea cantității și dimensiunilor precipitărilor acestei faze în acele martensitei β' , de la temperaturi de 900°C .

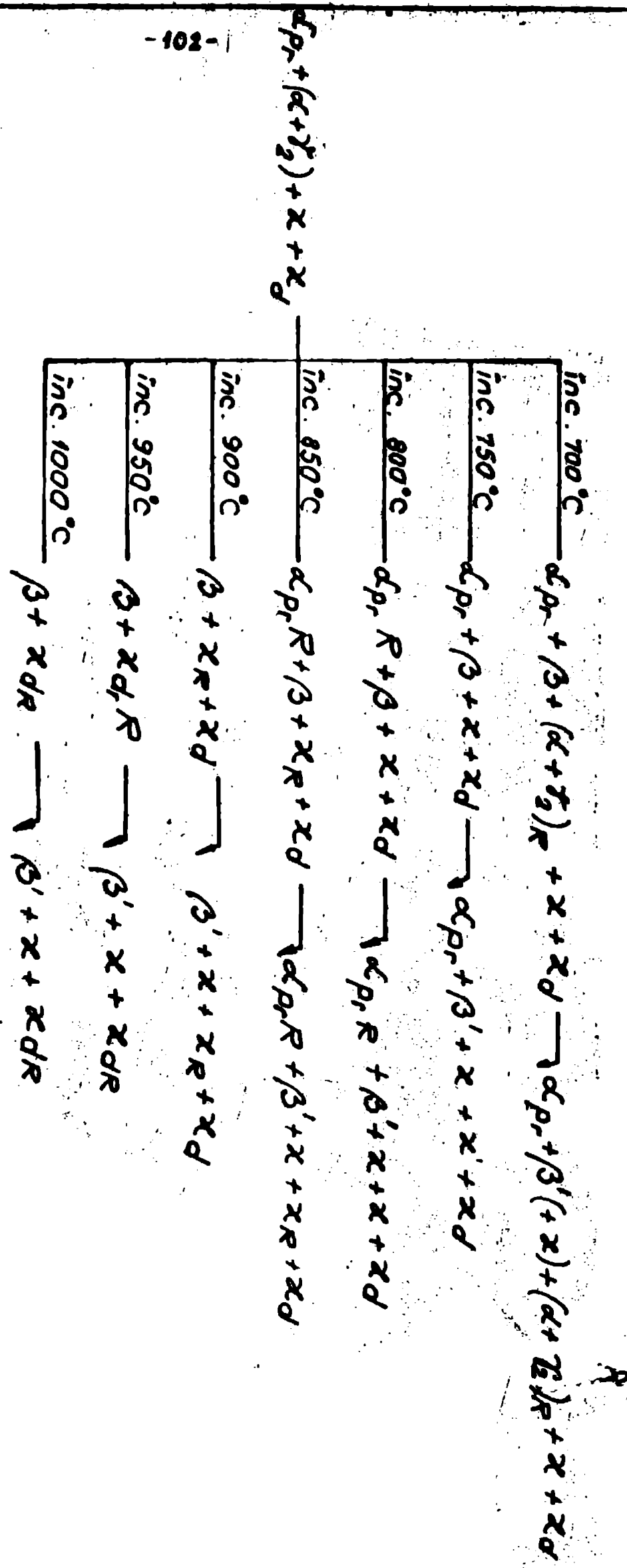


Figura 6.49 Schema transformărilor structurale la cîmpuri bronzante CuAl10Fe4Ni4Mn1Ti

$\alpha_{Pr} = \alpha$ proeutectoid , $\chi_d = \chi$ dendritic ; indicele R — rîmăs netransformat)

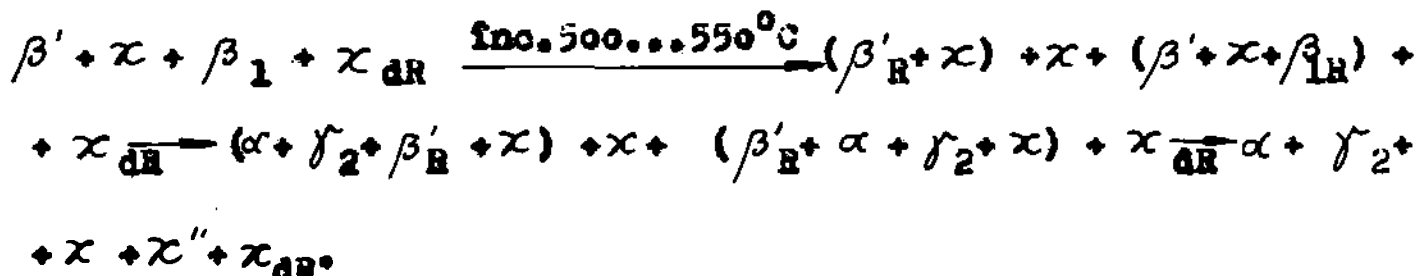
- creșterea granulației la temperaturi mai mari decât 900°C . Revenirea probelor turnate, călăute de la 950°C provoacă transformări structurale care conduc la structuri de tip "troostitic" și "sorbitic" respectivu-se următorul mecanism:

- separări de fază χ în interiorul faserelor β' și β_1 la 350°C și păstrarea aspectului martenitic.

- transformări $\beta' + \chi \rightarrow \beta'_R + (\alpha + \gamma_2) + \chi$ și $\beta_1 \rightarrow \beta_{1R} + \chi + \beta'$, la 500°C ;

- transformări $\beta' + (\alpha + \gamma_2) + \chi \rightarrow (\alpha + \gamma_2) + \chi'' + \chi$, la 550°C .

Sintetic, întregul proces poate fi scris în felul următor:



Călărea de la 1000°C după o menținere de 120 de minute conduce la creșterea granulației și disolvarea mai completă a dendritelor fazei χ . Acele de martenită conțin și în acest caz precipitațiile de fază χ . Structura este martenitică.

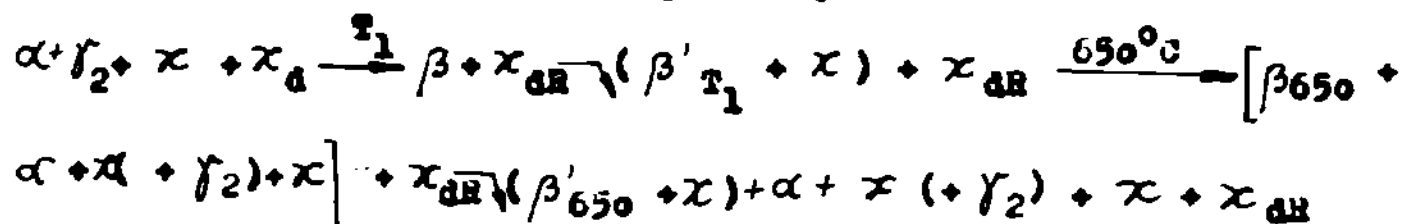
Revenirea probelor călăute de la 1000°C provoacă transformări structurale după un alt mecanism:

- $\beta' \rightarrow \alpha_{ac} + \beta'_R$; $\beta_1 \rightarrow (\beta_1 + \beta')_R + \chi + \gamma_2$, la 450°C în care α_{ac} este α acicular. În aceste relații am fost neglijate precipitațiile fazei χ și χ_{dR} care nu suferă modificări.

- $(\beta_1 + \beta')_R \rightarrow \alpha_{lg} + \alpha_{ac} + (\alpha + \gamma_2 + \chi)$, la 550°C unde α_{lg} este separat la limita de graniță.

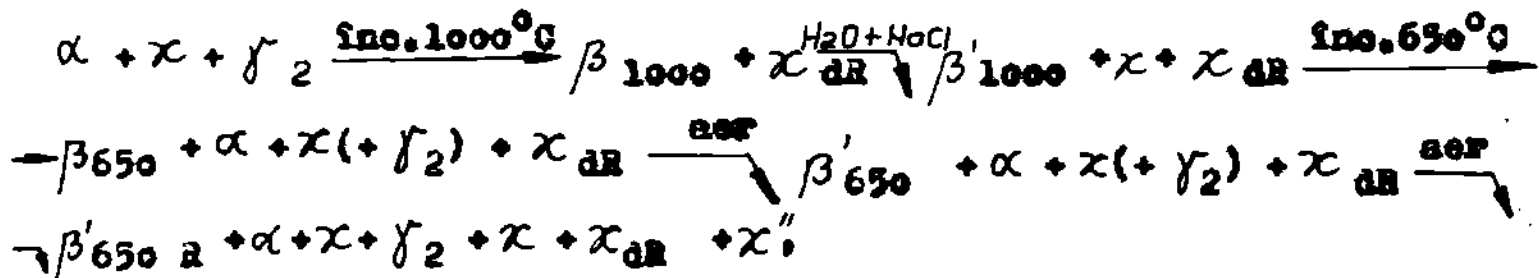
Se precizează că starea forjată + RpV4 având o structură mai apropiată de echilibru suferă mai intens transformările descrise, mai ales separările α_{lg} .

"Revenirea" la 650°C sau mai exact călărea dublă a bronsului studiat provoacă reapariția unei structuri cu caracter acicular, cu multe precipitații de soluție solidă α și separări de fază χ . Mecanismul transformării este exprimat prin formula:



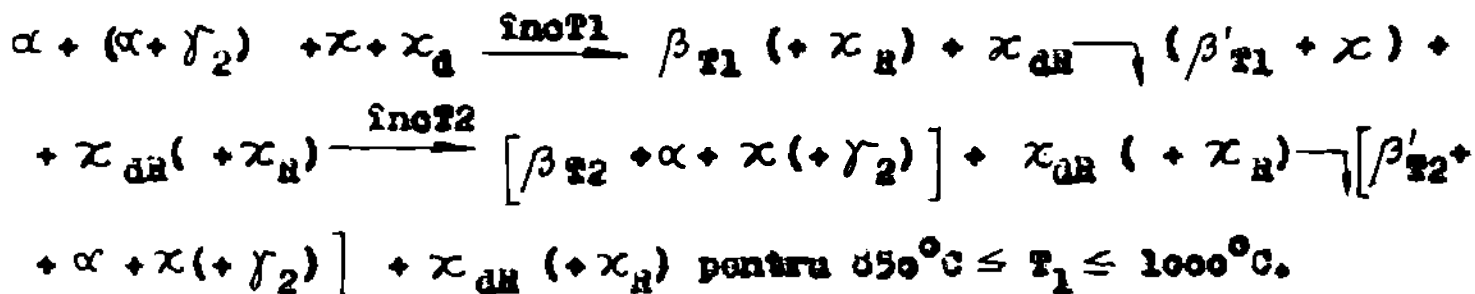
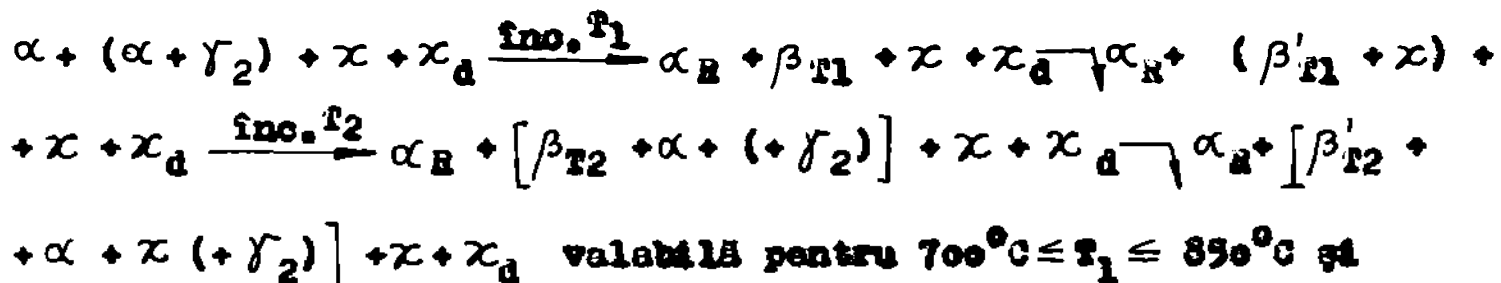
Resultatele experimentale demonstrează că tratamentul de călire dublă stimulează separările de fază χ și frinsează apariția fazei γ_2 fragilisante.

Răcirea în aer de la 650°C provoacă transformarea:



adică răcirea în aer conduce la apariția fazei γ_2 în structură dar nu prin transformare eutectoidă ci în urma decompunerii martensitei β' . Reapariția fazei γ_2 va avea un efect puternic fragilisant.

Metoda călirilor succesive aplicată probelor călitate duble a permis elaborarea relațiilor generale de transformare, care descriu transformările:



Sevenirea joasă la 150°C aplicată probelor călitate duble conduce la intensificarea separărilor de soluție solidă α la limita acelor martensitei β' , la avansarea decompunerii ei în $\alpha + \chi (+ \gamma_2)$ și la separări de χ'' în α . Analiza metalografică evidențiază și acum tendințe de stimulare a separărilor fazei χ și a frinșării apariției fazei γ_2 .

Variantele de termociclare provoacă apariția unei structuri cu martensită β' în diverse stadii de decompunere, cu precipitări de fază χ de formă globulară în soluție solidă α cu tendință săporită de a crește prin coalescență și cu separări de soluție solidă α în jurul martensitei β' . Se precizează că varianțele de termociclare stimulează separările de fază χ și frinsează apariția fazei γ_2 , fapt

evidențiat și prin analiză cu raze X (anexă figurile 5.17...5.19.).

Pentru uzul practic se recomandă structurile în care faza γ_2 este în cantitate redusă și dendritele fazei χ dizolvate, deci cele obținute prin variante C_1C_2D și termociclare. Termociclarea $2C_1C_2D(\delta)$ conduce la cea mai avantajoasă structură, cu separări maxime de χ , cu dendritele fazei χ numai sub formă de urme și precipitări globulare de fază χ .

CAPITOLUL 7

PROPRIETATI MECANICE ALOR BRONZULUI CuAl₁₀Fe₄Ni₁₄Mn₁T₁

Proprietățile mecanice ale probelor turnate au fost modeste (tabelul 4.4.) în comparație cu datele bibliografice (tabelul 1.1.) consultate. În urma experiențelor efectuate, care au reliefat o strânsă corelație între microstructura și proprietățile mecanice ale bronzului studiat, s-a pus sub semnul întrebării datele publicate despre bronzurile de aluminiu complex aliate cu 4%Fe și 4%Ni. Bunele proprietăți mecanice menționate /59/ nu sunt în corelație cu structura formată din α + χ + γ_2 .

Oricum, cercetările au fost îndreptate spre a găsi variante de tratament termic care să micșoreze fragilitatea bronzului studiat și în consecință să amelioreze proprietățile plastice, tenacitatea și să conducă la caracteristici de rezistență comparabile cu cele prezентate în literatura de specialitate. Variantele de tratament termic experimentate au fost prezентate în capitolele 3.2.2. și 3.2.3. Se precizează însă, că în centrul atenției au stat probele turnate, deoarece asupra acestora recocacerile pendulare au fost ineficiente (capitolul 4).

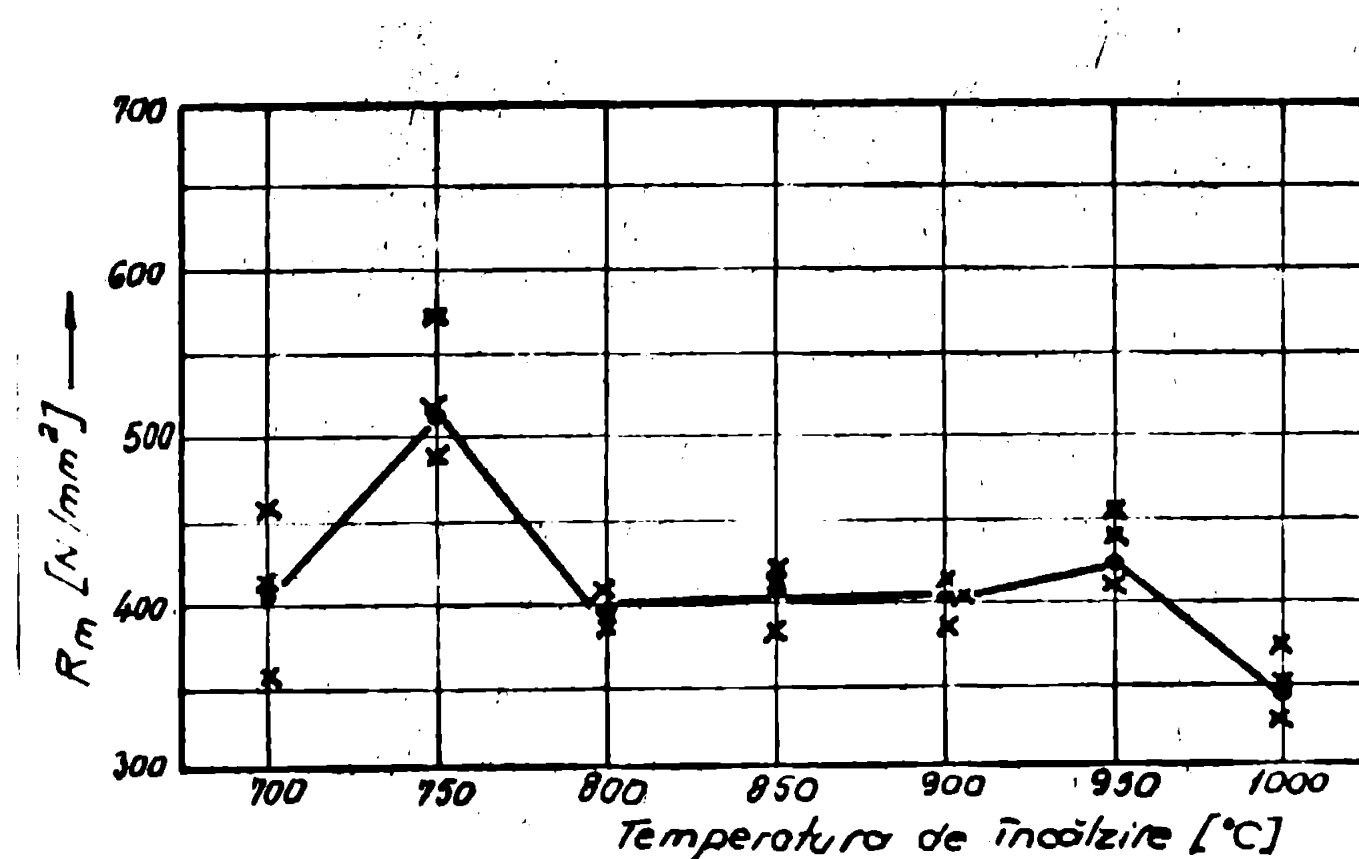
În investigațiile efectuate s-a pornit sistematic folosind metoda călărilor succesive la călire simplă, apoi la cea dublă, la variante C₁C₂D și la variantele de termociclare și complexe.

Se precizează că rezultatele experimentale au fost interpretate statistic iar valorile extreme au fost supuse testului Grubbs.

7.1. Metoda călărilor succesive aplicată probelor călărite simplu în intervalul 700...1000°C

Rezultatele încercărilor la tracțiune, încercărilor de incoaciere prin soc și încercărilor sclerometrice efectuate pe probe călărite sunt prezентate în tabelele 7.1. ... 7.4. și reprezentate în figurele 7.1. ... 7.4.

Analiza figurilor 7.1...7.4. evidențiază faptul că rezistența la rupere (fig.7.1.) proprietățile de plasticitate A5 și Z (figura 7.2.) și proprietățile de tenacitate (figura 7.3.) variază similar funcție de temperatură de călire pe cind duritatea se modifică invers proporțional (figura 7.4.), corelație ce indică un material fragil, cu tendință de a evolua spre ductil.



NOTĂ: $x \rightarrow$ valori experimentale
 \rightarrow media, respectiv media corectată

Fig.7.1. Resistența la rupere a bronzului CuAlloFe4Ni4
în funcție de temperatură de călărit

Resistența la rupere, caracteristicile de plasticitate și caracteristicile de tenacitate înregistrează un maxim pentru temperatură de călărit de 750°C asociat cu un minim al durității. Acest maxim se explică prin cantitatea mare de soluție solidă αC prezentă și disparația fazei γ_2 (presentă în structura probelor călită de la 700°C). În intervalul $800\text{--}900^{\circ}\text{C}$ proprietățile mecanice sunt cobește, valoare practic invariante cu excepția durității care este ridicată. Această constanță a valorilor este rezultatul unei interdependențe complexe între natura, cantitatea și forma constituenților strucțurali în acest interval de temperatură: cantitatea fazei αC scade cu creșterea temperaturii de călărit. Această fapt este compenșat de disoluarea treptată a precipitațiilor fazei γC , apoi a dendritelor de fază γC .

Tabelul 7.1. Caracteristicile de tractiune ale bron-
sului CuAl₁₀Fe₄Ni₄Mn₁Ti călit

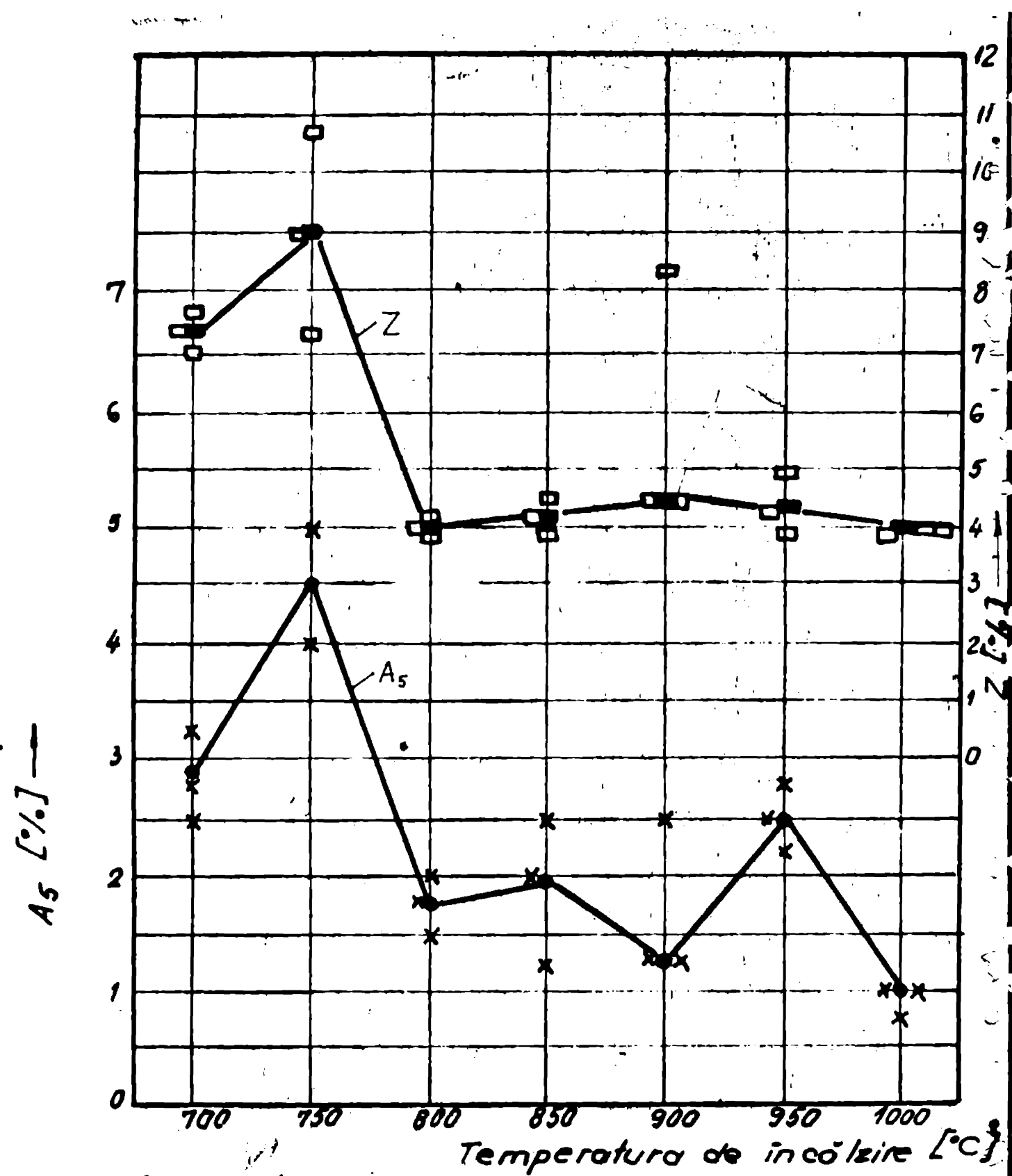
Stare (Simbol)	Nr. probă	R _m [N/mm ²]	A ₅ [%]	Z [%]	Observații
Turnat + călire 700 °C /1h/ H ₂ O + 10% NaCl	1	<u>365</u>	2,5	<u>7,01</u>	inclusuni
	2	464	<u>3,25</u>	7,67	
	3	410	2,75	7,34	
Turnat + călire 750°C /1h/H ₂ O + + 10% NaCl	1	<u>489</u> (1)	—	<u>10,75</u>	Rupt în afara șperetei
	2	<u>571</u> (2)	5	7,34	
	3	536	4	8,97	
Turnat + călire 800 °C /1h/H ₂ O + + 10% NaCl	1	393	1,5	3,88	
	2	389	2	<u>4,22</u>	
	3	<u>414</u>	1,75	4	
Turnat + călire 850 °C /1h/H ₂ O + + 10% NaCl	1	<u>380</u>	<u>1,25</u>	<u>3,88</u>	
	2	435	2,5	4,22	
	3	417	2,0	4,56	
Turnat + călire 900 °C /1h/H ₂ O + + 10% NaCl	1	<u>382</u>	1,25	4,56	
	2	417	<u>2,5</u>	<u>8,33</u>	
	3	410	1,25	4,56	
Turnat + călire 950 °C /1h/H ₂ O + + 10% NaCl	1	458	2,7	3,88	
	2	<u>415</u>	2,5	4,22	
	3	448	2,25	4,9	
Turnat + călire 1000 °C /1h/H ₂ O + + 10% NaCl	1	<u>374</u>	1	<u>3,88</u>	inclusuni
	2	322	<u>0,75</u>	4	
	3	349	1	4	

Tabelul 7.2. Interpretarea statistică rezultată din cinci rezultate obținute ale probelor cõlîte

Stare	\bar{R}_m [N/mm ²]	s	$v = \frac{x_i - \bar{x}}{\delta}$	$\sum_{j=1}^5 s_j$	\bar{s}_s [s]	A_s	v	$\sum_{j=1}^5 A_s$	\bar{A}_s	$\sum_{j=1}^5 A_s$	v	$\sum_{j=1}^5 v$	\bar{v}	Deciz.	Observație
$T + C\ 700^\circ C$	413	49,56	-0,968	1,15	P	2,83	0,38	1,09	P	7,34	0,33	-1	P		
$T + C\ 750^\circ C$	532	41,44	-1,045	1,15	P	4,5	-	-	-	9,02	1,7	1,01	D		
$T + C\ 800^\circ C$	398,3	43,79	1,135	1,15	P	1,75	-	-	-	4,03	0,172	1,08	P		
$T + C\ 850^\circ C$	410,6	28,04	-1,09	1,15	P	1,91	0,62	-1,059	P	4,22	0,34	-1	P		
$T + C\ 900^\circ C$	403	18,52	-1,133	1,15	P	1,66	0,72	1,154	E	5,81	2,17	1,154	E	$\bar{A}_{5\ car} = 1,25$	$\bar{Z}_{car} = 4,56$
$T + C\ 950^\circ C$	440,3	22,5	-1,125	1,15	P	2,48	0,225	-1,03	P	4,33	0,319	1,09	P		
$T + C\ 1000^\circ C$	348,3	26	0,986	1,15	P	0,91	0,144	-1,154	E	3,96	0,069	-1,154	E	$\bar{A}_{5\ car} = 1$	$\bar{Z}_{car} = 4$

P - se menține valoarea ca fiind semnificativă

E - se elimină valoarea considerată ca eroare abenanta.



NOTĂ: x - A_5 valori experimentale

• - \bar{A}_5 respectiv \bar{A}_5 cor.

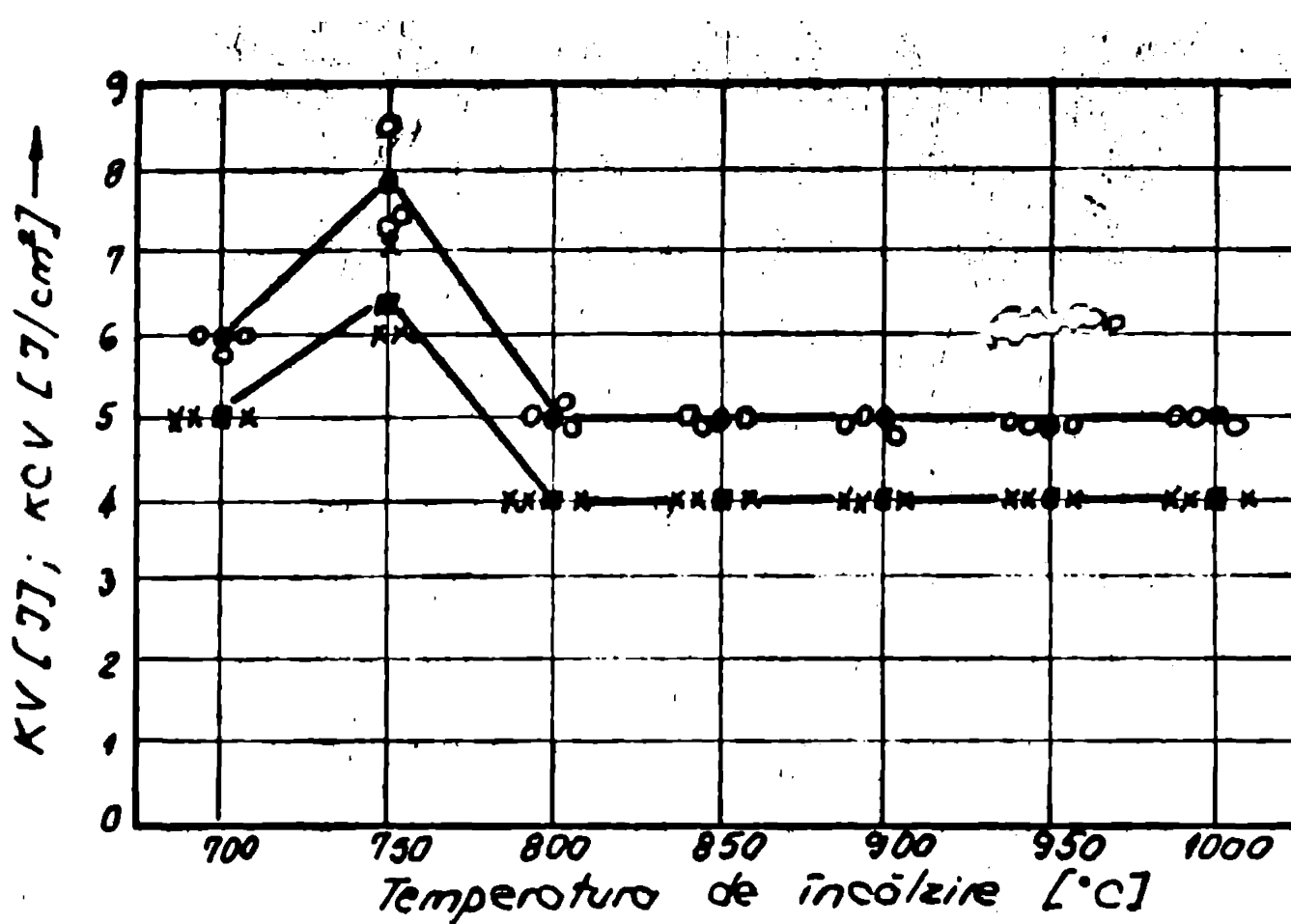
□ - Z valori experimentale

■ - \bar{Z} respectiv \bar{Z} cor.

Fig. 7.2. Caracteristicile de plasticitate ale bronzului CuAl₁₀Fe₄Ni₄Mn₁Ti, calit, functie de temperatura de caldare

**Tabelul 7.3. Reziliență respectiv energia de rupere
a bronsului CuAl₁₀Fe4Ni4Mn1Ti cîrlit**

Stare (Simbol)	Nr. probă	KV [J]	KV̄	KCV [J/cm ²]	KCV̄
Turnot C 700°C	12	5	5	6	5,93
	28	5		6	
	41	5		5,81	
T+C 750°C	6	7	6,33	8,51	7,79
	8	6		7,38	
	44	6		7,48	
T+C 800°C	18	4	4	5	4,98
	32	4		4,84	
	43	4		5,11	
T+C 850°C	2	4	4	4,93	4,97
	11	4		5	
	31	4		5	
T+C 900°C	1	4	4	5	4,92
	19	4		4,88	
	23	4		4,9	
T+C 950°C	38	4	4	4,8	4,8
	39	4		4,8	
	42	4		4,8	
T+C 1000°C	24	4	4	5	4,91
	40	4		4,81	
	45	4		4,93	



NOTĂ:
 x → KV Valori experimentale
 ● → KV medie
 ○ → KCV Valori experimentale
 ● → KCV medie

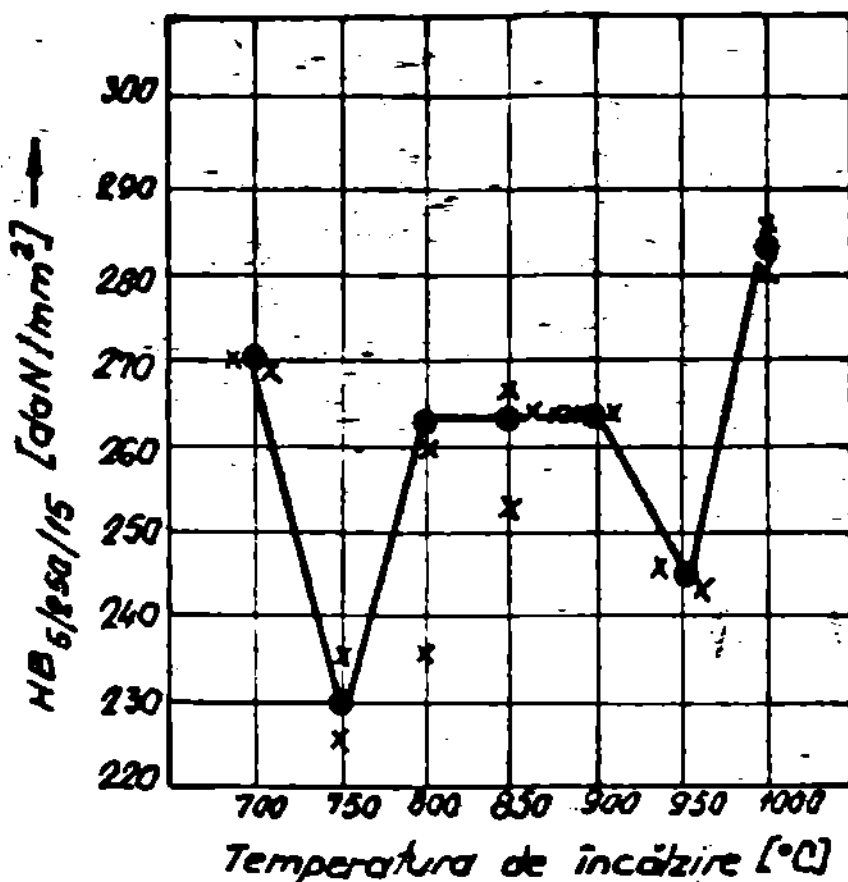
Fig.7.3. Variatia energiei de rupere si a rezilientei KCV a bronzului CuAlloFe4Ni4MnTi calit de la diferite temperaturi de caldura

Din nou, se poate observa, din curbele de variație ale proprietăților mecanice, că pierderea fragilității, respectiv creșterea caracteristicilor de plasticitate și de tenacitate este strâns corelată cu creșterea rezistenței la rupere.

Curba de variație a rezistenței la rupere și a lungirii la rupere mai prezintă un virf pentru temperatura de 950°C , asociat cu un nou minim de duritate. Această comportare se explică prin disolvarea în mare măsură a dendritelor de fază χ , scăderea ulterioră a tuturor caracteristicilor și creșterea duratății pentru temperatură de căldură de 1000°C explicându-se prin creșterea granulației și creșterea cantității de fază χ , separate în acelle de martensită β (figura 6.7, planșa VI).

**Tabelul 7.4. Duritatea Brinell a bronzului CuAl10Fe4Ni4Mn1Ti
călit**

Nr. de probă	Stare (Simbol)	HB _{S/250/15} [daN/mm ²] Valori experim. ordonate		S	$\eta = \frac{Z_i - \bar{Z}}{3}$	J _{0,025}	D D	\overline{HB}_{car} Observații
		HB	HB					
12	T+C 700°C	246; 270; 270 270; 275	266,2 271,25	11,49	-1,756	1,67	E	Se observă 246; $\overline{HB}_{car} = 270$
28	T+C 700°C	260; 260; 270 275; 275	268	—	—	—	—	
6	T+C 750°C	222; 225; 225; 225; 246	229,4	9,607	1,72 1,3	1,67 1,46	E P	$\overline{HB}_{car} = 225,25$
8	T+C 750°C	225; 233; 237 237; 246	235,6	7,6	-1,39 1,36	1,67	P P	
18	T+C 800°C	280; 280; 297 303; 303	292,6	11,76	—	1,67	P	
32	T+C 800°C	218; 229; 237 246; 246	235,2	11,94	-1,43	1,67	P	
43	T+C 800°C	246; 246; 260 275; 275	260,4	—	—	—	D	
2	T+C 850°C	246; 251; 276 270; 285	264,4	15,85	-1,16	1,67	P	
11	T+C 850°C	246; 251; 251 255; 265	253,6	7,12	-1,066 1,599	1,67	P P	
31	T+C 850°C	260; 265; 265 270; 270	266	4,18	-1,43	1,67	P	
1	T+C 900°C	251; 255; 260 265; 275	262,2	9,44	-1,18	1,67	P	
19	T+C 900°C	251; 255; 260 270; 275	262,2	10,08	-1,11 1,269	1,67	P P	
23	T+C 900°C	251; 260; 265 265; 275	263,2	8,729	-1,39	1,67	P	
38	T+C 950°C	225; 225; 245 255; 270	244	19,49	1,33	1,67	P	
39	T+C 950°C	225; 229; 245 255; 260	242,8	15,46	1,11	1,67	D	
24	T+C 1000°C	260; 270; 285 291; 315	286,2	21,11	-1,15 1,45	1,67	P	
40	T+C 1000°C	260; 270; 280 280; 315	281	20,73	-1,072 1,63	1,67	P	



NOTĂ: x - HB duritatea medie a unei probe
● - media mediilor HB

Fig.7.4. Variatia duritatii bronsului CuAlloPe4Ni4MnTi calit in dependenta de temperatura de caldere

Energia de rupere si implicit rezilienta KCV sunt insensibile la transformarile structurale care au loc in domeniul $950\ldots 1000^{\circ}\text{C}$, adica sunt mai sensibile la cresterea granulatiei decat la disolarea dendritelor fazei χ , rezultatul fiind invarianța acestor caracteristici.

7.2. Metoda calitilor succesiiva aplicata probelor calite dubla

In acest subcapitol se prezinta proprietatile mecanice ale probelor calite dubla, a caror structura a fost studiată in capitolul 6.5.

Proprietățile mecanice determinate experimental pe probe călăite dublu sunt prezentate în tab. 7.5...7.8. și reprezentate grafic în figurile 7.5....7.8.

Tabelul 7.5. Caracteristicile de tracțiune ale bronzului CuAl₁₀Fe₄Ni₄UnTi călit dublu C₁ + C₂ 650°C.

Stare (Simbol)	Nr. probă	R _m [N/mm ²]	A ₅ [%]	Z [%]	Observații
Turnat + C ₁ 900°C + C ₂ 650°C/1h/H ₂ O + + 10% NaCl	1	529,3	4	1,4	
	2	548	3,5	3	
	3	515	4	4,8	
Turnat + C ₁ 750°C + + C ₂ 650°C/1h/H ₂ O + + 10% NaCl	1	588,4	4,75	6,68	
	2	594	4,5	5,57	
	3	557,5	5	4,56	
Turnat + C ₁ 800°C + + C ₂ 650°C/1h/H ₂ O + + 10% NaCl	1	496	2,5	4,68	
	2	532	2,5	7,32	
	3	522	1,5	4,32	
Turnat + C ₁ 850°C + + C ₂ 650°C/1h/H ₂ O + + 10% NaCl	1	480	2	3,88	
	2	616	3,25	8,65	
	3	595	1,2	6,68	
Turnat + C ₁ 900°C + + C ₂ 650°C/1h/H ₂ O + + 10% NaCl	1	582	3	4,9	
	2	575	3,25	4,56	
	3	579	3,5	6,7	
Turnat + C ₁ 950°C + + C ₂ 650°C/1h/H ₂ O + + 10% NaCl	1	518	3	4,56	
	2	577	3	3,88	
	3	553	2,75	5,24	
Turnat + C ₁ 1000°C + + C ₂ 650°C/1h/H ₂ O + + 10% NaCl	1	586	2,5	4,56	
	2	622	2,0	5,24	
	3	618,6	1,5	4,16	

Variatia proprietăților mecanice în dependență de temperatură T₁ este complexă dar în stînga interdependență cu structurile obținute prin călăire dublă.

Prezența urmatorelor de eutectoid după călăirea de la 700°C se manifestă și după călăire dublă conducând la proprietăți mecanice schimbătoare, în schimb absența fazei γ_2 pentru temperaturi de călăire

Tabelul 7.6. Interpretarea statistică a rezultatelor încercărilor în tracțiune efectuate pe probe călite dublu.

Stare	\bar{R}_m	a	$v = \frac{x_i - \bar{x}}{\sigma}$	$\Sigma_{0,95}$	\bar{A}_5	a	v	$\Sigma_{0,95}$	\bar{Z}	a	v	$\Sigma_{0,95}$	Observații medii corectate	
$T+C_1, 700^{\circ}C + C_2$	530,7	16,54	1,04	1,15	P	3,83	0,288	-1,154	1,15	E	3,06	1,7	-0,97	1,15 P $\bar{A}_5 cor = 4$
$T+C_1, 750^{\circ}C + C_2$	579,9	19,65	-1,142	1,15	P	4,75	-	-	-	5,6	1,06	1,01	1,15 P	
$T+C_1, 800^{\circ}C + C_2$	523,3	28,02	-0,97	1,15	P	2,16	0,57	-1,154	1,15	E	5,44	1,63	1,147	1,15 P $\bar{A}_5 cor = 2,5$
$T+C_1, 850^{\circ}C + C_2$	563,66	73,21	-1,142	1,15	P	2,15	1,03	-0,91	1,15	P	6,4	2,39	-1,05	1,15 P
$T+C_1, 900^{\circ}C + C_2$	578,66	3,51	0,94	1,15	P	3,25	-	-	-	5,38	1,15	1,14	1,15 P	
$T+C_1, 950^{\circ}C + C_2$	549,3	29,6	-1,05	1,15	P	2,91	0,14	-1,154	1,15	E	4,56	0,68	-1	1,15 P $\bar{A}_5 cor = 3$
$T+C_1, 1000^{\circ}C + C_2$	608,8	19,8	-1,15	1,15	P	2	-	-	-	4,65	0,59	1,07	1,15 P	

P — se postreroză valoarea suspectată ca fiind semnificativă
 E — se elimină valoarea ca eroare obiectivă

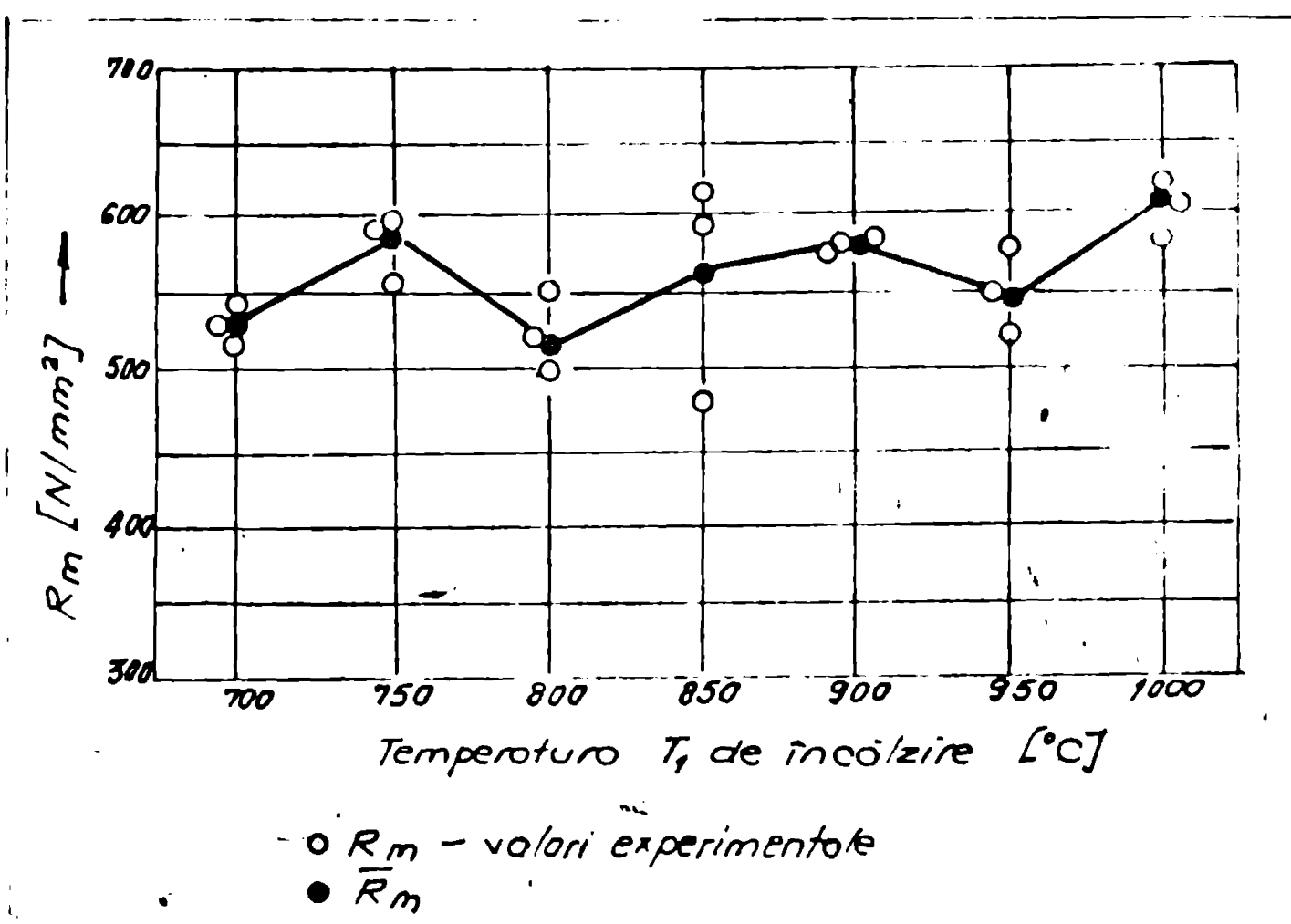


Fig. 7.5. Variatia rezistentei la rupere a probelor calite dublu functie de temperatura T_1 de calire

de $750^{\circ}C$ asociată cu o cantitate relativ mare de soluție solidă α proeutectoidă (figura 6.24.) conduce la valori ridicate ale caracteristicilor de tracțiune și tenacitate asociate cu un minim al duratăii.

Calirea dublă $C_1 800^{\circ}C + C_2 650^{\circ}C$ conduce la proprietăți mecanice mai reduse și o duratăte mărită, fapt explicabil prin modificarea cantității și dispersiei soluției solide α asociată cu prezența dendritelor de fază χ nemodificate prin tratament termic. De la calirea dublă, $C_1 850^{\circ}C + C_2 650^{\circ}C$ la $C_1 900^{\circ}C + C_2 650^{\circ}C$ se înregistrează o ușoară creștere a rezistenței la rupere și alungirii la rupere explicată prin modificarea morfologiei asociată cu creșterea separărilor de soluție solidă α în limite acelor de martensită β' ($+ \chi \rightarrow \gamma_2'$) și reducerea ponderii transformării $\beta \rightarrow (\alpha + \gamma_2')$ (figura 6.26. și 6.27.) în timp ce precipitările fazei χ sunt disolvute și separate mai fin. Duratarea urmărește fidel aceste variații, pe cind reziliența pare puțin influențată.

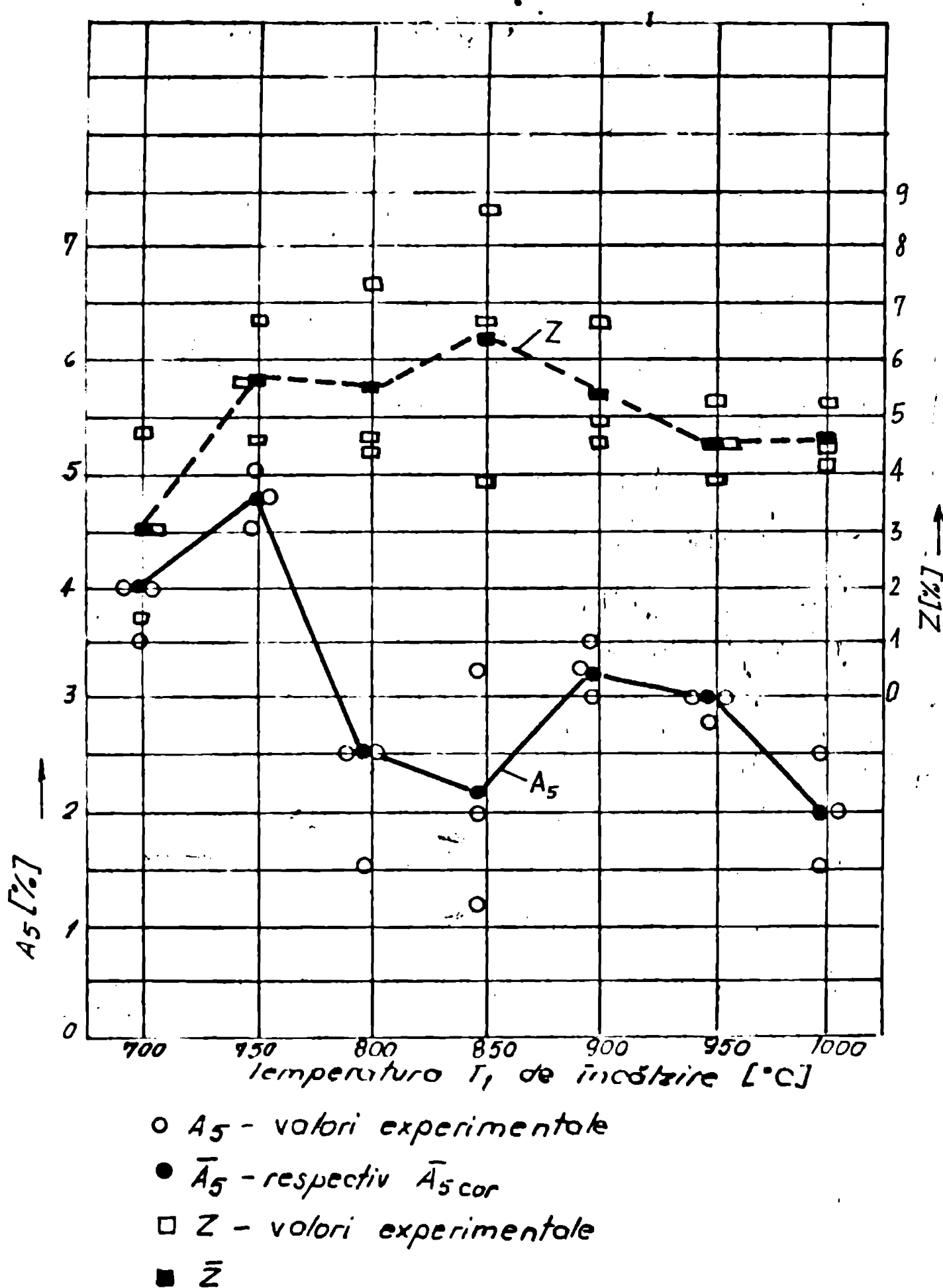


Fig.7.6. Variatia caracteristicilor de plasticitate a bronozului CuAl₆Fe₄Ni₄MnTi odlit dublu, functie de temperatura T_1 ale primei cailari

Tabelul 7.7. Energia de rupere KV și rezistență KCV ale tronsonui CuAl_{0.8}Fe_{4.5}Ni_{4.5}Ti călit dublu

Stare (simbol)	Mărime/ probă	KV [J]	KV	KCV [J/cm ²]	KCV
$T + C, 700^\circ C + C_2$	25	8	8	10	9,89
	7	8		9,98	
	8	8		9,9	
$T + C, 750^\circ C + C_2$	24	9	8,66	10,88	10,41
	25	8		9,85	
	15	9		10,52	
$T + C, 800^\circ C + C_2$	20	9	8	11	9,68
	30	8		9,59	
	31	7		8,47	
$T + C, 850^\circ C + C_2$	10	8	8	10	9,89
	96	8		10	
	33	8		9,67	
$T + C, 900^\circ C + C_2$	21	8	8	10	9,96
	29	8		10	
	16	8		9,88	
$T + C, 950^\circ C + C_2$	37	6	6,33	7,22	7,63
	17	7		8,5	
	18	6		7,18	
$T + C, 1000^\circ C + C_2$	20	8	8	9,66	9,67
	21	8		9,82	
	22	8		9,54	

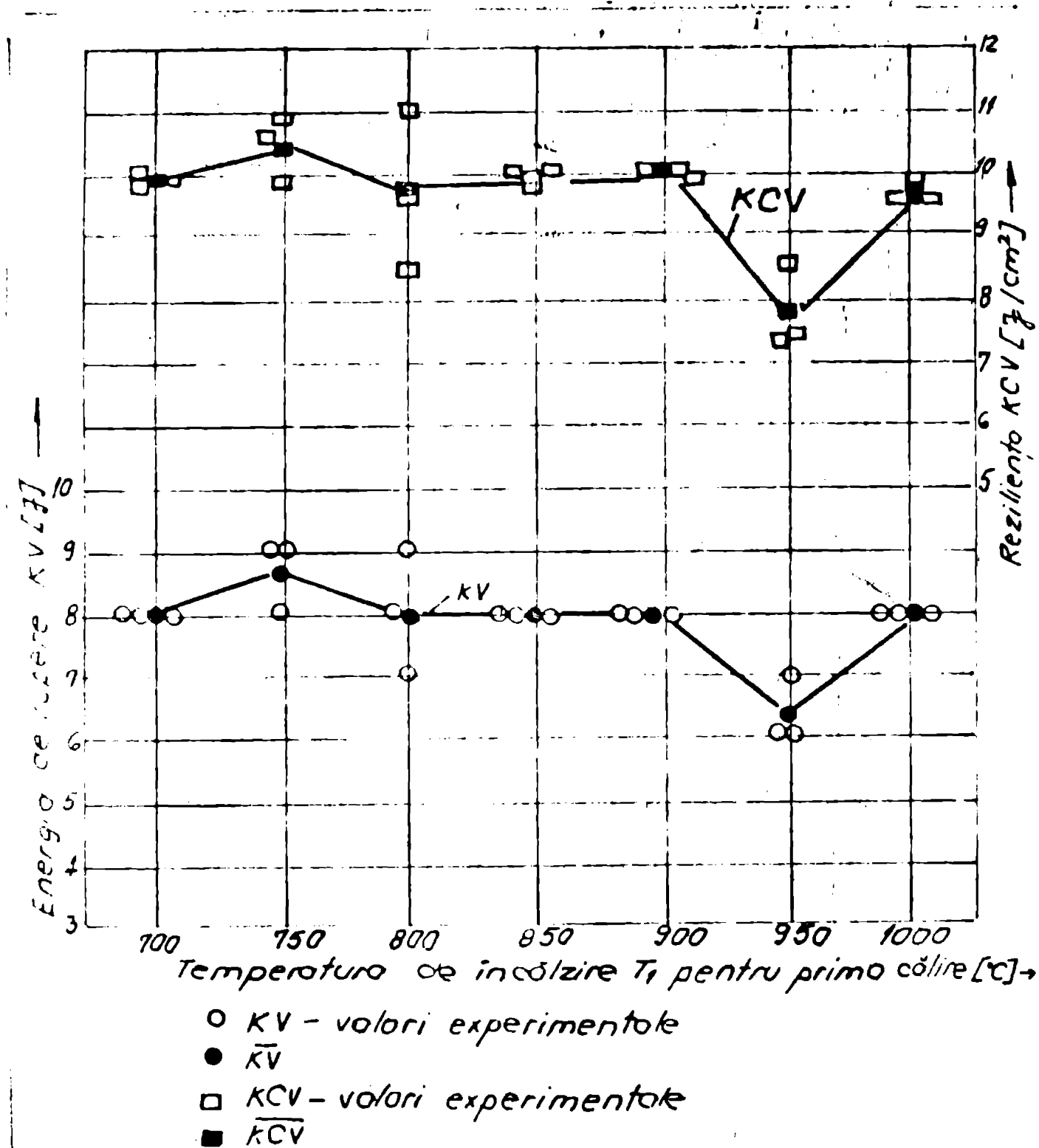


Fig. 7.7. Variatia energiei de rupere KV si a rezilientei KCV functie de temperatura T_1 de incalzire la califarea dubla a bronzului studiat

Soldarea tuturor proprietăților mecanice urmărite pentru varianta $C_1 950^\circ C + C_2 650^\circ C$ este pusă pe seama dispersiei fine ale fazei χ , care apare acum în cantitate mare (a-șu disolvat parțial dendritale fazei χ). Precipitările fazei χ sunt accentuate de călirea C_2 . Minimul duratăii este interpretat prin disolvarea dendritelor de fază χ , care nu se mai opun penetrării bilei durimetrului.

Tabelul 7.8. Varietățile HB 3/250/15 a probelor calitate dublu

Nr. crt.	Stoc (Simbol)	Durițoare HB 1/250/15 (valori ordonate) [secundă/mm ²]	\overline{HB}	Media \overline{HB}	Media \overline{HB}_{car}	$V = \frac{\sum_{i=1}^n x_i}{n}; 0,95$	0,12000	\overline{HB}_{car}	\overline{HB}_{car}	Obs.	
1	$T+C, 700C_2$	7 204; 204; 211; 229; 229; 237; 242	234	222,13	5,56	1,43	1,67	P	—	—	—
		25 200; 218; 222; 242	220		14,96	-1,33	1,67	P	—	—	—
		15 185; 185; 188; 188; 194	188		14,96	1,46	1,67	P	—	—	—
2	$T+C, 750C_2$	24 204; 204; 207; 211; 214	208	196,06	4,41	1,35	1,67	P	—	—	—
		25 182; 188; 194; 197; 200	192,2		7,22	-1,41	1,67	P	—	—	—
		20 197; 200; 201; 209	206		13,09	1,75	1,67	E	200,25	—	—
		30 188; 197; 197; 204; 204	198	212,13	6,59	-1,51	1,67	P	—	241,08	—
3	$T+C, 800C_2$	31 222; 233; 237; 233; 237	232,4		6,14	-1,69	1,67	E	235	—	—
		10 225; 229; 233; 260; 285	246,4		23,56	1,3	1,67	P	—	—	—
		16 197; 197; 200; 204; 204	200,4	222,3	3,5	—	—	—	—	—	—
4	$T+C, 850C_2$	33 214; 218; 222; 222; 225	220,2		4,26	-1,453	1,67	P	—	—	—

Tabelul 7.8. Continuare

O	1	2	3	4	5	6	7	8	9	10	11	12
5	$T_4 C_1, 900 C_2$	29	225; 225; 229; 229; <u>233</u>	228,2	233,9	3,34	1,43	1,67	P	—	—	—
6	$T_4 C_1, 950 C_2$	18	229; 237; 237; 242; 242; <u>237</u>	238,4	5,31	-1,57	1,67	P	—	—	—	—
7	$T_4 C_1, 1000 C_2$	21	222; 222; 225; 225; <u>237</u>	224	219,6	9,21	1,4	1,67	P	—	—	—
7	$T_4 C_1, 1000 C_2$	37	222; 222; 225; 225; 225	223,0	1,64	—	—	—	—	—	—	—
20		229; 237; 237; 242; <u>251</u>	239		8,07	1,46 -1,26	1,67 P	—	—	—	—	—
21		225; 225; 229; 233; 233	229	231,8	4	—	—	—	—	—	—	—
22		222; 225; 225; 229; <u>237</u>	227,6	5,81	1,61	1,67	P	—	—	—	—	—

P - și păstrează valoarea de fiind semnificativă
E - se elimină valoarea ce crește diferența

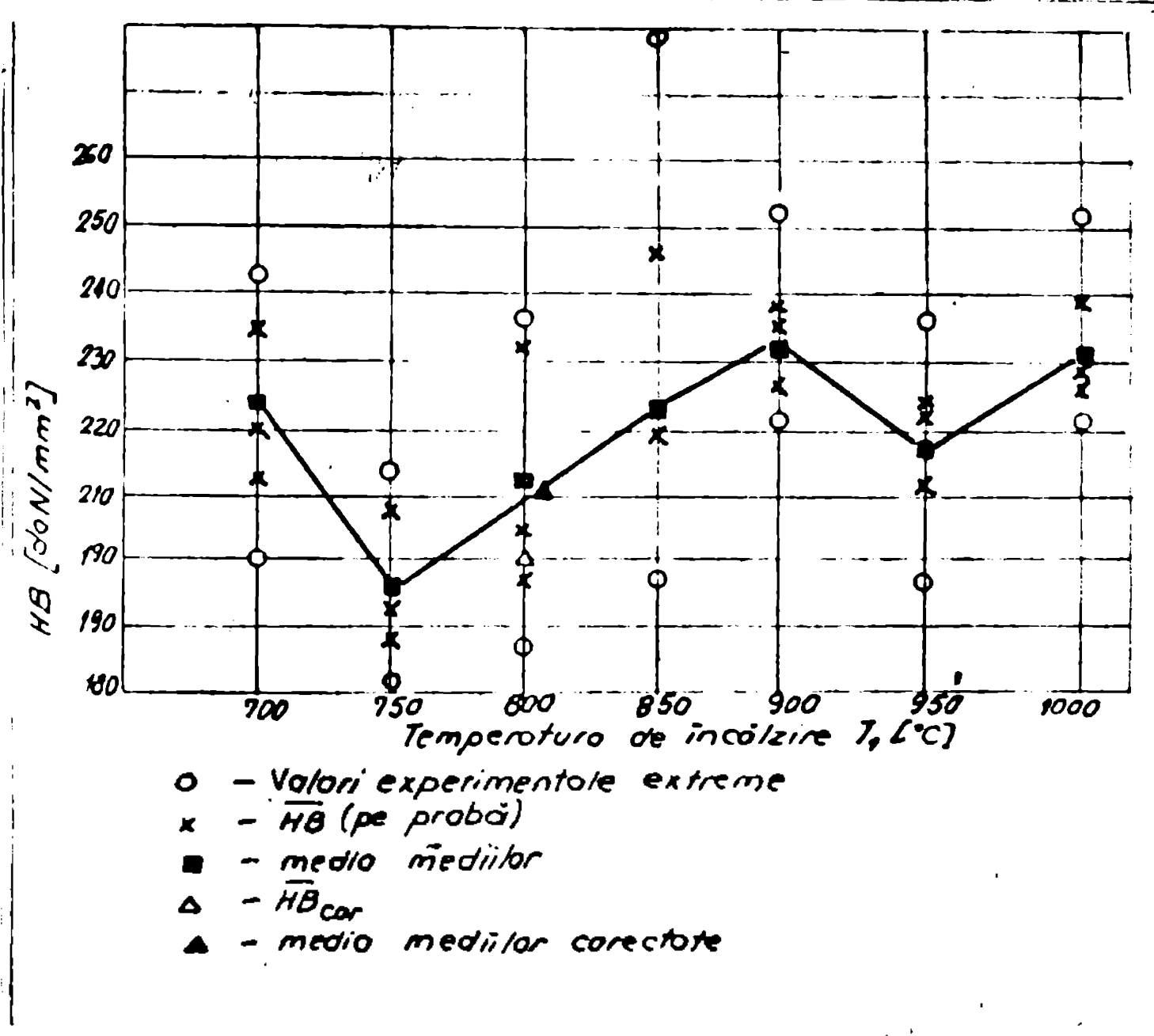


Fig.7.8. Variatia duritatii probelor ollite dublu
 $C_1+0,65\text{g}^{\circ}\text{C}$ functie de temperatura T_1 de ollire

Crescerea cantitatii de fază χ fin dispersata de formă globulară, disolvarea corporei complete a dendritelor de fază χ explică astfel creșterea rezistenței la rupere pentru variante $C_1 1000^{\circ}\text{C} + 0,65\text{g}^{\circ}\text{C}$, ceea ce și a energiei de rupere respectiv resiliență, pe cind alungirea și durata per a fi mai mult afectată de cantitatea mare a fazei χ fin dispersată care blochează deplasarea dislocațiilor (A_3 descreză; HB crește).

Se remarcă că științe la rupere urmărește în parte, cele descrise pentru celelalte proprietăți mecanice, însă, se pare că efectul tratamentului termic de ollire dubla modifică în limite restrinse valorile medii ale științelor la rupere, care pare că dopindu-mai mult de prezența sau absența fazei τ și a dendritelor mari de χ în planul de rupere, ceea ce ar explica diferența mare a ve-

lorilor experimentale.

O comparație a valorilor proprietăților mecanice obținute pe probe turnate sau forjate sau supuse tratamentului termic de recocere pendulară, prezentate în tabelul 4.2. cu cele obținute după călire se sesizează că tratamentul termic de călire dublă conduce la valori ridicate ale rezistenței la rupere, în general peste 550 N/mm^2 și caracteristici de plasticitate mult mai bune. Interesant pentru utilizare practică se par a fi variantele $C_1 750^\circ\text{C} + C_2 650^\circ\text{C}$ și $C_1 1000^\circ\text{C} + C_2 650^\circ\text{C}$, prima cu bune proprietăți plasticice: $A_3 = \text{cea } 4,75\%$ și bună rezistență la rupere: $R_m = \text{cea } 580 \text{ N/mm}^2$, pe cind varianța a doua ($C_1 1000^\circ\text{C} + C_2 650^\circ\text{C}$) oferă caracteristici de rezistență mai ridicate: $R_m = \text{cea } 610 \text{ N/mm}^2$ dar o plasticitate redusă: $A_3 = 2\%$.

7.3. Metoda călărilor succesive aplicată probelor călită dublă și supuse revenirii joase

S-a cercetat influența revenirii joase la $150\pm 10^\circ\text{C}/90\text{min}/\text{cer}$ asupra proprietăților bronsului CuAlloFe4Ni4MnFi călit dublu. Acest ciclu s-a notat $C_1 + C_2 + D$ sau $C_1 C_2 D$.

Resultatele încercărilor la tractiune sunt prezentate în tabelul 7.9. și interpretarea statistică a rezultatelor experimentale în tabelul 7.10. iar variația rezistenței la rupere, funcție de parametrul experimentului, temperatura T_1 de călire este prezentată în figura 7.9. și variația caracteristicilor de plasticitate în figura 7.10.

Atât valorile efective cât și variația acestora cu temperatura T_1 sunt marcate de transformările structurale induse prin revenirea joasă. Astfel, accentuarea caracterului acicular, apariția separărilor de fază χ în soluția solidă α și accentuarea caracterului de amestec mecanic eutectoid al formațiunilor aciculare pentru varianțele $C_1 C_2 D$ pentru $T_1 = 700\ldots 850^\circ\text{C}$ conduce la proprietăți mecanice mai reduse față de călarea dublă (tabelul 7.6.), creșterea lor cu temperatura T_1 are aceeași explicație ca în cazul călării duble: modificarea cantității de soluție solidă α proeutectoidă, a dimensiunilor și gradului de aliere a martensitei β' , reducerea ponderii transformării $\beta \rightarrow \alpha + \gamma_2$. Așa cum și structurile probelor tratate termic $C_1 C_2 D$ se amânat cu calea ale probelor tratate $C_1 C_2$ dar de la o temperatură T_1 cu 50°C mai ridicată, așa și minimal curbei $R_m=f(T_1)$ respectiv $A_3 = f(T_1)$ se deplasează cu cca $50\ldots 100^\circ\text{C}$ spre temperaturi mai coborite, marcând modificarea influenței revenirii joase asupra microstructurii probelor tratate termic $C_1 850^\circ\text{C} + C_2 + D$ respectiv

Tabelul 7.9. Caracteristicile de tracțiune ale bronzului CuAl₁₀Fe₄Ni₄Mn₁Ti tratat termic C₁C₂D

Stare (Simbol)	Nr. probă	R _m [N/mm ²]	A ₅ [%]	Z [%]	Observații
T+C, 700°C + C ₂ 650°C + Deten- sionare 150°C	1	479	2	<u>7,34</u>	
	2	415	<u>1,2</u>	3,88	
	3	457	1,75	4,22	
T+C, 750°C + C ₂ 650°C + Deten- sionare 150°C	1	486	2,5	4,56	
	2	492	3,25	<u>7,67</u>	
	3	461	1	4	induzioni
T+C, 800°C + C ₂ 650°C + Deten- sionare 150°C	1	<u>530</u>	3	7,34	
	2	562	<u>1,5</u>	<u>8,32</u>	
	3	542	3	7,68	
T+C, 850°C + + C ₂ 650°C + Detensionare 150°C	1	409	2,5	8	
	2	587	3,0	7	
	3	599	2,0	<u>4,22</u>	
T+C, 900°C + + C ₂ 650°C + Deten- sionare 150°C	1	542	2,75	<u>7,34</u>	
	2	555	3	4,56	
	3	620	3,25	5,57	
T+C, 950°C + + C ₂ 650°C + Deten- sionare 150°C	1	619	3,75	11,7	
	2	<u>584</u>	4	<u>7,35</u>	
	3	624	3	11,38	
T+C, 1000°C + + C ₂ 650°C + Deten- sionare 150°C	1	<u>530</u>	<u>1,5</u>	8	
	2	621	2,5	<u>4,9</u>	
	3	609	2,75	7,34	

I - Tabelul 7.1e. Interpretarea statistica a rezultatelor incercarilor la tracțiune efectuate pe probe eliptice dublu și supuse revenirii joase.

Stare	\bar{R}_m [N/mm ²]	\bar{A}_5 [%]	\bar{Z}	Valori corectate Observații
$T + C_1, 700^{\circ}C +$ $+ C_2 + D$	450,3	32,51	-1,08	P 1,65 0,409 -1,09 P 5,146 1,907 1,150 P
$T + C_1, 780^{\circ}C +$ $+ C_2 + D$	479,6	16,44	-1,13	P 2,25 1,145 -1,09 P 5,41 1,977 1,14 P
$T + C_1, 800^{\circ}C +$ $C_2 + D$	544	16,16	-0,907	P 2,5 0,86 -1,154 E 7,78 0,497 1,08 P $\bar{A}_5 \text{car} = 3$
$T + C_1, 850^{\circ}C +$ $+ C_2 + D$	531,6	106,4	-1,152	E 2,5 - - - 6,4 1,958 -1,11 P $\bar{R}_{m, \text{cor}} = 593$
$T + C_1, 900^{\circ}C +$ $+ C_2 + D$	572,3	41,78	1,14	P 3 - - - 5,82 1,407 1,07 P 1
$T + C_1, 950^{\circ}C +$ $+ C_2 + D$	609	21,79	-1,147	P 3,58 0,52 -1,12 P 10,14 2,42 -1,152 E $\bar{Z}_{\text{car}} = 11,54$
$T + C_1, 1000^{\circ}C +$ $+ C_2 + D$	586,6	49,44	-1,146	P 2,25 0,66 -1,133 P 6,74 1,63 -1,13 P

P - valoare suspectă este remarcabilă
E - valoare suspectă se elimină coare obertantă



Separările în cantitate mare ale fazei χ care suferă și fenomene de coalescență explică creșterea proprietăților mecanice. Coalescența fazei χ și estomparea caracterului acicular al structurii explică pierderea fragilității și creșterea tuturor proprietăților mecanice care devin mari mari decât cele obținute la călirea dublă. Astfel, se ajunge la rezistențe la rupere situate în jurul a 600 N/mm^2 alungiri de 3,5 ... 4% și gătuiri la rupere de peste 11% pentru variante $C_1 950^\circ C + C_2 + D$. Apariția unui amestec mecanic fin $\alpha + \chi$ la variante $C_1 1000^\circ C + C_2 + D$ explică diminuarea proprietăților plastice cu influență negativă și asupra rezistenței la rupere, datorită fragilizării materialului.

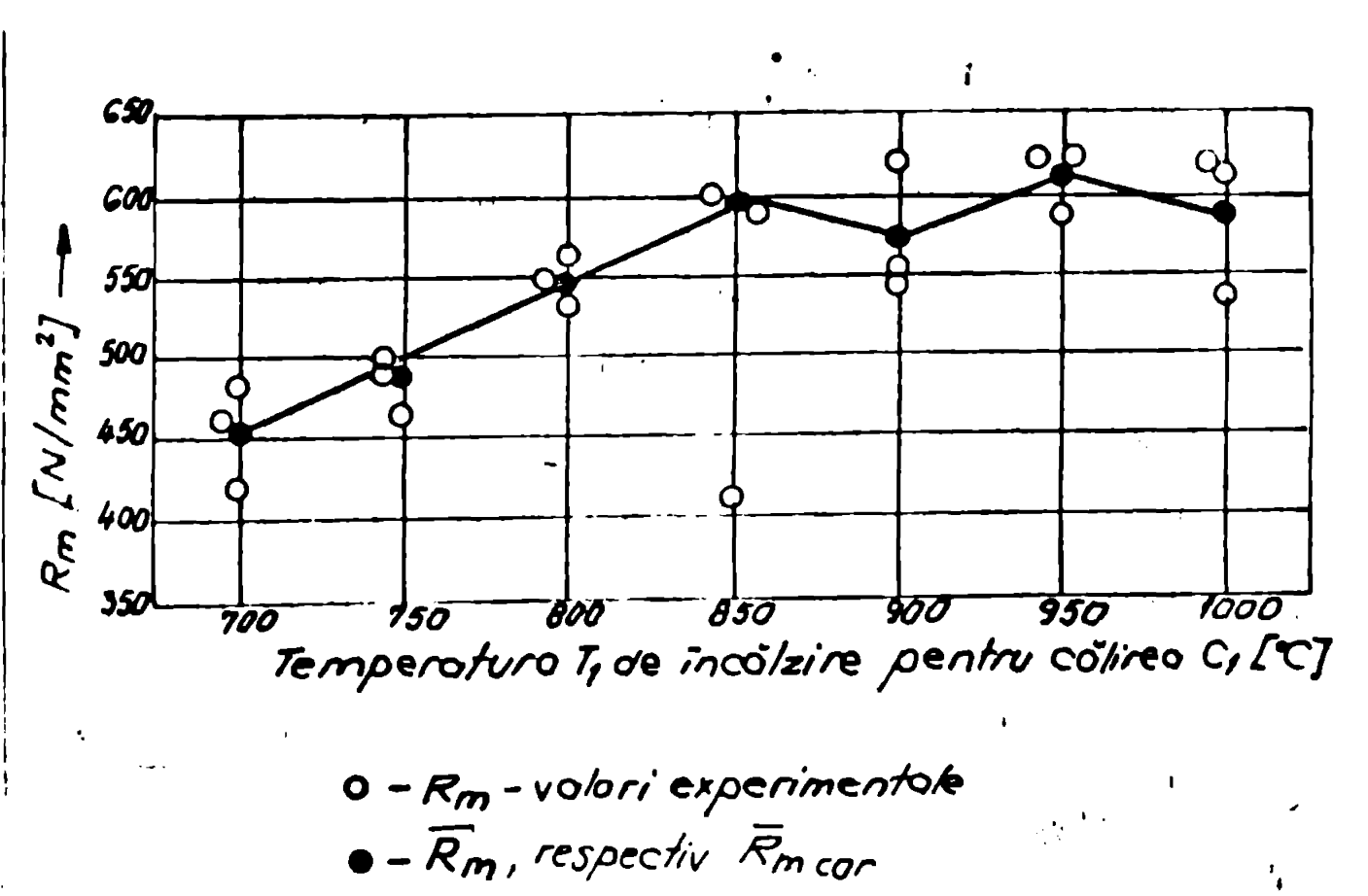


Fig.7.9. Variatia rezistenței la rupere a probelor tratate termic varianta $C_1 C_2 D$ funcție de temperatura T_1 de încălzire pentru călirea C_1

Resultatele încercărilor de reziliență efectuate pe probe tratate în varianta $C_1 C_2 D$ sunt prezentate în tabelul 7.11. și reprezentate grafic în figura 7.11 funcție de temperatură de călire, (T_1).

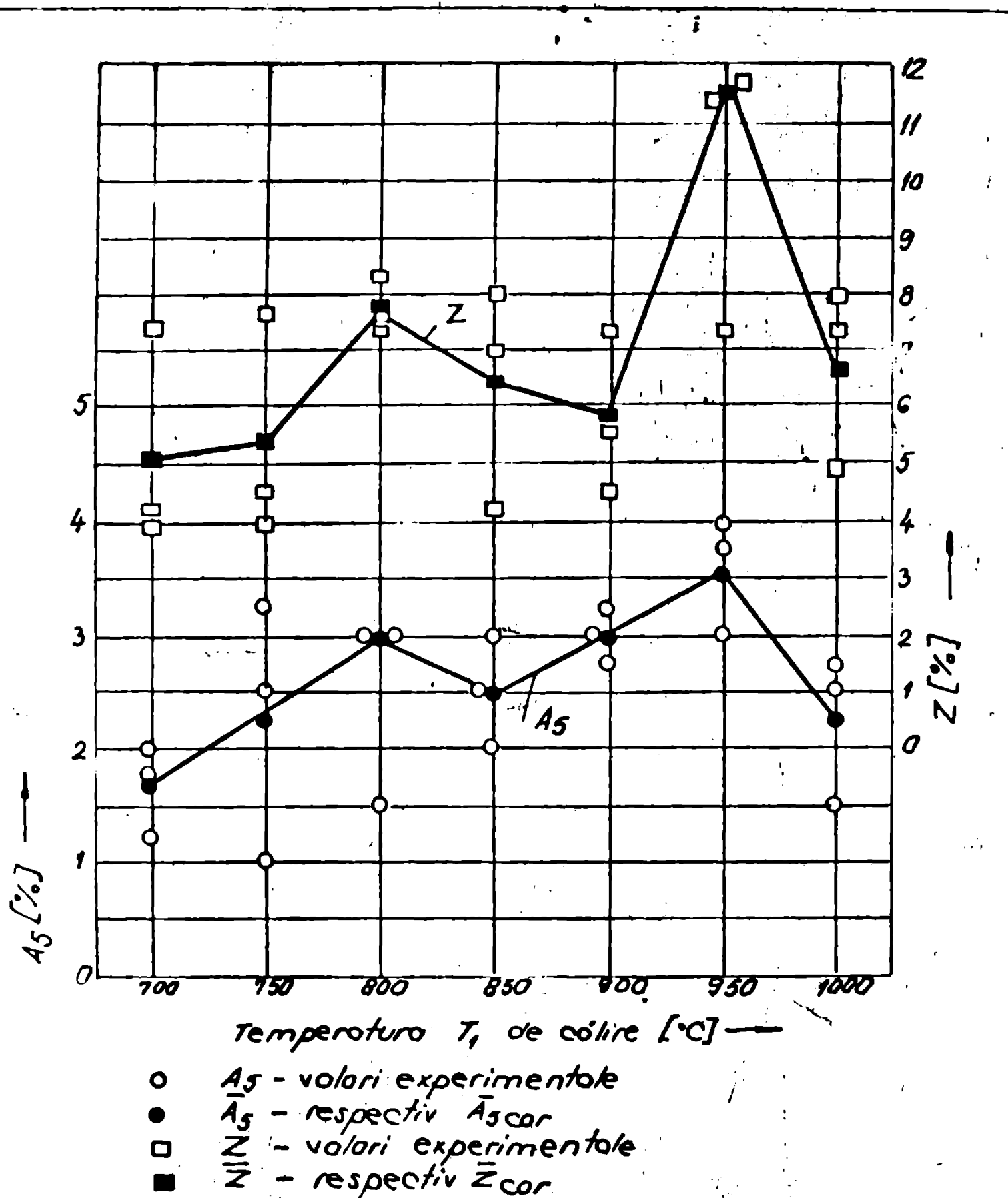


Fig.7.10. Variatia caracteristicilor de plasticitate ale bronzului CuAl10Fe4Ni4MnTi cilit dublu și supus revenirii joase cu temperatura T_1 de călire

Tabelul 7.11. Energia de rupere KV și rezistența KCV a probelor tratate termic varianta C_1C_2D

Stare (Simbol)	Mărime probă	KV [J]	$\bar{K}V$	KCV [J/cm ²]	$\bar{K}CV$
$T+C, 700^\circ C + C_2 + D$	27	6	6	7,28	7,29
	10	6		7,28	
	11	6		7,31	
$T+C, 750^\circ C + C_2 + D$	30	6	6,33	7,38	7,78
	26	6		7,28	
	27	7		8,69	
$T+C, 800^\circ C + C_2 + D$	14	8	6,66	9,82	8,12
	28	6		7,28	
	29	6		7,28	
$T+C, 850^\circ C + C_2 + D$	9	8	7,33	9,75	8,95
	17	7		8,6	
	34	7		8,52	
$T+C, 900^\circ C + C_2 + D$	3	7	7	8,51	8,56
	13	6		7,38	
	26	8		9,8	
$T+C, 950^\circ C + C_2 + D$	35	7	8	8,48	9,77
	36	9		11,01	
	41	8		9,92	
$T+C, 1000^\circ C + C_2 + D$	19	7	7	8,47	8,49
	23	7		8,5	
	42	7		8,51	

Variatia energiei de rupere are aceiasi alură, aceiasi inflexiuni ca și curba de variație a rezistenței la rupere respectiv a alungirii și extiririi la rupere, și deci și cauzele sunt aceleasi. De asemenea, și valoile se reflectă cantitățea sporită de separiri ale fazei X, și anume prin micșorarea ușoară a acestora.

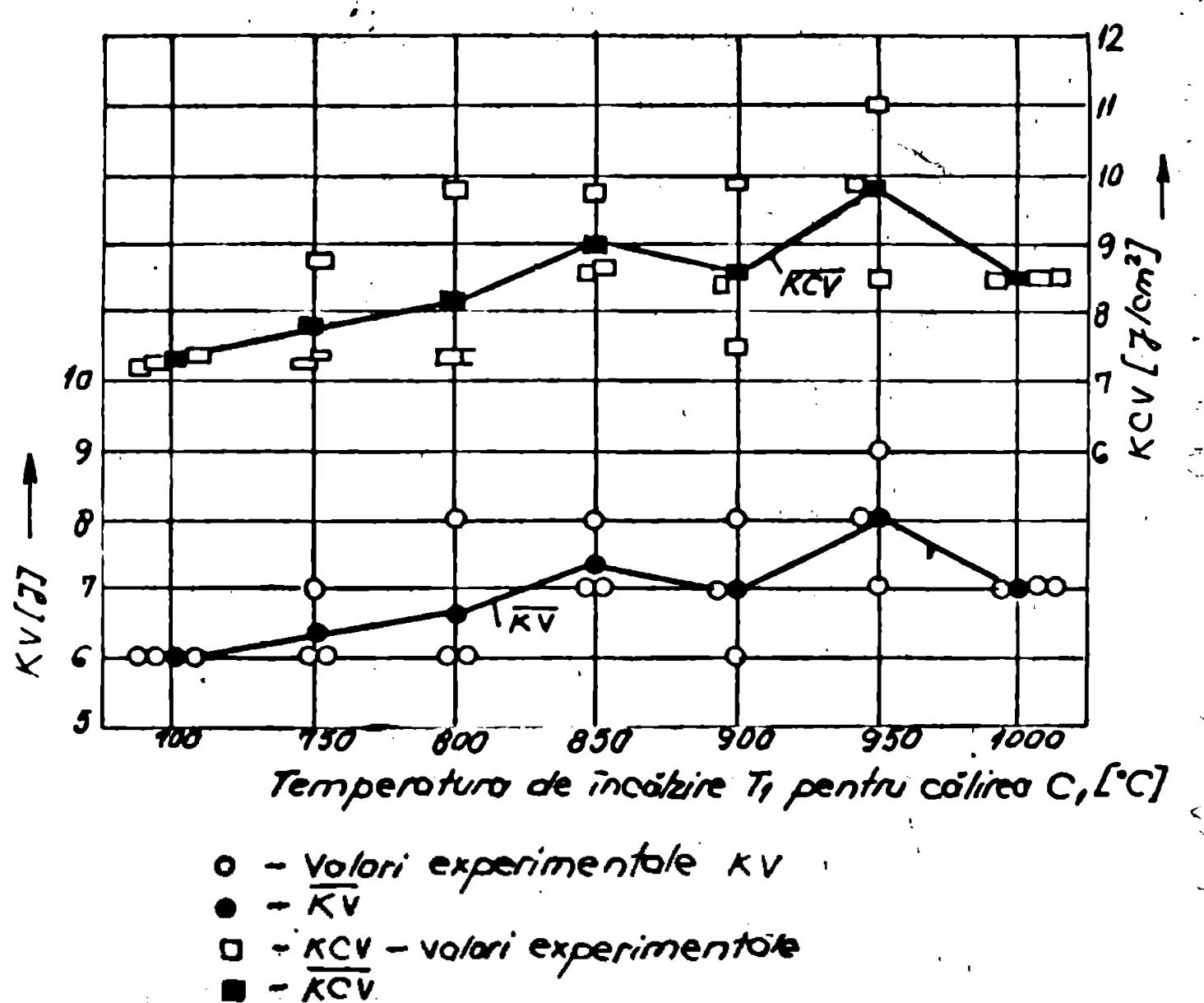


Fig. 7.11. Variatia energiei de rupere KV si a rezilientei KCV functie de temperatura T₁ a probelor tratate termic prin varianta C₁C₂D.

Măsurările de durată au fost efectuate ca și în celelalte cazuri pe probe de reziliență rupte. Rezultatele măsurătorilor efectuate pe probele tratate termic prin călire dublă urmată de revenirea joasă cît și interpretarea statistică a acestora, sunt prezentate în tabelul 7.12. În figura 7.12. a fost reprezentat grafic variația durății funcție de temperatura T₁ de călire. Se poate observa din acest grafic că evoluția durății cu parametrul considerat este similar cu

evoluția celorlalte proprietăți mecanice, dar valorile sunt disperse și practic variația durității se află în acest cîmp de dispersie și numai interpretarea statistică, avînd 15 valori experimentale pentru fiecare stare a permis construirea unei curbe elocvente.

Din nou se constată cu surprindere că duritatea bronzului cercetat variază puțin cu starea de tratament termic ceea ce a rezultat și din cercetările preliminare, prezentate în capitolul 3.1.

Curba de variație a durității medii (corectată) se prezintă cu un minim, cînd în structură apare diminuarea caracterului acicular ($T_1 = 900^{\circ}\text{C}$).

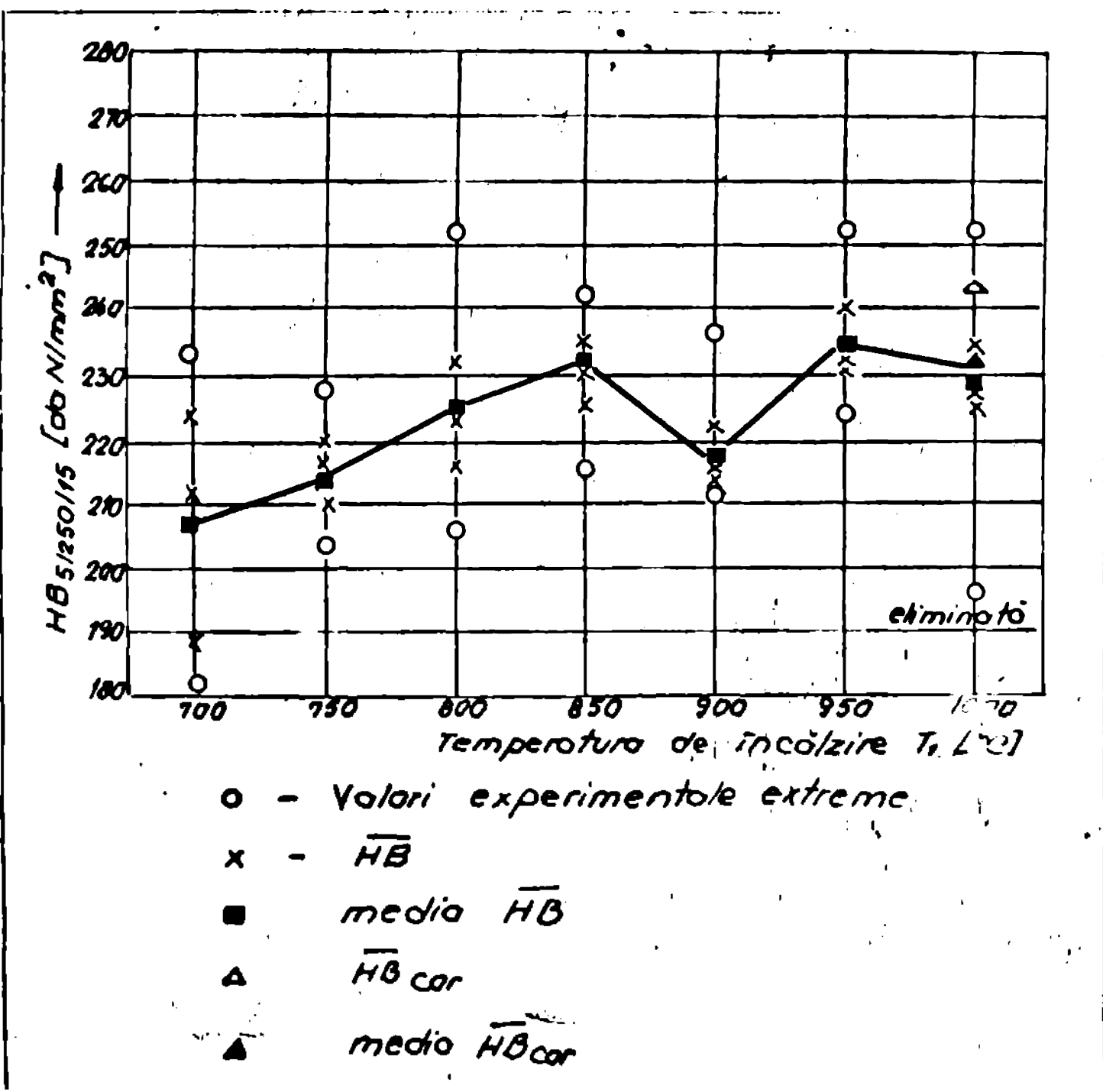


Fig.7.12. Variatia duritatii bronzului CuAlloFe4Ni4Mn1Ti tratat termic varianta C₁C₂D functie de temperatura T_1 de caldura.

Tabelle 7.12 Durata dei probatori termitici C₁, C₂ D

Nr. crt.	Stare (simbol)	Durata HB 5,250/15 (valori ordinati) [sob N/mm ²]	HB		Media HB	Media HB	Media HB cor	Media HB cor	Decisio	HB cor	HB cor	Media Obs.	
			1	2	3	4	5	6	7	8	9	10	11
1	T+C ₁ C ₂ D	10 204; 207; 207; 214; <u>225</u> 211; 4											
2	T+C ₁ C ₂ D	11 218; 218; 225; 229; <u>233</u> 224; 6											
3	T+C ₁ C ₂ D	12 182; 188; 191; 191; 194 189; 2											
4	T+C ₁ C ₂ D	13 211; 214; 222; 225; <u>229</u> 220; 2											
5	T+C ₁ C ₂ D	14 207; 207; 214; 214; <u>214</u> 210											
6	T+C ₁ C ₂ D	15 211; 214; 222; 225; <u>251</u> 223; 2											
7	T+C ₁ C ₂ D	16 214; 214; 218; 222 217; 2											
8	T+C ₁ C ₂ D	17 229; 229; 233; 233; <u>232</u> 232; 2											
9	T+C ₁ C ₂ D	18 225; 229; 233; 233; 233 230; 6											
10	T+C ₁ C ₂ D	19 218; 222; 229; 233; <u>237</u> 227; 8											
11	T+C ₁ C ₂ D	20 229; 233; 237; 242 235; 6											

Tabelul 7.12 (continuare)

	1	2	3	4	5	6	7	8	9	10	11	12
7	3	214, 214, 225, 229, <u>237</u>	223, 8		9, 93	1, 32	1, 67	P	—			
5	T+C, 900G D	13	211, 214, 218, <u>222</u>	215, 8	217, 9	4, 26	1, 45	1, 67	P	—		
26	214, 214, 214, 218		214, 2		2, 14	—	—	—	—			
35	229, 233, 242, 246, <u>251</u>		240, 2		9, 09	1, 18	1, 67	P	—			
6	T+C, 950G ₂ D	36	225, 229, 233, 233, <u>237</u>	231, 4	234, 2	4, 56	1, 22	1, 67	P	—		
41	214, 229, 233, 237, <u>242</u>		231		10, 65	1, 03	1, 67	P	—			
19	197, 237, 242, 246, <u>251</u>		234, 6		21, 6	0, 75	1, 67	P	244			
21, 6	1, 74				21, 6	1, 67	E					
7	T+C, 1000G D	23	218, 225, 229, 233, <u>237</u>	228, 4	229, 93	7, 33	1, 17	1, 67	P	—	233, 06	
42	222, 225, 229, 229, 229		226, 8		3, 19	—	—	—	—			
										je archivat		
										197		

$P \rightarrow V^{\text{large}}_{\text{asymptotic}}$ este semnificativă

E - Isolare suspectata se eliminare o erare aleroni

Se poate conchide că revenirea joasă aplicată probelor călitate dublu conduce la creșterea proprietăților mecanice pentru variante cu temperatură T_1 mai mare de 850°C ; cu cele mai bune proprietăți mecanice s-a evidențiat varianta $C_1 950^{\circ}\text{C} + C_2 + D$ care a condus la valori ridicate ale rezistenței la rupere de peste 600 N/mm^2 asociată cu caracteristici bune de plasticitate: $A_3 = 3,5...4\%$; $Z = \text{cca } 11...11,5\%$. Această variantă de tratament termic secundar a condus la mai bune caracteristici mecanice față de toate variantele de tratamente termice prezentate pînă aci și prezintă interes pentru aplicarea practică.

7.4. Proprietățile mecanice ale probelor tratate termic în varianta $C_1 950^{\circ}\text{C} + C_2 + D$ sau termociclate

Metoda călirilor successive aplicată la variantele $C_1 C_2 D$ au reliefat varianta $C_1 950^{\circ}\text{C} + C_2 + D$ care conduce la obținerea unor proprietăți mecanice bune. Pentru a optimiza această variantă s-a studiat influența duratei de menținere asupra structurii și proprietăților mecanice ale probelor confecționate din bare turnate și tratate termic varianta $C_1 950^{\circ}\text{C} + C_2 + D$.

Pentru a avea un punct orientativ suplimentar, s-a efectuat pe două probe rămase de la investigațiile preliminare (capitolul 3.1.) tratate $C_1 950^{\circ}\text{C}/15 \text{ min}/\text{H}_2\text{O+10\%NaCl} + C_2 650^{\circ}\text{C}/90 \text{ min}/\text{H}_2\text{O+10\%NaCl}$ o revenire joasă $150^{\circ}\text{C}/90 \text{ min}/\text{aer}$. Apoi, mai sistematic, au fost aplicate variantele $C_1 C_2 D(4)$ și $C_1 C_2 D(8)$ conform ciclogramelor reprezentate în figura 3.9. și respectiv variantele de termociclare conform figurilor 3.9., 3.10. și 3.11.

Rezultatele încercărilor de tracțiune sunt prezentate în tabelul 7.13. și interpretate statistic în tabelul 7.14.

Se constată că, în fine, diversele variante tehnologice conduc la proprietăți mecanice bune, atât în ceea ce privește caracteristicile de rezistență cât și cele de plasticitate. Pe baza datelor tabulate s-au construit mai întîi graficele de variație ale caracteristicilor de tracțiune funcție de durata de menținere la varianta $C_1 C_2 D$ (figurile 7.13. și 7.14.) apoi variația acestor caracteristici funcție de tipul de tratament termic aplicat (figurile 7.15. și 7.16.).

Concluzia care se desprinde din analiza figurilor 7.13. și 7.14. este că duratele de menținere de 4 ore conduc la cea mai mare valoare a rezistenței la rupere (627 N/mm^2) asociată cu bune valori ale alungirii la rupere (4%). Dizolvarea dendritelor fazei χ și separarea acesteia sub formă de precipitate globulare în soluția solidă

Tabelul 7.13. Caracteristicile de tractiune ale probelor tratate termic în variante $C_1 950^{\circ}C + C_2 + D$ sau termociclate.

Stare (Simbol)	Nr. probă	R_m [N/mm ²]	A_5 [%]	Z [%]	Observații
$T+C, 950^{\circ}C / 15 \text{ min} + C_2 C 50^{\circ}C / 90 \text{ min} + D 450^{\circ}C / 90 \text{ min}$	1	518	—	—	Rupt în record
	2	532	1,0	1,41	
$T+C, 950^{\circ}C / 60 \text{ min} + C_2 C 50^{\circ}C / 60 \text{ min} + D 450^{\circ}C / 90 \text{ min}$	1	619	3,75	11,7	
	2	584	4	7,35	
conf. tab. 7.9	3	624	3	11,38	
Turnot + $C_1 C_2 D(4)$	1	636	4	8,97	
	2	597	2,5	4,9	
conf. fig. 3.9	3	648	4	11,4	
Turnot + $C_1 C_2 D(8)$	1	569	3	8,65	
	2	585	3	5,57	
Conf. fig. 3.9	3	617	3,5	8	
Turnot + $2 C_1 C_2 D(4)$	1	610	2,5	5,91	
	2	584	3,5	10,74	
conf. fig. 3.9	3	575	3,75	11,38	
Turnot + $2 C_1 C_2 D(8)$	1	600	—	—	Rupt în otoro reprez.
	2	659	5	12,3	
conf. fig. 3.9	3	612	4,75	10,75	
Turnot + $DC_2 C_1 C_2 D(4)$	1	595	3,2	8	
	2	601	—	—	Rupt în otoro reprez.
conf. fig. 3.10	3	492	2,5	8,33	
Turnot + $C_1 C_2 DC_2 D(4)$	1	581	3,2	9,3	
	2	518	2,5	4,9	
Conf. fig. 3.11	3	591	4,5	8,33	

Tabelul 7.14 INTERPRETAREA STATISTICĂ A REZULTATELOR ÎNCERCĂRILOR LA TRACIUNE PREZENTATE ÎN TABELUL 7.13

Store (Simbol)	\bar{R}_m [N/mm ²]	\bar{A}_5 %	\bar{Z} %	Valori medii corectate, Observații
$t_1 + C_1 C_2 D$ (men = 15 min)	525	—	—	$t_1 = 1,141$ — $t_2 = 1,141$ — (Valori informative)
$t_1 + C_1 C_2 D$ (men = 60 min)	609	21,79	-1,147	$t_1 = 1,15$ P $t_2 = 3,58$ P $t_3 = 0,52$ P $t_4 = 10,14$ P $t_5 = 2,42$ P $t_6 = -1,12$ P $t_7 = 8,42$ E $t_8 = 3,28$ E $t_9 = -1,154$ E $t_{10} = 1,107$ D $t_{11} = \bar{A}_5 \text{ cor} = 11,54$
$C_1 C_2 D(4)$	627	26,66	-1,125	$t_1 = 1,15$ P $t_2 = 3,5$ P $t_3 = 0,86$ P $t_4 = 1,154$ E $t_5 = 1,62$ D $t_6 = -1,13$ P $t_7 = \bar{A}_5 \text{ cor} = 3$
$C_1 C_2 D(8)$	590,3	24,44	1,09	$t_1 = 1,15$ P $t_2 = 3,16$ P $t_3 = 0,28$ P $t_4 = 1,154$ E $t_5 = 7,4$ E $t_6 = 1,62$ D $t_7 = -1,13$ P $t_8 = \bar{R}_m \text{ cor} = 598$
$2C_1 C_2 D(4)$	589,6	13,17	1,11	$t_1 = 1,15$ P $t_2 = 3,25$ P $t_3 = 0,66$ P $t_4 = 1,13$ P $t_5 = 9,34$ P $t_6 = 2,99$ P $t_7 = -1,148$ P
$2C_1 C_2 D(8)$	623,6	31,18	1,13	$t_1 = 1,15$ P $t_2 = 4,875$ P $t_3 = -1,152$ P $t_4 = -1,152$ P $t_5 = -1,152$ P
$DC_2 C_1 C_2 D(4)$	562,6	61,27	-1,153	$t_1 = 1,15$ E $t_2 = 2,85$ E $t_3 = -1,165$ E $t_4 = -1,165$ E $t_5 = \bar{R}_m \text{ cor} = 598$
$C_1 C_2 DC_2 D(4)$	563,3	39,57	-1,145	$t_1 = 1,15$ P $t_2 = 3,4$ P $t_3 = 1,01$ P $t_4 = 0,88$ P $t_5 = 7,51$ P $t_6 = 2,31$ P $t_7 = -1,129$ P

P - se păstrează valoarea ca eroare alăturată

E - se elimină valoarea ca eroare alăturată

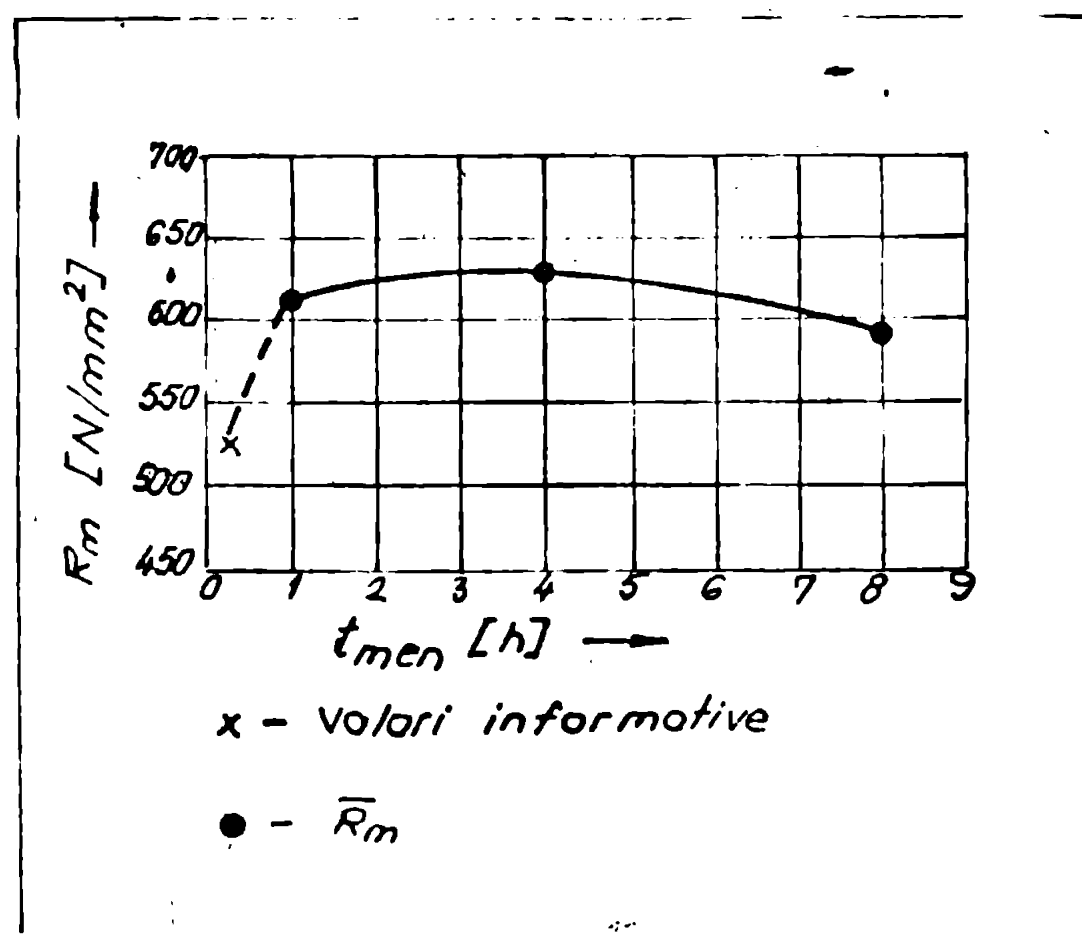


Fig.7.13. Variatia rezistentei la rupere a probelor tratate termic C_1C_2D functie de durata de mentinere

α , cantitatea acestor separări fiind relativ redusă în comparație cu celelalte stări (figura 6.40.), explică reducerea fragilității broasului studiat la valori acceptabile. Descreșterea ușoră ale rezistentei la rupere și ale caracteristicilor de plasticitate (figurile 7.13. și 7.14.) pentru durată de menținere de opt ore se explică prin formarea unui amestec mecanic $\alpha + \gamma C$ între formațiunile aciculare (figura 6.41.) suficient de fin pentru a bloca deplasarea dislocațiilor.

In figura 7.14. se constată că variația gătuirii nu respectă pe deplin cele descrise. Se precizează din nou că corelația proprietăților mecanice cu structura este îngreunată de marârul mare de constituenți, în special de faza Γ care se regăsește în planul de ruptură a probelor și care afectează mult comportarea materialului și se pare că gătuirea la rupere este cea mai perturbată de prezența acesteia.

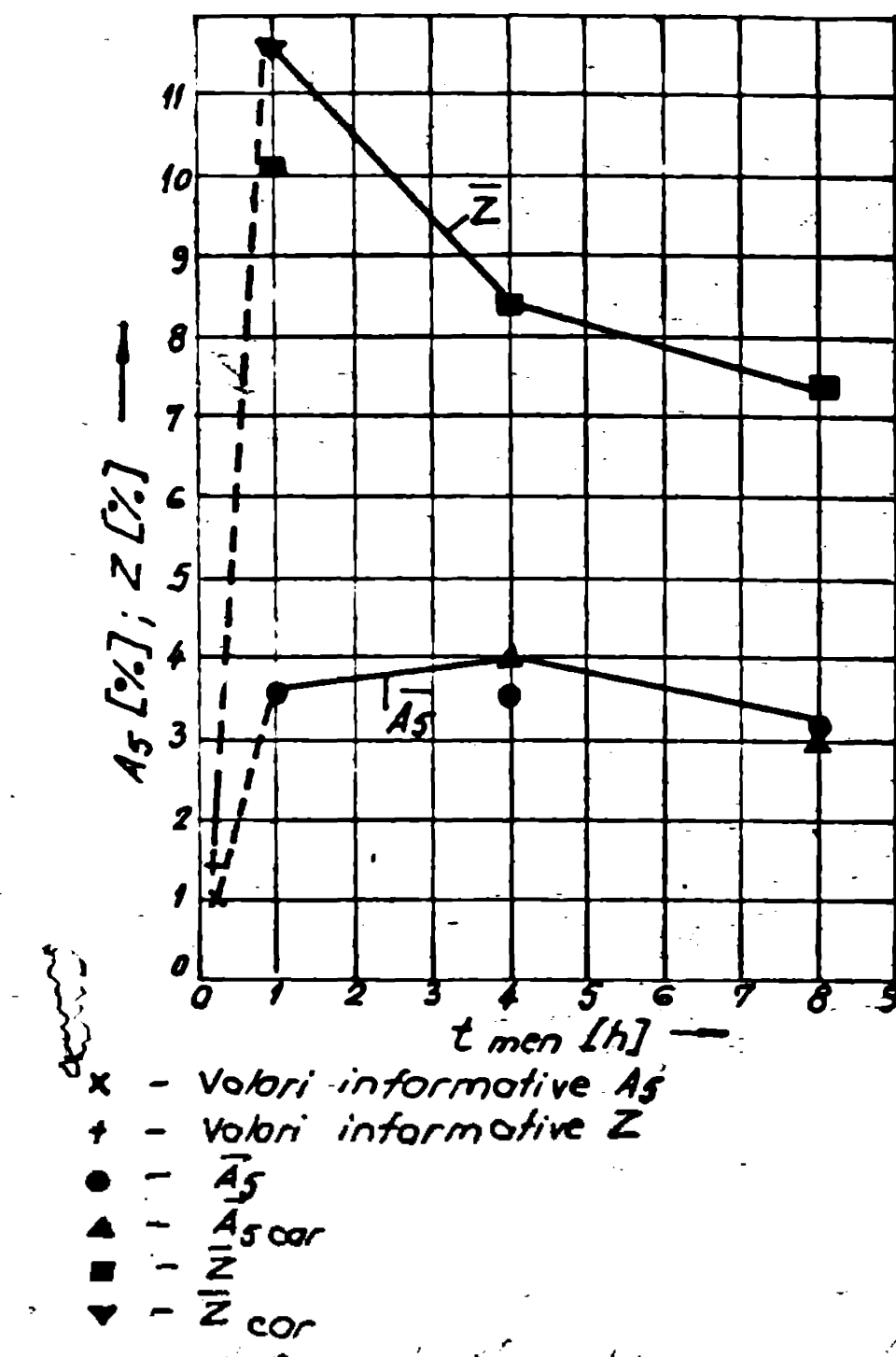


Fig. 7.14. Variatia caracteristicilor de plasticitate ale probelor tratate termic varianta C_1C_2D functie de durata de mentinere

In figurile 7.15. si 7.16 ordinea stărilor de tratament termic respectă ordinea crescătoare a duratălor de menținere (în acestă inclusiv și repetarea ciclurilor de tratament termic) pînă la variantele $DC_2C_1C_2D$ respectiv $C_1C_2DC_2D$.

Grafcile menționate relevă caracteristici de tractiune foarte bune și pentru varianta $2C_1C_2D(8)$ mai ales în ceea ce privește caracteristicile de plasticitate (figura 7.16.). S-ar putea că varianta de tratament termic $2C_1C_2D(8)$ să conducă de fapt la rezistențe la rupere mai mari decît varianta $C_1C_2D(4)$, date fiind o va-

locare experimentală foarte bună (659 N/mm^2) și alungirii și gătuirii cu valori maxime în comparație cu oricare altă stare de tratament termic analizată. Valorile acestea ridicate se explică prin transformările structurale care au avut loc, în special prin coalescență și globularizarea precipitărilor de fază α și separării în cantitate maximă ale soluției solide α .

Varianta de tratament termic $DC_2C_1C_2D(4)$ asigură proprietăți mecanice interesante, dar finățea precipitărilor nu permite atingerea de valori interesante pentru alungirea și gătuire la rupere

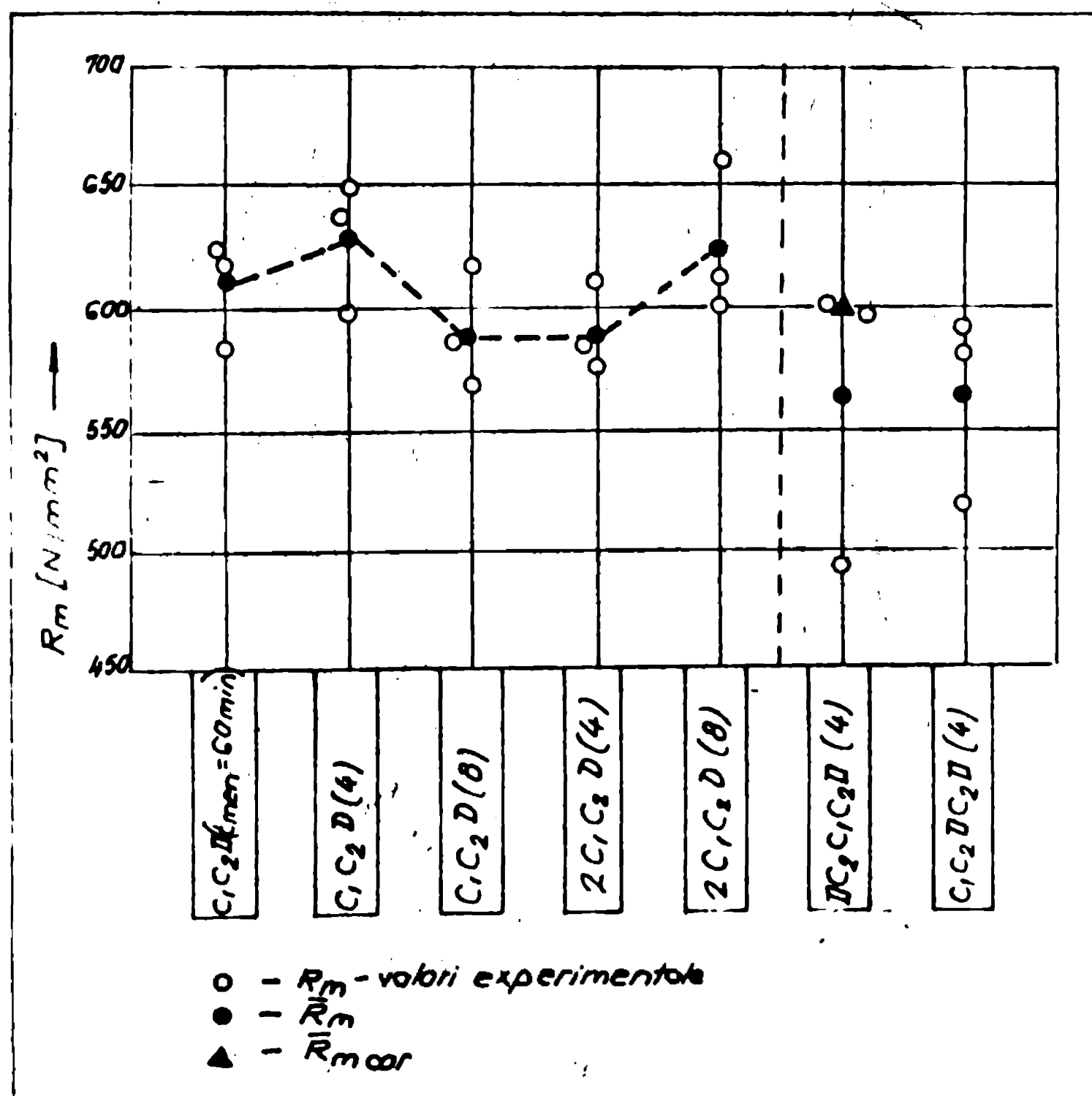


Fig. 7.15. Variația rezistenței la rupere ale probelor tratate termic în varianta $0,950^3C + C_2 + D$ cu diverse durate de mantinere sau termociclate

Varianta $C_1C_2DC_2D(4)$ conduce la valori apropiate de cele obținute prin varianta $C_1C_2D(4)$ dar cantitatea mai mare de precipitări are efect fragilisant.

Resultatele încercărilor la încovoiere prin gec sunt prezentate în tabelul 7.15. și reprezentate grafic funcție de varianță de tratament termic aplicat, în figura 7.17.

Din valorile tabelate și din graficul de variație ale acestora rezultă că probele tratate termic varianta $2C_1C_2D(8)$ conferă bronzului analizat cele mai ridicate caracteristici de tenacitate în comparație cu toate stările de tratament analizate.

Caracteristicile de tenacitate înregistrează o creștere odată cu creșterea duratălor de menținere ceea ce se explică prin disolvarea dendritelor de fază χ , coalescența precipitărilor.

În final au fost efectuate încercări sclerometrice pe probe tratate $C_1950^{\circ}C + C_2 + D$ cu diverse durate de menținere respectiv prin termociclare și rezultatele sunt prezentate în tabelul 7.16, împreună cu interpretarea lor statistică. Dispersia valorilor este mare, dar folosind interpretarea statistică s-a reușit construirea unui grafic elovent (figura 7.18.).

Se poate constata scăderea durății cu creșterea duratei de menținere, adică cu disolvarea dendritelor fazei χ . Creșterea cantității de precipitări χ la varianta $2C_1C_2D(8)$ conduce la o tendință de creștere a durății.

Se pare că duritatea Brinell este afectată de mărimea și cantitatea fazei χ în măsură mai mare decât de celelalte transformări structurale.

În concluzie se desprind două variante de tratament termic secundar pentru probe turnate din bronzul de aluminiu studiat - varianta $C_1C_2D(4)$ și $2C_1C_2D(8)$. Prima este mai ușor de realizat, dar a doua se impune cind fragilitatea materialului ar trebui să fie oț mai mică. Față de starea turnată, aceste două variante de tratament termic conduc la o creștere a rezistenței la rupere cu 38%, a alungirilor la rupere de peste 2,8 ori, a giftuirii de 4,9 ori și a energiei de rupere de 2,3 ori, creșteri relative care sunt remarcabile mai ales în ceea ce privește creșterea proprietăților plastice și de tenacitate, dar și în comparație cu valorile extrase din literatură de specialitate (tabelul 1.1.). S-a plecat de la un material cu caracteristici modeste datorită prezenței fazei γ_2 în cantitate mare, dar și a fazei τ și în urma termociclierii s-a obținut caracteristici ce concurează bronsurile de aluminiu cu 5% Fe și 5% Ni.

- 141 -

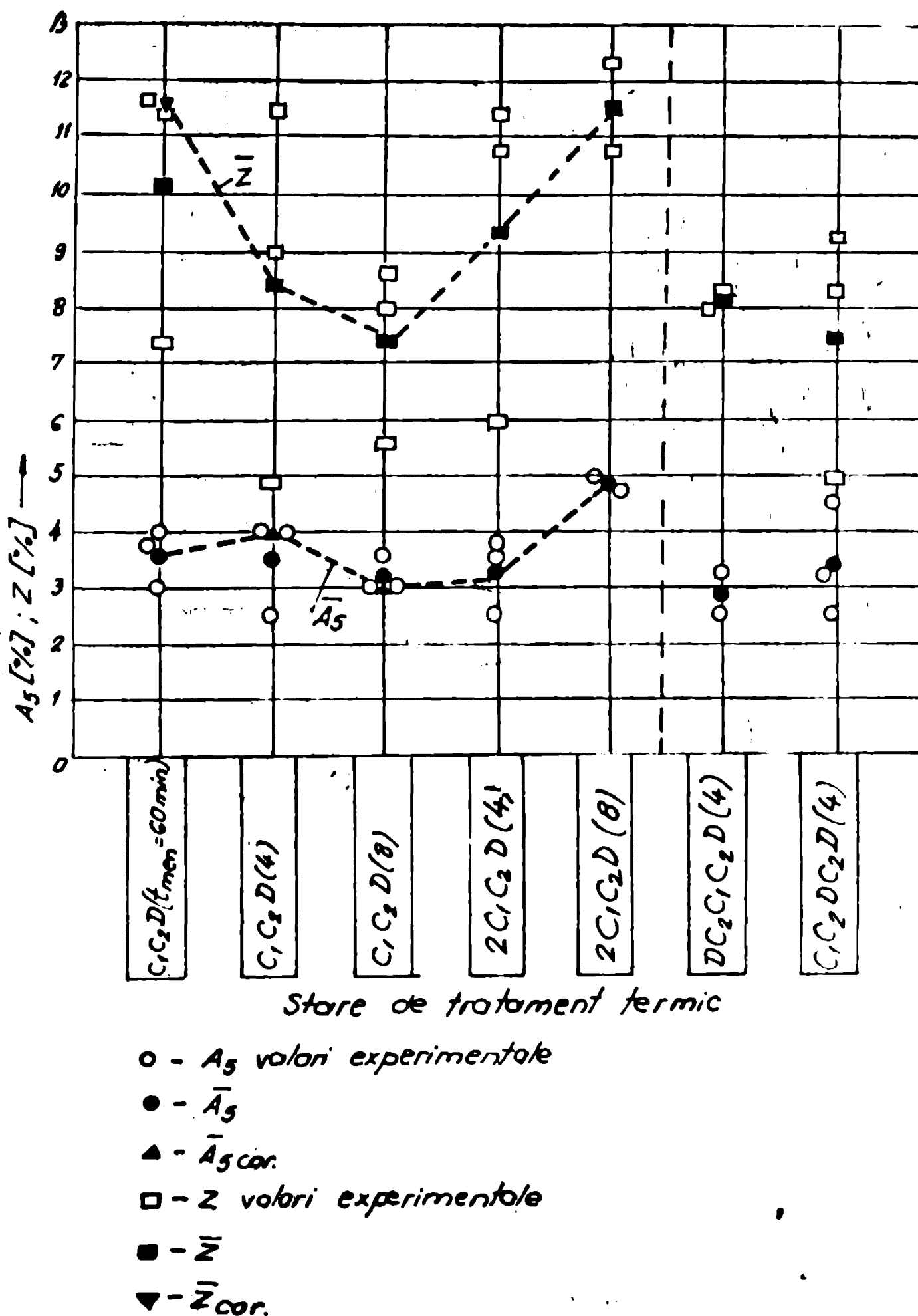


Fig. 7.16. Variatia caracteristicilor de plasticitate ale probelor termociclate

Tabelul 7.15. Energiea de rupere și reziliența KCV a probelor tratate termic în varianta $C_1 950^{\circ}\text{C} + C_2 + D$ cu diferite durături de menținere sau termociclete

Stare (simbol)	Mărime probă	KV [J]	$\bar{K}\text{V}$	KCV [J/cm ²]	$\bar{K}\text{CV}$
Turnat + $C_1 C_2 D$ ($t_{men}=60$ min) Conf. tab. 7.14	35	7	8	8,48	9,77
	36	9		11,01	
	41	8		9,82	
Turnat + $C_1 C_2 D(4)$	1	9	8,66	10,99	10,5
	2	9		10,88	
	3	8		9,65	
Turnat + $C_1 C_2 II(8)$	13	9	10	10,98	12,12
	14	10		12,15	
	15	11		13,23	
Turnat + $2C_1 C_2 D(4)$	4	9	9,66	10,98	11,74
	5	10		12,09	
	6	10		12,15	
Turnat + $2C_1 C_2 D(8)$	16	11	11,66	13,33	14,06
	17	12		14,32	
	18	12		14,54	
Turnat + $D C_2 C_1 C_2 D(4)$	7	9	8,66	10,78	10,36
	8	9		10,76	
	9	8		9,56	
Turnat + $C_1 C_2 DC_2 II(4)$	10	11	9,66	13,35	11,74
	11	10		12,08	
	12	8		9,79	

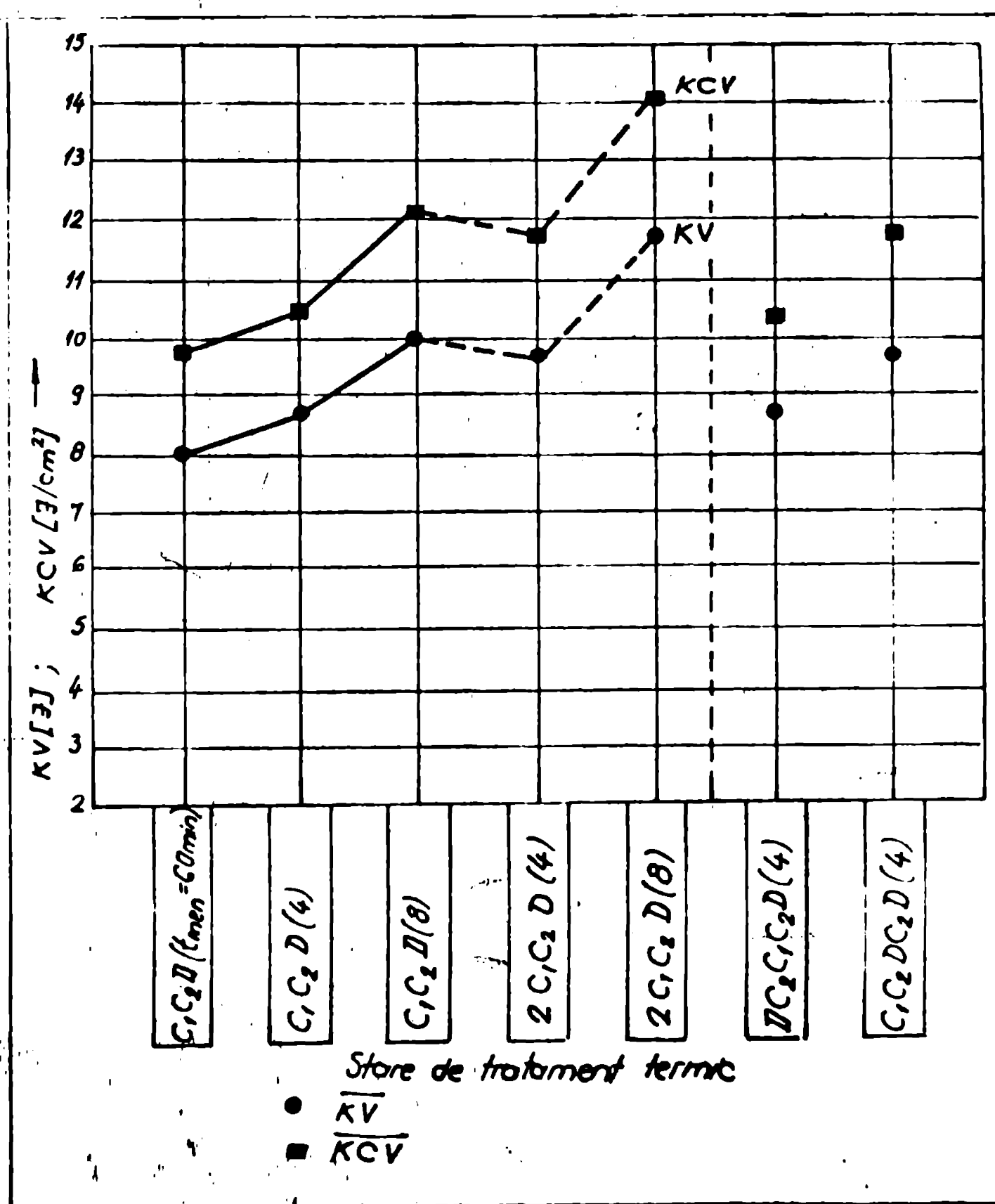


Fig. 7.17. Variația energiei de rupere și a rezilienței KCV a bronzului Cu4NiFe4Mn11M, termoclasat

Tabelul 7.16. Duratarea probelor termociclate

Store (Symbol)	Método Morco probó votan exprim. ordenar	$\overline{H\beta}$	$\frac{M+O}{H\beta}$	J	v	$\Sigma_5; 0,95$	Secundo	$\overline{H\beta}_{cor}$	Medio $\overline{H\beta}_{cor}$	Obs.
0	0	0	0	0	0	0	0	0	0	0
Turnat + C, 950°C/ 60 min + C ₂ 650°C/ 90 min Conf. tab. 7.12	35 36	229; 233; 242; 236; <u>251</u> 225; 229; 233; 233; 232	240,2 231,4	9,09 9,36	1,18 1,22	1,67 1,67	P P	—	—	10 11
Turnat + C, C ₂ D (4) Conf. fig. 3.9	41	214; 229; 233; 237; <u>242</u>	231	10,65	1,03	1,67	P			
Turnat + C, C ₂ D (4) Conf. fig. 3.9	1 2 3	182; 207; 212; 214; <u>225</u> 219; 218; 225; 225; <u>233</u> 191; 194; 218; 225; <u>229</u>	208,4 222,4 214,06	16,1 8,29	- 1,27	1,63 1,67	P P			
Turnat + C, C ₂ D (8) Conf. fig. 3.9	13 14 15	177; 200; 200; 200; <u>207</u> 171; 171; 185; 185; <u>200</u> 177; 177; 191; 204; 204	196,8 182,0 191,2	11,49 9,35	- 1,72 1,5	1,67 1,46	E E	200 207	Secundario no 177; 207	191,2
Turnat + 2 C ₁ C ₂ D (4) Conf. fig. 3.9	4 5 6	169; 177; 177; 204; <u>211</u> 185; 185; 194; 200; 200 171; 177; 179; 185; <u>191</u>	187,6 192,8 190,5	18,62 18,68	- - - - -	1,67 1,67 1,67 1,67	P P P P			

Tableau 7.16. (continued)

	0	1	2	3	4	5	6	7	8	9	10	11
Turnout +	16	<u>179</u> ; 185; 194; 200	191,0		9,34	-1,34	1,67	0				
$C_1 C_2 D(\theta)$	17	171; 177; 185; 194; <u>214</u>	188,2	192,73	16,81	1,53	1,67	0				
Conf. fig. 3. 9												
	18	<u>185</u> ; 200; 200; 207	<u>198,0</u>		8,08	-1,65	1,67	0				
Turnout	7	200; 200; 207; <u>210</u> ; <u>218</u>	207,8		8,13	1,25	1,67	0				
$D C_2 C_1 C_2 D$	8	<u>197</u> ; 207; 210; 218; <u>222</u>	213,8	209,46	12,19	-1,37	1,67	0				
Conf. fig. 3. 10												
	9	185; 194; 200; 218; <u>237</u>	206,8		20,75	1,45	1,67	0				
Turnout	10	185; 185; 194; 200	192,8		-	-	-	-				
$C_1 C_2 D C_2 D$	11	<u>218</u> ; 225; 225; 237; 237	228,4	213,6	8,35	-1,24	1,67	0				
Conf. fig. 3. 11												
	12	<u>194</u> ; 200; 225; 237; <u>255</u>	222,2		25,44	1,28	1,67	0				

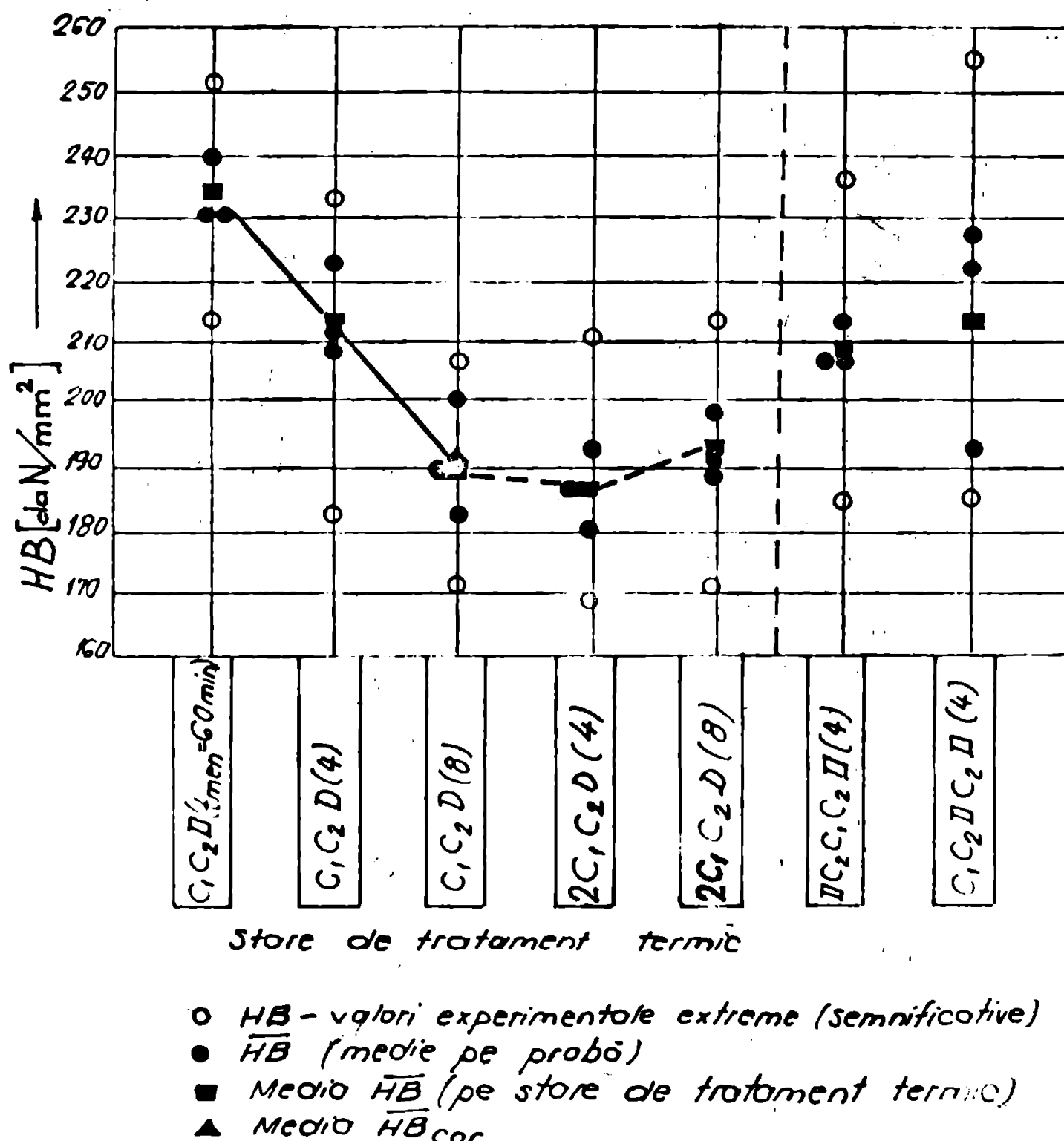


Fig. 7.18. Duritatea bronzului termociclet

Se precizează că variantele complexe de tratament termic efectuate conform ciclogramelor din figurile 3.12. - 3.17., la care s-au încercat alte temperaturi T_2 (diferite de 650°C), alte temperaturi de revenire etc., au condus la proprietăți mecanice mai slabe decât cele obținute în urma aplicării variantelor C_1C_2D și a termociclarilor. Aceste încercări însă au demonstrat că numai termociclările efectuate conform figurii 3.9. conduo la cele mai bune proprietăți mecanice și au parametri tehnologici optimi. De asemenea se precizează fragilitatea deosebită a probelor călitate și supuse revenirii la 400°C datorită separărilor în cantitate mare a fazei γ_2 (cap. 6.8.). Valorile proprietăților mecanice determinate, nefiind interesante pentru usul practic, ele nu au fost stipulate în prezentă lucrare.

7.5. Concluzii

Analiza proprietăților mecanice R_m , A_5 , Z , KV , KCV , $HB_5/250/15$ ale probelor călitate de la temperaturi cuprinse în intervalul $700...1000^\circ\text{C}$, călitate dublu $C_1 + C_2$ 650°C , tratate în variante C_1C_2D sau termociclate a fost făcută funcție de parametrul T_1 , temperatura de încălzire pentru călărea C_1 . Varianta proprietăților mecanice a fost corelată cu rezultatele analizoi metalografice. Cu toate că stabilirea interdependențelor structură-proprietăți mecanice s-a făcut separat pentru fiecare tip de tratament termic final, s-au desprins cîteva concluzii generale:

- reducerea fragilității materialului și în consecință creșterea caracteristicilor de plasticitate precum și a valorii de rezistență și tenacitate se obține prin reducerea conținutului de fază γ_2 în structură și prin disolvarea dendritelor fazei X ;
- creșterea conținutului de soluție solidă α conduo la creșterea proprietăților mecanice;
- corelația proprietăți-structură este îngreunată de numărul mare de constituenți strucurali și de prezența fazei T .

Rezultatele încercările mecanice confirmă concluziile capitolului 6, privind stimularea separărilor de fază X și frinarea apariției fazei γ_2 prin variantele C_1+C_2 ; C_1C_2D de tratament termic dar mai ales prin termociclare.

Termociclarea $2C_1C_2D(3)$ este varianta de tratament termic fin 1 care conferă bronșului turnat cele mai bune proprietăți mecanice și anume: $R_m = 620...660 \text{ N/mm}^2$; $A_5 = 5 \%$; $Z = 11,5\%$; $KCV = 14 \text{ J/cm}^2$ și $HB = 193 \text{ dol/mm}^2$, valori acordabile cu cele care se

obțin la bronsuri cu un conținut de 4,5...5,5 % Ni (cu 40...72 % mai mare).

In consecință pentru usor industrial se recomandă ca tratament termic final aplicat pieselor turnate:

- călire $950^{\circ}\text{C}/8\text{h}/\text{H}_2\text{O}+10\%\text{NaCl}+\text{călire } 650^{\circ}\text{C}/8\text{h}/\text{H}_2\text{O}+$
 $10\%\text{NaCl}+\text{revenire } 150^{\circ}\text{C}/3\text{h}/\text{aer și repetarea acestui ciclu}$
 $(20_1\text{C}_2\text{D}(8))$

Dacă caracteristicile de plasticitate și tenacitate impuse pieselor folosite au valori mai reduse ($A_3=4\%$; $Z=8\%$), atunci se recomandă aplicarea următoarelor tratamente termice finale.

- călire $950^{\circ}\text{C}/4\text{h}/\text{H}_2\text{O}+10\%\text{NaCl}+\text{călire } 650^{\circ}\text{C}/4\text{h}/\text{H}_2\text{O}+$
 $10\%\text{NaCl}+\text{revenire } 150^{\circ}\text{C}/4\text{h}/\text{aer}.$

CAPITOLUL 8

COMPORTAREA BRONZULUI CU ALUMINIUM LA USURA ABRAZIVA SI IN MEDII COROZIVE

8.1. Comportarea in conditii de usura abraziva

8.1.1. Introducere

Una din proprietățile foarte importante ale bronzurilor de aluminiu, care le face competitive din punct de vedere tehnic dar și economic cu alte materiale care prezintă bune caracteristici de tractiune și o înaltă rezistență la coroziune este buna rezistență la usură abrazivă. De aceea, au fost efectuate mai multe etape de încercări la usură abrazivă. Încercările preliminare au fost comunicate /42/. Încercările ulterioare au fost efectuate în paralel cu metoda călărilor successive.

8.1.2. Probe și metodica de lucru

Din bronzul de aluminiu studiat au fost supuse călării, călării duble, călării duble următi de revenire joasă, călării și reveniri medii, probe de usură Ø 10x25 mm. Apoi s-a efectuat încercarea la usură abrazivă pe un abrasometru folosind hîrtie NORTON în do cu caracteristici echivalente hîrtiei HCal6 recomandată în STAS 3639-74. Încercările au fost efectuate conform standardului menționat urmîndu-se usura macioă produsă. Se precizează că usura macioă a fost determinată cu ajutorul unei balanțe analitice.

8.1.3. Rezultate experimentale și interpretații

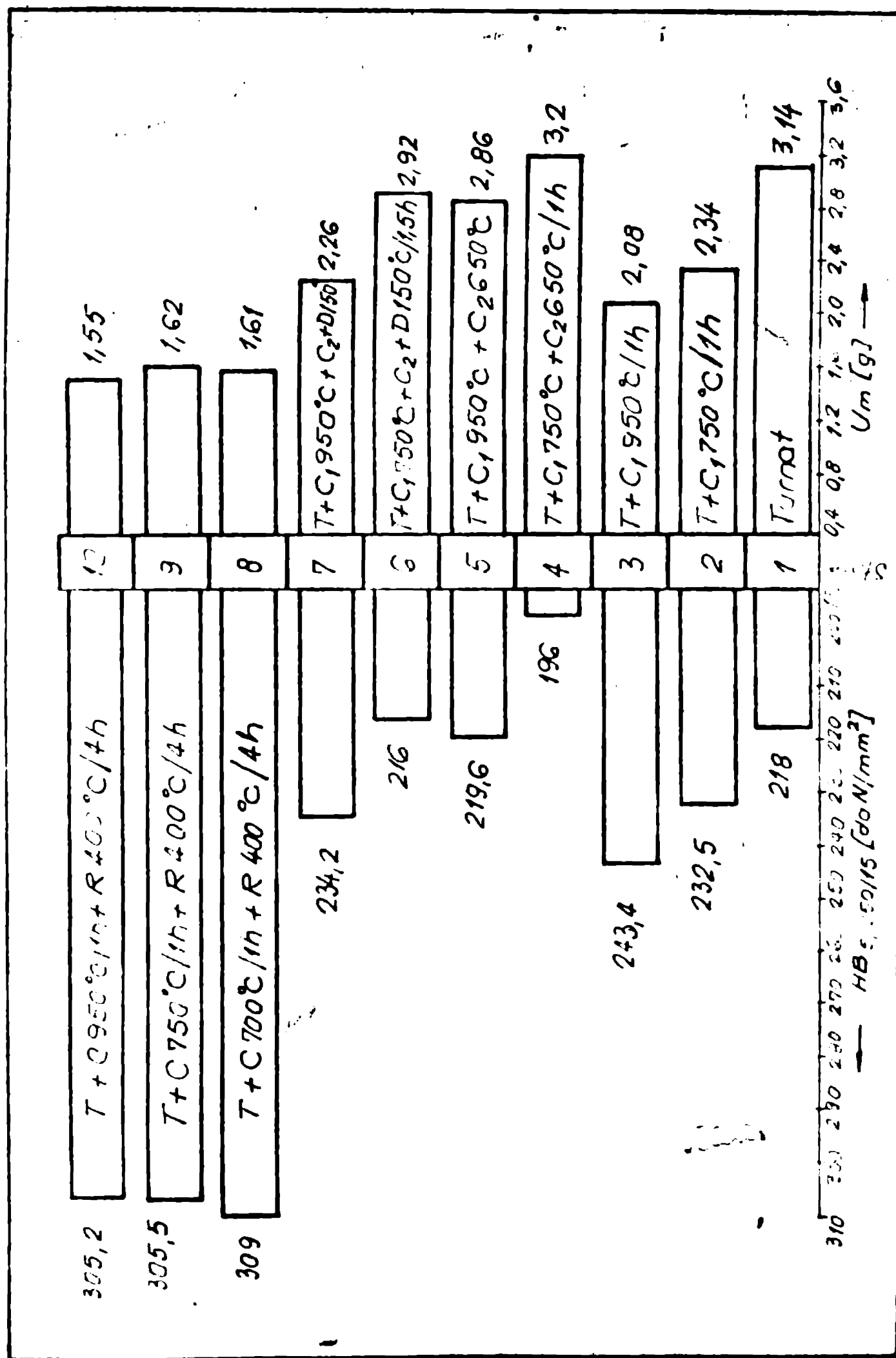
Usura macioă apărută în trei minute de încercare este prezentată în tabelul 8.1. Se observă că în general tratamentele termice măresc rezistența la usură a bronzului studiat, fapt explicabil prin reducerea heterogenității structurii prin tratamente termice. Exceptie face călărea dublă $C_1 750^\circ C + C_2$. Această lucru este însă în corelație cu structura și duritatea obținute. Călărea dublă de la $750^\circ C$ conduce la o duritate mică ($HB = 196 \text{ dHN/mm}^2$) și la prezența în structură a zonelor de soluție solidă și proeutectoide, care oferă un punct de atac pentru particulele abrazive ale hîrtiei metalografice (figura 6.24.).

Pentru a urmări mai lese influențe tratamentelor termice aplicate asupra rezistenței la uscare respectiv usurii masice, s-a construit graficul din figura 8.1, în care se prezintă și duritatea

Tabelul 8.1. Usura masică și relativă a bronzului CuAl₁₀Fe₄₅I₄Zn₁ în diverse stări de tratament termic

$\Sigma \frac{U_m}{U_R}$	Starea de tratament termic (Simbol)	Usura masică [g]	Usura relativă (U_R)	Media U_m [g]	OBS.
1	Turnat	3,1418	—	3,1407	Considerați etalon pt. cokului U_R
	Turnat	3,1396	—		
2	$T+C, 750^\circ C / 60\text{ min}$	2,3442	0,7463	—	
3	$T+C, 950^\circ C / 60\text{ min}$	2,1634	0,6888	2,0837	
	$T+C, 950^\circ C / 60\text{ min}$	2,0040	0,638		
4	$T+C, 750^\circ C + C_2 650^\circ C$	3,2116	1,0225	3,2047	
	$T+C, 750^\circ C + C_2 650^\circ C$	3,1973	1,0181		
5	$T+C, 950^\circ C + C_2 650^\circ C$	2,9340	0,9341	2,8612	
	$T+C, 950^\circ C + C_2 650^\circ C$	2,7885	0,8878		
6	$T+C, 750^\circ C + C_2 + D 150^\circ C$	2,8597	0,9105	2,9286	
	$T+C, 750^\circ C + C_2 + D 150^\circ C$	2,9975	0,9544		
7	$T+C, 950^\circ C + C_2 + D 150^\circ C$	2,2852	0,7276	2,2657	
	$T+C, 950^\circ C + C_2 + D 150^\circ C$	2,2451	0,7148		
	$T+C, 950^\circ C + C_2 + D 150^\circ C$	2,2668	0,7217		
8	$T+C, 950^\circ C / 1h + R 400^\circ C / 4h$	1,6137	0,5138	—	
9	$T+C, 750^\circ C / 1h + R 400^\circ C / 4h$	1,6243	0,5171	—	
10	$T+C, 950^\circ C / 1h + R 400^\circ C / 4h$	1,5899	0,5062	1,5566	
	$T+C, 950^\circ C / 1h + R 400^\circ C / 4h$	1,5234	0,485		

Figura 8.1. Dependență usurii masice de starea de tratament termic a bronzului de aluminiu CuAl₁₀Pt₄Ni₄Mn₇ în corelație cu duritatea



medie a probelor în diferitele stări. Astfel, se relevă clar interdependența, proporționalitatea inversă, între uzura masică și duritatea bronzului studiat. Se constată că stările fragile C+R400°C conduc la o uzură ^{masică} redusă, dar și stările mult mai tenace ca C₁950°C+C₂+D prezintă o rezistență la uzură bună explicable prin repartitia uniformă a fazelor dure β și χ în structură.

Dată fiind tendința actuală de a înlocui bronzurile de staniu cu cele de aluminiu, a fost comparată uzura masică a bronzului CuSn14T/45/, cu datele experimentale obținute. Dacă se consideră uzura masică a bronzului CuSn14T, determinată în condiții identice cu cele în care a fost testat bronzul CuAlloFe4Ni4Mn1Ti, egală cu 3,149 se constată că bronzul studiat prezintă în stare turnată aproximativ aceeași uzură, dar în starea tratată C₁950°C+C₂+D, o uzură relativă:

$$U_R = \frac{2,2657}{3,149} = 0,719$$

ceea ce indică o rezistență la uzură cu cca 30% mai ridicată, iar pentru starea C 950°C + R 400°C o uzură relativă:

$$U_R = \frac{1,5234}{3,149} = 0,483$$

ceea ce semnifică o rezistență la uzură de peste două ori mai mare.

8.2. Comportarea în medii corozive

8.2.1. Date bibliografice

Una din cele mai importante caracteristici ale bronzurilor de aluminiu este stabilitatea lor foarte ridicată în cele mai diverse medii corozive. Datorită faptului că aliajele Cu-Al formează la suprafață pelicule de oxizi stabili, pasivizanți, cu temperatură de topire ridicată, fenomenele de coroziune intercristalină s-au formele speciale de coroziune fisurantă sub tensiune nu se întâlnesc practic în bronzurile de aluminiu,/8/. Acest lucru este valabil atât în cazul aliajelor monofazice dar și în cele plurifazice pluricomponente, în special în cazul alierii complexe cu Fe și Ni. Trecerea fierului de preferință în soluția solidă, și a nichelului în alte faze complexe duce la o egalizare a potențialelor electro-chimice și în ciuda heterogenității constituenților strucurali asemenea aliaje complexe au valori ale rezistenței la coroziune deosebit de ridicate într-o mare varietate de medii corozive, /8/,/34/,/53/. De exemplu bronzurile cu 9...10% Al și cu adăugiri mici de Ni și Fe (3...5%), sunt rezistente la coroziune în majoritatea acizilor în măsura în care acesteia nu sunt puternic oxidanți. Față de acidul sulfuric asemenea aliaj

sunt stabile într-un domeniu de concentrație de 15...70% chiar și la temperaturi apropiate de temperatura de fierbere. Aliajele Cu-Al sunt stabile față de toate basele cu excepția hidroxidului de amoniu (dar și aci vîrteza de coroziune este redusă), față de multe săruri în special clorurile metalelor alcaline și ale aluminiului, cloruri, nitrati și sulfati. Aceste proprietăți fac din nefiocuit aliajele Cu-Al în industria chimică mai ales în industria potasiului datorită rezistenței lor la coroziune în soluție de KCl îngrogat, în industria na-valii date fiind atât rezistența ridicată la coroziune în apă do mare, chiar dacă aceasta are temperaturi ridicate dar și datorită unei rezistențe la cavităție cu mult mai mare decât a altor aliage de cupru, (alame, bronsuri de staniu, aliage Cu-Ni), a oțelurilor carbon și a fontelor și care întrece chiar și pe cea a oțelurilor cu 13% Cr și a celor din familie 18/8.

Se precizează că în literatura de specialitate bronzurile de aluminiu sunt cunoscute ca având o înaltă rezistență la oxidare la cald fapt constatat și de autor în timpul ciclurilor îndelungate de tratament termic care au fost aplicate bronzului CuAl₆Fe₄Ni₄MnTi, studiat.

8.2.2. Rezultări experimentale

Probe de coroziune 3x20x50 (STAS 7114-80) au fost supuse tratamentelor termice reprezentative din vastul program efectuant apoi încercate conform STAS 7114-80, adică probele au fost fierite 15 ore într-o soluție formată din 160 gr Cu₂SO₄, 100 ml H₂SO₄; 1000 ml apă distilată și agchii de cupru electrolitic. Apoi probele au fost supuse încovoiierii la 90°. Bronzul studiat având proprietăți plastice reduse, s-a rupt complet atât probele martor cît și cele fierite în mediul corrosiv. Unguiul la care s-a rupt probele nefiind relevant, s-a măsurat adâncimea punctelor de coroziune cu lumină interferometrică cîstom Nomarski. Rezultatele obținute sunt prezentate în tabelul 3.2. Pentru a putea face o comparație între adâncimea de pătrundere a coroziunii la bronzul studiat cu adâncimea de pătrundere la alte materiale rezistente la atacul chimic au fost luate spre comparație rezultatele experimentale obținute în același condiții de încercare pe două oțeluri inoxidabile și care sunt prezentate în tabelul 8.3.

În figura 8.2 s-a reprezentat grafic adâncimea de coroziune înregistrată pe probe confecționate din bronzul analizat, în diverse cărări de tratament termic în comparație cu două mîrci de oțeluri inoxidabile. Se constată imediat buna rezistență la coroziune a bronzuilui studiat. Starea oțelului, în special de la temperaturi finale

**Tabelul 8.2. Rezultatele încercării la corozione a
bronzului CuAl₆Fe₄Ni₄Mn₇ în diverse stări
de tratamente termice**

Mar- cuj probă	Stare (Simbol)	\mathcal{L}^*	Adâncimea punctelor de corozione [μm]	\bar{x}	s
5.1	Turnat	15	Probă martor	—	—
5.2	Turnat	7	23; 21; 24; 23; 24; 22; 24 22; 24; 23	23	1,05
5.3	Turnat	10	24; 24; 20; 23; 24; 21; 24; 22; 23; 21	22,6	1,5
2.1	T + Rp $\bar{\gamma}$ 5	20	Probă martor	—	—
2.2	T + Rp $\bar{\gamma}$ 5	23	7; 6; 5; 7; 7; 6; 7; 5; 5; 5;	6	0,89
2.3	T + Rp $\bar{\gamma}$ 5	21	7; 2; 4; 7; 6; 5; 6; 6; 7; 7; 7; 3	5,58	1,72
6.1	T + Călire 850°C	14	Probă martor	—	—
6.2	T + C, 850°C	8	17; 20; 15; 15; 18; 19; 16 17; 16; 16; 5	16,95	1,64
6.3	T + C, 850°C	13	11; 12; 5; 6; 16; 10; 13; 11; 13; 5; 15; 15	12,5	2,51
3.1	T + C, 850°C + C ₂₆₅₀	16	11,5; 11; 12; 11,5; 11,5; 10; 10; 12; 11; 11,5	11,2	0,71
3.2	T + C, 850°C + C ₂	22	12; 10; 8,5; 9; 12,5; 11,5; 11; 11,5; 12; 12	11	1,37
3.3	T + C, 850°C + C ₂	21	Probă martor	—	—
4.1	T + C, 950°C	11	Probă martor	—	—
4.2	T + C, 950°C	25	18; 20,5; 25; 16; 17,5; 24,5 15; 16; 23; 25	20,05	4,03
4.3	T + C, 950°C	18	21; 23; 18,5; 17; 25; 24; 26,5 23; 18; 16; 16	20,2	3,51
7.1	T + C, 950°C + C ₂₆₅₀	9	Probă martor	—	—
7.2	T + C, 950°C + C ₂	9	10; 11,5; 11,5; 9; 12,5; 12; 10; 11; 10,5; 12	11	11
7.3	T + C, 950°C + C ₂	15	13; 10; 9; 9,5; 9; 12; 11,5 11; 11,5; 11,5	10,8	1,35
1.1	T + C, 950°C + C ₂ + D	21	Probă martor	—	—
1.2	T + C, 950°C + C ₂ + D	12	11; 11; 10; 9,5; 10; 9; 12,5 12; 10; 10,5	10,55	1,09
1.3	T + C, 950°C + C ₂ + D	17	10; 10,5; 10,5; 11; 9,5; 12 11,5; 12; 11,5; 11	10,95	0,83

Tabelul 8.3. Adincimea de coroziune la oțeluri inoxidabile

Material	Adincimea de coroziune [μm]	\bar{x}	s
10 TiMoNiCr 170	15,8; 17,5; 16; 14; 19,8 24,5; 27,2; 29,4	20,3	5,78
10 TiNiCr 180	38; 37; 36; 46; 49; 25; 28	37	8,67

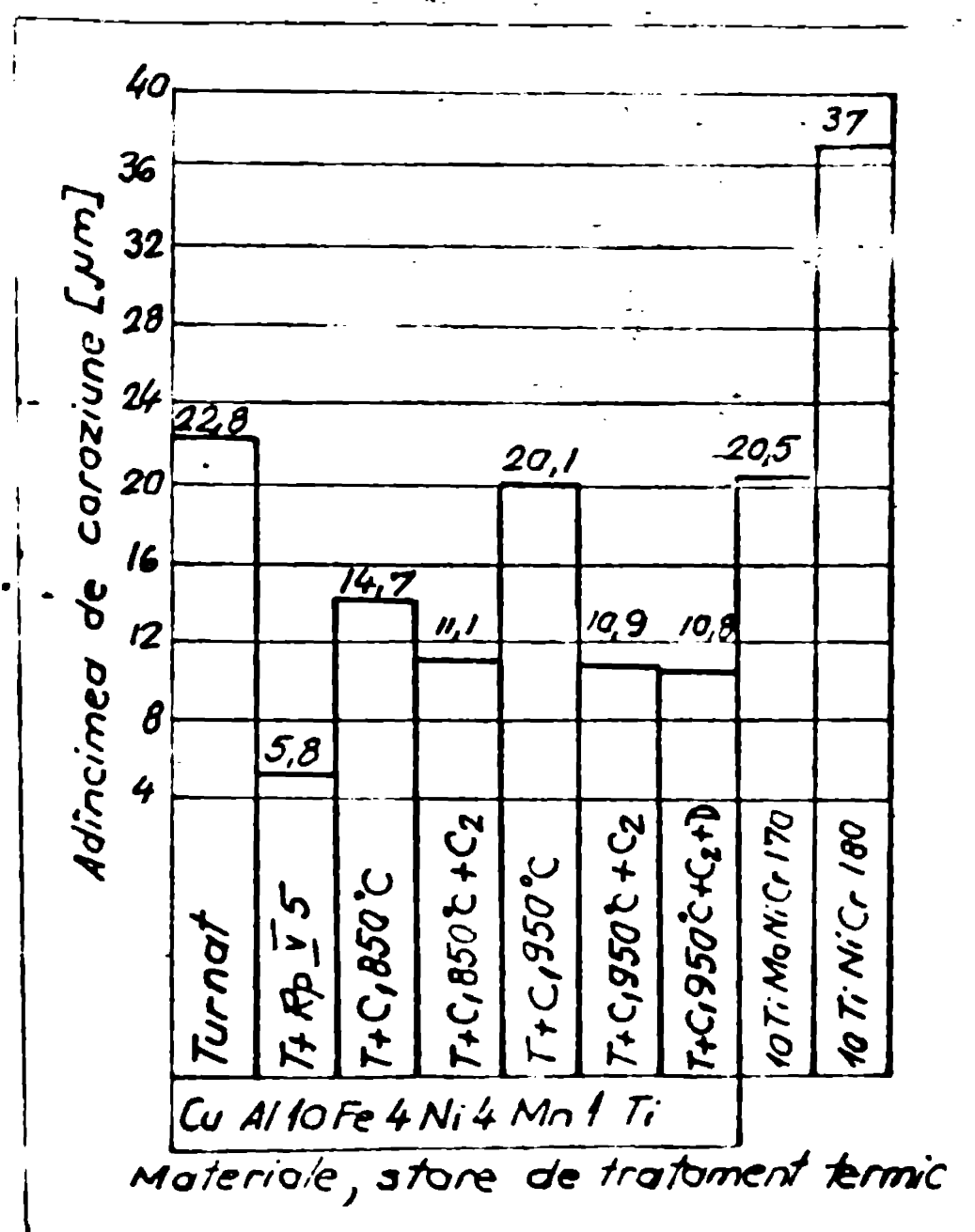


Figura 8.2. Comportarea la coroziune a bronzului CuAl10Fe4Ni4Mn1Ti

(350°C) cu faza X (NiFe_2Al) parțial dizolvată prezintă o mai slabă rezistență la coroziune decât stările în care faza X este fin disperată. Se pare că faza X conduce la egalizarea potențialelor electrochimice și deci la micșarea rezistenței la coroziune. Cea mai bună rezistență la coroziune se înregistrează pentru starea rezonantă pendulară, explicabilă prin dispersia fină a fazelor X și γ_2 în structură cu efect de egalizare a potențialelor electrochimice. În comparație cu oțelul FeTiMoNiCr175 stabilizat, rezistența la coroziune este peste 3,5 ori mai mare. Similar, în stările C_1+C_2 respectiv $\text{C}_1+\text{C}_2+\text{D}$, separările de fază X , cauzate de aceste tratamente termice, conduc la bune rezultate (rezistența la coroziune dublă față de FeTiMoNiCr175). Structura eterogenă, de turnare, se prezintă cu rezistență la coroziune bună în comparație cu oțelul inoxidabil FeTiMoNiCr175 dar mai alese față de FeTiMoCr13C fină, față de stările tratate termic, starea neterminată ceea ce mai sensibilă la acțiunile agenților chimici.

8.3. Concluzii

Încercările la usură au reliefat o foarte bună rezistență la usură abraivă a bronzului studiat chiar și în comparație cu bronzul CuJn14T (care admite presiuni de contact de $1200...1400 \text{ daN/cm}^2$).

Variatia rezistenței la usură funcție de tratamentul termic aplicat este invers proporțională cu variația durată. Experimentele au arătat efectul negativ al prezenței soluției solide α sub formă poliedrică asupra rezistenței la usură. Rezistență la usură bună se obține pentru stări cu o dispersie uniformă a fazelor dure în matrice.

Pentru uz industrial se recomandă aplicarea tratamentului de căldură de la 950°C urmată de revenirea acelașă la 450°C atunci când se impune o rezistență la usură cît mai mare, chiar în dauna proprietăților mecanice. Când se impun atât proprietăți mecanice bune, în special o tenacitate ridicată, cît și o bună rezistență la usură, se recomandă aplicarea variantelor de tratament termic $\text{C}_1950^{\circ}\text{C}+\text{C}_2+\text{D}$.

Cercetările experimentale au confirmat datele bibliografice care apreciază bronzurile de aluminiu complex aliante ca fiind foarte rezistente la coroziune.

Datele experimentale oferă atât valori concrete cît și o comparație cu oțeluri inoxidabile uzuale.

S-a constatat că structurile în care fazele X și γ_2 sunt uniform disperse în matrice conferă materialului o rezistență la

coroziune mai mare. Faza γ_2 dar mai ales faza χ joacă un rol deosebit în egalizarea potențialelor electrochimice.

Pentru un industrial se recomandă aplicarea recocacerii pendulară RpV care conduce la o rezistență la coroziune de 4 ori mai mare față de starea turnată. Când se cer piese cu proprietăți mecanice ridicate dar și cu rezistență la coroziune bună, atunci se recomandă aplicarea variantei $C_1950^0C + O_2 + D$ de tratament termic care conduce la o rezistență la coroziune dublă față de starea turnată.

Rezultatele prezentate în acest capitol demonstrează că bronsul de aluminiu studiat posedă simultan proprietăți mecanice ridicate, rezistență la uzură foarte bună și o rezistență excepțională la coroziune în foarte multe medii agresive.

Îmbinarea acestor proprietăți și valorile ridicate ale caracteristicilor analizate comparativ cu alte materiale face ca bronsurile de aluminiu complex aliate să fie tehnic și economic competitive, de neînlocuit cind apar simultan solicitări mecanice, chimice și de uzură (ca de exemplu în pompale de noroi pentru industria petrolieră).

CAPITOLUL 9

CONCLUZII FINALE

Se face inițial o trecere în revistă a principalelor date bibliografice privind bronzurile de aluminiu complex aliata cu Fe și Ni, subliniind totodată datele contradictorii. Astfel, se remarcă divergențe privind mecanismul și cinetica transformărilor în afara de echilibru dar mai ales existența unui număr redus de date privind mecanismele și cinetica transformărilor în revenirea bronzurilor călitate. În privința tratamentelor termice primare există o mare lacună în literatura de specialitate. Ca tratament termic final se recomandă de regulă îmbunătățirea, dar atât regimurile de lucru cît și rezultatele obținute diferă de la autor la autor. În acest context se subliniază că în STAS 203-75 și STAS 193/2 -do nu sunt nici un fel de prescripții pentru tratamentul termic al bronzurilor de aluminiu.

Analizând o mare varietate de bronzuri de aluminiu complex aliata, prezentate în diverse publicații s-a elaborat bronzul Cu-AlloFe4Ni4Mn7, nestandardizat și cu un conținut de nichel cu cau 1,5 % mai scăzut decât sortimentul cu AlloFe5Ni5 standardizat. Strucțura de echilibru a acestui aliaj este formată din fazele α , γ_2 și χ , în concordanță cu diagramele pseudobinare analizate. Faza γ_2 fiind puternic fragilisantă, prezenta și în structură, în amestecul mecanic eutectoid $\alpha + \gamma_2$, explică proprietățile mecanice modeste obținute pe probe prelevate din bare turnate dar și une sub semnul întrebării proprietățile bune cu care își caracterizează mîrcile similar diversi producători (/59/, /62/). Tot un rezultat dintrual opus datelor bibliografice a constituit reducerea proprietăților mecanice în urma forjării, efect explicitat prin disoluarea parțială a dendritelor fazei χ la temperatură de fojare și separarea ei fină și uniformă dispersată în timpul rădăririi, ceea ce conduce la blocarea deplasării dislocațiilor.

Cercetările efectuate au avut ca scop atât studiul transformărilor structurale care au loc în timpul diferitelor tratamente termice primare și secundare cît și determinarea unor variante de tratament termic care să conducre la creșterea proprietăților mecanice în special a caracteristicilor de plasticitate. De asemenea, a fost analizată faza I, constituent structural care a fost observat în microstructura bronzului studiat care nu este descris în li-

teratura de specialitate iar în ultimul capitol a fost analizată comportarea bronzului studiat la uscare și în medii corozive.

O contribuție teoretică importantă o constituie adaptarea metodei bilanțului aleator (Random) pentru rezolvarea unor probleme de metalurgie fizică, metodă care permite ierarhizarea rapidă și corectă a variabilelor independente funcție de intensitatea efectului lor asupra fenomenului studiat. Metoda bilanțului aleator este prima etapă în experimentarea statistică, planificată care pregătește analiza regresională și calculele de optimisare. Rezultatele obținute pe bronzul studiat, în parte cele așteptate, în parte surprinzătoare ca de exemplu influența deosebită a stării de livrare asupra rezistenței la rupere a bronzului CuAl₆Fe4Ni4MnTi, au orientat cercetările ulterioare spre elucidarea transformărilor structurale în timpul tratamentelor termice și spre stabilirea unui tratament termic optim.

Pentru a înțelege mai bine transformările structurale care au loc în timpul tratamentelor termice și a stabili judecțios temperaturile de tratament termic au fost efectuate analize dilatometricce care au reliefat:

- la încălzire
- o transformare ordine-desordine în intervalul 100...200°C;
- o transformare eutectoidă $\alpha \rightarrow \gamma_2 \rightarrow \beta$;
- transformarea $\alpha \rightarrow \beta$ suprapusă cu transformarea $\alpha \rightarrow \beta$;
- la răcire
- separări imediate ale fazei α din β ;
- transformarea $\beta \rightarrow \alpha$;
- transformarea eutectoidă $\beta \rightarrow \alpha + \gamma_2$; ultimele două cu un pronunțat histerezis. Dispersia rezultatelor experimentale nu a fost dependentă de direcția de prelevare a probelor ci numai de stare (turnat, forjat, recopă).

Studiul a cinci variante tehnologice de recoacere pendulară a reliefat următoarele:

- varianta RpI are efect de reconcere simplu și conduce la poliedrizarea soluției solide α însăcătă de creșterea numărului și mărimiilor precipitărilor fazei γ_2 ;
- varianta RpII are un efect similar, dar mai intens și în plus apără o finisare și globulizare a amestecului mecanic eutectoid $\alpha + \gamma_2$ precum și formarea unor zone de amestec $\alpha + \gamma_2$.

denumite generic "eutectoid nou";

- varianta RpIII conduce la o dispersie mai uniformă a fazelor dure γ_2 și χ în soluția solidă α , accentuându-se formarea "eutectoidului nou" dar vitezele de răcire mai mari decât cea de echilibru favorizează și apariția unor zone de tip "bainită granulară";

- varianta RpIV conduce la o structură de tip "bainită aciculată";

- varianta RpV conduce, în cazul probelor forjate, la o dispersie omogenă a fazelor dure γ_2 și χ în soluția solidă α îndată cu dispariția zonelor de soluție solidă α pre-eutectoidă și cu diminuarea aproape completă a diferențelor între zonele de "eutectoid nou" și "vechi". În cazul probelor turnate, transformările sunt similare, dendritele de fază χ nefiind afectate însă de transformările din matrice, care decurg mai lent decât în cazul probelor forjate;

- varianta RpV conferă cele mai avantajoase caracteristici structurale probelor forjate;

- încercările mecanice au arătat că transformările structurale induce prin recoacerea RpV probelor forjate conduce la o creștere cu circa 76 % ale rezistenței la rupere (la aproximativ 530 N/mm^2) și la ameliorarea proprietăților plastice față de starea forjată și pregătirea structurii pentru tratamentul termic final;

- recoacerea RpV nu este eficientă în cazul semifabricatelor turnate, deoarece nu conduce la o creștere semnificativă a proprietăților mecanice și nici la pregătirea structurii pentru tratamentul termic final, deoarece dendritele fazei χ nu sunt afectate de acest tratament termic. În concluzie se recomandă pentru uzul industrial aplicarea variantei V de recoacere pendulară semifabricatelor forjate;

Studiul constituentului structural, de formă geometrică regulată, care nu este descris în literatura de specialitate și care a fost numit convențional "faza T" a reliefat că aceasta este o soluție solidă pe baza compozitului Fe_2Ni , în care, prin difuzie au fost substituți atomii de Fe și Ti cu atomii componentelor. Faza T conține 40,7...34,64 % Fe; 21,61...25,55 % Ti; 3,04...3,30% Si; 2,08...2,44 % Ni; 1,20...1,69 % Al; 0,36...0,90% Mo; 0,41...0,62% Mn; rest cupru.

Variatia cantității elementelor la trecerea de la matrice la fază T și analiza prin fluorescență cu raze X au arătat o disper-

ale neuniformă a elementelor pe secțiunea fazei T, acumularea siliciului în straturile ei marginale și formarea unei "bariere" de nichel în jurul ei.

Faza T este dură, duritatea ei fiind dependentă de tratamentul termic aplicat.

Prezența fazei T în structura bronzului studiat are un efect nefavorabil asupra proprietăților mecanice, deoarece favorizează apariția de zone de rupere fragilă în material.

Se conchide că faza T este o incluziune dăunătoare ceea ce impune limitarea conținutului de Ti la nivel de modifier.

Studiul transformărilor structurale care au loc în timpul tratamentelor termice secundare an confirmat sumarile date bibliografice privind transformările în tipul călirii, dar aceste date sunt incomplete și aprofundate, deoarece s-a aplicat metoda călirilor successive, utilizând temperaturi de călire cuprinse în intervalul $650\ldots 1000^{\circ}\text{C}$. Aplicarea metodei călirilor successive a permis precizarea transformărilor structurale funcție de temperatură de încălzire. Sintetic, mecanismul transformării, diferențiat pe nivele de temperatură a fost prezentat în figura 6.49.

Se reține că în urma călirii se obține o structură "martensitic" caracterizată de prezența "martensitei β' " și a precipitărilor de fază χ în interiorul ei.

Transformările structurale induse prin revenirea bronzurilor de aluminiu călite au mecanisme mai complexe decât cele prezентate în literatura de specialitate și depind de temperatura de călire și tratamentul termic primar aplicat. Astfel, pentru probe turnate, călite de la 950°C s-au evidențiat:

- separări de fază χ în interiorul fazelor β_1 și β' la revenirea la 350°C și păstrarea aspectului "martensitic";

- transformări $\beta_1 \rightarrow \beta + \chi$, $\beta' \rightarrow \alpha + \gamma_2$ la temperaturi de $500\ldots 550^{\circ}\text{C}$ care conduce la structuri cu aspect "troostitic" și "sorbitic" și la care au fost surprinse diferitele etape de transformare prin microscopie electronică.

Revenirea probelor călite la 1000°C provoacă transformări structurale după un alt mecanism, caracterizat prin separări de soluție solidă α în limite de grăunți și sub formă aciculată în interiorul grăunților.

Se precizează că "revenirea la 650°C " descrisă în literatură de specialitate a fost privită dintr-un punct de vedere original și oricum s-a constatat că ea reprezintă de fapt o călire incompletă din domeniul $\alpha + \beta + \gamma_2 + \chi$.

Analizele efectuate au permis precizarea complexelor transformări care au loc atât la răcire cu viteze mari de la 650°C respectiv la răcirea în aer. S-a constatat că răcirea bruscă de la 650°C conferă tratamentului termic de "înhășitare" caracter de călăre dublă care stimulează separările de fază χ și frânează apariția fazei fragilisante γ_2 . În consecință călărea dublă este mai avantajoasă decât tratamentele termice clasice de călăre-revenire.

Studiul transformărilor structurale infuse prin călăre dublă a fost aprofundat folosind metoda călărilor succesive ceea ce a permis evidențierea unor mecanisme diferite de transformare funcție de nivelul temperaturii T_1 de la care se efectuează prima călăre. În esență călărea dublă conduce la stimularea separărilor de fază χ și frânează apariția fazei γ_2 datorită faptului că refocul la $T_2 = 650^{\circ}\text{C}$ nu conduce la parcurserea transformărilor specifice revenirii ($\beta' \rightarrow \alpha + \gamma_2$) ci la modificarea compoziției "martensitei" β' : $\beta'_{T_1} \xrightarrow{\text{ing } 650^{\circ}\text{C}} \beta'_{T_2} + \alpha + \chi (+ \gamma_2) \rightarrow \beta'_{T_2} + \chi + \alpha + \chi (+ \gamma_2)$, ceea ce atrage după sine separări de soluție solidă α în limitele acelor de β' care se transformă într-o mărime mai mare sau mai mică într-un anestec mecanic $\alpha + \chi$.

Revenirea joasă la 150°C aplicată probelor călită dublă conduce la intensificarea separărilor de soluție solidă α în limite acelor de β' , la evansarea decompunerii "martensitei" în $\alpha + \chi (+ \gamma_2)$ și la separări de χ în α .

Variantele de termociclare conduc la accentuarea transformărilor descrise, deoarece se caracterizează prin durată mai mare de menținere sau și prin repetarea ciclurilor de călăre dublă ($T_1 = 950^{\circ}\text{C}$; $T_2 = 650^{\circ}\text{C}$) și revenire joasă (150°C) și la o tendință marită de coalescență a precipitărilor fazei χ . Variantele de termociclare (figura 3.9.; 3.10.; 3.11.) conduced la separări sporite de soluție solidă α , separări sporite de fază χ și coalescență accentuată datorită disoluției în mărime sporită a dendritelor acestei faze, la frâneră apariției fazei γ_2 , fapt evidentiat și prin difracția razei X (figura 3.18. enam).

Termociclarea $2\text{C}_1\text{C}_2\text{D}$ (8) conduce la cea mai avantajoasă structură cu separări maxime de α , cu dendritele fazei χ proiecte complet disolvate și precipitații globulare de χ .

Studiul proprietăților mecanice ale probelor tratate termic prin călăre, călăre dublă, călăre dublă urmată de revenire joasă și termociclate au reliefat o strânsă corelare a acestora cu microstructura. Din analiza rezultatelor și corelației structură-

proprietăți sunt desprins următoarele concluzii generale:

- reducerea fragilității materialului și în consecință creșterea caracteristicilor de plasticitate precum și acelor de rezistență și tenacitate se obține prin reducerea cantității de fază T_2 în structură și prin disoluarea dendritelor fazei α ;

- creșterea cantității de soluție solidă α conduce la creșterea proprietăților mecanice;

- corelarea proprietăți-structură este îngreunată de numărul mare de constituanți strucțurali și de prezența fazei T_2 .

Încercările mecanice au confirmat că tratamentele termice de călărie dublă, călărie dublă urmată de revenire joasă și variantele de termociclare conduc la frinarea apariției fazei T_2 .

Termociclarea $2C_1C_2D(8)$ este varianta de tratament termic final care conferă bronzului turnat cele mai bune proprietăți mecanice; $R_m = 620...660 \text{ N/mm}^2$, $A_s = 5\%$, $\zeta = 11,5\%$; $KOV = 14 \text{ J/cm}^2$ și $HB = 193 \text{ dHN/mm}^2$.

ACESTE PROPRIETĂȚI SINT ASCUNDITOARE CELOR CARE SE OBȚIN LA BRONZURI DE ALUMINIU COMPLEX ALIATE DAR CU UN CONȚINUT DE 4,5...5,5 % NI (DE 40...72 % MAI RIDICAT). DIN ACEST MOTIV SE RECOMANDĂ APLOAREA VARIANTEI $2C_1C_2D(8)$ ÎN PRACTICĂ INDUSTRIALĂ.

Încercările la uzură și coroziune au demonstrat importanța tehnică deosebită a bronzurilor de aluminiu, deoarece ele posedă simultan proprietăți mecanice ridicate, rezistență la uzură foarte bună și o rezistență la coroziune excepțională. Din acest motiv, bronzurile de aluminiu complex aliate sunt tehnice și economic competitive, de neînlocuit cind apar solicitări mecanice asociate cu medii corosive și condiții de uzură intensă (de ex. la pompele de noroi pentru industria petrolieră).

Se apreciază că prezenta teză de doctorat a demonstrat calitățile deosebite ale bronzului CuAlloFe4Ni5Mn1, căile de mărire a spectrului proprietăților mecanice, chimice și tehnologice și se propune cuprinderea în STAS 198 și STAS 203, deoarece permite obținerea unor performanțe deosebite în condițiile reduse-rii consumului de nichel cu 1...1,5 %.

Efectul economic al introducerii bronzului cu 4 % Ni ca sortiment standardizat, ca alternativă la bronzul cu AlloFe5Ni5 ar fi deosebit: se-ar economisicca 1...1,5 t de nichel la 100 t produs. În concluzie se apreciază că economia de nichel este însemnată și tematica abordată prin teză se încadrează în problemele

prioritare în economia ţării noastre.

În sinteză se apreciază că teza de doctorat aduce următoarele contribuții teoretice:

1. Studiul posibilității de reducere a conținutului de nichel în bronzurile de aluminiu complex aliata prin elaborarea unui bronz de aluminiu de structură $\alpha + \chi + \gamma_2$ cu conținut scăzut de nichel și testarea acestuia;

2. Precizarea prin analiză dilatometrică a transformărilor structurale care au loc la încălzirea și recirea bronzului elaborat;

3. Adaptarea metodei bilanțului aleator pentru problemele metalurgiei fizice;

4. Conceperea unor variante complexe de tratament termic final ca termociclare;

5. Analiza transformărilor structurale induse de cinci variante de recocere pendulară;

6. Analiza evoluției proprietăților mecanice ale bronzului CuAl₁₀Fe₄Ni₄ în fișă funcție de tratamentul termic primar aplicat. Datele obținute prin analiza metalografică a probelor recopate pendular în corelație cu rezultatele încercărilor mecanice contribuie la înălțarea lacunei existente actualmente în literatura de specialitate.

7. Analiza fazei T, constituent care nu este descrisă în literatura de specialitate. S-a reușit precizarea compoziției chimice a fazei T, a aspectului și microstructural, a variației elementelor în această fază și la trecerea de la matrice la faza T, a duratării și și a influenței acesteia asupra naturii ruperii bronzului analizat.

8. Precizarea complexelor transformări structurale care se întâmplă în timpul tratamentelor termice finale: călire; călire urmată de revenire; călire dublă; călire dublă urmată de revenire joasă; termociclare într-o manieră mai amplă decât analizele prezentate în literatura de specialitate, folosind metoda călăririlor succesive. Se precizează că transformările structurale evidențiate sunt mai complexe decât cele descrise în literatura de specialitate și că s-a reușit, prin analiza electromicroscopică dar și clasică, asociată cu difracția razei Röntgen, să se surprindă etape caracteristice de transformare.

9. Analiza evoluției proprietăților mecanice cu tipul și parametrii tratamentului termic final aplicat, aceste rezultate fiind corelate cu datele analizei metalografice.

10. Cercetarea comportării bronsului studiat, în diverse variante de tratament termic în solicitări de uzură.

11. Studiul rezistenței la coroziune a bronsului CuAllo-Fe4Ni4Mn1Ti în diverse stări de tratament termic, în corelație cu microstructura.

Din contribuțiile cu caracter direct aplicativ se enumerează :

1. Precizarea proprietăților mecanice ale bronsului Cu-Allo-Fe4Ni4Mn1Ti în stările de livrare turnat și forjat;

2. Precizarea unei variante de tratament termic primar care îmbunătățește caracteristicile de rezistență ale semifabricatelor forjate și le ameliorează caracteristicile de plasticitate și totodată îl pregătește structura pentru tratamentul termic final. Varianta optimă este recocacarea pendulară RpV.

3. Stabilirea efectului nefavorabil al fazei T asupra comportării la rupere a bronsului studiat și în concluzie recomandarea de a limita conținutul în Ti la nivel de modificator (cca 0,01%).

4. Stabilirea variantei optime de tratament final pentru produse confecționate din semifabricate turnate. Varianta optimă este termociclarea $2C_1C_2D(3)$.

5. Stabilirea variantelor de tratament termic care asigură o foarte bună rezistență la uzură a bronsului studiat.

6. Stabilirea variantelor de tratament termic care asigură o excelentă stabilitate a bronsului considerat în medii corosive. Se precizează că rezistența la coroziune a bronsului studiat este superioară celorlor inoxidabile austenitice ușuale.

7. Înăind cont de posibilitatea realizării unei incenziuni economii de nichel prin utilizarea bronsului CuAllo-Fe4Ni4Mn1Ti ca alternativă a bronsului CuAllo-Fe5Ni3 se recomandă cuprinderea bronsului analizat în STAS 198 și STAS 263.

PROBLEME DE PERSPECTIVĂ

Prezenta sesă de doctorat nu poate să nu și-a propus elucidarea tuturor temelor naturii legate de problema bronsurilor de aluminiu.

Astfel se consideră că ar fi interesantă aprofundarea cunoştinţelor privind faza T, care, ca și alti compuși intermetalici poate să ascundă proprietăți utile tehnicii de vîrf.

Cu toate că au fost amplu și cîndîlos analizate transformările structurale care sunt cauzate de tratamentele termice primare și secundare, se cunoaște încă prea puțin natura și efectul transformărilor de ordine-dezordine.

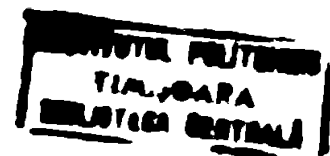
Din punctul de vedere al practicienului se impune cercetări, eventual conceperea de noi variante complexe de tratament termic final, care să conducă la scurtaarea duratălor mari de menținere. În fine, conform tradiției înșelătorite la colectivul timișorean, se impune elaborarea unui bronc pentru folosirea în domeniul criogenic.

Autorul speră că prin cercetările făcute să contribuie la lărgirea domeniului de utilizare a bronzurilor de aluminiu, la utilizarea ratională a acestora și la economisirea nichelului.

B I B L I O G R A F I E

1. S. P. ALISOVA,
P. B. BUDBERG,
2. S. P. ALISOVA,
P. B. BUDBERG,
3. S. P. ALISOVA,
P. B. BUDBERG,
4. G. BENGER,
5. L. CINCA,
6. L. CINCA
7. L. CINCA,
8. L. CINCA,
9. L. CINCA,
10. G. CIUCU, V. CRAIU
- Diagrammi sosteiania metalliceeskikh sistem-opublikovannie v 1964 godu-vol. I. proizvodenie-tsvetnoe-kombinat viniči;Moskva, 1966.
 - Diagrammi sosteiania metalliceeskikh sistem-opublikovannie v 1972 godu-vol. XVIII, proizvodstvenno-izdatelskii kombinat viniči;Moskva 1975
 - Diagrammi sosteiania metalliceeskikh sistem-opublikovannie v 1971 godu -vol. XVII. Komb. viniči -Moskva 1973
 - La dilatometrie différentielle appliquée à l'étude des aciers. Ed. Dunod Paris 1965
 - Cercetări privind structura și proprietățile aliajului de cupru cu 10% aluminiu călit și recuit, după deformare plastică prealabilă-Studii și cercetări de metalurgie, Tom. 15, Nr. 2, 1970, p. 165-177
 - Îmbunătățirea proprietăților bronsurilor din aluminiu bifezic prin tratament termomecanic de temperatură finală-Metalurgia 36(1976) nr. 1, p. 30-37
 - Tratamentul termic al bronsurilor cu aluminiu din domeniul bifazic-Metalurgia 29 (1977) nr. 3.
 - Posibilități de creștere a performanțelor bronsurilor cu aluminiu prin tratament termic și termomecanic-Metalurgia 29(1977) nr. 11, p. 619-622
 - Contribuții la studiul posibilităților de îmbunătățire a proprietăților aliajelor Cu-Al din domeniul bifazic prin tratament termic și termomecanic.Teză de doctorat, 1976
 - Introducere în teoria probabilităților și statistică matematică. Ed. Didactică și Pedagogică București 1971

11. CUCURUZ,
- Program de calcul pentru evidențierea factorilor semnificativi în sistemele de acțiuni tehnologice. Inst. de învățământ superior Mircea Vlăduț. Lucrari științifice vol.3, serie B 1981. Scărilești dubiliard 13-a, p.167-173
12. L. S. COCOSCU, C. CUCURUZ,
- Studiu preliminar privind stabilirea parametrilor tehnologici de bază la tratamentul termic al bronzurilor de aluminiu CuAl6FeNi4Cu2Mg folosind metoda evidențierii statistică. Jurnalul de Comunicații științifice, ICSB-București, 1984.
13. A. BODY; J. VIDAS
- Traité de métallurgie structurale, Paris, Ed. Dunod 1962.
14. A. DOMSA, S. DOMSA
- Materiale metalice în construcție de mașini și instalații, vol.I, vol.II, Ed. Dafis, Cluj-Napoca, 1982.
15. F. HABERL-JAHNIGE, H. LOHIS,
- Elementare Legierungsprozesse bei der Kovikation, Appi. Hoch. Rev. Bd. 66.
16. S. GRDEA, M. PREARESCU,
- Metallurgie fizică și studiul metalelor, vol. II, ZEP București 1961
17. S. GRDEA, M. PROTOPOPESCU,
- Aliaje neferonice, E.T. București, 1965
18. R. CHID, - Teoria structurală a proprietăților metalelor, ED. SP, București, 1980
19. L. GUILLOT,
- Traité de métallurgie, revue, vol. III, Résultats. Ed. Dunod, Paris 1934
20. KEDLEY,
- Talk on Manganese-Copper based Alloys ATB Metallurgie XVIII-1-1978
21. U. HÜBNER, H. STEINKE,
- Tungsten von Stahl-Aluminium-Bor-Kohf-Legierungen durch Abschrecken und Anlassen. Metall 23 Jg., Mai 1969 Heft 5
22. D. V. ILIESCU, V. GH. VORO, - Statistica și toleranțe Z.F. București, 1977
23. S. JIN și colectiv
- Grain refinement through thermal cycling in a Fe-31-24 eutectic alloy, California University STIS (National Technical Information Service, 5205 Springfield).
24. I. S. KAMENICIOVII
- Scurt manual al tehnologiei termice, Maoghis, 1963



25. I. LAKHTINE,
- Metallographie et traitements thermiques des métaux -Ed. Mir, 1978 Moscou.
26. LANDOLT, BORNSTEIN,
- Zahlenwerte und Funktionen aus Physik, Chemie, Astronomie, Geophysik, Technik, vol. IV/2/b, Springer Verlag, Berlin-Göttingen-Heidelberg-New York 1964
27. M. N. MAL'JEV,
- Metallografia promielenih čvetnih metallov i splavov. Metallurgija 1970
28. A. N. LINKEVICI,
- Tratamentele termochimice ale metalelor și aliajelor. E.T. București, 1968
29. I. MITALEA,
- Contribuții la studiul mecanismului de durificare prin tratament termomecanic a oțelurilor criogenice cu bază de nichel. Tesz de doctorat, 1977
30. I. MITALEA,
- Studiul metalelor. Lat. IPT 1983
31. D. R. MOCANU și colectiv - Încercarea materialelor vol. I și II E.T. București 1982
32. N. N. MULLER,
A. V. AGAFONOVA,
- Proprietățile mecanice ale aliajelor din sistemul Cu-Al-Pe. Metallovedenie i obrabotka metallov, nr. 3/1979
33. ST. NADASAN și colectiv - Încercări și analize de metale, E.T. București, 1965
34. L. PAGETI-ALMONE, - Les cupro-aluminums ou fer Corrosion, Traitement, Protection, Finition 1971
35. R. PLANCK,
- Handbuch der Kältetechnik vol. I, Springer Verlag Berlin-Göttingen-Heidelberg 1954
36. R. PLANCK,
- Handbuch der Kältetechnik, vol. IV, Springer-Verlag, Berlin-Göttingen-Heidelberg, 1967
37. R. PLANCK,
- Handbuch der Kältetechnik-Band XII, Springer Verlag, Berlin-Göttingen-Heidelberg, 1967
38. H. REVELACION,
- Le traitement thermique du cuivre et de ses alliages; Chapitre IV-Trempe marten-sitique. Traitement thermique 135-79
39. H. SCHUMANN,
- Metalurgie fizică, E.T. București 1962
40. C. J. MILFHALLS,
- Metals Reference Book, Fifth Edition London-Boston, Butterworth 1978

41. N. N. SUKHOV
S. P. LAZARENKO,
V. I. JULAVLEV,
- Creanțe vîntî îz aluminiului bronsi. Izdatelstvo, Sudostroenie Leningrad 1971
42. M. FIRON,
- Prelucrarea statistică și informatică a datelor de măsurare, Ed. T. București, 1977
43. M. TRUSCULESCU,
44. M. TRUSCULESCU,
- Studiu comportării oțelurilor aliante cu
9,5Ni și 4,5Cr folosite la temperaturi joase.
Teză de doctorat, 1967
45. M. TRUSCULESCU,
L. R. CUCURUZ,
M. POPA,
- Efectul tratamentului termic de reconcreștere pendulară asupra proprietăților fizice, mecanice și tehnologice a bronzurilor CuAl14T.
Inst. de Inv. superior Tîrgu-Mureș-Lucrări
științifice, vol. III, seria A. 1981
46. M. TRUSCULESCU,
A. ISRAELA,
- Oțeluri inoxidabile și refractare, Ed. Pacla
Timișoara, 1983
47. M. TRUSCULESCU,
L. R. CUCURUZ,
- Posibilitatea de mărire a proprietăților mecanice a bronzurilor de aluminiu prin tratamente termice. Simpozionul de Studiu metalelor
și tratamente termice. Timișoara 11-12 dec.
1981, pag. 284-290
48. M. TRUSCULESCU,
L. R. CUCURUZ,
- Influența tratamentului termic asupra compoziției la uzură abrazivă a bronzurilor de aluminiu. Simpozionul de Studiu Metalelor și tratamente termice. Timișoara 11-12 dec. 1981,
pag. 423-428
49. M. TRUSCULESCU,
L. R. CUCURUZ,
M. POPA,
- Cercetări asupra separărilor de faze în timpul revenirii bronzurilor de aluminiu. Simpozionul de Studiu Metalelor și tratamente termice. Timișoara 11-12 dec. 1981, p. 150-158
50. M. TRUSCULESCU,
L. R. CUCURUZ,
R. D. PAJU,
- Morfologia fazelor bronzului Cu₁₁Al₆Fe₄Ni₄ năltit tratat termic. Sesiunea de comunicări științifice ICEN-București 1984
51. A. TRUSCULESCU,
L. R. CUCURUZ,
- Studii preliminare privind efectul tratamentului termomecanic asupra bronzurilor de aluminiu complex aliata. Sesiunea de comunicări
științifice ICEN-București 1984
52. JUCHY E.,
- Nickel-Aluminumbronzen, Nickel-Informationsbüro
Düsseldorf 1962

53. H.J. WALLBAUM,

- Über das Korrosionsverhalten von Werkstoffen auf Kupferbasis. Gießerei, Bd. 56 (1968) nr. 21, p. 637-642

54. P. WEILL-COULY,

- Techn. l'ea nr. 147 (1959), 37

55. E. WEPINCK,

- Influența unui tratament termomecanic asupra microstructurii și proprietăților mecanice ale unui aliaj Cu-Al. Zeitschrift für Metallkunde, Heft 4, Bd. 63, (1972) p. 214-217

56. P.C. T. WILLIAMS,

- Parametrii procesului de prelucrare prin eroziune electrică. Buletinul științific și tehnic al IPTV Timișoara, Seria Mec., Tom, 17(31) fascic. I 1972

57. X X X

- BIT-Sudarea nr. 3/1974

58. X X X

- Manualul inginerului metalurg vol. I, ST. București, 1978

59. X X X

- Metallindustria-Bond castings and forgings in 99,9% pure copper, chromium copper, beryllium copper, aluminum bronze, manganese bronze, naval brases and Manta metal, cupro-nickel, monel, Cromano (Mangan). Bd. 1977.

60. x x x

- Metals Handbook (ASM), vol. I, ediția 8 Cleveland 1961

61. x x x

- Metals Handbook, vol. II, ediția 8 Heat treating, cleaning and finishing. American Society for metals, Metalspark Ohio 1964

62. X X X

- Bruno Bruno. Fonderia di metalli non ferrosi prospect

63. X X X

- Mică enciclopedie de metalurgie. Ed. St. și enciclopedică, București, 1980

64. X X X

- STAS 198/1-80

65. X X X

- STAS 198/2-80

66. X X X

- STAS 203-75

67. x x x

- Colectie fișe AJTM

A N D R E A

Tabelul 2.1. Sortimente uzuale de bronzuri din aluminiu compuse cu fier și nichel

Nr. crt.	Simbol , marcă	C U M P O Z I T I A						C H I M I C A [‰]	Norma tehnică; producător
		Cu	Al	Fe	Ni	Mn	Alte elemente		
0	—	2	3	4	5	6	7	8	—
1	Cu Al 10 Fe 5 Ni 5	Rest.	0,5 - 11,5	2,0 - 6,0	4,0 - 6,0	0 - 2,0	—	0,5	STAS 203 - 75
2	Cu Al 9 Fe 5 Ni 5 T	Rest.	8,5 - 10,7	4,0 - 6,0	4,0 - 6,5	max. 1,5	—	0,5	STAS 198/1 - 80
3	Cu Al 9 Fe 5 Ni 5	Rest.	8,0 - 10,5	4,0 - 6,0	4,0 - 6,5	max. 1,5	—	0,6	STAS 198/2 - 80
4	GPaMCH10 - 4 - 4	Rest.	10	4	4	—	—	—	GOST 493 - 54
5	Bronzal 6; 78 Cu - 12 Al - 5 Fe - 5 Ni	75 - 80	11 - 13	4 - 6	4 - 6	—	—	Diferite + Mn : 0,6	Metall industria (Italia) 59
6	Bronzal 7; 81 Cu - 11 Al - 4 Fe - 4 Ni	78 - 84	9,3 - 11,5	3 - 5	3 - 5,5	—	—	Diferite + Mn : 1,5	Metall industria (Italia) 59
7	Al/Bz 10 Ni	79,5 - 85	8,5 - 10,0	2,5 - 5,3	3,0 - 6,0	max. 1,5	Si max. 0,2	Zn max. 0,5	DIN 17665
8	Al/Bz 11 Ni	74 - 78,5	10,5 - 12,5	4,8 - 7,3	5 - 7,5	max. 1,5	Si max. 0,2	Zn max. 0,5	DIN 17665
9	G - Ni Al/Bz F50	—	—	—	—	—	Si max. 0,1	Pt total : max. 0,3	DIN 1714
10	G - Ni Al/Bz F60	17,0 - 89,0	8 - 10,5	4 - 6	4 - 6,5	0 - 1,5	Pb max. 0,1	Zn max. 0,3	—
11	G2 - Ni Al/Bz F60	—	—	—	—	—	Sn max. 0,2	—	—
12	G - Ni Al/Bz F60	80	10,5	4,5	5	—	—	—	Ostermann (RFG) 41
13	G - Ni Al/Bz F70 ; Guss - Nickel - Aluminium bronze H	73 - 80	9 - 12	5 - 7	4,5 - 7	0 - 1,5	Si max. 0,1	Pb max. 0,1	DIN 1714
14	Cu Al 10 Ni	Rest	10,3	4,5	4,7	0,15	Zn max. 0,1	Si max. 0,1	DIN 17672
15	Al 2 (electrod sudură)	Rest	8,5 - 10,5	3,5 - 5,5	4,5 - 6,5	max. 1,5	Zn max. 0,5	Sn max. 0,1	Lufthoftrnorm Norma de înțepin- dere Interna W/H/A
16	Nikolium 18 2	Rest	9 - 11	4 - 5,5	4 - 5	0,5 - 1,5	—	P max. 0,1	Anglo, Stone Non- ganese Morine id.

Tabelul 2.1. (Continuare)

	1	2	3	4	5	6	7	8	9	10
10										
17	482-C	a.) b.)	Rest 9,5-10,5	3,5-5,5	4,5-6,5	1,5	-	-	Stone Manganese Marine Ltd (Anglia)	41
18	Cuniof	Rest	8-10	3-5,5	3-5,5	1-3	-	-	Lips (Olanda)	41
19	Niobiat	78,5	10	5	5	1,5	-	-	S.U.A; Baldwin-Lima Hamilton - Corpora- tion	41
20	Nibrol	Rest	9,25	4	5	1,5	-	-	S.U.A.; Internatio- nal Nickel Company	41
21	Cuniof	Rest	9,5	4,3	5	0,7			J.U.A. Bethlehem Steel Company	41
22	Cunickel	Rest	9,5	4,3	5	0,75				
23	Nantiof	78,0	9-11,5	3-5	3-5,5	max.3,5	-		S. U.A.	41
24	G-NiAlB ₂ FCO; 41cunick	78-81	9-10,3	3,5-5,5	4,5-5,5	0,5-1				
25	G ₃ -CuAl ₁₁ Fe ₄ Ni ₄ UNi 5275	Rest	10-11,5	3-5	3-5,5	1-1,6	-	-	Fronto; Societe Nantaise de Fonderie	41
26	G-CuAl ₉ Ni ₄ Fe Mn	84-85	7-11	3-5	2,5-6,5	1-3	-	-	Theodor Zeiss (RFG)	41
27	45B 4	Rest	9-10	3-4	3-4	0,5-1,5	-	-	R. D. G	41
28	45B 6	Rest	9-10	4-6	4-6	0,5-1	-	-	Japonia	41
29	Bronz Mitsubishi	Rest	10,0	5,0	4,5	1,0	-	-	Japonia	41
30	Cu Al 11 Fe 4 Ni 4	81	11	4	4	-	-	-		38
31	Cu 80 Al 10 Fe 5 Ni 5	> 78	10-11,5	3-5	3-5,5	≤ 3,5	-	≤ 0,5		40
32	Cu 79 Al 10 Fe 5 Mn 1 Ni 5	79	10	5	5	1				40

PANSA II

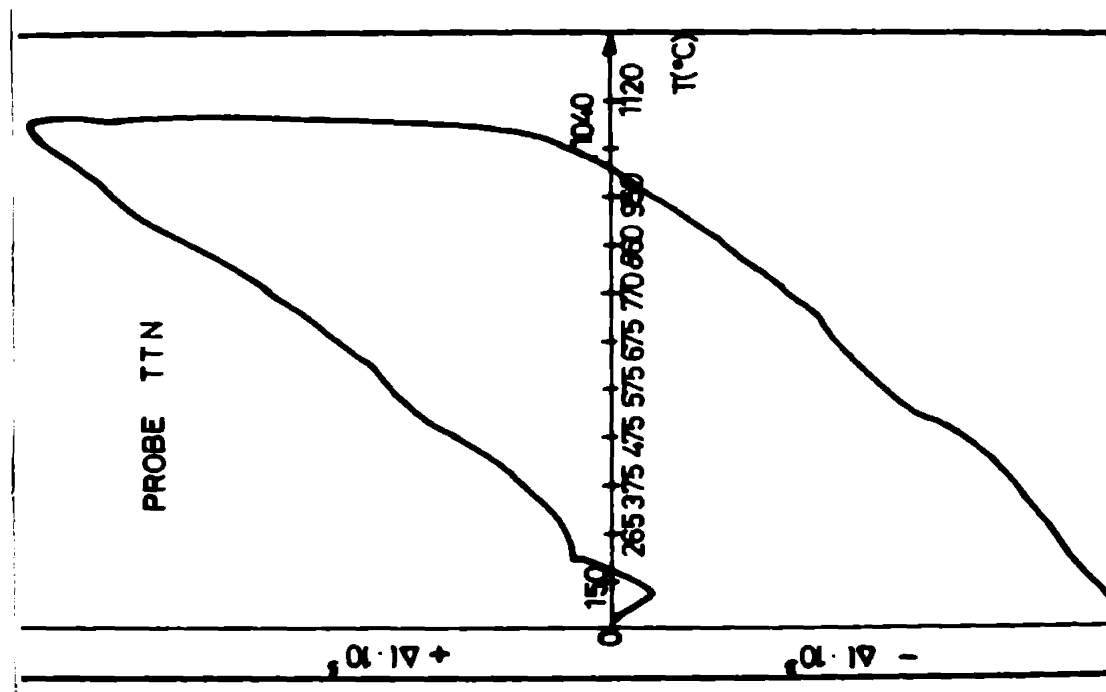


Fig. 2.4. Dilatogram. Probă turnată, prelevată transversal

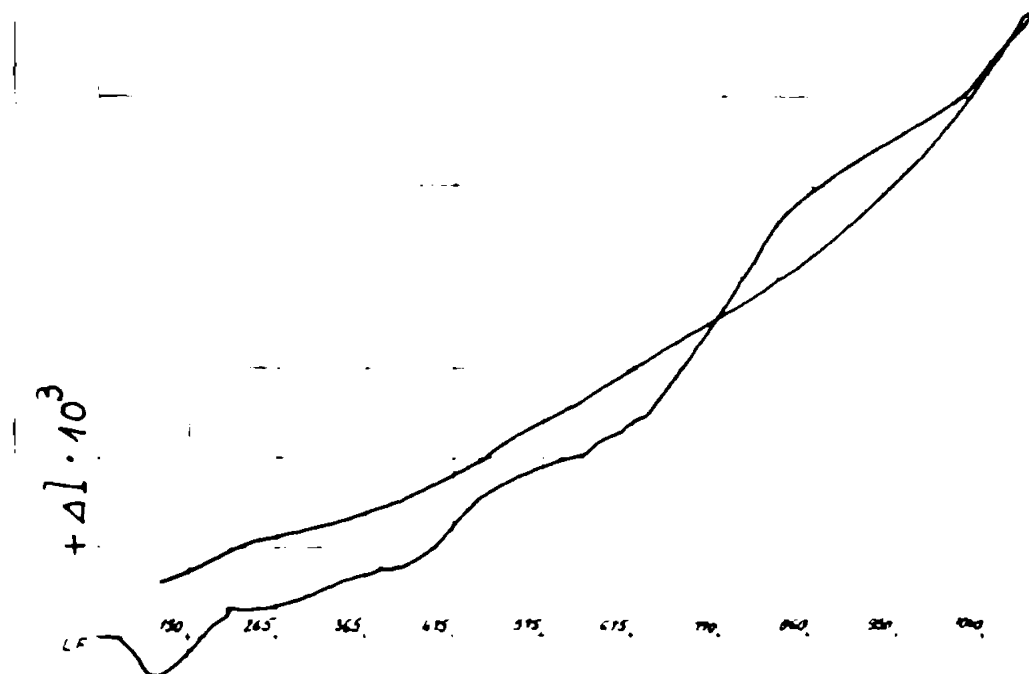


Fig. 2.5. Dilatogram. Probă vorjetă, prelevată longitudinal

PLANSA II (CONTINUARE)

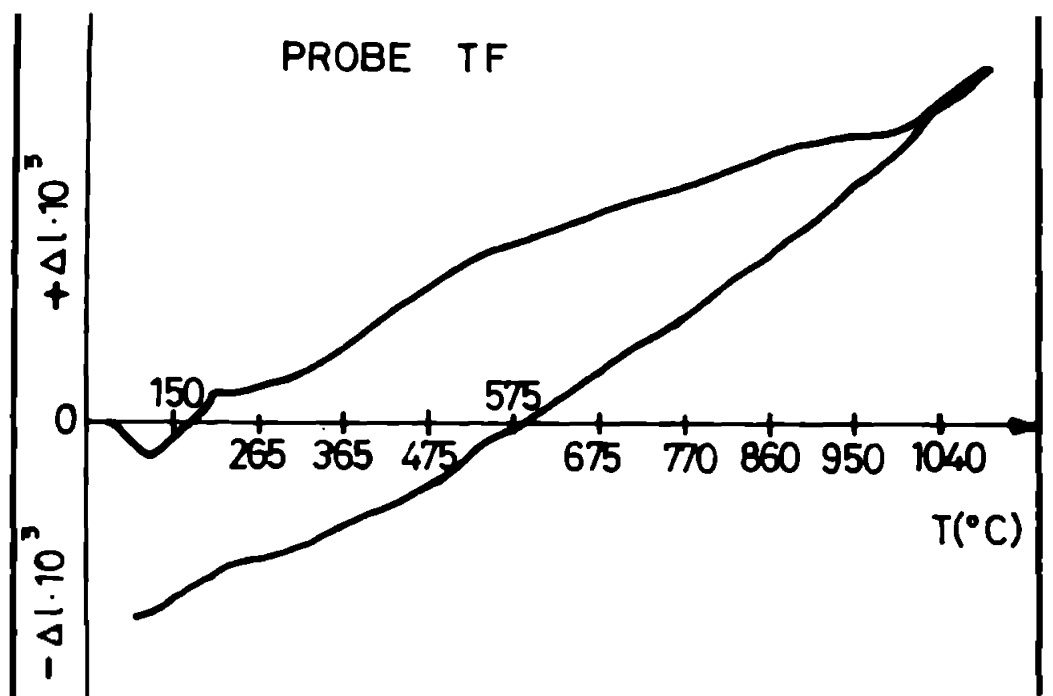


Fig. 2.6. Dilatogramă, Proba forjată, prelevată transversal

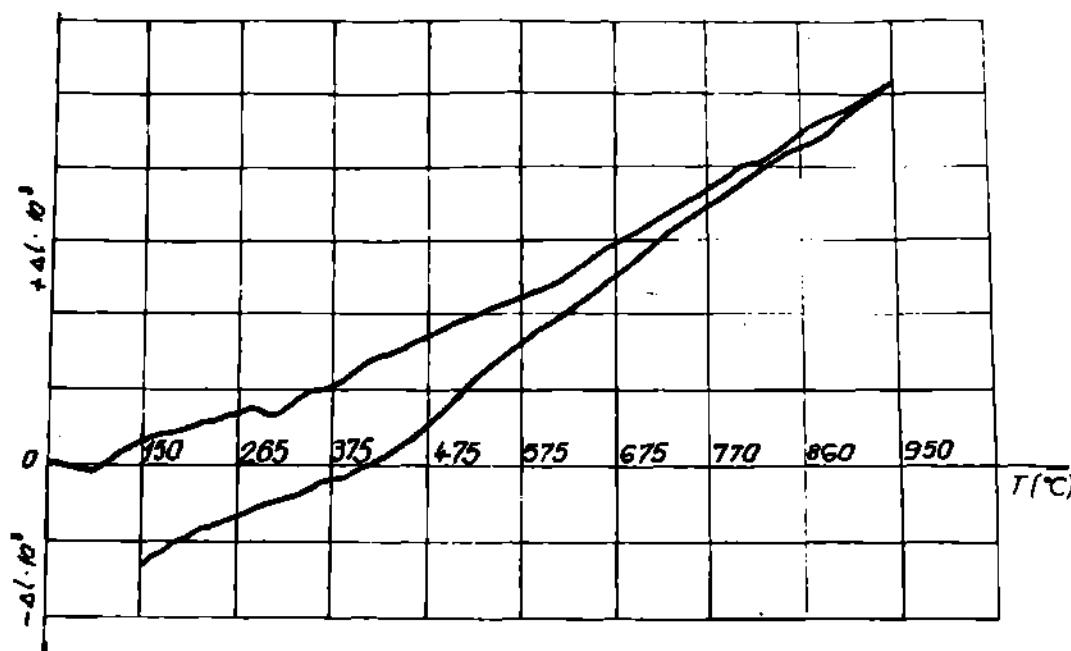


Fig. 2.7. Dilatogramă, Proba recopată, prelevată longitudinal

Tabelul 3.4 Regimuri de tratament termic recomandate în literatura de specialitate pentru bronzuri de aluminiu complexe cu Fe și Ni

Nr. ct.	Marca	Căldură	Avenire	Bibliogra- fie
		t_{inc} / °C / t_{inc} / min / Mediu rocie	t_{rev} / °C / t_{rev} / min / Mediu rocie	
1	Cu Al 10Fe 5Ni 5	—	—	— 3745 198/2 75
2	Gz-CuAl 11Fe 4Ni 4, UNI 5275	870 ... 900	apo' 20...40°C 530 ... 550	60 apo' 60 ... 240 oer
3	Bronzol 6	Secret	—	159/
4	78Cu - 12Al - 5Fe - 5Ni	870 ... 900	apo'	600 ... 650 530 ... 550
5	Bronzol 7	870 ... 900	apo'	60 ... 240 apo' 60 ... 240 oer
6	91Cu - 11Al - 4Fe - 4Ni	—	apo' sau ulei	159/
7	Cu 81Al 11Fe 4Ni 4	875	15 ... 30	650
8	Cu 81Al 11Fe 4Ni 4	1000	apo'	600
9	Cu Al 11Ni Cu 5%	970	30	30 ... 60
10	Fe și 5% Ni	—	—	121/
11	Al 82 10 Ni (cu 5% Fe și 5% Ni)	850	apo'	600
12	conf. DIN 17665	850	—	120
13	conf. DIN 17665	850	—	550
14	900	60	—	450
15	950	—	—	—
16	G - Ni-Al-B ₂	350	—	600 apo'
17	(10-11% Al, 5% Fe, 5% Ni)	—	—	620 apo'
18	—	—	—	620 apo'
19	—	—	—	—
20	—	—	—	—

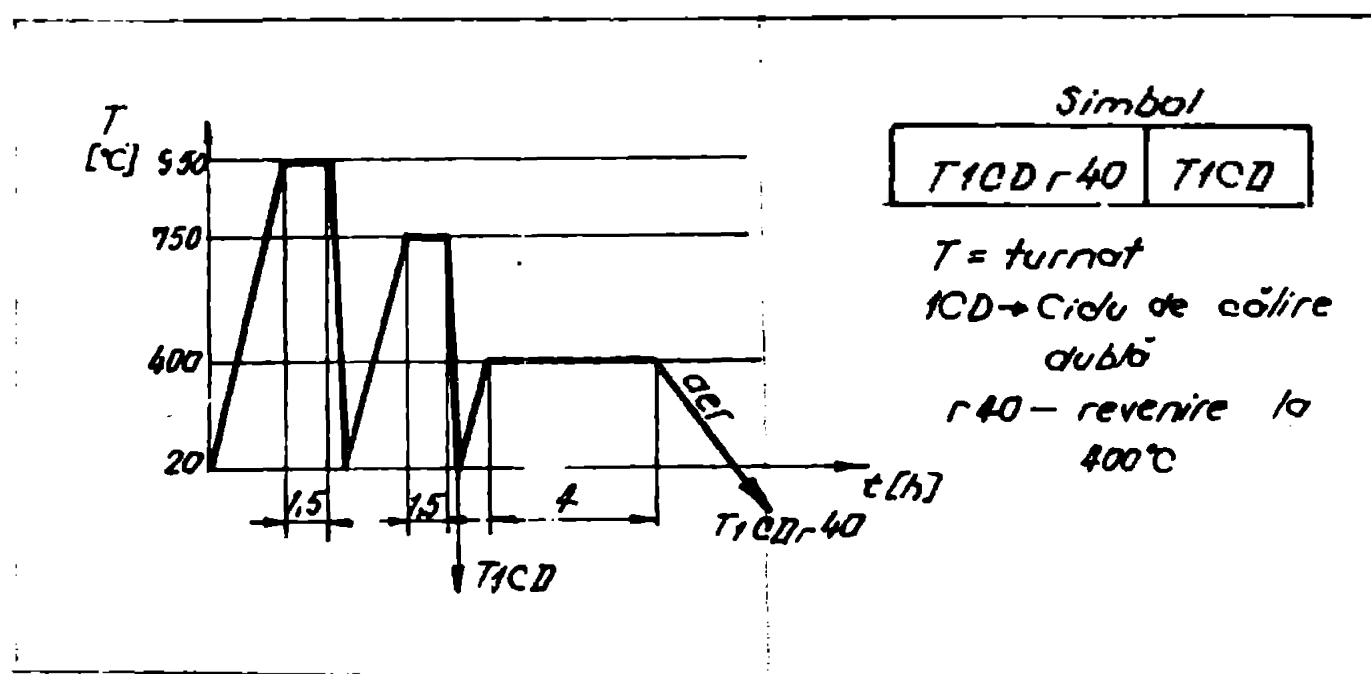


Fig.3.12. Ciclograma tratamentelor T1CD și T1CD_{r40}

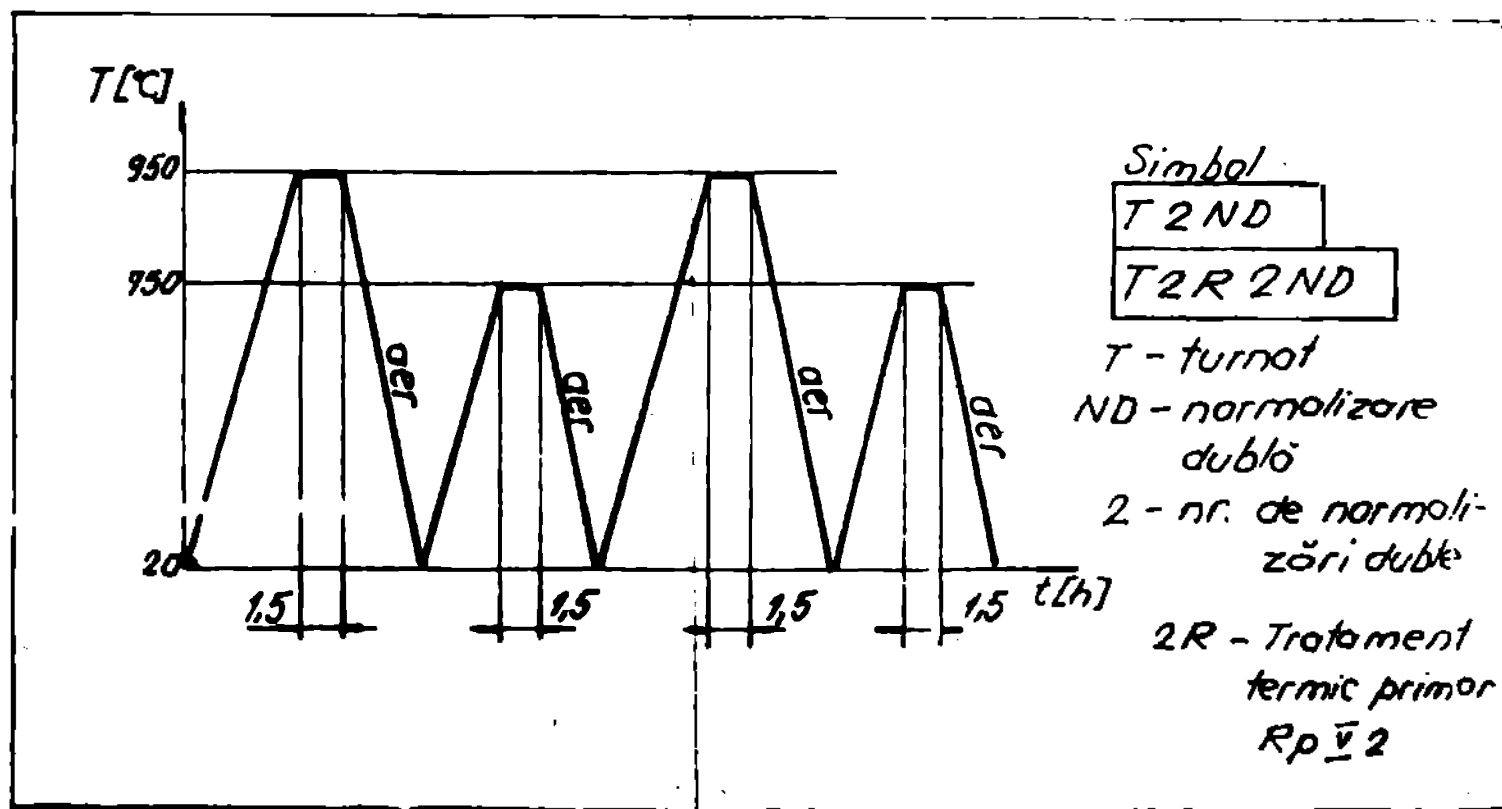


Fig.3.13. Ciclograma tratamentelor termice T2ND și T2R2ND

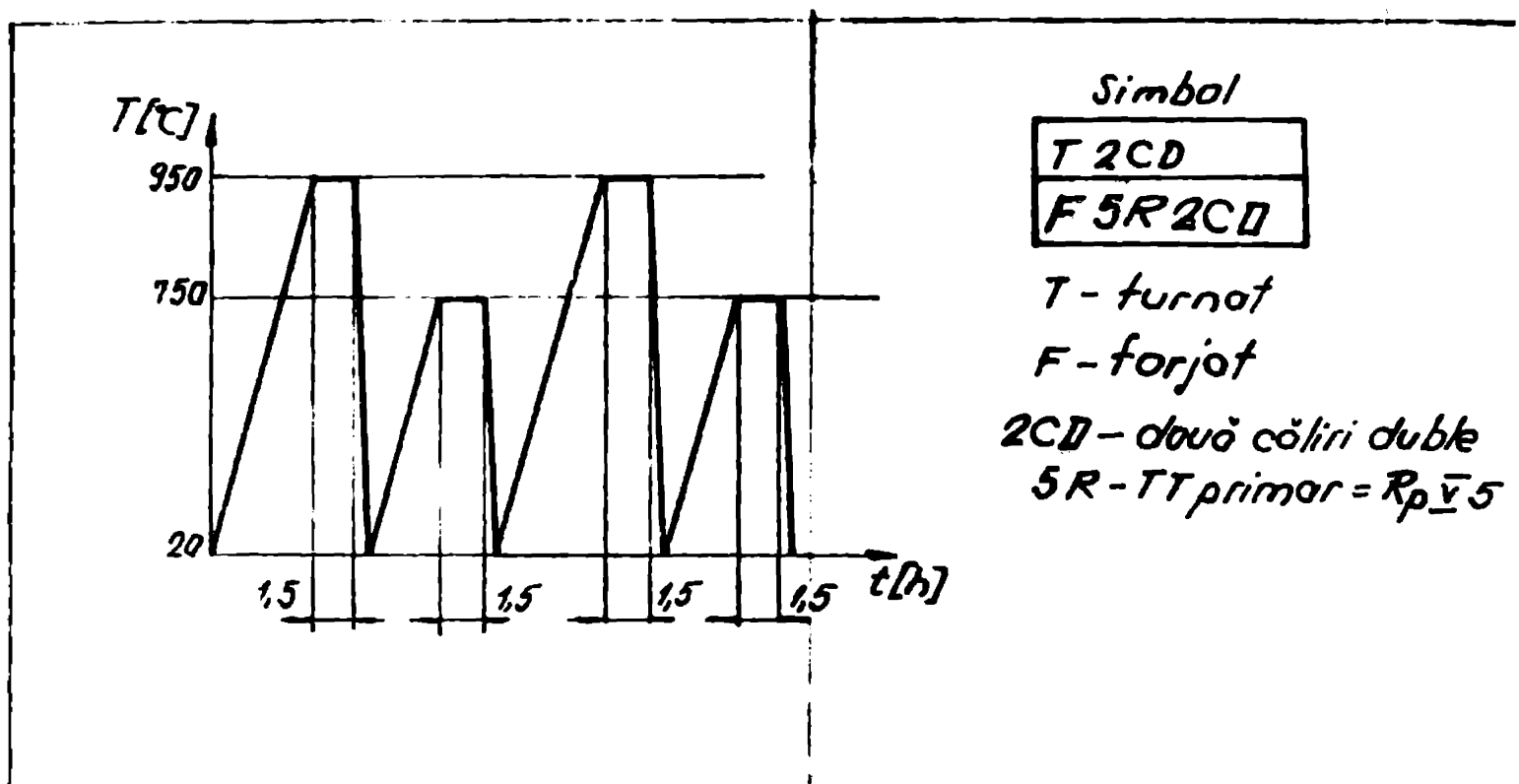


Fig. 3.14. Ciclograma tratamentelor termice T2CD și F5R2CD

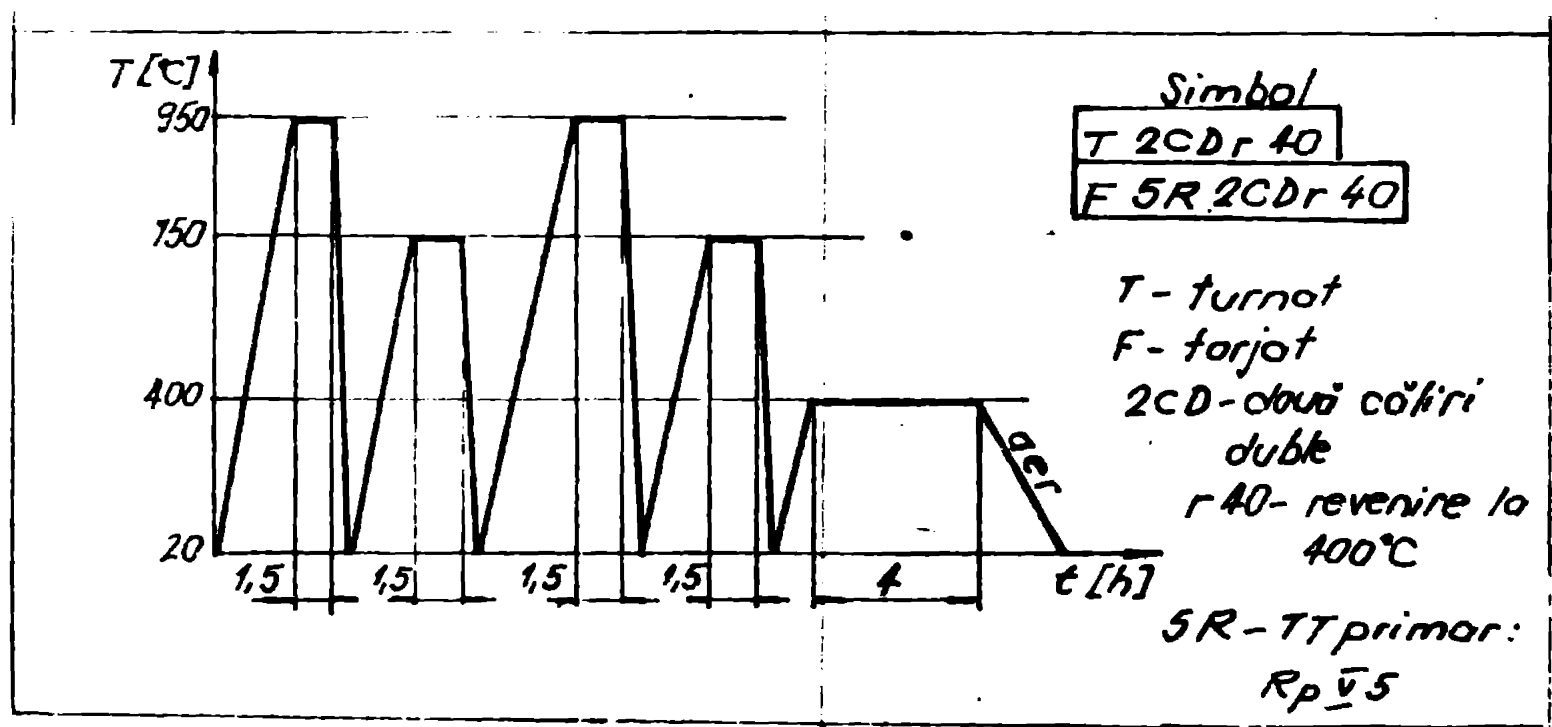


Fig. 3.15. Ciclograma tratamentelor termice T2CD r 40 și F5R2CD r 40

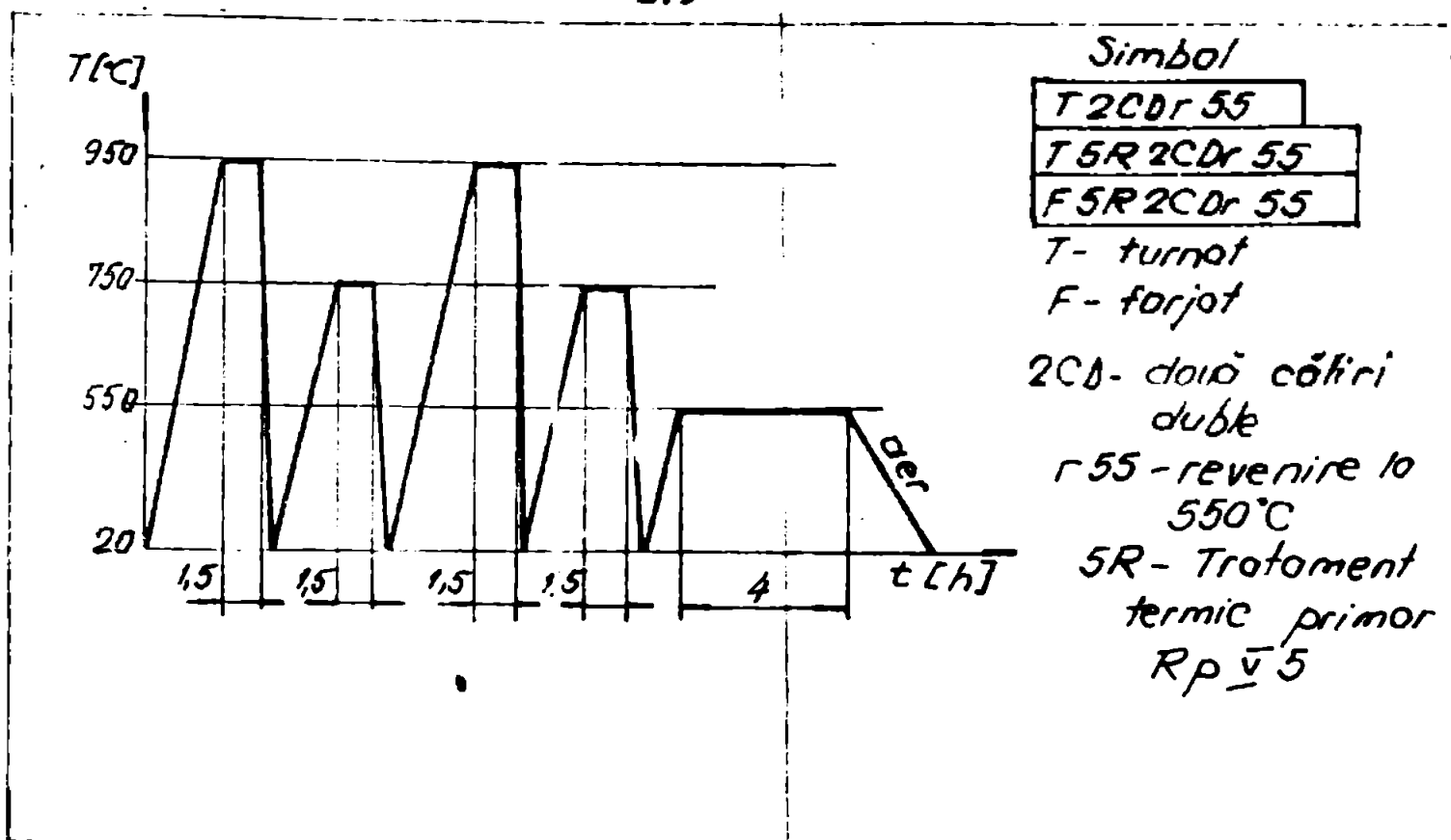


Fig. 3.16. Ciclograma tratamentelor termice T2CDr55,
T5R2CDr55 și F5R2CDr55

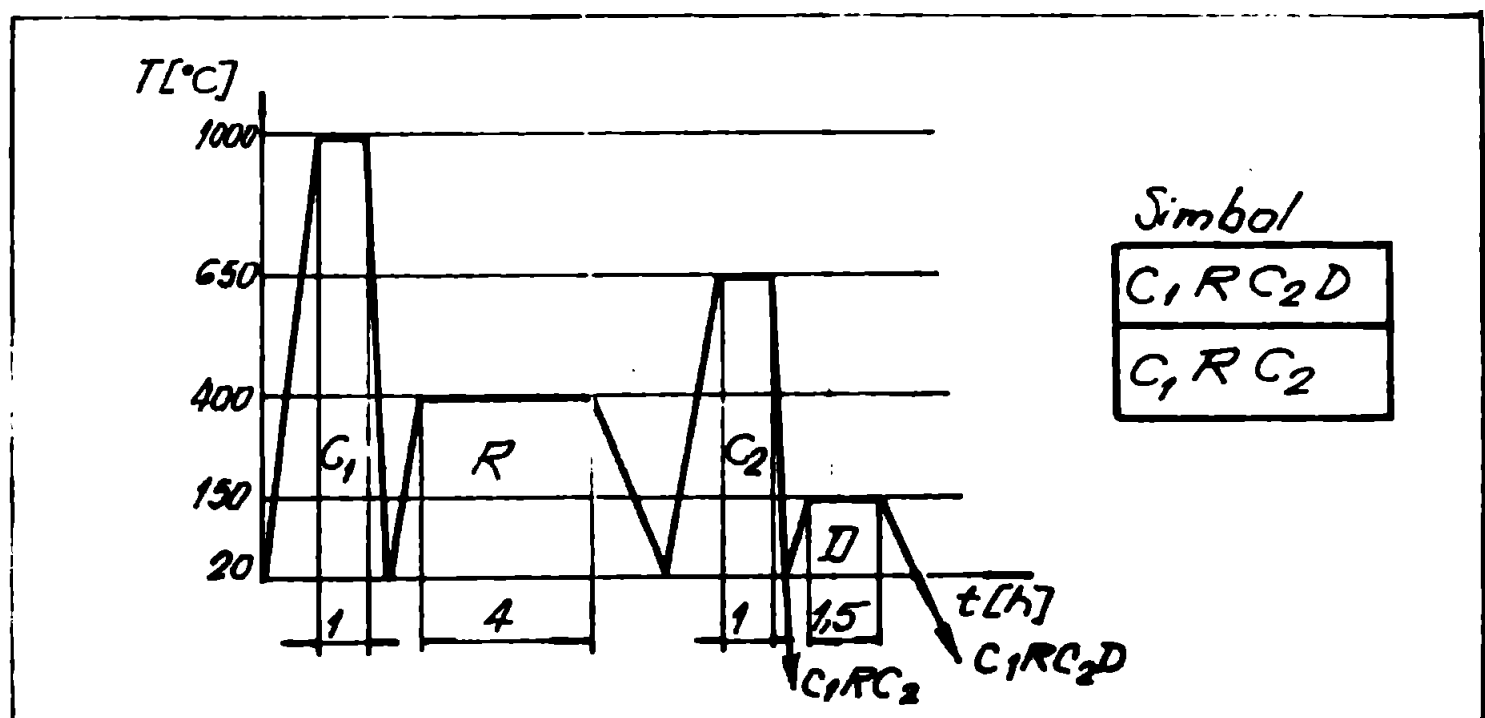
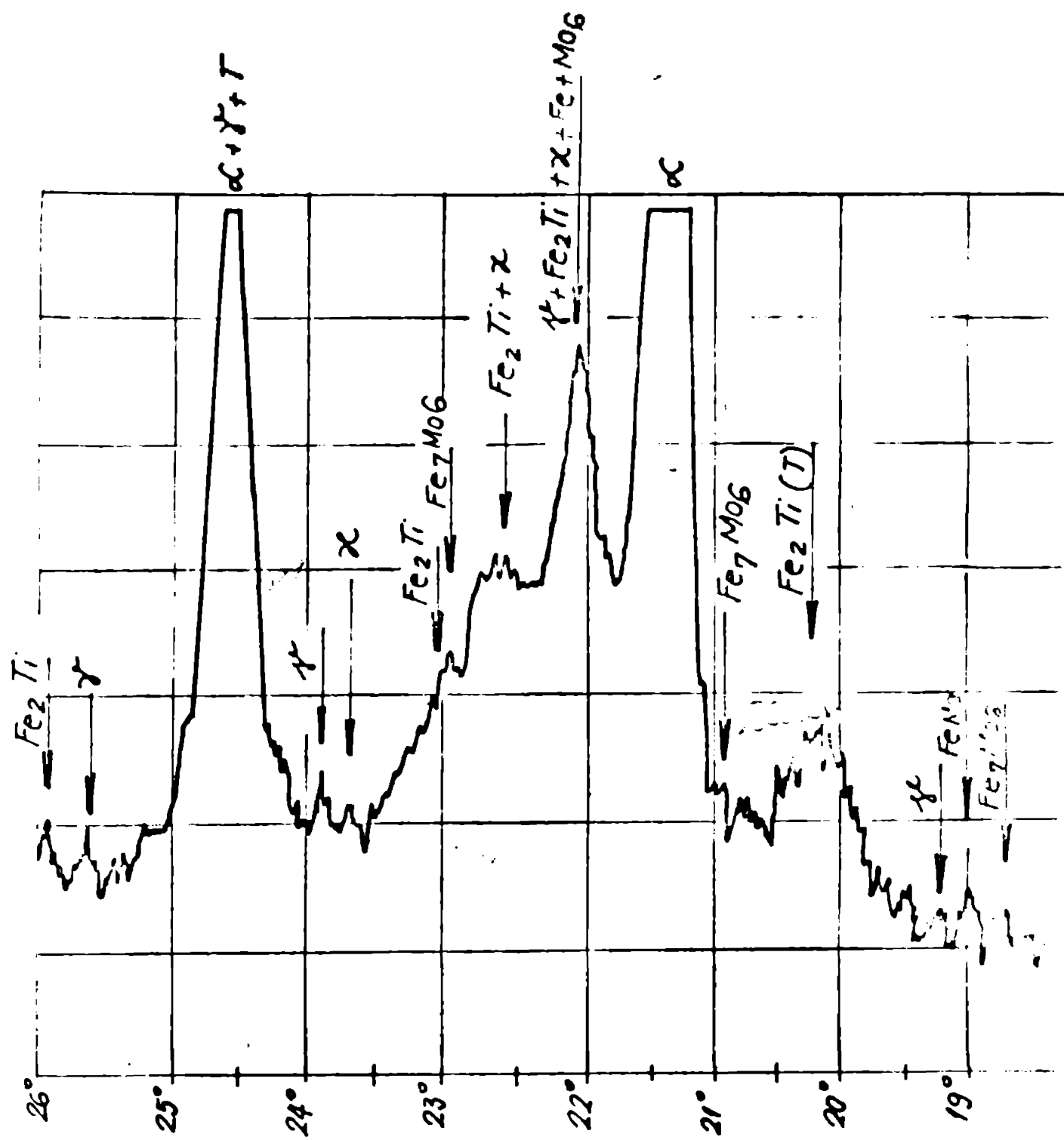


Fig. 3.17. Ciclograma tratamentelor termice Cf202 și
C1RC2D aplicate probelor turnate

Tabelul 5.2.

Identificarea constituantilor structurali, pentru difrac-tograma din fig.5.17. (probă turnată)

nr	$\theta_{hk\ell}$ [°]	$d_{hk\ell}$ [Å]	Constituenti structurali
1	18,8	2,39	Fe_7Mo_6
2	19,13	2,35	Fe Mo
3	19,39	2,32	γ
4	20,3	2,22	Fe_2Ti
5	20,9	2,15	Fe_7Mo_6
6	21,73	2,06	α
7	22,1	2,04	$\delta + Fe_2Ti + \chi + Fe_7Mo_6$
8	22,65	2,00	$Fe_2Ti + \chi$
9	23,01	1,97	Fe_7Mo_6
10	23,14	1,96	Fe_2Ti
11	23,6	1,92	χ
12	23,84	1,905	δ
13	24,54	1,81	$\chi + \delta + Fe_2Ti$
14	25,64	1,78	δ
15	25,79	1,77	Fe_2Ti



Probă turnată neterminată termic:

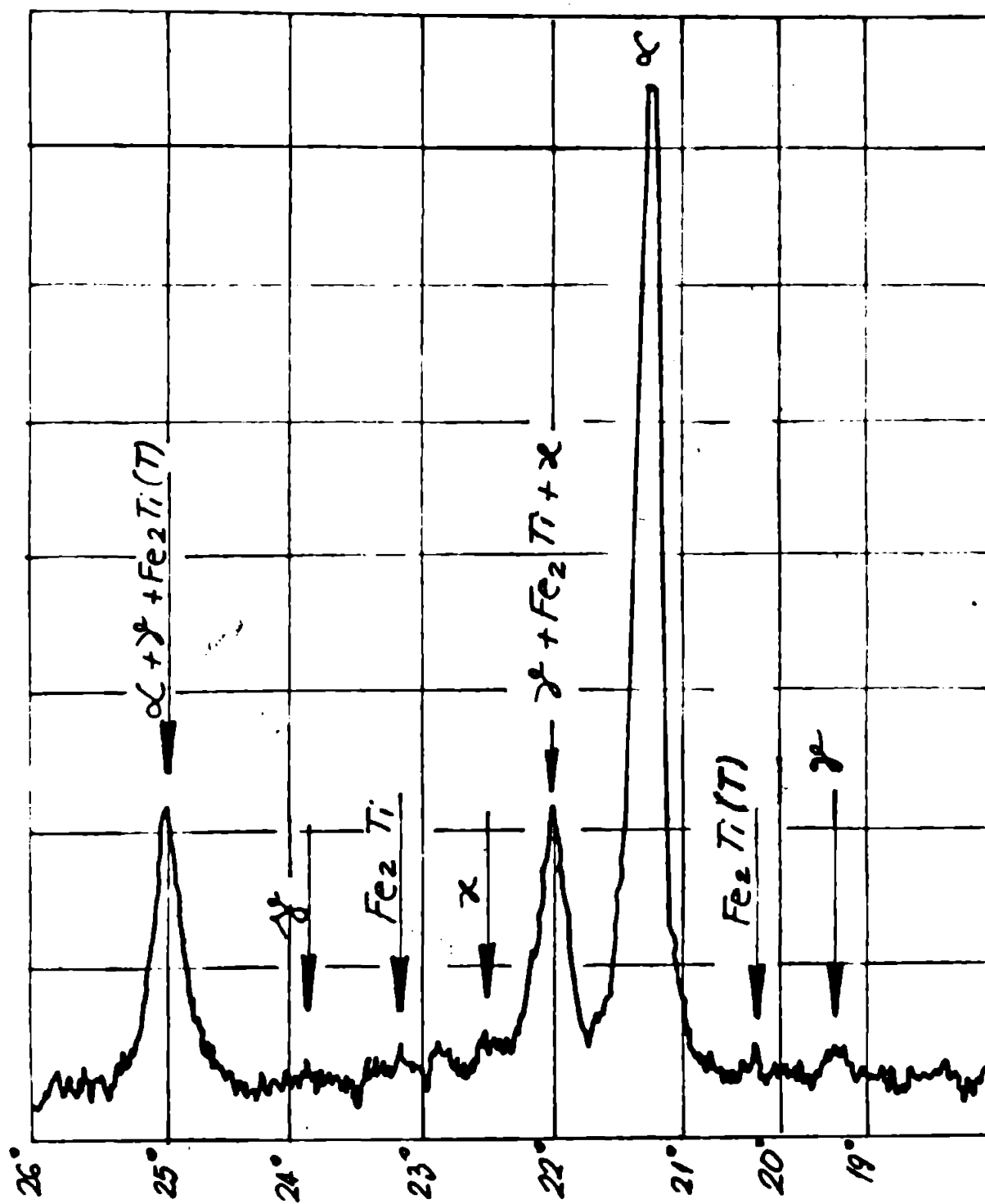
$Cu K\alpha$, ($\lambda = 1,5405 \text{ \AA}$)

$U = 37 \text{ kV}$

$I = 17 \text{ mA}$

Filtru de Ni

Fig. 5.17



Probó F + Rp V3
CuK α , ($\lambda = 1,5405 \text{ \AA}$)

$U = 37 \text{ KV}$

$I = 17 \text{ mA}$

Filtre de Ni

Fig. 5.19

Tabelul 5.3.

Identificarea constituantilor structurali, pentru difracție-gramă din fig. 5.18. (probă termociclată 2C1C2D(δ))

Nr. crt.	θ_{hkl} [°C]	d_{hkl} [Å]	Constituenti structurali
1	15,41	2,8985	β'
2	16,58	2,6984	$Al_3 Fe$
3	17,48	2,5636	$\gamma + Al_3 Ni$
4	20,58	2,191	$Fe_2 Ti$
5	20,99	2,15	$Fe_7 Mo_6$
6	21,54	2,097	α
7	22,13	2,044	$\gamma + Fe_2 Ti + \alpha$
8	22,18	2,04	$Fe_7 Mo_6$
9	22,55	2,008	$Fe_2 Ti + Al_3 Ni$
10	22,78	1,989	α
11	23,01	1,97	$Fe_7 Mo_6$
12	23,14	1,96	$Fe_2 Ti$
13	23,98	1,895	β'
14	24,54	1,85	γ
15	25,1	1,815	$\alpha + Fe_2 Ti + Al_3 Ti$
16	25,64	1,78	$\gamma + \beta'$
17	26,9	1,7	γ
18	27,46	1,67	γ
19	28,3	1,624	$\alpha + \gamma$
20	28,85	1,59	$\alpha + L'$
21	30,8	1,504	$\delta' + \alpha$
22	32	1,454	$\beta' + \gamma$
23	32,17	1,446	$Al_3 Fe$
24	32,4	1,434	$Al_3 Fe$
25	36,6	1,29	α
26	39,26	1,217	α

Tabelul 5.4.

Identificarea constituentilor structurali pentru difracția din fig. 5.19. (probă forjată + recopată pendular RpV3)

Nr. crt.	θ_{hkl} [°]	d_{hkl} [Å]	Constituenti structurali
1	19,39	2,32	γ
2	20,3	2,22	Fe_2Ti
3	21,34	2,09	α
4	22,1	2,04	$Fe_2Ti + \alpha + \gamma$
5	22,5	2,01	α
6	23,14	1,96	Fe_2Ti
7	23,84	1,905	γ
8	23,85	1,83	$\alpha + \gamma + Fe_2Ti$